

NGU Rapport 2010.063

MAREANO 2009 - miljøgeokjemiske resultater
fra Eggakanten, Tromsøflaket og Nordland VII

Rapport nr.: 2010.063		ISSN 0800-3416	Gradering: Åpen
Tittel: MAREANO 2009 - miljøgeokjemiske resultater fra Eggakanten, Tromsøflaket og Nordland VII			
Forfatter: H. K. B. Jensen, J. Knies, T. E. Finne og T. Thorsnes		Oppdragsgiver: MAREANO	
Fylke:		Kommune:	
Kartblad (M=1:250.000)		Kartbladnr. og -navn (M=1:50.000)	
Forekomstens navn og koordinater:		Sidetall: 36	Pris: 185,-
		Kartbilag: -	
Feltarbeid utført: Sept. – okt. 2009	Rapportdato: 21.03.2011	Prosjektnr.: 311703	Ansvarlig: <i>Reidulv Bøe</i> Reidulv Bøe
<p>Sammendrag:</p> <p>På MAREANOs høsttokt med G.O. Sars i 2009 ble det tatt sedimentprøver for miljøundersøkelser på 5 prøvetakingsstasjoner på Eggakanten, vestlige del av Tromsøflaket og dyphavssletten i Nordland VII. Sedimentene ble analysert for innhold av følgende tungmetaller: bly (Pb), kadmium (Cd), kobber (Cu), krom (Cr), kvikksølv (Hg), nikkel (Ni), sink (Zn) og elementene arsen (As) og barium (Ba). Tributyltinn (TBT) i overflatesedimenter ble analysert på 3 prøvetakingsstasjoner.</p> <p>Tungmetallnivåene i overflatesedimentene (0-1 cm) er generelt lave, og ligger i Klima- og forurensningsdirektoratets (Klif) tilstandsklasse I for fjord- og kystsedimenter med unntak av Pb og Ni på stasjon R488 fra dyphavssletten i Nordland VII. Både Pb og Ni er i Klif tilstandsklasse II for kyst- og fjordsedimenter på denne lokaliteten. Tributyltinn (TBT) er ikke påvist i overflateprøvene (0-2 cm) fra 3 utvalgte stasjoner fra Tromsøflaket og Nordland VII.</p> <p>Det ble gjennomført ²¹⁰Pb dateringsanalyser på 3 sedimentkjerner fra henholdsvis Tromsøflaket og Nordland VII. Bare en av disse sedimentkjernene, R488 (Nordland VII) hadde Pb²¹⁰-data, som ga kvalitetsmessig akseptabel sedimentasjonsrate på 1,0 millimeter pr. år. Den andre stasjonen fra Nordland VII, R479, har en beregnet høy sedimentasjonsrate på 3,2 millimeter pr. år, som anses for å være lite sannsynlig. Den tredje ²¹⁰Pb analyserte sedimentkjernen fra R474 ga ikke noen beregnet sedimentasjonsrate grunnet uvanlige ²¹⁰Pb data ned gjennom sedimentkjernen.</p> <p>Analyse av sedimentkjerner viser økte konsentrasjoner av Hg og Pb i den øverste delen av kjernene. Økte konsentrasjoner mot toppen av kjernene skyldes trolig antropogene kilder for både Hg og Pb. De økte Hg- og Pb-konsentrasjonene skyldes sannsynligvis langtransport med havstrømmer eller luft. Til tross for økte konsentrasjoner av Hg og Pb mot overflaten av sedimentkjernene, er nivåene innenfor Klif tilstandsklasse I forurensningsnivå for Hg og Pb i 3 av de 4 analyserte sedimentkjernene. En enkel sedimentkerne, R488 fra dyphavssletten i Nordland VII, har Pb i klasse II øverst i sedimentkjernen. Hg øker fra et bakgrunnsnivå på ca. 0,010 ppm til ca. 0,039 ppm, og økningen starter fra ca. 1900 basert på den ene ²¹⁰Pb-daterte sedimentkjernen fra R488 i Nordland VII. For tungmetallene Cd, Cr, Cu, Ni og Zn samt As og Ba er det sannsynligvis naturlige bidrag til sedimentene.</p>			
Emneord: Maringeologi	Sediment	Forurensning	
Tungmetaller	Arsen	Tributyltinn	
Barium	Miljø	Geokjemi	

INNHold

1.	INNLEDNING	6
2.	TOKT OG PRØVETAKING	8
3.	DATA OG METODIKK	9
4.	KVALITETSKONTROLL	10
5.	RESULTATER	10
5.1	Overflateprøver (0-1 cm).....	10
5.1.1	Kornstørrelsesfordeling, organisk karbon og karbonat	10
5.1.2	Innhold av tungmetaller, arsen, barium og tributyltinn (TBT)	15
5.2	Analysen av sedimentkjerner	20
5.2.1	Bly-isotop 210 (²¹⁰ Pb) - datering og sedimentakkumulasjonsrater	20
5.2.2	Kullstoff, karbonat og svovel	21
5.2.3	Kornstørrelsesfordeling	23
5.2.4	Diskusjon.....	25
5.3	Tungmetaller, arsen og barium i 4 sedimentkjerner	27
5.3.1	R457MC039 - sokkelen, Eggakanten.....	27
5.3.2	R474MC040 - sokkelen, Tromsøflaket	28
5.3.3	R479MC042 - dyphavssletten, Nordland VII	30
5.3.4	R488MC044 - dyphavssletten, Nordland VII	31
6.	OPPSUMMERING	34
7.	REFERANSER	35

FIGURER

- Figur 1. Oversiktskart for MAREANO-området m. prøvetakingsstasjoner fra toktene 2003 & 2004, 2006, 2007, 2008 og 2009.
- Figur 2. Sediment prøvetakingsstasjonene fra 2009 høsttoktet (2009111).
- Figur 3. Multicorer med sedimentkjerner på dekk.
- Figur 4. Multicorer topprøve.
- Figur 5. Kart med kornstørrelsesfordeling i 0-1 cm prøvene.
- Figur 6. Kart m. total organisk karbon (TOC) i 0-1 cm prøvene.
- Figur 7. Kart m. Pb-konsentrasjonene i 0-1 cm prøvene.
- Figur 8. Total ^{210}Pb aktivitet i 3 daterte sedimentkjerner.
- Figur 9. ^{210}Pb alder – dybde kryssplott for 2 daterte sedimentkjerner.
- Figur 10. TOC, karbonat og total svovel dybde plott for 4 sedimentkjerner.
- Figur 11. Kornstørrelsesfordeling for stasjon R474 sedimentkjerne.
- Figur 12. Kornstørrelsesfordeling for stasjon R457 sedimentkjerne.
- Figur 13. Kornstørrelsesfordeling for stasjon R479 sedimentkjerne.
- Figur 14. Kornstørrelsesfordeling for stasjon R488 sedimentkjerne.
- Figur 15. Tungmetall, arsen, TOC, karbonat og finstoff i sedimentkjerne R457MC039.
- Figur 16. Tungmetall, arsen, TOC, karbonat og finstoff i sedimentkjerne R474MC040.
- Figur 17. Tungmetall, arsen, TOC, karbonat og finstoff i sedimentkjerne R479MC042.
- Figur 18. Tungmetall, arsen, TOC, karbonat og finstoff i sedimentkjerne R488MC044.

TABELLER

- Tabell 1 Prøvetakingsstasjoner og typer prøvetaking på tokt nr. 2009111.
- Tabell 2 Sedimentklassifisering.
- Tabell 3 Kornstørrelsesfordelinger, TOC, CaCO_3 og total svovel for overflateprøvene (0-1 cm kjernedyp) fra 5 prøvetakingsstasjoner.
- Tabell 4 Minimum, gjennomsnitt, median og maksimumsverdier for tungmetaller, arsen og barium fra prøver i dybdeintervallet 0-1 cm på 5 prøvetakingsstasjoner.
- Tabell 5 Metaller, arsen og TBT i Klif forurensing tilstandsklasser for marine overflatesedimenter og antall prøver innenfor hver tilstandsklasse.
- Tabell 6 ^{210}Pb dateringsresultater fra 3 sedimentkjerner.
- Tabell 7 Minimum, median og maksimumsverdier for tungmetaller, arsen og barium i kjerne R457MC039.
- Tabell 8 Minimum, median og maksimumsverdier for tungmetaller, arsen og barium i kjerne R474MC040.
- Tabell 9 Minimum, median og maksimumsverdier for tungmetaller, arsen og barium i kjerne R479MC042.
- Tabell10 Minimum, median og maksimumsverdier for tungmetaller, arsen og barium i kjerner R488MC044.

VEDLEGG (CD eller tilgjengelig digitalt ved nedlasting fra www.mareano.no)

Vedlegg 1. Prøveliste og analyseresultater for prøver fra 5 prøvetakingsstasjoner og 2 standarder, NGU Lab analyserapport nr.2010.0210. Kornstørrelse, Leco (total S, total C og organisk C), HNO₃-ekstrahert og analysert med AAS (Hg, As, Cd, Pb, Se, Sn) og ICP-AES (30 elementer). Naturlige standarder KDF og Hynne er inkludert i prøvelisten.

Vedlegg 2. Tributyltinn (TBT). Eurofins Norsk Miljøanalyse AS rapport. 0-2 cm prøver fra 3 prøvetakingsstasjoner.

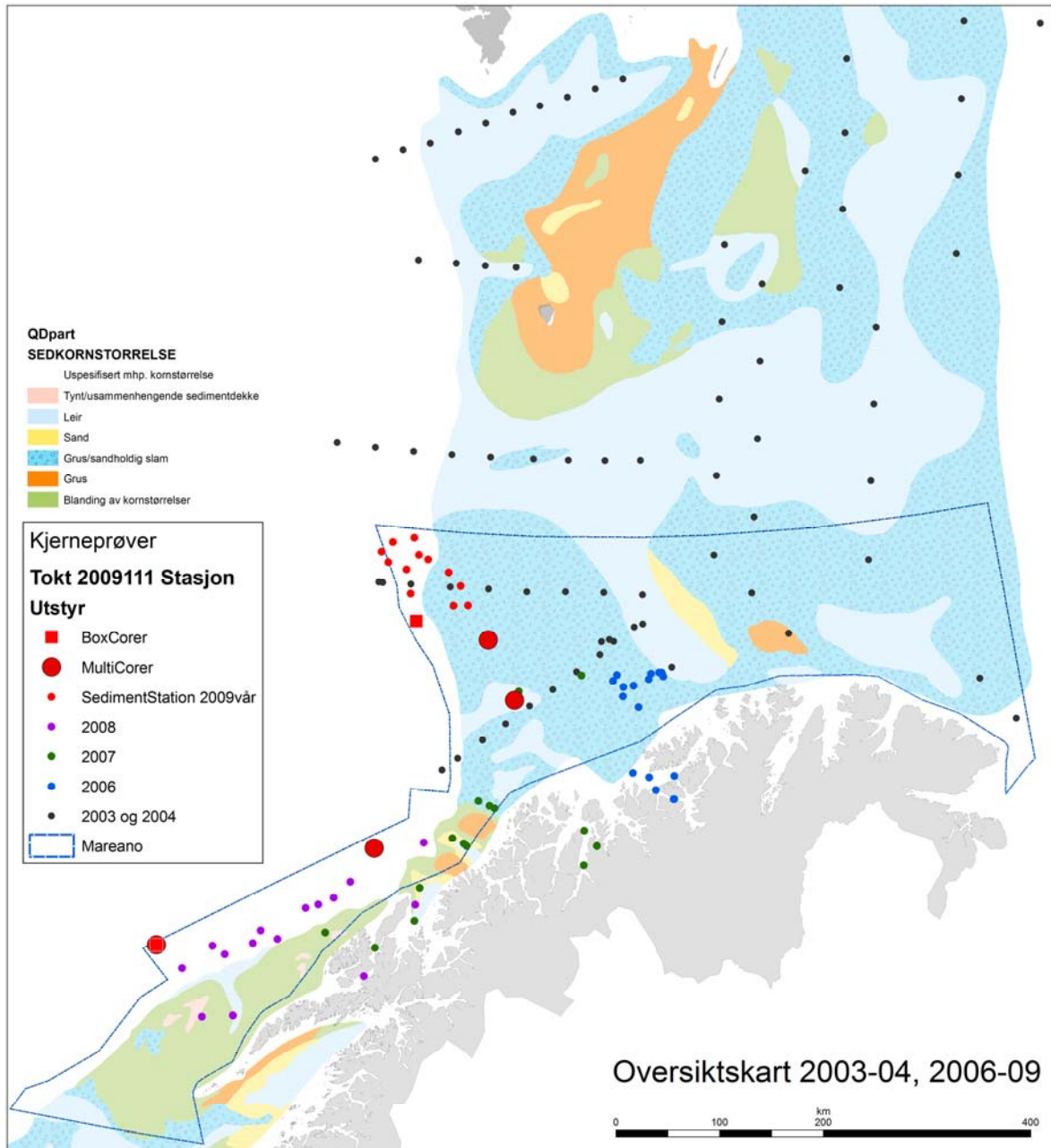
Vedlegg 3. ²¹⁰Pb datering av kjerner fra 3 prøvetakingsstasjoner. DHI Analyserapport nr. 11091401.

Vedlegg 4. Kart over stasjoner, analysedata inkl. kornstørrelsesfordeling, TOC, karbonat, As, Ba, Cd, Cr, Cu, Hg, Ni, Pb og Zn (0-1 cm). 14 kart.

Vedlegg 5. Geokjemiske profiler for samtlige 4 analyserte sedimentkjerner. Parametrene omfatter: TOC (vekt %), <63µm fraksjon (%), karbonatandel (vekt %), As, Cd, Cr, Cu, Hg, Ni, Pb, Zn (alle ppm).

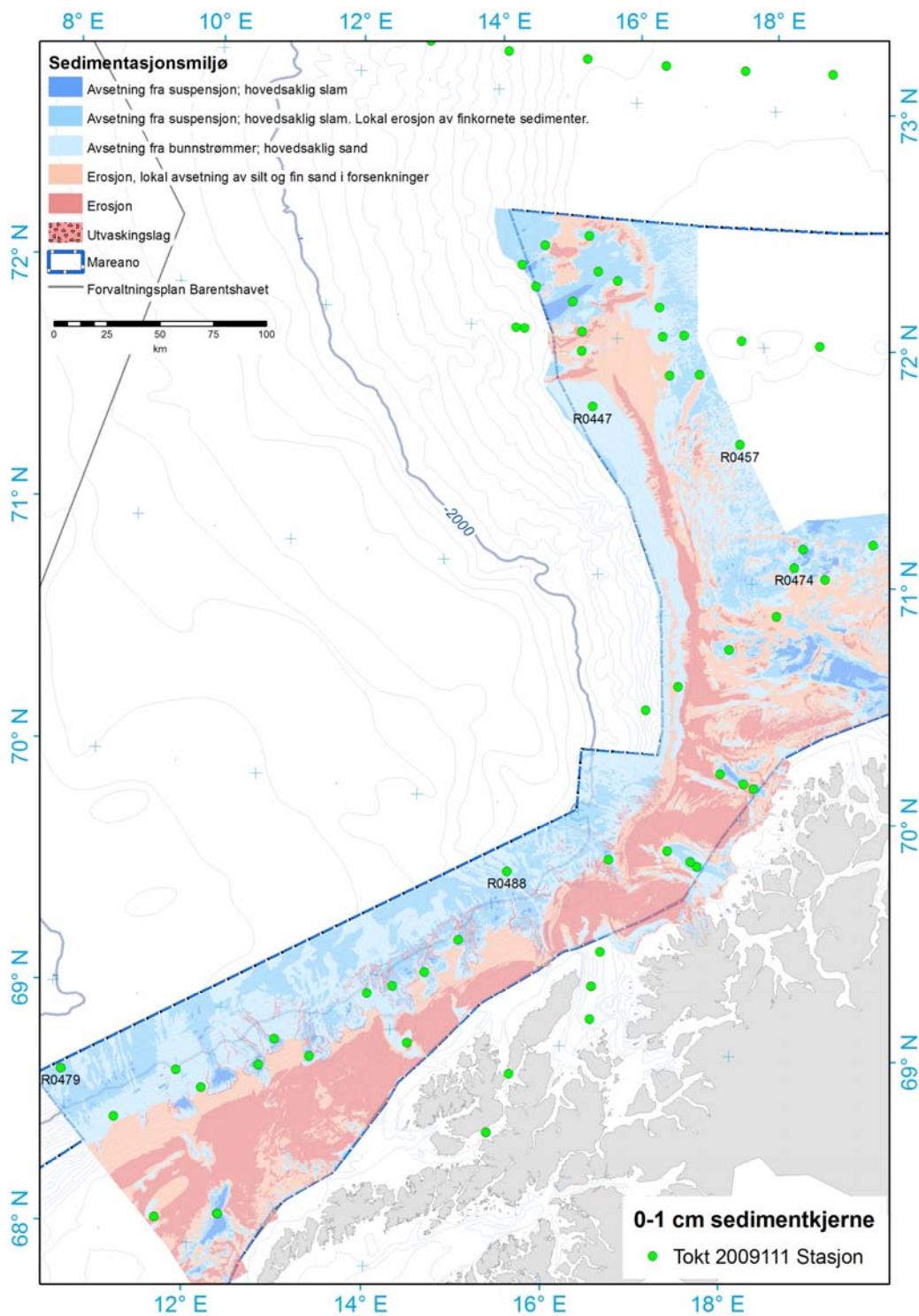
1. INNLEDNING

MAREANO-programmet for 2005-2009 har hatt som mål å kartlegge utvalgte områder i Barentshavet og havområdene utenfor Lofoten og Vesterålen (Figur 1). Sedimentprøvetaking fra tidligere MAREANO-tokt og to tokt i regi av Havforskningsinstituttet i 2003 og 2004 er vist på Figur 1.



Figur 1. Oversikt over MAREANO-området m. prøvetakingsstasjoner fra toktene 200 & 2004, 2006, 2007, 2008 og 2009. Prøver tatt på høsttoktet i 2009 er vist med røde punkter (Eggakanten, Tromsøflaket og på dyphavssletten utfor Lofoten og Vesterålen). Prøvepunktene fra HI-toktene i 2003 og 2004 er vist som svarte punkter (Knies m. fl., 2006). Prøvetaking av sedimenter fra toktene 2006 til og med våren 2009 er vist med forskjellige farger år for år og rapportert i Jensen m. fl. (2007, 2008, 2009, 2010). Sedimentbakgrunnskartet med signaturforklaringer for sedimenttyper er fra Vorren og Vassmyr (1991).

De 5 prøvetakingsstasjonene fra høsttoktet 2009 fra henholdsvis Eggakanten i den nordvestlige delen av MAREANO-området, den vestlige delen av Tromsøflaket og Nordland VII i sør er vist i Figur 2. De to stasjonene R447 og R457 fra Eggakanten ligger sør for stasjonene rapportert i Jensen m. fl. (2010).



Figur 2. Fem prøvetakingsstasjoner fra 2009 høsttoktet (2009111). Stasjonene fra høsttoktet er presentert med stasjonsnummer. De øvrige MAREANO-stasjonene og stasjoner fra HI 2004 tokt er vist med grønn sirkel uten stasjonsnummer. Bakgrunnskartet sedimentasjonsmiljø tolket i MAREANO.

2. TOKT OG PRØVETAKING

Toktet høsten 2009 ble gjennomført i Eggakanten-området og vestlige del av Tromsøflaket i sørlige Barentshavet, og dekket et areal på 6.000 km². Vårtoktet 2009 dekket et 7000 km² stort område i den nordlige delen av Eggakanten-området (Mortensen og Mortensen, 2009). Tокtet fortsatte til dyphavssletten i Nordland VII, på havdyp større enn 2000 m, hvor et 3000 km² stort areal ble dekket. Det ble tatt sedimentkjerner på 5 stasjoner (Figur 2), hvorav 4 stasjoner med multicorer og 1 stasjon med boxcorer. To stasjoner, R447 og R457 er fra Eggakanten, R474 fra Tromsøflaket og de to siste stasjonene, R479 og R488, er fra dyphavssletten i Nordland VII. Tabell 1 gir en oversikt over prøvetakingsstasjonene, havdyp, geografiske posisjoner og lengde på sedimentkjernene anvendt for de kjemiske analysene. Prøvetakingsutstyret består av en multicorer som har 6 rør med 106 millimeter indre diameter (Figur 3). Rørenes lengde er 60 cm. Kjerner fra boxcorer er tatt med samme type rør, presset ned i sedimentene når boxcoreren er kommet på dekk. Kjerner fra boxcorer brukes når det ikke har vært mulig å bruke multicorer enten grunnet tekniske problemer eller bunntyper med så grovkornet sediment at multicorer ikke har kunnet brukes.

Tabell 1. Prøvetakingsstasjoner og typer prøvetaking på tokt nr. 2009111.

Stasjon	Område	Geografiske koordinater		Havdyp [m]	Prøvetaker	Kjernelengde [cm]
		Nord	Øst			
R447BX481*	Eggakanten	71 42,36	015 45,07	777	Boxcorer	30
R457MC039	Eggakanten	71 35,27	017 45,31	293	Multicorer	30
R474MC040	Tromsøflaket	71 04,68	018 32,64	258	Multicorer	29
R479MC042	Nordland VII	68 38,39	010 16,35	2706	Multicorer	41
R488MC044	Nordland VII	69 42,90	015 11,98	2220	Multicorer	33

- Bare prøven fra 0-1 cm tatt ut til analyse fra R447BX481



Figur 3. Multicorer med sedimentkjerner på dekk. Prøvetaking på stasjon R488 på 2220 m havdyp i Nordland VII.



Figur 4. Multicorer topprøve. Toppsjiktet (0-1 cm) fra multicorer sedimentkjerne fra stasjon R457, Eggakanten. Sedimentkjernen har et høy innhold av svampespikler i de øverste 7 cm.

3. DATA OG METODIKK

Ombord ble det gjennomført skiving av kjernen for hver cm fra Ø106 mm prøvetakingsrør (Figur 4). Prøvene ble pakket i polyetylenposer med lynlås før innfrysing til $\pm 18^{\circ}\text{C}$. Ved NGU Lab ble frysetørking og uttak til følgende analyser gjennomført:

- Innvekt 0,38 g for bestemmelse av totalinnhold av svovel og karbon og 0,50 g for bestemmelse av organisk karbon (TS, TC og TOC) ved hjelp av Leco.
- Innvekt 1,0 g til HNO_3 -ekstraksjon etter NS 4770 for påfølgende analyse med ICP-AES og AAS.

Det er brukt varierende prøvemengde for våtsikting med sikteåpning 16, 8, 4, 2 og 1 mm, samt 500, 250, 125 og 63 μm (avhengig av antatt kornstørrelsesfordeling). Fraksjonen mindre enn 2 mm er så analysert for kornstørrelse med Coulter laserdiffraksjon, slik at kornfordelingskurve kan beregnes for kornstørrelse ned til 0,4 μm . Siktefraksjonene er bevart.

Vedlegg 1 gjengir analyserapporten fra NGU Lab i sin helhet. Analyserapporten inneholder ytterligere opplysninger om analysemetoder og -kvalitet. Eksterne analyser er gjennomført for tributyltinn (TBT) og ^{210}Pb -datering. De eksterne analyserapportene er presentert i Vedlegg 2 og Vedlegg 3. Samtlige analysemetoder er akkrediterte metoder.

4. KVALITETSKONTROLL

For kvalitetskontroll er det satt inn to forskjellige sedimentprøver fra Trondheimsfjorden i prøvesettet. Prøvene heter standard Hynne fra indre Trondheimsfjord og standard KDF tatt utenfor Killingdal flotasjonsanlegg i Trondheim havn. Det er gjennomført 4 parallelle analyser av hver av de to innsatte sedimentprøvene. Analyseresultatene er presentert sammen med de øvrige resultatene i Vedlegg 1.

5. RESULTATER

Geokjemiske data fra samtlige analyser finnes i Vedleggene 1-3. I de fleste sammenhenger benyttes konsentrasjonsenheten mg/kg sediment. Denne enhet svarer til ppm (parts per million), som er benyttet der plasshensyn i kart krever det. For å kunne operere med datasett (statistikk og kart) for alle observasjoner er alle analyseresultater rapportert "< deteksjonsgrense" satt til verdien $0,5 \times$ deteksjonsgrense for det gjeldende stoff.

5.1 Overflateprøver (0-1 cm)

De geokjemiske resultatene for overflateprøvene (0-1 cm) presenteres for å få oversikt over dagens miljøtilstand. Parametrene som presenteres her er sedimentenes sammensetning (kornstørrelsesfordeling), innhold av organisk karbon (TOC), innhold av karbonat og innholdet av tungmetallene kadmium (Cd), kobber (Cu), krom (Cr), kvikksølv (Hg), nikkel (Ni), bly (Pb) og sink (Zn), samt elementene arsen (As) og barium (Ba). Kart for de nevnte parametrene finnes i Vedlegg 4. I tillegg er utvalgte prøver analysert for innhold av tributyltinn (TBT) ved et eksternt analyselaboratorium, Eurofins Norsk Miljøanalyse AS (Vedlegg 2). For TBT-analyse ble det tatt ut prøvematerial fra 0-2 cm for å få tilstrekkelig prøvemateriale til analysen.

5.1.1 Kornstørrelsesfordeling, organisk karbon og karbonat

I utgangspunktet er prøvetaking for miljøanalyser gjennomført i områder med finkornige sedimenter. De fleste prøvetakingsstasjonene er valgt ut før tokt på bakgrunn av blant annet multistråledata (dybde og backscatter). Metodikken for geologisk havbunnskartlegging er gitt i Bøe m. fl. (2010). Prøvetaking planlegges der en forventer at det avsettes finkornige sedimenter, typisk i dype eller beskyttede områder. Kornstørrelser, sedimenttyper og klassifisering er vist i Tabell 2.

Tabell 2. Sedimentklassifikasjon. Kornstørrelser og type sediment (DNV, 2001; Buchanan, 1984) samt NGUs sedimentklassifikasjon.

Sikteditameter (µm)	Beskrivelse ¹	Definisjoner ²
4.000	Grus	Grus: > 80 % grus Grusholdig slamholdig sand: sand: silt+leir fra 1:1 til 9:1, grus 2-30 % Grov sand: sand > 90 %, inkluderer medium, grov og svært grov sand. Sand: sand > 90 %, grus < 2 %, leir + silt < 10 % Fin sand: sand > 90 %, inkluderer fin og veldig fin sand Siltholdig sand: sand > 50 %, silt:leir > 2:1 og leir+silt < 50 %, grus < 2 %. Slamholdig sand: sand > 50 %, leir: silt fra 1:2 til 2:1, leir + silt < 50 %, grus < 2 %. Leirholdig sand: sand > 50 %, leir:silt > 2:1 og leir+silt < 50 %, grus < 2 %. Sandholdig silt: silt:leir > 2:1, leir + silt > 50 %, sand < 50 %, grus < 2 %. Silt: Leir:silt < 1:2, leir + silt > 90 %, sand < 10 %, grus < 2 %. Sandholdig slam: Leir:silt fra 1:2 – 2:1, leir + silt > 50 %, sand < 50 %, grus < 2 %. Leir: leir:silt > 2:1, leir+silt > 90 %, sand < 10 %, grus < 2 %.
2.000	Veldig grov sand	
1.000	Grov sand	
500		
355	Medium sand	
250		
180	Fin sand	
125		
90	Veldig fin sand	
63		
< 63	Silt	
< 2	Leir	

¹ DNV klassifikasjoner. ² Definisjoner brukt av NGU

Finkornige sedimenter og organisk materiale, som oftest finnes sammen, binder forurensende stoffer til seg i høyere grad enn mer grovkornige sedimenter, som i mindre grad er i stand til å binde forurensende stoffer.

Tabell 3 viser kornstørrelsesfordelingen i leir, silt, sand og grusfraksjonene i overflateprøvene. Kornstørrelsesdataene for overflateprøvene (0-1 cm) finnes i Vedlegg 1. Kart over kornstørrelsesfordelingen (leir, silt, sand, grus) i overflatesedimentene er vist i Figur 5. Finstoff omfatter silt og leir (<63 µm diameter). Silt (2-63 µm) er sammen med sand (63-2000 µm) de dominerende fraksjoner i de fleste overflateprøvene. Leir (<2 µm) utgjør en mindre del av prøvene, med en maksimal andel på 13,4 %. Sediment i grusfraksjonen utgjør maksimalt 2,3 %. Det er registrert store andeler av svampspikler i de øverste 7 cm i R457 og 5 cm i R474 som vist i Figur 4.

R447 (Eggakanten) består av grusholdig slamholdig sand. Overflateprøvene fra de øvrige 4 stasjonene består av sandig silt. Andelen leir og silt er høyere på stasjonene R479 og R488 på dyphavssletten i Nordland VII enn på stasjonene på Eggakanten og Tromsøflaket.

Tabell 3. Kornstørrelsesfordelinger, TOC, CaCO₃ og total svovel for overflateprøvene (0-1 cm kjernedyp) fra 5 prøvetakingsstasjoner.

Sedimentfraksjon	Min.	Median	Gjennomsnitt	Max.
Leire [%]	1,80	7,30	6,90	11,90
Silt [%]	23,6	56,7	55,6	76,6
Mud [%]	25,4	64,0	62,5	88,5
Sand [%]	25,4	36,0	34,8	61,1
Grus [%]	0,0	0,0	2,7	13,5
TOC [vekt %]	0,25	0,82	0,74	1,06
Karbonat [vekt %]	2,68	24,8	21,9	30,2
Svovel [vekt %]	0,01	0,10	0,09	0,15

Kart over innhold av organisk karbon (TOC) i overflateprøvene er vist i Figur 6. TOC-verdiene varierer fra 0,25 vekt % fra prøvetakingsstasjon R447 fra skråningen i Eggakanten-området, til 1,06 vekt % på stasjon R488 på dyphavssletten i Nordland VII.

Andelen av karbonat i sedimentene beregnes fra LECO-dataene, og gjøres ut fra antakelsen om at karbon (C) som ikke er av organisk opprinnelse er bundet i karbonat (CaCO_3).

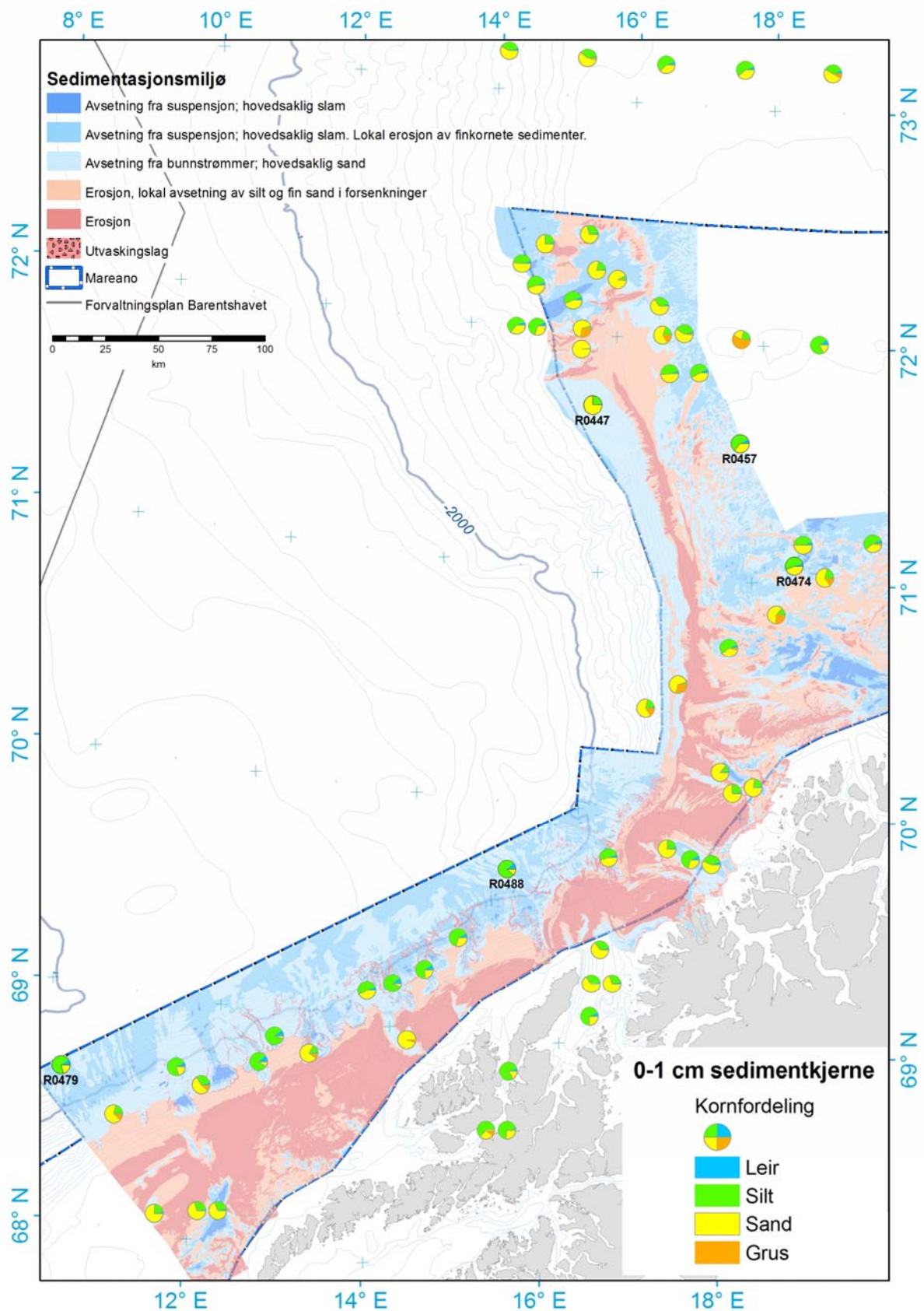
Karbonatverdiene i vektprosent beregnes fra følgende formel:

$$(\text{TC} - \text{TOC}) \times (\text{CaCO}_3/\text{C}) = (\text{TC} - \text{TOC}) \times 8,33$$

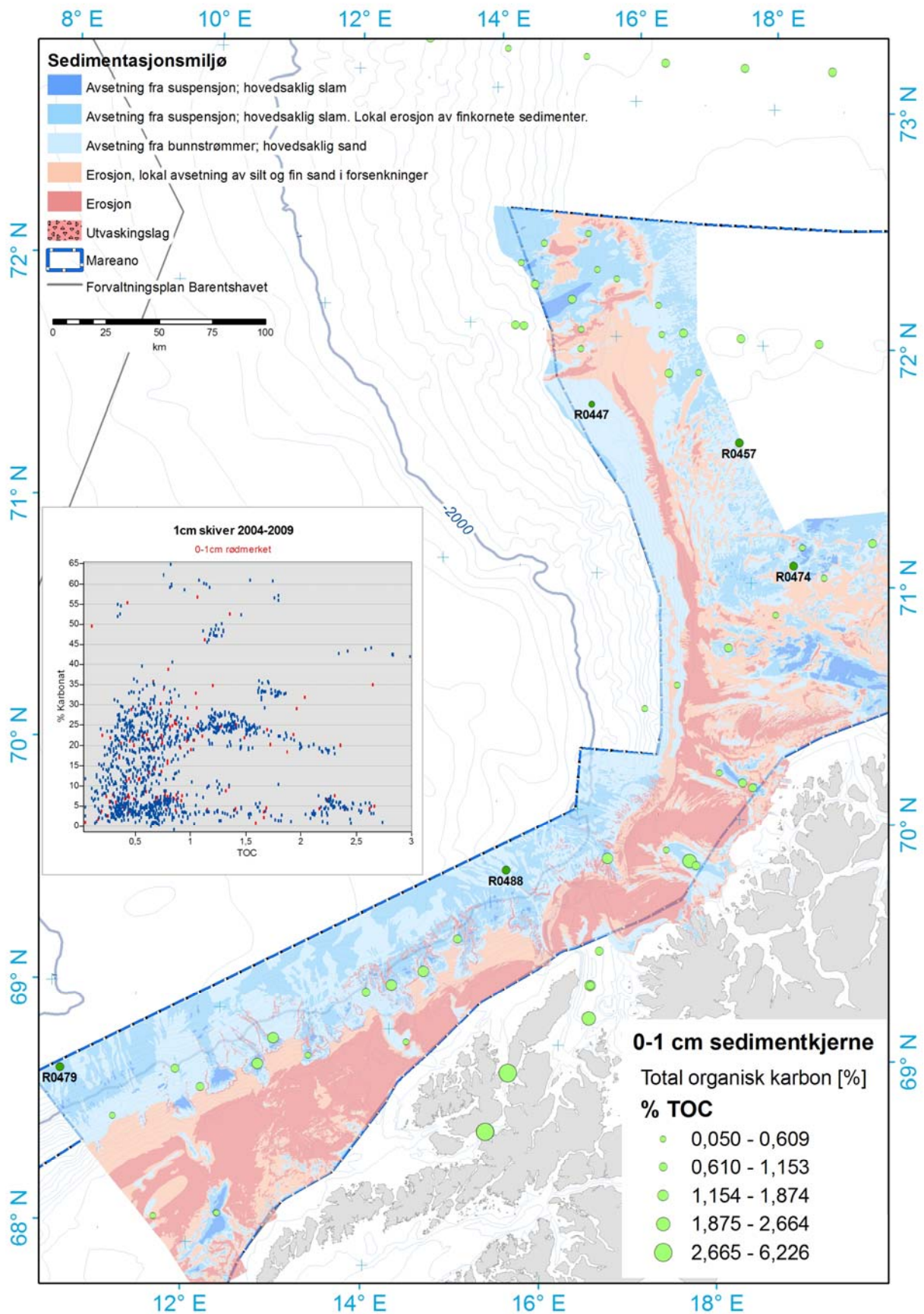
TC er innholdet av total karbon, målt med LECO.

Andelen av karbonat varierer fra 2,7 vekt % i R447 til 30,2 vekt % på R479 på 2706 m. Det antas at karbonat i sedimentene har en biologisk opprinnelse hovedsaklig fra bentiske og planktoniske organismer med kalkskjell. Også andre organismer med kalkskjell kan bidra til karbonatinnholdet i sedimentene, eksempelvis brachiopoder.

Det er generelt lave svovelverdier (S) i prøvene, hvilket tyder på at overflatesedimentene ikke har vært utsatt for reduserende forhold.



Figur 5. Kornstørrelsesfordeling i 0-1 cm prøvene. De 5 stasjonene fra høsttoktet 2009 er presentert med stasjonsnummer. Kornstørrelsesfordelingen for de øvrige stasjonene er fra tidligere rapporterte MAREANO-tokt og HI-tokt 2004. Bakgrunnskartet viser sedimentasjonsmiljø tolket i MAREANO.



Figur 6. Total organisk karbon (TOC) i 0-1 cm prøvene. De 5 stasjonene fra høsttoktet 2009 er presentert med stasjonsnummer. TOC-verdiene fra de øvrige stasjonene med lysegrønn farge er fra tidligere MAREANO-tokt og HI-tokt 2004. Bakgrunnskartet viser sedimentasjonsmiljø tolket i MAREANO.

5.1.2 Innhold av tungmetaller, arsen, barium og tributyltinn (TBT)

Det er analysert for tungmetallene bly (Pb), kadmium (Cd), kobber (Cu), krom (Cr), kvikksølv (Hg), nikkel (Ni), sink (Zn), tinn (Sn) samt arsen (As) i overflateprøvene fra samtlige 5 prøvetakingsstasjoner, og tributyltinn (TBT) på 3 prøvetakingsstasjoner. Tungmetall- og arsenkonsentrasjonene i sedimentprøvene sammenlignes med Klif sitt klassifiseringssystem for forurensingsnivåer i sedimenter i kyst- og fjordområder (Molvær m. fl., 1997; SFT, 2007). Dette har følgende klasser:

Klasse I: ubetydelig – mindre forurensing; klasse II: moderat forurensing; klasse III: betydelig forurenset; klasse IV: sterkt forurenset; klasse V: meget sterkt forurenset

Barium (Ba) er også inkludert selv om Ba ikke er et toksisk element. Olsgård og Gray (1995) og Rye (1996) har rapportert fra utslipp av barytt fra norsk offshore-virksomhet i Nordsjøen. Ba i sedimenter i Skagerrak er rapportert, og de forhøyede verdiene øverst i sedimentene er tillagt tilførsel av barium fra boreslam brukt i Nordsjøen og avsatt med havstrømmer i Skagerrak (Sæther m. fl., 1996; Thorsnes og Klungesøy, 1997; Lepland m. fl., 2000). Dehairs m.fl.(1980) og Nuernberg m. fl. (1997) beskriver andre prosesser for forekomst av Ba i sedimenter: det dannes små baryttkrystaller i mikronisjer i organisk materiale som brytes ned i vannsøylen, spesielt i områder med høy biologisk produktivitet.

Tabell 4 gir minimum, gjennomsnitt, median og maksimumsverdier for de angitte stoffene i prøvene fra høsttoktet 2009. Kart som viser konsentrasjoner av tungmetaller, arsen og barium i overflatesedimentene finnes i Vedlegg 4.

Arsen (As)

As-konsentrasjonene varierer fra 5,1 til 12,6 mg/kg tørrvekt sediment med en gjennomsnittsverdi på 8,2 mg/kg sediment. De største konsentrasjonene er i sedimentprøvene fra de to stasjonene på dyphavssletten i Nordland VII. Alle prøver er i Klif tilstandsklasse I for kyst- og fjordsedimenter (<20 mg/kg sediment), ifølge SFT veileder 2229 (2007).

Bly (Pb)

Pb-konsentrasjonen i overflatesedimentene varierer fra 5,7 til 32,5 mg/kg sediment tørrvekt (Figur 7). Stasjon R488 fra dyphavssletten i Nordland VII er i Klif tilstandsklasse II for kyst- og fjordsedimenter (30-83 mg/kg sediment), mens de 4 øvrige stasjonene er i tilstandsklasse I (<30 mg/kg sediment).

Kadmium (Cd)

Cd-konsentrasjonene varierer fra 0,02-0,16 mg/kg sediment. Alle prøver har konsentrasjoner svarende til Klif klasse I (<0,25 mg/kg) for fjord- og kystsedimenter.

Kobber (Cu)

Cu er registrert i samtlige prøver, med konsentrasjoner fra 7,2-20,3 mg/kg sediment. Samtlige 5 overflateprøver er i Klif tilstandsklasse I for fjord- og kystsedimenter (<35 mg/kg sediment).

Krom (Cr)

Krom varierer fra 16,3 til 24,1 mg/kg sediment, og samtlige 5 prøver er i Klif tilstandsklasse I for kyst og fjordsedimenter (<70 mg/kg sediment).

Kvikksølv (Hg)

Hg er registrert i overflateprøvene på samtlige prøvetakingsstasjoner. Laveste verdi er 0,010 mg/kg sediment og høyeste verdi er 0,042 mg/kg sediment på stasjon R488, som er prøven med høyeste TOC-verdi på 1,06 vekt %. Alle Hg-verdiene er i tilstandsklasse I (<0,15 mg/kg sediment) i Klifs klassifikasjon for fjord- og kystsedimenter.

Nikkel (Ni)

Nikkel varierer fra 12,5 til 30,5 mg/kg sediment. 4 av 5 overflateprøver er i tilstandsklasse I for kyst og fjordsedimenter og en prøve fra stasjon R488 (Nordland VII) er i tilstandsklasse II for kyst og fjordsedimenter (30-46 mg/kg sediment).

Sink (Zn)

Zn-konsentrasjonen varierer fra 28,6 til 56,8 mg/kg sediment, tilsvarende tilstandsklasse I (<150 mg/kg sediment) for samtlige 5 stasjoner.

Barium (Ba)

Ba-konsentrasjonen varierer fra 60,9 til 242,0 mg/kg sediment. Ba-konsentrasjonene for de tre stasjonene fra Eggakanten-området og Tromsøflaket varierer fra 60,9 til 79,2 mg/kg sediment. Det er større Ba-konsentrasjoner i prøvene fra dyphavssletten i Nordland VII (197 mg/kg og 242 mg/kg sediment). Nivåene fra Nordland VII er på omtrent samme nivå som registrert for prøvetakingsstasjoner på skråningen i Nordland VII (Jensen m. fl., 2009).

Tributyltinn (TBT)

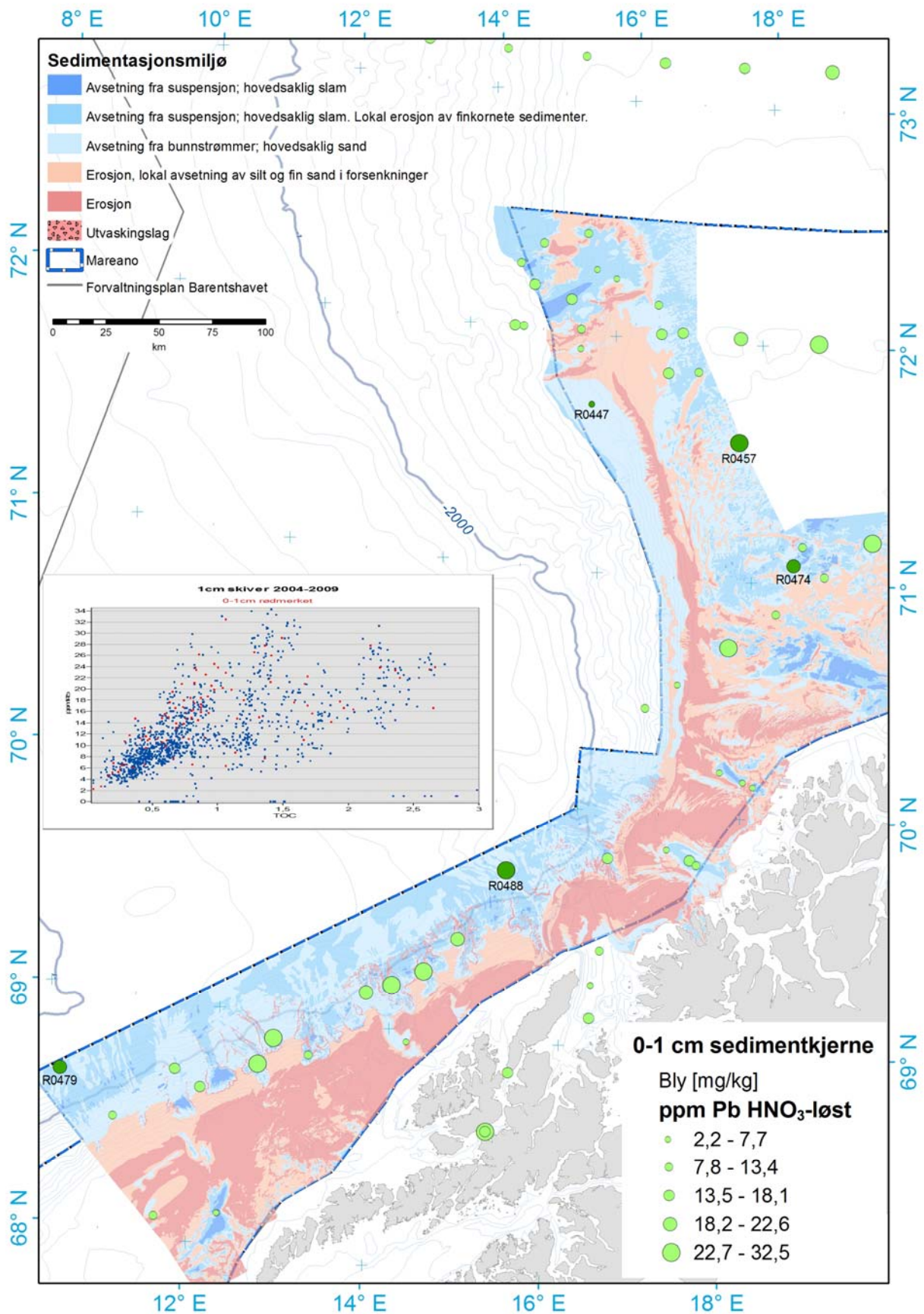
TBT er et stoff som brukes for å hindre algevekst på skipsskrog, og er en meget toksisk, organisk tinnforbindelse (Braastad, 2000). Prøvene fra henholdsvis R474, R479 og R488 er analysert for TBT, men de 3 prøvene hadde analyseresultater under deteksjonsgrensen på 1 µg/kg tørrstoff. Resultatene er rapportert i Vedlegg 2.

Tabell 4. Minimum, gjennomsnitt, median og maksimumsverdier for tungmetaller, arsen og barium fra prøver i dybdeintervallet 0-1 cm på 5 prøvetakingsstasjoner. Tributyltinn er analysert i prøver fra 3 stasjoner (0-2 cm).

Kjemisk stoff	Minimum	Medianverdi	gjennomsnitt	Maksimum
Arsen (As) [mg/kg]	5,1	7,4	8,2	12,6
Bly (Pb) [mg/kg]	5,7	21,1	20,7	32,5
Kadmium (Cd) [mg/kg]	0,02	0,15	0,12	0,16
Kobber (Cu) [mg/kg]	7,2	10,3	13,6	20,3
Krom (Cr) [mg/kg]	16,3	20,2	20,4	24,1
Kvikksølv (Hg) [mg/kg]	0,010	0,032	0,031	0,042
Nikkel (Ni) [mg/kg]	12,5	21,1	20,8	30,5
Sink (Zn) [mg/kg]	28,6	47,0	44,7	56,8
Barium ² (Ba) [mg/kg]	60,9	79,2	130,8	242,0
Tributyltinn ¹ (TBT) [µg/kg]	<1	-	-	-

¹TBT, analysert ved eksternt laboratorium (Vedlegg 2).

²Ba er ikke på Klifs liste, men er av interesse i forhold til utslipp av barytt i forbindelse med boreoperasjoner.



Figur 7. Pb-konsentrasjonene i 0-1 cm prøvene. De 5 stasjonene på MAREANO høsttoktet 2009 er angitt med stasjonsnummer. De øvrige prøvepunktene er fra tidligere MAREANO-tokt og HI-tokt 2004. Bakgrunnskartet er det tolkede sedimentasjonsmiljøet utarbeidet av MAREANO.

Oppsummering

Stasjon R488 fra dyphavssletten i Nordland VII har de høyeste konsentrasjonene av de fleste tungmetallene og arsen, sammenlignet med overflateprøven (0-1 cm) fra de øvrige stasjonene. Denne stasjonen har også den største andel finstoff (silt og leir) og høyeste TOC-verdi. Både finstoff og organisk karbon binder i høy grad tungmetallene til seg. Det er derimot generelt lave konsentrasjoner av tungmetaller i stasjonene fra Eggakant-området og Tromsøflaket. Disse stasjonene har lavere andel av finstoff og TOC-innhold enn i R488. Det samme gjelder for den andre stasjonen på dyphavssletten i Nordland VII, R479.

Tabell 5. Metaller, arsen og TBT i Klif forurensing tilstandsklasser for marine overflatesedimenter og antall prøver innenfor hver tilstandsklasse. Klima og forurensingsdirektoratets (Klifs) marine forurensingsklassifisering gjelder for metaller og uorganiske elementer i fjorder og kystsedimenter (Molvær m. fl., 1997; SFT-veileder 2229, 2007). Uthevet skrift viser antall 0-1 cm prøver i hver av klassene I-V.

Parametere	Forurensingsnivåer				
	I Ubetydelig – mindre forurensing	II Moderat forurenset	III Betydelig forurenset	IV Sterkt forurenset	V Meget sterkt forurenset
Arsen (mg/kg) As	<20 5	20 – 52 0	52 – 76 0	76 – 580 0	>580 0
Bly (mg/kg) Pb	<30 4	30 – 83 1	83 – 100 0	100 – 720 0	>720 0
Kadmium (mg/kg) Cd	<0,25 5	0,25 – 2,6 0	2,6 – 15 0	15 – 140 0	>140 0
Kobber (mg/kg) Cu	<35 5	35 – 51 0	51 – 55 0	55 – 220 0	>220 0
Krom (mg/kg) Cr	<70 5	70 – 560 0	560 – 5900 0	5900 – 59000 0	>59000 0
Kvikksølv (mg/kg) Hg	<0,15 5	0,15 – 0,63 0	0,63 – 0,86 0	0,86 – 1,6 0	>1,6 0
Nikkel (mg/kg) Ni	<30 4	30 – 46 1	46 – 120 0	120 – 840 0	>840 0
Sink (mg/kg) Zn	<150 5	150 – 360 0	360 – 590 0	590 – 4500 0	>4500 0
TBT (µg/kg)	<1 3	1 – 5 0	5 – 20 0	20 – 100 0	>100 0

5.2 Analyser av sedimentkjerner

5.2.1 Bly-isotop ^{210}Pb - datering og sedimentakkumulasjonsrater

Bestemmelse av akkumulasjonsrater er viktig for å vurdere om det skjer en tilførsel av sedimenter og hvorvidt denne tilførsel er stabil eller preget av perioder med manglende avsetning, og hvorvidt det er erosjon eller manglende sedimentasjon. Alderen av de øverste sedimentlagene og dermed beregningen av sedimentakkumulasjonsrater kan bestemmes ved måling av ^{210}Pb aktiviteten i sedimentene. Isotopen ^{210}Pb har en halveringstid på 22,3 år. Bakgrunnsverdien for ^{210}Pb bestemmes ut fra mengden av bakgrunnsstråling ^{210}Pb (= "supported" ^{210}Pb), som er uavhengig av sedimentasjon. Bestemmelsen av ^{210}Pb bakgrunnsstråling skjer fra de dypere sjiktene i sedimentet, hvor konsentrasjonen er konstant, idet all atmosfærisk nedfall av ^{210}Pb (= "unsupported" ^{210}Pb) er nedbrutt.

Datering og bestemmelse av sedimentakkumulasjonsrater ble gjennomført på tre sedimentkjerner i studieområdet (Tabell 6). ^{210}Pb målinger ble foretatt av DHI i Danmark (www.dhi.dk) og resultatene er presentert i Figur 8 og 9. Dateringsrapporten i sin helhet finnes i Vedlegg 3.

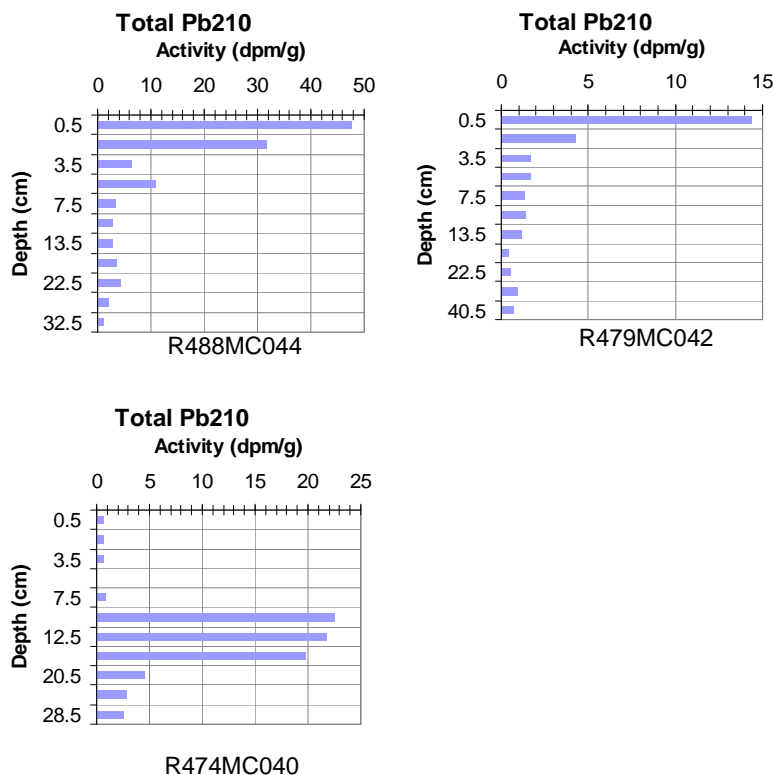
Tabell 6. ^{210}Pb dateringsresultater fra 3 sedimentkjerner. MAR = masseakkumulasjonsrate; LSR = lineær sedimentasjonsrate (dybde 0-2 cm); A.D. = Alder/Dyp i spesifikk dyp i kjernen.

Stasjon- og multicore nr.	Lokalitet	MAR g*m ² *år	LSR mm/år	Alder/Dyp A.D./cm	Kvalitet på datering
R474MC040	Tromsøflaket	÷	÷	÷	Datering ikke mulig
R479MC042	Dyphavsslette, Nordland VII	1333 ±641	3,2	1975/7,5	Usikker
R488MC044	Dyphavsslette, Nordland VII	418 ±114	1,0	1955/5,5	Usikker

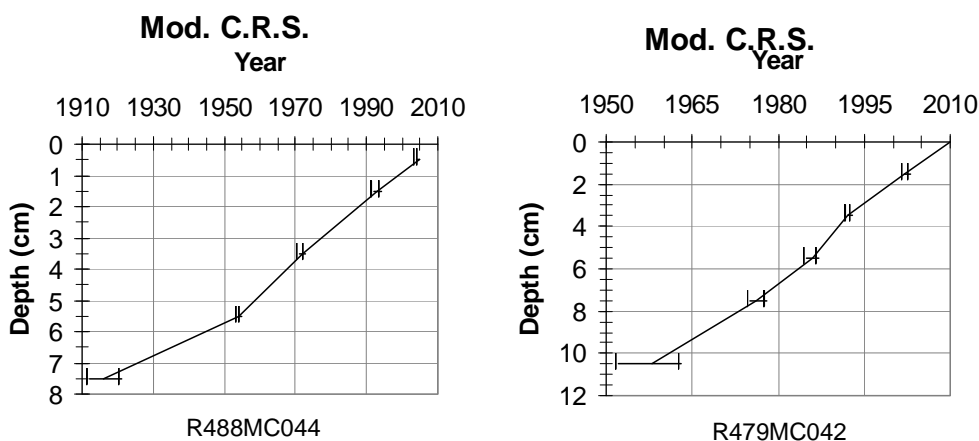
Datering av kerne R474MC040 var ikke mulig på grunn av store variasjoner i ^{210}Pb -innhold. Forstyrrelser av sedimentasjonsprosessene er påvist i kjernen R474MC040 (Figur 8). Høy variasjon i ^{210}Pb -innhold viser betydelig endring i sedimentasjonsmønster omkring 9-10 cm (Figur 8), slik at dateringen ikke kunne utføres.

R488 på dyphavssletten (2220 m dyp) viser et jevnt mønster i ^{210}Pb -konsentrasjon (Figur 8). Lineær sedimentasjonsrate i overflatesedimenter (0-2 cm) er på ~1,0 mm/år med en basisalder på ~1955 ±5 år i 5,5 cm dyp (Tabell 6, Figur 9). Dypere i kjernen er usikkerheten meget stor siden ^{210}Pb innholdet er lavt. Stasjon R479 er lokalisert på dyphavssletten på 2706 m dyp. Høyere sedimentasjonsrate (3,2 mm/år) av overflatesedimenter (0-2 cm) er påvist i R479. Datering av sedimentene viser en rask reduksjon i ^{210}Pb -innhold i de øverste ~7 cm. Syv centimeter tilsvarer ~1975 ±5 år (Figur 9). Deretter er innholdet av ^{210}Pb nær konstant, noe som indikerer "supported" ^{210}Pb .

Siden variasjonen i de øverste lag av de to kjernene fra R479 og R488 er veldig høye, betraktes dateringene (Figur 8) som meget usikre. Ytterligere dateringer vil bli utført på begge sedimentkjerner med radiokarbon ^{14}C -metoden for å teste den eksisterende aldersmodellen.



Figur 8. Total ^{210}Pb -aktivitet (dpm/g) i daterte sedimentkjerner fra MAREANO-tokt 2009111.



Figur 9. ^{210}Pb -alder – dybde kryssplot for to daterte sedimentkjerner.

5.2.2 Kullstoff, karbonat og svovel

Innholdet av TOC og CaCO_3 er generelt veldig variabelt i alle kjerner. Verdiene ligger på rundt 0,3 til 1,0 vekt % for TOC og 5 til 40 vekt % for CaCO_3 . TOC verdiene viser en fallende trend

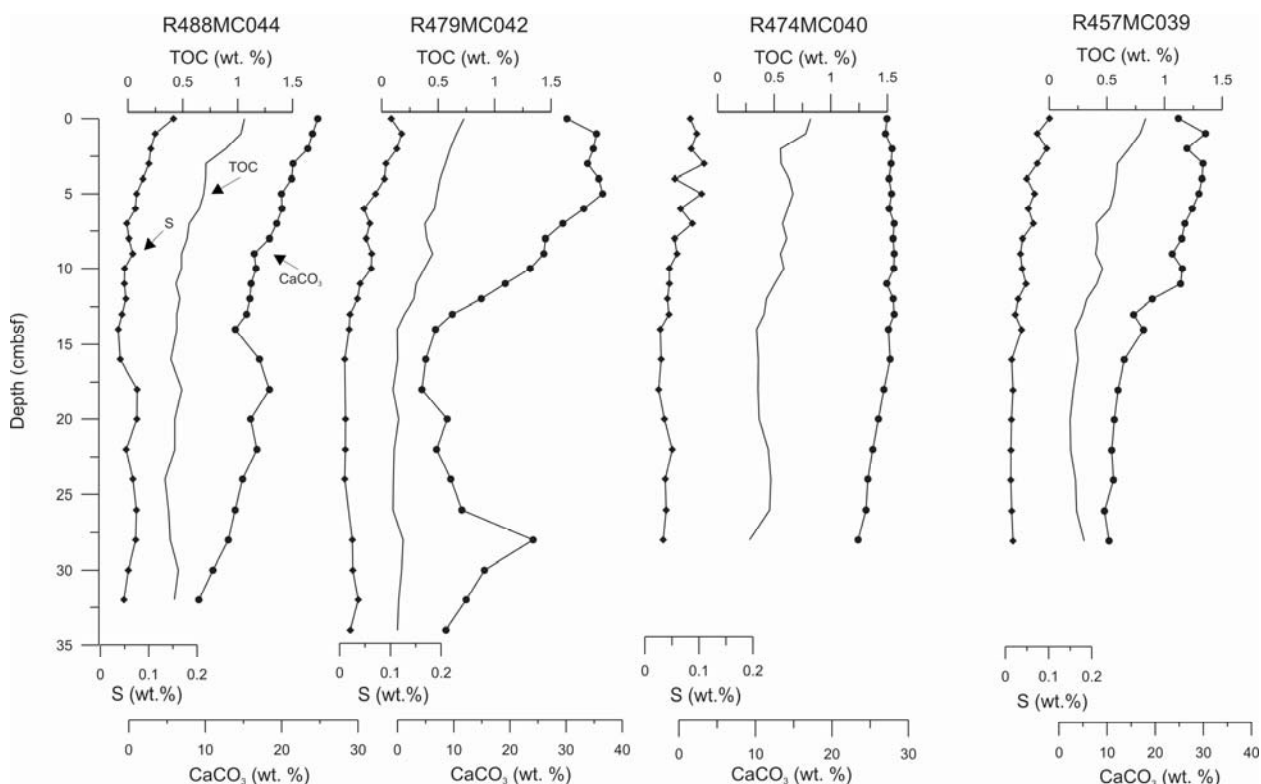
nedover i alle kjernene (Figur 10). CaCO_3 -innholdet derimot varierer betydelig både på sokkelen og på dyphavssletten.

Kjerne R474MC040 fra Tromsøflaket viser et mer eller mindre konstant innhold av CaCO_3 (~25 vekt %), TOC (0,5 – 1,0 vekt %) og S (<0,1 vekt %).

Kjerne R457MC039 fra Eggakanten viser en liknende trend som R474MC040 med høyere CaCO_3 verdier (>20 vekt %) i de øverste lagene (~10 cm) og gradvis nedgang (<20 vekt %) i lagene under. TOC- og S-innholdet følger den samme trenden.

Kjerne R488MC044 fra dyphavssletten (2220 m) i Nordland VII viser samme mønster som observert i kjerne R457MC039 (Eggakant-området) med en gradvis nedgang av både CaCO_3 , TOC- og S-innholdet.

Kjerne R479MC042 fra dyphavssletten lengre mot sør i Nordland VII viser et markant fall i CaCO_3 rundt 10 cm dyp fra 25 vekt % til mindre enn 10 vekt % (Figur 10). CaCO_3 innholdet stiger igjen rundt 28 cm (opp til 25 vekt %) og faller tilbake mot mindre enn 10 vekt % nederst. Ingen store endringer er påvist i S-innholdet (<0,1 vekt %).



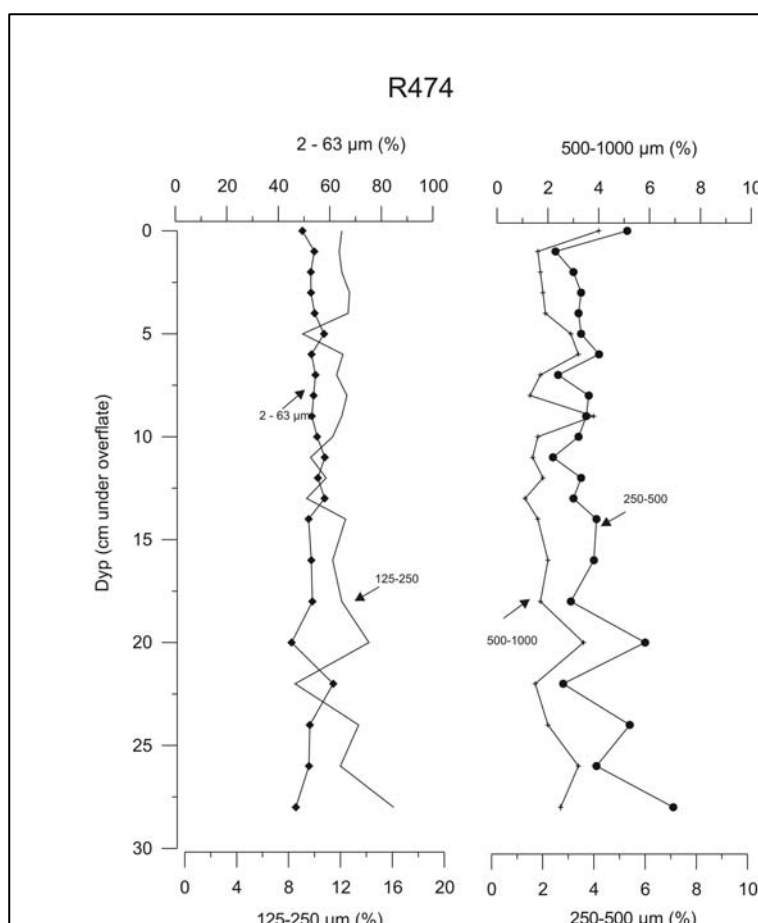
Figur 10. TOC, CaCO_3 og total-S i sedimenter fra sedimentkjerner fra 4 stasjoner. Dybdeskala til venstre er i cm.

5.2.3 Kornstørrelsesfordeling

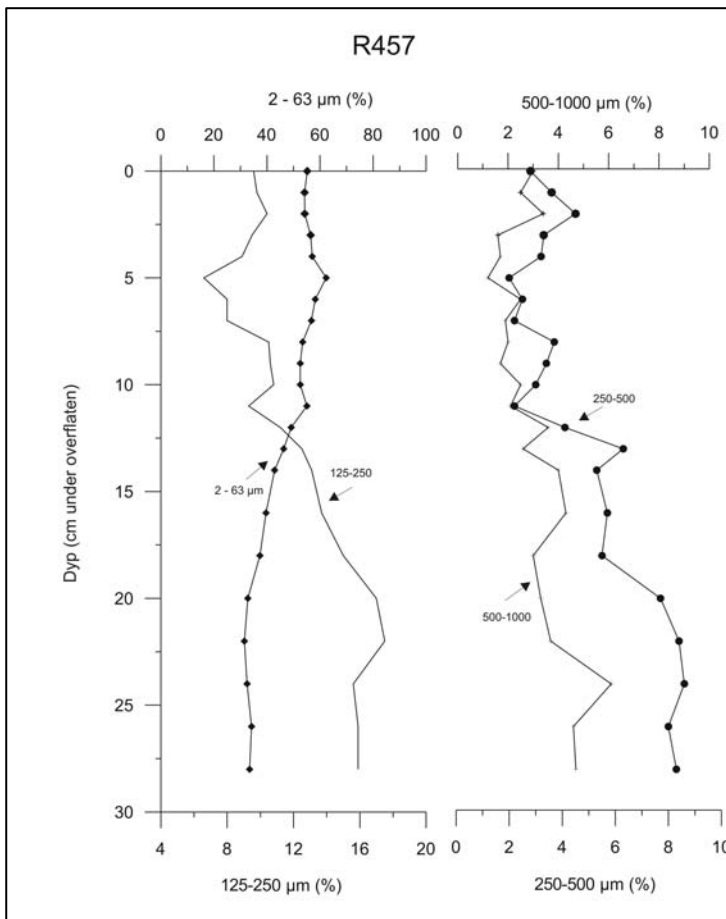
I kjerne R474MC040 viser kornstørrelsesfordelingen at finstoff (2-63 μm) er hovedkomponenten i sedimentene med en mer eller mindre konstant andel på rundt 50 %. (Figur 11). Andelen av sandfraksjonen mellom 125 μm og 1000 μm er på rundt 20 % og viser lite variasjon.

I kjerne R457MC039 fra Eggakanten (293 m dyp) derimot øker grovkornandelen betydelig fra ~12 cm til bunnen av sedimentkjernen (Figur 12). Grovkornandelen (125-1000 μm) forblir konstant høy (~30 %) mot bunnen av sedimentkjernen, noe som tyder på at omarbeiding kan være en årsak. Denne sedimentkjernen er ikke datert.

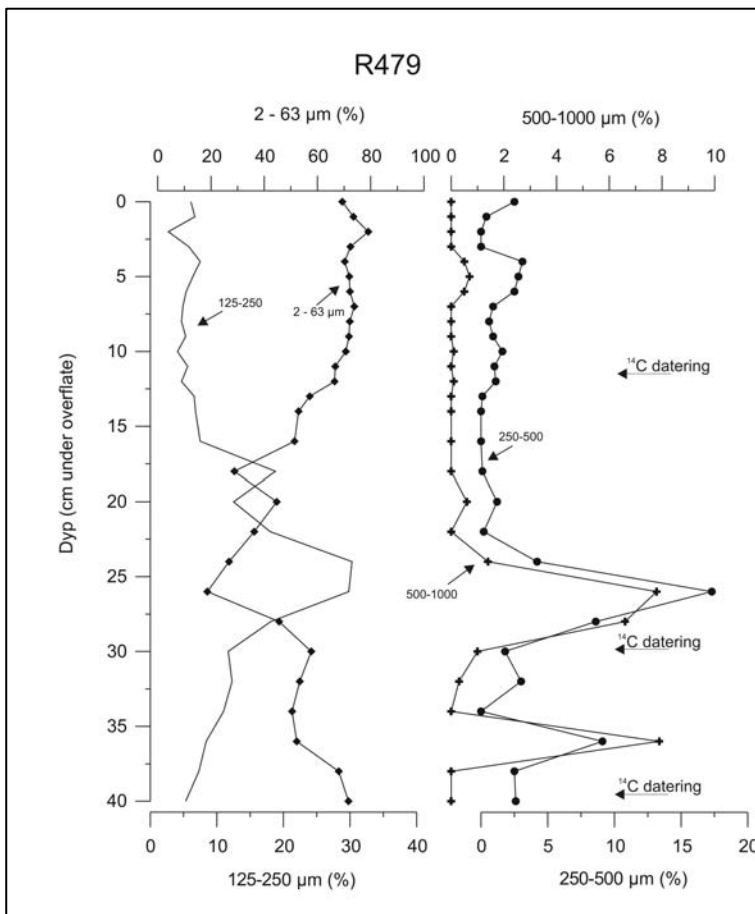
To kjerner R479MC042 og R488MC044 fra dyphavssletten i Nordland VII (2706 m og 2220 m dyp) viser en høy variasjon i tilførsel av grovkornet sediment. Begge kjerner viser en plutselig økning i grovkorntilførselen på rundt 25 cm mens andelen av silt (2-63 μm) synker betydelig (Figur 13 og 14). To usorterte grovkornopper nederst i sedimentkjerne R479MC042 tyder på re-sedimentasjon/omarbeiding forårsaket av strøm ved havbunnen eller rasavsetninger. En annen mulighet kan være avsetninger fra smeltende isfjell (isdroppet materiale) fra siste deglasiasjon.



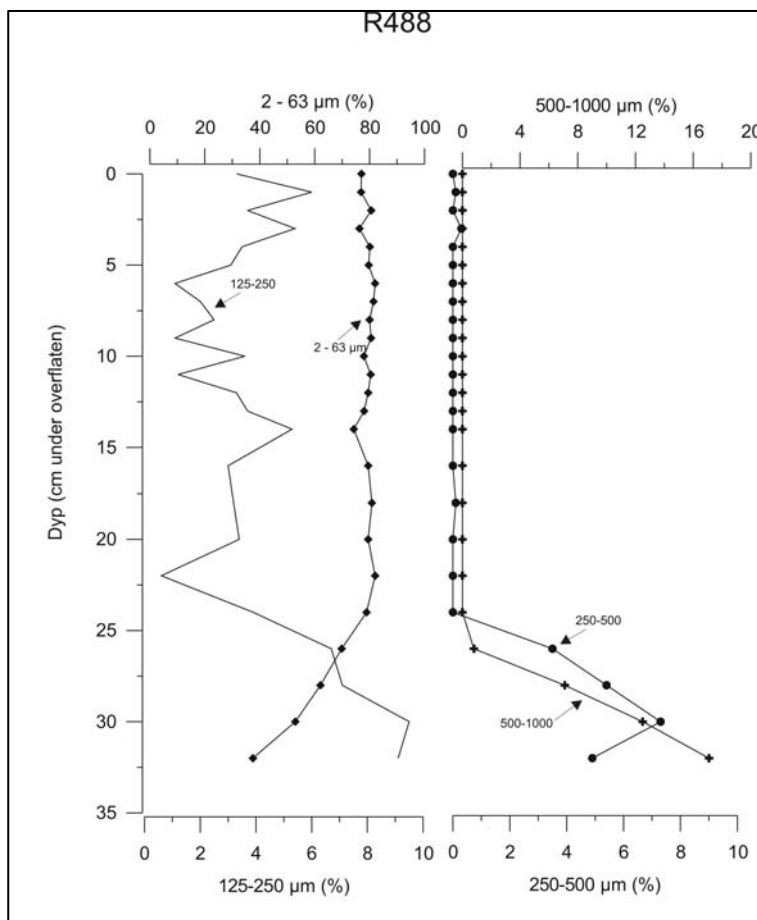
Figur 11. Kornstørrelsesfordeling på stasjon R474 (Tromsøflaket, 258 m). Fraksjoner: 2-63 μm , 125-250 μm , 250-500 μm og 500-1000 μm . Dybdeskalaen til venstre er i cm.



Figur 12. Kornstørrelsesfordeling på stasjon R457 (Eggakant-området, 292 m). Fraksjoner: 2-63µm, 125-250 µm, 250-500 µm og 500-1000 µm. Dybdeskalaen til venstre er i cm.



Figur 13. Kornstørrelsesfordeling på stasjon R479 (Nordland VII, 2706 m). Fraksjoner: 2 - 63µm, 125-250 µm, 250-500 µm og 500-1000 µm. Dybdeskalaen til venstre er i cm. ¹⁴C markeringene viser hvor det er tatt ut prøver til ¹⁴C-datering.



Figur 14. Kornstørrelsesfordeling på stasjon R488 (Nordland VII, 2220 m). Fraksjoner: 2-3µm, 125-250 µm, 250-500 µm og 500-1000 µm. Dybdeskalaen til venstre er i cm.

5.2.4 Diskusjon

De 2 sedimentkjernene R479 og R488 fra dyphavssletten viser indikasjoner på et ujevnt avsetningsmiljø. Tilførselen av usortert, grovkornet sediment i bunnen av sedimentkjernene kan forklares enten gjennom rasaktivitet i Holosen eller avsetning av isdroppet materiale etter den siste deglasiasjon (Laberg m. fl. 2002). En betydelig ras avsetning i studieområdet er registrert for rundt 4000 år siden (Trænadjupraset) (Laberg m. fl. 2002). Isen fra Eggakanten forsvant for rundt 15-13 000 år siden (Vorren og Plassen, 2002; Knies m. fl. 2007). At sedimentene kan være eldre enn indikert av ^{210}Pb -dateringen (Figur 9) vil bli studert ytterligere med 3 nye radiokarbon dateringer (Figur 13). Resultatene forventes i løpet av høsten 2011.

CaCO_3 -innhold i de to sedimentkjerner fra dyphavssletten (R479MC042, R488MC044) varierer mellom 10 og 40 vekt % og består hovedsakelig av kalkholdige mikrofosiler. Øker andelen av det terrigene materialet (hovedsakelig sand; Figur 13), slik det er påvist i bunnen av R479, så synker CaCO_3 -innhold betydelig (delvis under 10 vekt %) (Figur 10). Denne fortynningseffekten er i mindre grad synlig i sedimentkjerne R488. Her fører en økning i tilførselen av grov sand til betydelig lavere CaCO_3 innhold i bunnen av sedimentkjernen (Figurene 10, 13 og 14). TOC-innholdet følger stort sett trenden i CaCO_3 -innholdet i begge sedimentkjernene. Oksidasjon av

organisk karbon, akkumulasjon av metabolsk CO₂ i porevann, og lavere alkalinitet er en mulig årsak for den generelle nedgangen i både TOC og CaCO₃ i overflatesedimenter (Jahnke m. fl. 1994, 1997). Andre årsaker kan også være en naturlig nedgang/ variasjon i tilførselen av organisk karbon og karbonat over tid. Dersom sedimentene er betydelig eldre kan naturlige endringer av overflatesirkulasjoner i Norskehavet ha ført til endringer i produksjon av både karbonat og organisk karbon. Nye dateringsresultater vil også gi svar på disse spørsmålene.

Sokkelen: Et varierende avsetningsmiljø er påvist i kjerne R474MC040 fra Tromsøflaket og R457MC039 fra den sydlige delen av Eggakant-området. Finstoffandelen er konstant gjennom hele kjernen i R474 (Figur 11). En mulig forklaring på den uvanlige ²¹⁰Pb-fordelingen kan være resuspensjon og transport av finstoff fra havbunnen i nærheten av stasjon R474.

Resedimentasjonen kan ha ført til at finstoff med høy andel av ²¹⁰Pb er blitt avsatt i intervallet 8-13 cm i R474 før finstoff med liten andel av ²¹⁰Pb er blitt avsatt oppå disse sedimentene.

Kjerne R457MC039 fra sokkelen i Eggakant-området viser en markant nedgang i karbonatinnhold dypere (> 12 cm) i sedimentkjernen (Figur 11). Årsaken er sannsynligvis en dobling av grovkornede sediment i ca. 12 cm sedimentdybde (Figur 12). Både endring i karbonatandel og endring i andel grovkornet sediment i denne delen av sedimentkjernene tyder på en relativ rask endring i sedimentasjonen. Fortynning av karbonatandelen i den nedre delen av kjernen forårsaket av den større andel av sand blir erstattet av mer finstoff og karbonat fra 12 cm og oppover. Årsaken for det er uvisst men det dynamiske avsetningsmiljøet på sokkelen preget av sterke havstrømmer kan forårsake transport av kalkholdige mikrofossiler og utvasking av det finkornige materialet. De grove, sandholdige sedimenter i R457MC039 har lave TOC-konsentrasjoner (Figur 10) siden organisk materiale primært er knyttet til avsetningsmiljøer med lav energi, hvor finstoff avsettes. Utvasking av finstoff vil også føre til fjerning av organisk materiale fra sedimentene. Dermed blir "restmaterialet" et mer grovkornet sediment (erosjonshud).

Dateringsresultatene er variable. Den eneste troverdige dateringen er fra R488, hvor det i de øverste 24 cm av kjernen er homogene, siltholdige sedimenter. De to andre daterte sedimentkjernene kan enten ikke dateres (R474MC040 fra Tromsøflaket) grunnet uvanlig ²¹⁰Pb-fordeling i sedimentkjernen, eller fordi det er beregnet en meget høy sedimentasjonsrate på 3,2 mm/år på basis av få prøver i den øverste delen av sedimentkjernen (R479MC042).

5.3 Tungmetaller, arsen og barium i 4 sedimentkjerner

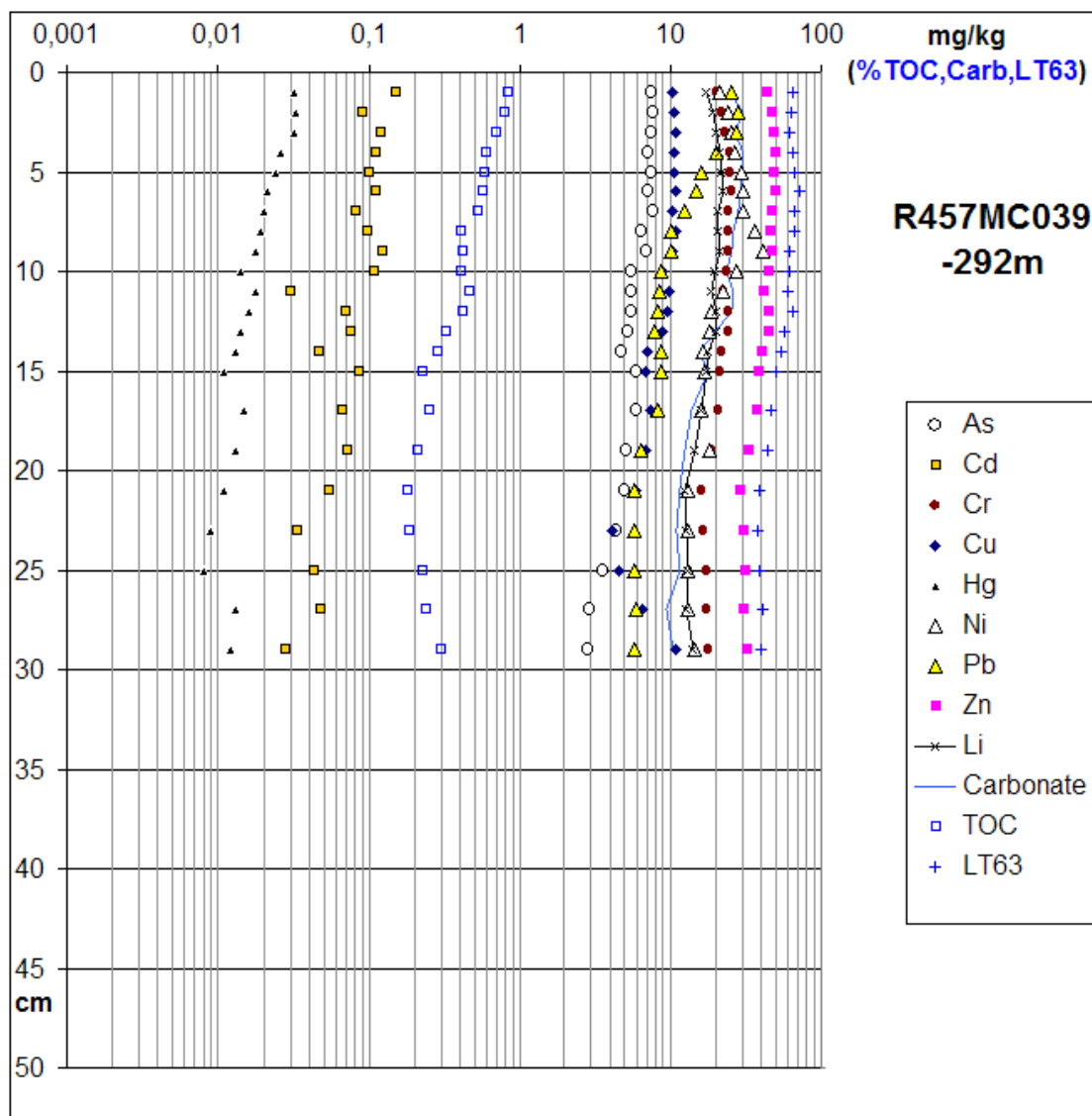
For å vurdere om dagens forurensingstilstand er endret i forhold til tidligere, er 4 sedimentkjerner inkludert de 3 ²¹⁰Pb-daterte kjernene analysert for hver centimeter ned til 15 cm, og deretter annenhver centimeter til bunnen av sedimentkjernene. Variasjoner i tungmetall-, arsen- og bariumkonsentrasjoner i 1 av de 3 ²¹⁰Pb-daterte kjerner gjør det mulig å vurdere hvorvidt det har skjedd en endring i tilførsel av disse stoffene i de øverste sedimentene i nyere tid. Endringer i tungmetallkonsentrasjoner kan skyldes naturlige forhold eller komme som resultat av menneskelig påvirkning. De kjemiske profilene for de 4 analyserte sedimentkjernene finnes i Vedlegg 5. Andel finstoff, TOC og ²¹⁰Pb-dateringene (hvor de er gjennomført) er inkludert, da både andeler finstoff og TOC har betydning for binding av tungmetaller og andre forurensende stoffer, og dermed konsentrasjonene av tungmetaller i sedimentene.

5.3.1 R457MC039 - sokkelen, Eggakanten

Stasjon R457 ligger på 292 m havdyp på kontinentalsokkelen på Eggakanten. Sedimentene i kjernen består av sandig silt i de øverste 15 cm, mens den nedre del av sedimentkjernen (15-29 cm) består av siltig sand. Andelen av finstoff (<63 µm) øker gradvis fra ca. 40 % til 60-70 % øverst i sedimentkjernen (Figur 15). Endringen i kornstørrelse til mer finkornete sedimenter tyder på svakere havstrømmer under avsetning av de øverste 15 cm. TOC varierer fra 0,18 vekt % i den nedre del til 0,84 vekt %, med markant økning fra 12-13 cm til toppen av kjernen (Figur 15). Det er økning for tungmetaller og arsen (As) mot toppen av sedimentkjernen, med unntak av nikkel (Ni) som har et maksimum på 41,4 mg/kg sediment i 8-9 cm. Hg og Pb øker markant fra 14-15 cm til 1-2 cm, henholdsvis fra 0,011 til 0,033 ppm og fra 6,2 til 28,1 ppm. Sedimentkjernen som ikke er ²¹⁰Pb-datert, har lignende nivåer som andre analyserte og daterte sedimentkjerner fra Eggakanten (Jensen m. fl., 2010). Hg- og Pb-konsentrasjonene korrelerer bra med TOC (Hg: 0,96; Pb: 0,94). Det tyder på at Hg og Pb i høy grad har bundet seg til organisk materiale avsatt i sedimentene. Ettersom det ikke er gjort ²¹⁰Pb datering av denne sedimentkjernen er det ikke mulig å tidsfeste økningen i Hg og Pb.

Tabell 7. Kjerne R457MC039 (0- 29 cm) minimum, gjennomsnitt, median og maksimumsverdier for tungmetaller, arsen og barium, samt korrelasjon med TOC og andel finstoff (<63 µm).

Antall prøver		As ppm	Ba Ppm	Cd ppm	Cr ppm	Cu ppm	Hg ppm	Ni Ppm	Pb Ppm	Zn ppm
N = 22	Min.	2,8	50,1	0,03	16,0	4,1	0,008	12,9	4,1	28,6
	Ave.	5,8	72,4	0,08	21,4	8,8	0,018	22,0	10,8	40,6
	Med.	5,7	79,0	0,08	22,0	9,7	0,016	19,9	8,4	43,5
	Max.	7,6	90,6	0,15	25,3	10,9	0,033	41,4	28,1	48,8
Korrelasjon	TOC	0,78	0,74	0,70	0,55	0,77	0,96	0,53	0,94	0,76
Korrelasjon	Finstoff	0,83	0,96	0,71	0,93	0,82	0,70	0,79	0,65	0,97



Figur 15. Innhold av TOC, finstoff <63 μ m, karbonat, Li og ulike tungmetaller og arsen i sedimentkjerne fra prøvetakingsstasjon R457MC039 (0-29 cm).

5.3.2 R474MC040 - sokkelen, Tromsøflaket

Stasjon R474 er på 258 m havdyp. Sedimentene består av sandig silt i hele sedimentkjernen.

Andel finstoff (<63 μ m) er relativt stabil, varierende fra 51 % til 71 %, og de fleste prøvene med verdier litt over 60 % finstoff. Avsetningsmiljøet forekommer å ha vært relativt stabilt basert på de homogene sedimentene i hele sedimentkjernen. TOC er forholdsvis konstant i intervallet 15-29 cm, med verdier fra 0,28 % til 0,47 % TOC. Fra 15 cm til toppen av kjernen øker TOC gradvis fra 0,34 % til 0,82 %.

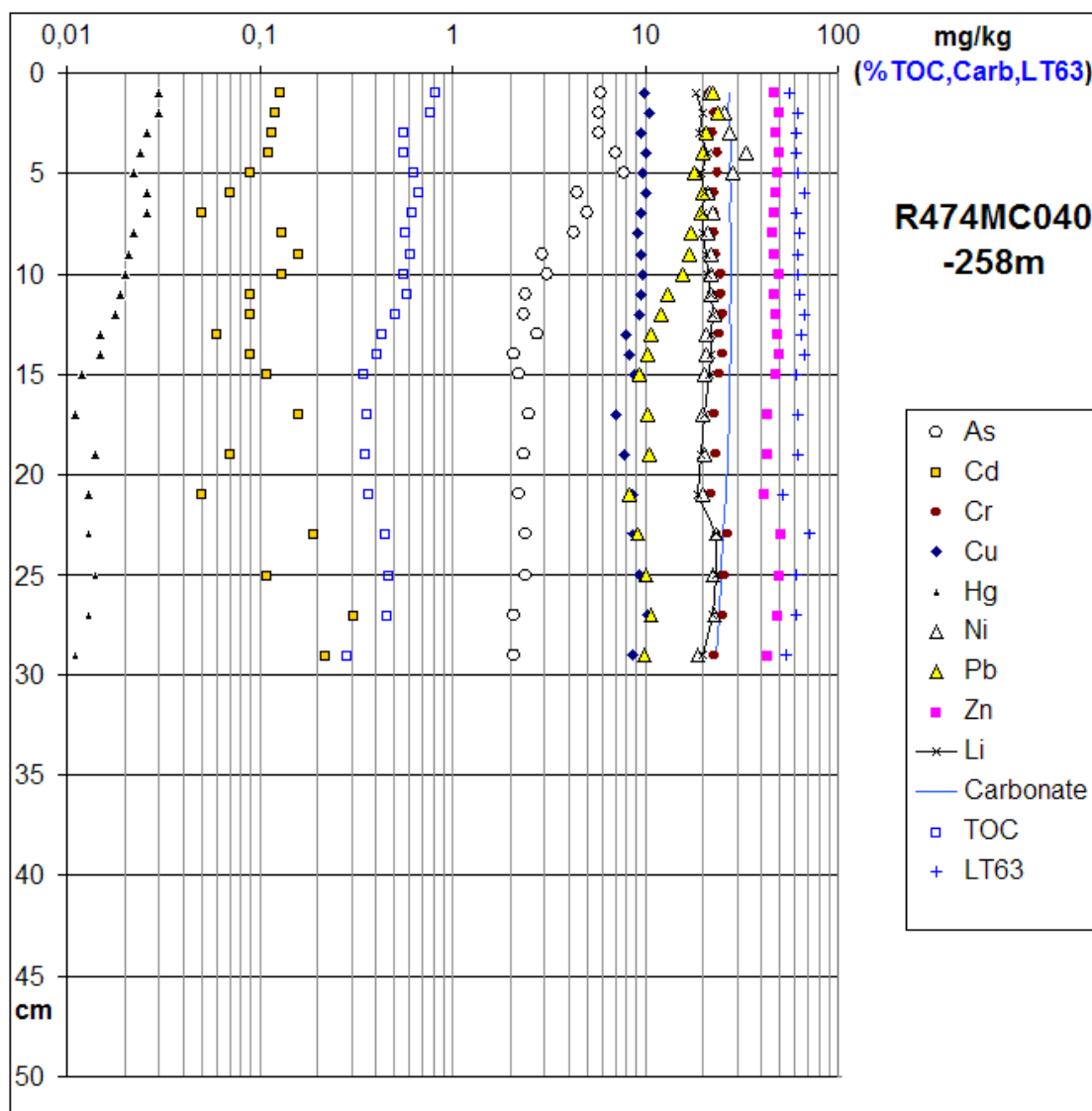
Hg øker markant fra 0,011 ppm til 0,030 ppm øverst (Figur 16). Også As og Pb øker mot toppen fra henholdsvis 10 cm og 12 cm. Både Hg og Pb korrelerer godt med TOC (0,93 og 0,91 henholdsvis). Cu, Ni og Zn har relativt konstante konsentrasjoner gjennom kjernen. Sammenlignet med den geografisk nære sedimentkjernen fra R081MC002, som ble tatt i 2007 og rapportert i Jensen m. fl. (2008) er nivåene på TOC, de fleste tungmetallene, arsen og barium ganske like, med unntak av kvikksølv og bly, som har noe større

konsentrasjoner i R474 sammenlignet med R081, spesielt i den øvre delen av kjernen.

R474MC040 har ca. 10 % større andel av finstoff i den øvre delen av kjernen sammenlignet med R081MC002. Det er ikke mulig å anvende ^{210}Pb dateringsresultatene fra R474MC040 og det er derfor ikke angitt noen alder ned gjennom sedimentkjernen i Figur 16.

Tabell 8. Kjerne R474MC040 (0-29cm) minimum, gjennomsnitt, median og maksimumsverdier for tungmetaller, arsen og barium, samt korrelasjon med TOC og andel finstoff (< 63 μm).

Antall prøver		As ppm	Ba Ppm	Cd ppm	Cr ppm	Cu Ppm	Hg ppm	Ni Ppm	Pb Ppm	Zn Ppm
N = 22	Min.	2,1	59,2	0,05	21,6	7,1	0,011	18,8	6,4	41,6
	Gns.	3,6	69,3	0,12	23,8	9,2	0,019	22,7	12,4	47,3
	Med.	2,6	69,3	0,11	23,5	9,5	0,019	22,0	10,9	47,8
	Max.	7,9	77,4	0,31	27,0	10,5	0,030	33,3	22,2	51,1
Korrelasjon	TOC	0,71	0,73	$\div 0,16$	$\div 0,29$	0,75	0,93	0,43	0,91	0,39
Korrelasjon	Finstoff	$\div 0,04$	0,45	$\div 0,10$	0,63	$\div 0,01$	0,07	0,15	0,04	0,61



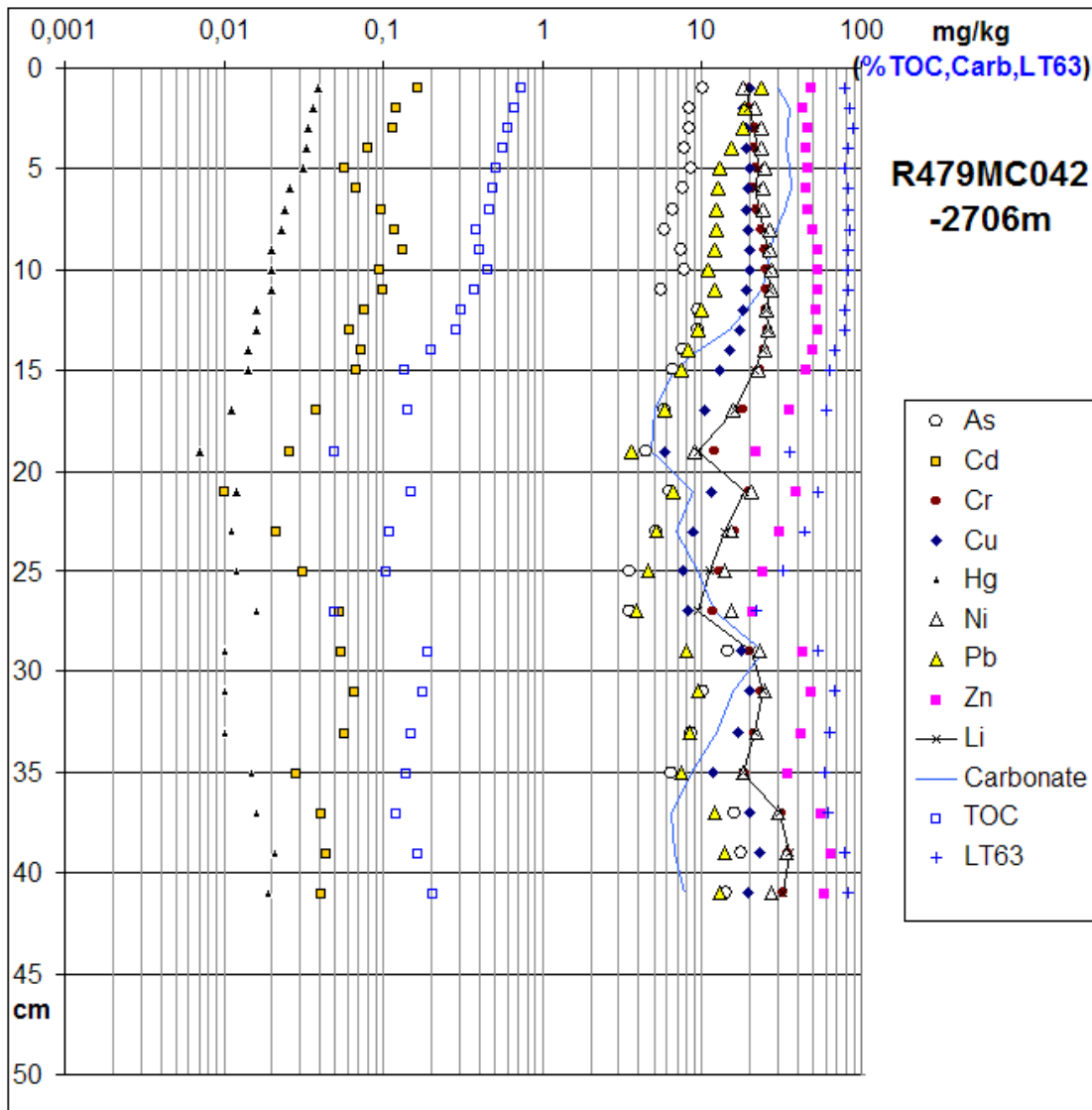
Figur 16. Variasjon i innhold av TOC, finstoff <63 μm , karbonat, Li og ulike tungmetaller i sedimentene fra prøvetaksstasjon R474MC040 (0-29 cm).

5.3.3 R479MC042 - dyphavssletten, Nordland VII

Sedimentene består av sandig silt i den nederste delen av sedimentkjernen (28-41 cm). Deretter skifter sedimentene til siltig sand (18-27 cm). Den øverste delen av sedimentkjernen består av sandig silt (0-17 cm). Andelen finstoff (< 63 µm) øker markant fra ca. 60 % i 15 cm dyp til ca. 80 % fra 13 cm og opp i sedimentkjernen (Figur 17). Kornstørrelsesfordelingen tilsier at det har vært vekslende avsetningsforhold spesielt i de nedre 26 cm, mens det har vært mer stabile avsetningsforhold i de øvre 15 cm av sedimentkjernen. De nederste 26 cm av kjernen har varierende innhold av TOC, tungmetaller og arsen. Fra 15 cm til toppen av sedimentkjernen øker andel finstoff, TOC og noen tungmetaller (Hg, Pb og i litt mindre grad Cu) jevnt, mens andre tungmetaller omfattende blant andre Cu, Ni og Zn har mer konstante konsentrasjoner i de øverste 15 cm av sedimentkjernen. Hg og Pb viser begge en økning mot toppen av kjernen, Hg med en klar trend fra gjennomsnittlig 0,0135 til 0,028 ppm fra nedre halvdel av kjernen til øvre del av kjernen. Hg øker stabilt fra 10 cm (0,02 ppm) til 0 cm (0,039 ppm). Pb har vekslende konsentrasjon opp gjennom kjernen fra 3,2 ppm som lavest verdi i den nedre del av kjernen til 20,9 ppm i toppen. Hg:TOC korrelasjonen er 0,93, mens Pb:TOC korrelasjonen er på 0,72. Da dateringen ikke anses for å være tilstrekkelig pålitelig angis det ikke noen årstall langs kjernen. Det er relativt konstante konsentrasjoner av As, Cr, Cu, Ni og Zn i den øvre delen av kjernen. Den nedre delen av kjernen (15-41 cm) har betydelig mer variasjon for samtlige parametere. Se avsnitt 5.2.3 for gjennomgang av sedimentasjonen på stasjon R479.

Tabell 9. Kjerne R479MC042 (0-41 cm). Minimum-, gjennomsnitt-, median- og maksimumsverdier for tungmetaller, arsen og barium, samt korrelasjon med TOC og andel finstoff.

Antall prøver		As ppm	Ba ppm	Cd ppm	Cr ppm	Cu Ppm	Hg ppm	Ni ppm	Pb ppm	Zn Ppm
N = 28	Min.	3,5	37,1	0,021	11,7	5,8	0,007	9,1	3,3	21,0
	Gns.	8,4	160,0	0,071	22,1	16,3	0,019	22,7	9,2	44,6
	Med.	7,7	150,5	0,065	21,7	18,5	0,016	23,9	9,1	46,2
	Max.	17,7	251,0	0,164	34,5	23,2	0,039	34,0	20,9	64,6
Korrelasjon	TOC	÷0,10	0,79	0,81	÷0,08	0,54	0,93	0,10	0,72	0,21
Korrelasjon	Finstoff	0,36	0,81	0,64	0,67	0,87	0,65	0,72	0,72	0,82



Figur 17. Variasjon i innhold av TOC, finstoff <math><63\mu\text{m}</math>, karbonat, Li og ulike tungmetaller i sedimentene fra prøvetakingsstasjon R479MC042 (0-41 cm).

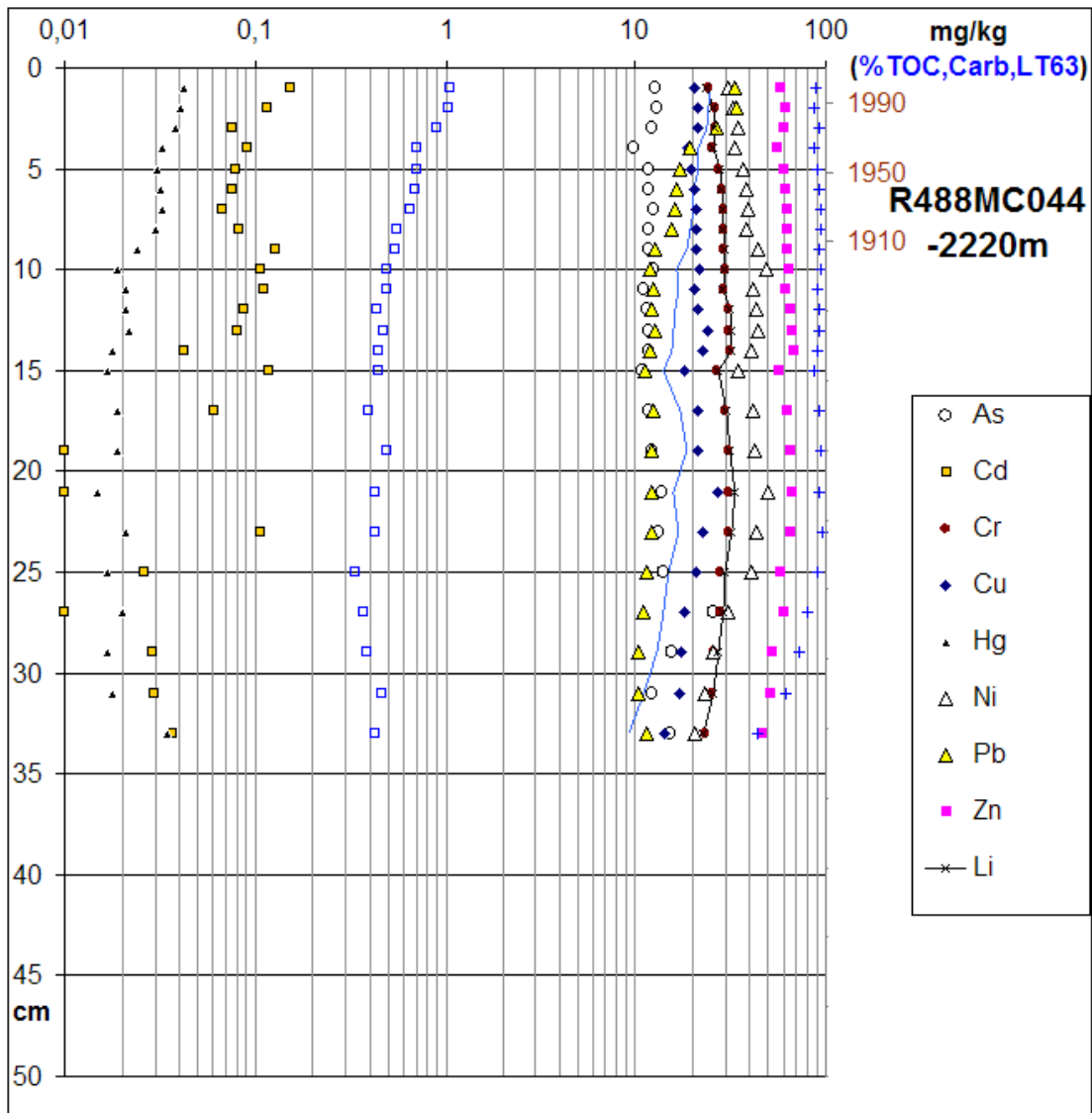
5.3.4 R488MC044 - dyphavssletten, Nordland VII

Stasjon R488 ligger i forlengelsen av Bleiksdjupet, et marint gjel som strekker seg fra dyphavssletten til sokkelen. Dette gjelet har sin bakkant bare 10 km fra kysten av Andøya. R488MC044 fra 2220 m havdyp har en relativt konstant andel av finstoff (<math><63\mu\text{m}</math>) på ca. 90 % i størstedelen av den 33 cm lange kjernen (Figur 18), med unntak av de nederste 6 cm hvor finstoffandelen er lavere. Sedimentene består overveiende av silt med enkelte nivåer med sandig silt og nederst i kjernen siltig sand. Sedimentsammensetningen tilsier at det har vært overveiende stabile avsetningsforhold i størstedelen av sedimentkjernen. TOC varierer fra ca. 0,3 vekt % til ca. 1,06 vekt % i toppen med en generell økning fra ca. 0,4 vekt % i bunnen av kjernen (33 cm) til ca. 0,7 vekt % 5 cm under toppen. Deretter øker TOC markant til 1,06 vekt % øverst i kjernen. Minimum, gjennomsnitt, median og maksimumsverdier er presentert i Tabell 10. Hg og Pb øker begge mot toppen av kjernen, Hg fra 0,019 ppm i 9-10 cm dyp til 0,042 ppm i 0-1 cm prøven,

mens Pb øker gradvis fra ca. 10 ppm (32-33 cm) til ca. 19 ppm (3-4 cm dyp) og heretter markant i de øverste 4 cm til 32,5 ppm i 0-1 cm. Dateringsresultatene som er presentert i avsnitt 5.2.1 er omsatt til år langs høyre y-akse (Figur 18). Årstallene må tas med forbehold da dateringen er usikker. Det skjer en markant økning i Hg fra 10 cm dyp, som tilsvarer ca. år 1900. Pb har en tydelig økning øverst i kjernen fra 3-4 cm til 2-3 cm, tilsvarende 1960-tallet. Det er også en Pb-økning i 9 cm dyp, tilsvarende ca. år 1900. Både Hg og Pb korrelerer godt med TOC (0,88 og 0,96 henholdsvis). As, Cr, Cu og Zn har relativ konstante konsentrasjoner gjennom hele kjernen, mens Cd har varierende konsentrasjoner og Ni er svakt avtakende mot toppen. Både Ni og Pb er i Klif klasse II i toppen av sedimentkjernen, mens de øvrige tungmetallene og As er i Klif klasse I for kyst- og fjordsedimenter.

Tabell 10. Kjerne R488MC044 (0-33 cm). Minimum, gjennomsnitt, median og maksimumsverdier for tungmetaller, arsen og barium, samt korrelasjon med TOC og andel finstoff.

Antall prøver		As ppm	Ba Ppm	Cd ppm	Cr ppm	Cu ppm	Hg ppm	Ni Ppm	Pb ppm	Zn Ppm
N = 24	Min.	9,8	156,0	0,026	23,3	14,2	0,015	20,6	9,2	46,0
	Gns.	12,9	272,2	0,081	28,0	20,6	0,025	37,3	14,9	59,9
	Med.	12,1	290,5	0,080	28,6	20,8	0,021	38,6	12,3	60,9
	Max.	25,3	314,0	0,154	31,5	27,0	0,042	50,0	33,1	67,0
Korrelasjon	TOC	÷0,26	÷0,04	0,53	÷0,44	0,05	0,88	÷0,20	0,96	÷0,03
Korrelasjon	Finstoff	÷0,30	0,89	0,46	0,67	0,77	÷0,08	0,82	0,19	0,84



Figur 18. Variasjon i innhold av av TOC, finstoff <math><63\mu\text{m}</math>, karbonat, Li og ulike tungmetaller i sedimentene fra prøvetakingsstasjon R488MC044 (0-33 cm) fra dyphavsletten, Nordland VII. Årstallene til høyre i diagrammet er basert på ^{210}Pb -datering. Denne dateringen er klassifisert som usikker (se avsnitt 5.2.1).

6. OPPSUMMERING

Sedimentkjernene fra den nordlige delen av Eggakanten-området består primært av silt og sand i omtrent like store andeler og kan klassifiseres som siltig sand. En enkelt stasjon har sand.

Kjernene har generelt TOC-verdier lavere enn 1 vekt %, høyeste TOC-verdier og størst andel av finstoff (silt og leir) på stasjonene på skråningen i Nordland VII mens sedimentkjernene fra sokkelen på Eggakanten og Tromsøflaket har lavere innhold av finstoff og mindre TOC-innhold. De lavere TOC- og finstoff-verdiene skyldes sannsynligvis havstrømmer som hindrer finstoff og organisk materiale i å avsettes på disse prøvetakingsstasjonene.

Analyserte overflatesedimenter og sedimentkjerner viser gjennomgående lave konsentrasjoner av tungmetaller og arsen. Unntakene er bly og nikkel, som begge finnes i konsentrasjoner tilsvarende Klif tilstandsklasse II for kyst og fjordsedimenter på stasjon R488 på 2220 m havdyp på skråningen i Nordland VII. Pb-økningen mot toppen av samtlige analyserte sedimentkjerner skyldes sannsynligvis en antropogen og langtransportert tilførsel enten med havstrømmer eller luft.

Kvikksølv, som forekommer i konsentrasjoner tilsvarende tilstandsklasse I på alle stasjoner, øker mot toppen i samtlige sedimentkjerner. Økningen har foregått i ca. 100 år på stasjon R488 (dyphavssletten, Nordland VII), og skyldes sannsynligvis antropogene bidrag primært ved langtransportert tilførsel enten med havstrømmer eller luft. Aldersangivelsen er basert på kun en anvendelig Pb²¹⁰-datering. Ni-konsentrasjonen er i Klif klasse II i overflateprøven fra stasjon R488 i Nordland VII. De øvrige stasjonene har Ni i overflatesedimenter tilsvarende Klif tilstandsklasse I. Ni har konstante konsentrasjoner i sedimentkjernene og det antas derfor at det skyldes naturlig innhold av nikkel i sedimentene og sannsynligvis knyttet til finstoff i sedimentene. De øvrige analyserte tungmetallene Cr, Cu, Cd og Zn samt As finnes i konsentrasjoner tilsvarende Klif tilstandsklasse I for kyst- og fjordsedimenter.

God korrelasjon for Hg:TOC og Pb:TOC i de 4 analyserte sedimentkjerner følger den generelle trenden i de til nå 42 sedimentkjerner analysert i MAREANO-programmet. Hg og Pb følger i høy grad variasjonen i TOC i sedimentene.

7. REFERANSER

- Braastad, G. 2000: Kort innføring i toksikologi – økotoksikologisk risikovurdering – veiledning – Del IIA. SFT-rapport TA 1756, 46 sider.
- Buchanan, J.B. 1984: Sediment analysis. In: Holme, N.A. & McIntyre A. D. (Editors), *Methods for the study of marine benthos*. Blackwell Scientific Publications, Oxford, UK, 41-65.
- Bøe R., Dolan M., Thorsnes T., Lepland A., Olsen H., Totland O. and Elvenes S., 2010. Standard for geological seabed mapping offshore. NGU-rapport nr. 2010.033, 15 sider.
- Dehairs, F., Chesselet, R., and Jedwab, J., 1980. Discrete suspended particles of barite and the barium cycle in the ocean. *Earth Planetary Science Letters*, vol. 49, s. 528 – 550.
- Det Norske Veritas (DNV) 2001: Miljøundersøkelse – Region IX – Finnmark 2000. Rapport nr. 2001 – 0373, 51 sider.
- Jahnke, R.A., Craven, D.B., and Gaillard, J.-F., 1994. The influence of organic matter diagenesis on CaCO₃ dissolution at the deep-sea floor. *Geochimica et Cosmochimica Acta* 58, 2799-2809.
- Jahnke, R.A., Craven, D.B., McCorkle, D.C., og Reimers, C.E., 1997. CaCO₃ dissolution in California continental margin sediments: the influence of organic matter remineralisation.
- Jensen A., 2010. ²¹⁰Pb-dateringer af 3 sedimentkerner fra NGU, Norge. DHI-rapport nr. 11091401, 24 sider.
- Jensen, H.K.B., Knies, J., Finne, T.E. & Thorsnes, T. 2007: Mareano 2006 - miljøgeokjemiske resultater fra Tromsøflaket, Ingøydjupet og Sørøysundet, NGU-rapport 2007.059, 249 sider inkl. vedlegg.
- Jensen, H.K.B., Knies, J., Finne, T.E. & Thorsnes, T. 2008: Mareano 2007 - miljøgeokjemiske resultater fra Troms II og Troms III, NGU-rapport 2008.077, 253 sider inkl. vedlegg.
- Jensen, H.K.B., Knies, J., Finne, T.E. & Thorsnes, T. 2009: Mareano 2008 – miljøgeokjemiske resultater fra havområdene utenfor Lofoten – Troms, NGU-rapport 2009.057, 31sider inkl. CD med vedlegg.
- Jensen, H.K.B., Knies, J., Finne, T.E. & Thorsnes, T. 2010: Mareano 2009 – miljøgeokjemiske resultater fra Eggakanten, NGU-rapport 2010.016, 31sider inkl. CD med vedlegg.
- Knies, J., Jensen, H.K.B., Finne, T.E., Lepland, A. & Sæther, O.M., 2006. Sediment composition and heavy metal distribution in Barents Sea surface samples: Results from Institute of Marine Research 2003 and 2004 cruises. NGU-report 2006.067, 1-35.
- Knies J., Vogt, C., Matthiessen, J., Nam, S.-I., Ottesen, D., Rise, L., Bargel, T., Eilertsen, R.S., 2007. Re-advance of the Fennoscandian Ice Sheet during Heinrich Event I. *Marine Geology*, vol. 240, s. 1-18.
- Laberg, J.S., Vorren, T.O., Mienert, J., Evans, D., Lindberg, B., Ottesen, D., Kenyon, N.H., Henriksen, S., 2002. Late Quaternary palaeoenvironment and chronology in the Trænadjupet Slide area offshore Norway. *Marine Geology*, vol. 188, 35-60.
- Lepland, A., Sæther O. M. and Thorsnes T., 2000. Accumulation of barium in recent Skagerrak sediments: sources and distribution control. *Marine Geology*, vol. 163, s. 13 – 26.
- Molvær, J., Knutzen, J., Magnusson, J., Rygg, B., Skei, J. & Sørensen, J. 1997: Klassifisering av miljøkvalitet i fjorder og kystvann. Veiledning. SFT-rapport 97:03, TA-1467, 36 sider.

- Mortensen L. B. og Mortensen P. B., 2009. Mareanotokt 2009105 og 2009111 – samlet toktrapport fra bunnkartlegging på Eggakanten og i Nordland VII 2009. Toktrapport, 48 sider.
- Nuernberg C. C., Bohrmann G., Schlueter M. og Frank M., 1997. Barium accumulation in the Atlantic sector of the Southern Ocean. Results from 190,000-year records. *Paleoceanography*. Vol. 12 (4), s. 594 – 603.
- Olsgård F. and Gray J., 1995. A comprehensive analysis of the effects of offshore oil and gas exploration and production on the benthic communities of the Norwegian continental shelf. *Marine Ecology Progress Series*, vol. 122, pp. 277 – 306.
- Rye H., 1996. Miljøeffekter av utslipp fra borekjemikalier. Rapport fra OLF. IKU Petroleumsforskning. Rapport nr. 42.4053.00/01/96. 98 sider.
- SFT 2007: Veileder for klassifisering av miljøkvalitet i fjorder og kystfarvann. Revidering av klassifisering av metaller og organiske miljøgifter i vann og sedimenter. SFT-veileder 2229, 11 sider.
- Sæther O. M., Faye G., Thorsnes T., Rise L., Longva O. and Bøe R., 1996. Regional distribution of manganese, phosphorus, heavy metals, barium, and carbon in sea-bed sediments (0-2 cm) from the northern part of the Norwegian Skagerrak. *Geological Survey of Norway Bull.*, no. 430, p. 103-112.
- Thorsnes T. and Klungsøyr J., 1997. Contamination of Skagerrak sediments due to man-made inputs during the last 200 years. In: O. Longva and T. Thorsnes (Editors), *Skagerrak in the past and at the present - an integrated study of geology, chemistry, hydrography and microfossil ecology*. Geological Survey of Norway. Special Publication, vol. 8, p. 52-79.
- Vorren, T., Plassen, L., 2002. Deglaciation and palaeoclimate of the Andfjord–Vågsfjord area, North Norway. *Boreas* 31, 97–125.
- Vorren T. O. and Vassmyr S., 1991. The continental shelf surficial sediments, 1:3 mill. *Nasjonalatlas for Norge, kartblad 2.3.8, Statens kartverk, Norway (1991)*.

Vedlegg 1

- Analyseresultater fra 5 prøvetakingsstasjoner samt innsatte standardprøver av "Hynne" og "KDF" i prøveserien. NGULab analysekontrakt 2010.0210.
- Coulter: kornstørrelsesfordeling.
- Leco (Total S, total C, organisk C)
- HNO₃-ekstrahert og analysert med AAS (As, Cd, Pb, Sn, Se og Hg) og ICP-AES (30 elementer).

INSTRUMENT: **Coulter LS 200**

METODE: **Metodeoppsettet er beskrevet i NGU-SD 5.11: Kornfordelingsanalyser: Coulter laser partikkelteller.**

Kornfordelingsbestemmelse basert på laserdiffraksjon. Laserlys brytes i ulike vinkler avhengig av størrelsen på partiklene, og registreres så av en rekke detektorer. De registrerte vinklene tilsvarer gitte partikkelstørrelser, og antall partikler er relatert til den intensiteten som den korresponderende detektoren registrerer. Kornfordelingen bestemmes således på volum-basis, med antagelse om ens tetthet på materialet vil kumulativ volum% være identisk med kumulativ masse%. Beregning på volum/masse-basis er basert på antagelse om sfæriske partikler.

MÅLEOMRÅDE : **0.4 µm - 2000 mm**

NB ! Metoden normaliserer alle data i måleområdet til sum 100 % (kumulativ %).

Måleområdet går kun ned til 0.4 µm og dette settes som nullpunkt mhp. kumulativ %.

Prøvene kan derfor inneholde materiale finere enn 0.4 µm.

ANALYSEUSIKKERHET: **± 10 % [kumulativ masse(volum) %]** *Usikkerheten er oppgitt med dekningsfaktor 2, tilsvarende et konfidensintervall på 95 %*

Bestemmelse av usikkerhet er basert på sammenligning av oppnådde resultater med sertifikatverdier for kvartstandard BCR-131, samt presisjonsdata.

MERK! Metoden tar utgangspunkt i antagelse om sfæriske partikler. For prøver som avviker fra dette kan usikkerheten være større.

PRESISJON: **Det analyseres rutinemessig kontrollprøver som føres i kontrolldiagram (X-diagram). Disse kan forevises om ønskelig.**

FORBEHANDLING: Ingen.

ANTALL PRØVER: 106

ANMERKNINGER: Data for fraksjoner >2000 µm er fremkommet ved gravimetrisk bestemmelse.

Gjengivelse av analysedata skal skje på en slik måte at meningsinnholdet i rapporten ikke endres.

Ferdig analysert	24-aug-10	Wieslawa Koziel
	Dato	OPERATØR

Kornfordelingsanalyser: Coulter laser partikkelteller
GEOLOGISK MATERIALE
Analysekontrakt nr. 2010.0210

6

Coulter data (Kumulativ volum % <)

Prøve nr. → Diameter(µm) ↓	1	2	3	4	5	6	7	8	9	10	11	12	13	14	15	16
0,375	0	0	0	0	0	0	0	0	0	0	0	0	0	0	0	0
0,412	0,0043	0	0	0	0	0	0	0	0	0	0	0	0	0	0	0
0,452	0,012	0	0	0	0	0	0	0	0	0	0	0	0	0	0	0
0,496	0,023	0	0	0	0	0	0	0	0	0	0	0	0	0	0	0
0,545	0,041	0,000093	0	0	0	0	0	0	0,000027	0	0,000004	0	0,000031	0	0	0,000023
0,598	0,066	0,0021	0,00036	0	0,00025	0	0,00031	0,0002	0,0012	0,000055	0,00068	0	0,0012	0,00046	0,00043	0,0034
0,657	0,099	0,015	0,0052	0	0,0041	0,00058	0,0048	0,0035	0,011	0,0017	0,0076	0,00044	0,011	0,0062	0,0057	0,021
0,721	0,14	0,062	0,032	0,00077	0,027	0,0083	0,031	0,024	0,05	0,014	0,041	0,0065	0,049	0,036	0,034	0,069
0,791	0,2	0,17	0,11	0,01	0,099	0,05	0,11	0,09	0,15	0,064	0,13	0,04	0,14	0,12	0,11	0,17
0,869	0,27	0,35	0,27	0,061	0,25	0,16	0,28	0,23	0,32	0,18	0,29	0,14	0,32	0,28	0,25	0,32
0,953	0,35	0,64	0,52	0,2	0,51	0,39	0,55	0,48	0,6	0,4	0,55	0,33	0,59	0,53	0,49	0,56
1,047	0,46	1,04	0,9	0,46	0,9	0,75	0,97	0,85	1	0,75	0,92	0,63	0,97	0,89	0,82	0,88
1,149	0,58	1,58	1,41	0,87	1,44	1,25	1,54	1,37	1,54	1,23	1,42	1,07	1,49	1,37	1,26	1,3
1,261	0,73	2,27	2,07	1,44	2,14	1,93	2,27	2,04	2,22	1,86	2,05	1,66	2,14	1,99	1,83	1,82
1,385	0,91	3,09	2,87	2,18	3	2,77	3,17	2,87	3,03	2,64	2,82	2,4	2,93	2,73	2,51	2,44
1,52	1,1	4,04	3,81	3,08	4	3,76	4,23	3,83	3,97	3,57	3,7	3,28	3,84	3,59	3,3	3,14
1,669	1,32	5,09	4,85	4,11	5,12	4,89	5,4	4,91	5,01	4,61	4,67	4,27	4,85	4,53	4,17	3,91
1,832	1,56	6,22	5,97	5,27	6,33	6,11	6,68	6,08	6,12	5,73	5,72	5,36	5,93	5,54	5,1	4,72
2,01	1,82	7,4	7,14	6,5	7,6	7,4	8,01	7,31	7,27	6,92	6,8	6,51	7,05	6,59	6,07	5,56
2,207	2,1	8,61	8,33	7,8	8,9	8,73	9,39	8,57	8,45	8,14	7,91	7,7	8,2	7,65	7,05	6,41
2,423	2,4	9,83	9,54	9,13	10,2	10,1	10,8	9,85	9,63	9,38	9,04	8,93	9,36	8,72	8,05	7,26
2,66	2,7	11,1	10,8	10,5	11,6	11,5	12,2	11,1	10,8	10,6	10,2	10,2	10,5	9,78	9,04	8,11
2,92	3,03	12,4	12	11,9	12,9	12,9	13,7	12,5	12	11,9	11,4	11,5	11,7	10,9	10,1	8,98
3,206	3,36	13,7	13,3	13,5	14,4	14,4	15,2	13,9	13,3	13,3	12,6	12,8	13	12	11,1	9,87
3,519	3,71	15,1	14,7	15	15,9	16	16,8	15,3	14,6	14,7	13,8	14,2	14,3	13,1	12,2	10,8
3,862	4,07	16,5	16,1	16,7	17,4	17,6	18,5	16,8	16	16,2	15,2	15,6	15,7	14,4	13,3	11,7
4,241	4,43	18	17,5	18,4	19,1	19,4	20,2	18,4	17,5	17,7	16,6	17,2	17,1	15,6	14,5	12,7
4,656	4,81	19,6	19,1	20,2	20,8	21,2	22,1	20,1	19	19,3	18,1	18,7	18,6	16,9	15,7	13,8
5,111	5,19	21,2	20,6	22	22,6	23	24	21,8	20,6	20,9	19,6	20,4	20,2	18,3	17	14,9
5,611	5,58	22,9	22,3	23,9	24,4	24,9	26	23,5	22,3	22,6	21,2	22	21,8	19,7	18,3	16
6,158	5,97	24,5	23,9	25,8	26,2	26,8	27,9	25,3	23,9	24,3	22,7	23,6	23,5	21,1	19,6	17,1
6,761	6,37	26,2	25,5	27,6	28	28,6	29,9	27	25,6	25,9	24,3	25,2	25,1	22,5	20,8	18,2
7,421	6,77	27,8	27	29,3	29,7	30,4	31,7	28,7	27,2	27,5	25,8	26,8	26,7	23,8	22,1	19,2
8,147	7,18	29,4	28,5	30,9	31,3	32	33,5	30,2	28,7	29	27,3	28,2	28,2	25,1	23,3	20,3
8,944	7,59	30,9	29,9	32,4	32,8	33,6	35,2	31,7	30,2	30,3	28,7	29,5	29,6	26,3	24,4	21,2
9,819	8,01	32,3	31,2	33,7	34,2	35	36,8	33,1	31,6	31,6	29,9	30,7	31	27,4	25,5	22,2
10,78	8,44	33,6	32,3	34,8	35,4	36,2	38,2	34,4	32,8	32,7	31,1	31,8	32,2	28,5	26,5	23,1
11,83	8,89	34,8	33,4	35,9	36,5	37,3	39,5	35,5	34	33,7	32,2	32,8	33,3	29,4	27,4	23,9
12,99	9,36	36	34,5	36,8	37,5	38,3	40,8	36,6	35,1	34,7	33,2	33,7	34,4	30,4	28,4	24,8
14,26	9,88	37,2	35,5	37,7	38,6	39,4	42	37,8	36,3	35,7	34,2	34,7	35,6	31,3	29,3	25,7
15,65	10,4	38,5	36,7	38,8	39,7	40,5	43,4	39	37,6	36,8	35,4	35,7	36,8	32,4	30,4	26,7
17,18	11,1	39,9	37,9	39,9	41	41,8	44,9	40,4	39	38	36,6	36,9	38,1	33,6	31,5	27,7
18,86	11,7	41,3	39,3	41,2	42,5	43,1	46,5	41,9	40,4	39,3	37,9	38,1	39,5	34,8	32,7	28,9
20,7	12,5	42,9	40,7	42,5	43,9	44,6	48,2	43,4	42	40,7	39,3	39,5	41	36,2	34	30,1
22,73	13,3	44,4	42,2	43,8	45,4	46	49,8	45	43,6	42,1	40,7	40,8	42,5	37,5	35,3	31,3
24,95	14,2	45,9	43,6	45,1	46,9	47,4	51,5	46,6	45,2	43,5	42,1	42,2	44	38,8	36,5	32,5
27,38	15,2	47,3	45,1	46,4	48,3	48,9	53,2	48,2	46,8	44,9	43,6	43,5	45,5	40,2	37,8	33,8
30,07	16,2	48,8	46,6	47,7	49,8	50,3	54,9	49,9	48,4	46,3	45	44,9	47	41,6	39,2	35,1
33	17,3	50,3	48,2	49,1	51,3	51,8	56,6	51,5	50,1	48,6	46,6	46,4	48,6	43,1	40,6	36,5
36,24	18,4	51,9	49,8	50,5	52,9	53,4	58,3	53,3	51,9	49,4	48,2	47,9	50,3	44,6	42	37,9

Coulter data (Kumulativ volum % <)

Prøve nr. → Diameter(µm) ↓	1	2	3	4	5	6	7	8	9	10	11	12	13	14	15	16
39,77	19,5	53,5	51,5	52	54,5	55	60,2	55,2	53,8	51	49,8	49,5	52,1	46,2	43,5	39,5
43,66	20,7	55,1	53,3	53,6	56,3	56,8	62,1	57,1	55,7	52,7	51,6	51,3	54	48	45,1	41,1
47,93	21,8	57	55,3	55,3	58,2	58,6	64,1	59,3	57,8	54,6	53,6	53,2	56	49,9	46,9	42,9
52,63	23	59	57,5	57,2	60,3	60,8	66,4	61,7	60,2	56,7	55,8	55,4	58,4	52,1	48,9	45
57,77	24,2	61,4	60,1	59,5	62,8	63,2	69	64,3	62,9	59,2	58,3	57,9	61	54,7	51,4	47,6
63,41	25,5	64,2	62,9	62	65,5	66	71,8	67,3	65,9	62	61,3	60,7	64,1	57,7	54,3	50,7
69,62	26,8	67,2	66,1	64,8	68,6	69,1	74,9	70,5	69,1	65,1	64,6	64	67,5	61	57,5	54,2
76,43	28,3	70,4	69,4	67,8	71,8	72,3	78,1	73,8	72,5	68,5	68,2	67,5	71	64,6	61,1	58
83,9	29,9	73,7	72,7	70,8	75	75,6	81,1	77	75,9	71,9	71,8	71	74,6	68,2	64,9	62
92,09	31,7	76,8	75,9	73,8	78	78,6	83,9	80	79	75,3	75,4	74,5	78	71,8	68,7	66
101,1	33,9	79,6	78,9	76,6	80,8	81,5	86,3	82,6	81,8	78,4	78,6	77,8	81,1	75,1	72,2	69,8
111	36,5	82,3	81,6	79,2	83,4	84	88,3	84,9	84,3	81,3	81,6	80,9	83,9	78,2	75,6	73,4
121,8	39,7	84,6	84,1	81,6	85,6	86,2	90,2	87	86,5	83,8	84,3	83,7	86,4	81	78,6	76,6
133,7	43,4	86,8	86,3	83,7	87,7	88,2	91,7	88,9	88,4	86,1	86,7	86,3	88,5	83,4	81,3	79,4
146,8	47,5	88,8	88,3	85,7	89,5	90	93,1	90,5	90	88,1	88,8	88,4	90,4	85,6	83,7	81,9
161,2	52	90,5	89,9	87,4	91,1	91,4	94,2	91,8	91,4	89,8	90,5	90,3	92	87,5	85,7	84,1
176,8	56,6	91,9	91,3	88,8	92,5	92,6	95,2	92,9	92,5	91,2	92	91,8	93,3	89,1	87,3	85,9
194,2	61	93	92,4	90,1	93,6	93,6	95,9	93,8	93,4	92,4	93,2	92,9	94,3	90,4	88,8	87,5
213,2	65,1	93,7	93,3	91,1	94,5	94,4	96,4	94,5	94	93,4	94,2	93,8	95,1	91,4	90	88,7
234,1	68,7	94,2	93,9	92	95,1	95,1	96,8	95	94,5	94,3	94,9	94,5	95,7	92,2	91,1	89,7
256,8	71,7	94,6	94,4	92,7	95,6	95,7	97,1	95,4	94,8	95	95,5	95	96	92,8	92,1	90,5
282,1	74,1	94,8	94,8	93,3	96	96,1	97,4	95,7	95,1	95,6	96	95,4	96,3	93,4	93	91,2
309,6	75,9	95	95,2	93,9	96,3	96,5	97,6	96,1	95,3	96	96,4	95,8	96,6	93,8	93,8	91,8
339,8	77,4	95,2	95,7	94,4	96,6	96,9	97,9	96,3	95,5	96,4	96,8	96,2	96,8	94,3	94,6	92,4
373,1	78,6	95,5	96,1	94,9	97	97,2	98,1	96,6	95,7	96,8	97,2	96,5	97	94,8	95,3	93
409,6	79,6	95,9	96,6	95,4	97,4	97,5	98,3	96,9	96	97,1	97,6	96,8	97,2	95,2	96	93,6
449,7	80,5	96,4	97	95,9	97,9	97,9	98,6	97,2	96,3	97,5	98	97,2	97,6	95,7	96,7	94,3
493,6	81,4	97	97,5	96,5	98,4	98,3	98,8	97,5	96,7	98	98,3	97,5	97,9	96,3	97,4	95
541,9	82,2	97,5	97,9	97	98,9	98,7	99,1	97,9	97,1	98,5	98,6	97,9	98,4	96,9	98,1	95,6
594,9	82,9	98,2	98,3	97,6	99,3	99,2	99,3	98,4	97,6	98,9	98,9	98,4	98,8	97,5	98,7	96,3
653	83,6	98,7	98,7	98,3	99,6	99,5	99,5	98,8	98	99,4	99,2	98,8	99,2	98,1	99,2	96,9
716,9	84,1	99,2	99,1	98,8	99,8	99,7	99,6	99,2	98,3	99,7	99,4	99,2	99,6	98,8	99,6	97,5
786,9	84,5	99,6	99,5	99,4	99,9	99,9	99,8	99,6	98,4	99,9	99,7	99,6	99,8	99,3	99,8	98
863,9	84,9	99,8	99,8	99,8	100	100	99,9	99,9	98,5	100	99,9	99,8	99,9	99,7	99,9	98,5
948,2	85,2	100	100	99,9	100	100	100	100	98,6	100	100	100	100	99,9	100	99
1041	85,5	100	100	100	100	100	100	100	98,6	100	100	100	100	100	100	99,4
1143	85,8	100	100	100	100	100	100	100	98,6	100	100	100	100	100	100	99,7
1255	86,1	100	100	100	100	100	100	100	98,6	100	100	100	100	100	100	99,9
1377	86,3	100	100	100	100	100	100	100	98,6	100	100	100	100	100	100	100
1512	86,5	100	100	100	100	100	100	100	98,6	100	100	100	100	100	100	100
1660	86,5	100	100	100	100	100	100	100	98,6	100	100	100	100	100	100	100
1822	86,5	100	100	100	100	100	100	100	98,6	100	100	100	100	100	100	100
2000	86,5	100	100	100	100	100	100	100	98,6	100	100	100	100	100	100	100
4000	89,5								99,6							
8000	94,3								100							
16000	100															

Prøve nr. → Diameter(µm) ↓	17	18	19	20	21	22	23	24	25	26	27	28	29	30	31	32
0,375	0	0	0	0	0	0	0	0	0	0	0	0	0	0	0	0
0,412	0	0	0	0	0	0	0	0	0	0	0	0	0	0	0	0
0,452	0	0	0	0	0	0	0	0	0	0	0	0	0	0	0	0
0,496	0	0,000078	0,00016	0,00013	0,000052	0,000033	0	0	0	0	0	0	0	0	0	0
0,545	0,00015	0,0013	0,0021	0,0018	0,00096	0,00077	0,0002	0	0	0,00017	0	0	0	0	0,000049	0,000058
0,598	0,0024	0,0091	0,012	0,011	0,0068	0,006	0,0028	0,00032	0,00017	0,0026	0,00037	0,00033	0	0	0,0015	0,0015
0,657	0,015	0,034	0,039	0,035	0,026	0,025	0,017	0,0047	0,0023	0,016	0,0052	0,0048	0,00049	0,00059	0,012	0,012
0,721	0,054	0,087	0,092	0,084	0,069	0,068	0,055	0,029	0,013	0,053	0,032	0,03	0,007	0,0083	0,054	0,052
0,791	0,14	0,18	0,17	0,16	0,14	0,15	0,13	0,1	0,042	0,13	0,11	0,1	0,043	0,05	0,15	0,15
0,869	0,27	0,32	0,3	0,28	0,26	0,27	0,25	0,25	0,099	0,25	0,26	0,25	0,14	0,16	0,33	0,31
0,953	0,48	0,52	0,46	0,44	0,42	0,44	0,43	0,49	0,19	0,43	0,5	0,48	0,34	0,38	0,61	0,57
1,047	0,77	0,79	0,68	0,66	0,65	0,68	0,67	0,85	0,32	0,67	0,86	0,83	0,65	0,72	1,01	0,95
1,149	1,14	1,13	0,96	0,94	0,93	0,98	0,98	1,34	0,5	1	1,35	1,31	1,09	1,21	1,54	1,44
1,261	1,61	1,55	1,3	1,27	1,28	1,35	1,37	1,98	0,73	1,4	1,98	1,92	1,69	1,86	2,22	2,07
1,385	2,18	2,04	1,69	1,67	1,7	1,8	1,83	2,76	1,02	1,89	2,74	2,67	2,43	2,67	3,03	2,83
1,52	2,82	2,6	2,14	2,11	2,17	2,3	2,35	3,69	1,37	2,45	3,63	3,55	3,31	3,62	3,98	3,7
1,669	3,52	3,21	2,63	2,6	2,68	2,85	2,93	4,73	1,77	3,07	4,62	4,53	4,32	4,71	5,02	4,67
1,832	4,27	3,86	3,15	3,12	3,23	3,44	3,54	5,86	2,23	3,75	5,7	5,58	5,41	5,89	6,14	5,7
2,01	5,05	4,53	3,69	3,67	3,8	4,05	4,18	7,08	2,73	4,46	6,82	6,69	6,57	7,14	7,31	6,78
2,207	5,84	5,21	4,25	4,23	4,38	4,68	4,83	8,35	3,28	5,21	7,97	7,83	7,78	8,43	8,51	7,89
2,423	6,64	5,91	4,82	4,8	4,98	5,31	5,49	9,66	3,87	5,98	9,13	8,98	9,01	9,75	9,73	9,01
2,66	7,44	6,61	5,41	5,39	5,58	5,96	6,15	11	4,5	6,76	10,3	10,1	10,3	11,1	11	10,1
2,92	8,25	7,32	6	5,98	6,19	6,61	6,83	12,4	5,17	7,58	11,5	11,3	11,5	12,5	12,2	11,3
3,206	9,08	8,06	6,62	6,6	6,82	7,29	7,53	13,9	5,9	8,42	12,7	12,6	12,9	13,9	13,5	12,5
3,519	9,94	8,82	7,26	7,23	7,48	7,99	8,25	15,5	6,68	9,3	14	13,8	14,3	15,4	14,8	13,7
3,862	10,8	9,61	7,91	7,88	8,15	8,7	8,99	17,1	7,51	10,2	15,3	15,2	15,7	16,9	16,2	15
4,241	11,8	10,4	8,59	8,55	8,85	9,45	9,75	18,8	8,39	11,2	16,7	16,5	17,2	18,5	17,7	16,4
4,656	12,7	11,3	9,28	9,23	9,56	10,2	10,5	20,6	9,34	12,1	18,2	18	18,7	20,1	19,2	17,8
5,111	13,7	12,2	9,99	9,92	10,3	11	11,3	22,5	10,3	13,2	19,6	19,4	20,3	21,8	20,7	19,2
5,611	14,7	13	10,7	10,6	11	11,8	12,2	24,4	11,4	14,2	21,1	20,9	21,9	23,5	22,3	20,7
6,158	15,7	13,9	11,4	11,3	11,8	12,6	13	26,4	12,5	15,3	22,7	22,4	23,5	25,1	23,9	22,2
6,761	16,7	14,8	12,1	12	12,5	13,4	13,7	28,4	13,7	16,4	24,1	23,9	25	26,7	25,5	23,7
7,421	17,6	15,7	12,8	12,7	13,2	14,1	14,5	30,4	15	17,4	25,6	25,3	26,5	28,3	27	25,2
8,147	18,5	16,5	13,5	13,3	13,9	14,9	15,2	32,4	16,3	18,5	27	26,6	27,9	29,8	28,5	26,6
8,944	19,4	17,3	14,2	13,9	14,6	15,6	15,9	34,5	17,7	19,6	28,3	27,9	29,2	31,1	29,9	27,9
9,819	20,2	18	14,8	14,5	15,2	16,3	16,6	36,4	19,2	20,6	29,5	29,1	30,4	32,4	31,3	29,2
10,78	21	18,7	15,4	15,1	15,8	16,9	17,2	38,4	20,8	21,6	30,7	30,2	31,4	33,5	32,5	30,4
11,83	21,7	19,4	15,9	15,6	16,3	17,5	17,8	40,3	22,5	22,7	31,8	31,2	32,4	34,5	33,7	31,5
12,99	22,5	20	16,5	16,2	16,9	18,2	18,4	42,2	24,3	23,7	32,9	32,2	33,4	35,5	34,9	32,6
14,26	23,3	20,7	17,1	16,7	17,5	18,9	19	44,2	26,3	24,8	34	33,2	34,4	36,5	36,1	33,7
15,65	24,1	21,5	17,7	17,3	18,2	19,6	19,7	46,2	28,4	26	35,3	34,3	35,4	37,7	37,5	34,9
17,18	25	22,3	18,4	18	19	20,4	20,4	48,2	30,8	27,3	36,6	35,6	36,6	38,9	38,9	36,2
18,86	26	23,2	19,2	18,7	19,7	21,3	21,2	50,3	33,4	28,7	38,1	36,9	37,9	40,3	40,5	37,7
20,7	27,1	24,2	20	19,5	20,6	22,2	22,1	52,4	36,1	30,1	39,6	38,3	39,3	41,7	42,1	39,2
22,73	28,1	25,2	20,9	20,3	21,5	23,1	23	54,3	39,1	31,7	41,1	39,7	40,6	43,1	43,8	40,7
24,95	29,2	26,2	21,8	21,1	22,4	24,1	23,9	56,2	42,2	33,3	42,6	41,2	42	44,5	45,5	42,3
27,38	30,4	27,3	22,8	22	23,4	25,1	24,8	57,9	45,5	35,1	44,2	42,7	43,4	46	47,3	43,8
30,07	31,6	28,5	23,8	23	24,4	26,2	25,9	59,6	48,9	36,9	45,8	44,2	44,9	47,4	49,1	45,4
33	32,8	29,7	25	24,1	25,5	27,3	27	61,2	52,4	38,8	47,5	45,8	46,4	48,9	51	47,1
36,24	34,2	31,1	26,2	25,2	26,7	28,5	28,1	62,6	55,9	40,8	49,2	47,5	48	50,5	52,9	48,7

Prøve nr. → Diameter(µm) ↓	17	18	19	20	21	22	23	24	25	26	27	28	29	30	31	32
39,77	35,6	32,5	27,5	26,5	28	29,8	29,4	64,1	59,4	42,9	51,1	49,2	49,7	52,1	54,8	50,5
43,66	37,2	34,2	29,1	28	29,5	31,3	30,9	65,5	62,9	45,2	52,9	51,1	51,5	53,9	56,8	52,3
47,93	39,1	36,1	30,9	29,7	31,1	33	32,5	66,9	66,4	47,6	55	53,2	53,5	55,7	58,9	54,2
52,63	41,3	38,4	33,1	31,9	33,2	35	34,5	68,4	69,9	50,2	57,2	55,5	55,7	57,7	61,3	56,3
57,77	43,9	41,2	35,9	34,6	35,7	37,6	37	70	73,5	53,1	59,7	58,2	58,1	60	63,9	58,6
63,41	47,1	44,6	39,3	37,9	38,7	40,8	40	71,7	77	56,3	62,5	61,1	60,9	62,5	66,7	61,2
69,62	50,8	48,6	43,3	41,8	42,3	44,5	43,6	73,5	80,4	59,6	65,5	64,3	63,9	65,3	69,7	64
76,43	54,9	53,2	47,8	46,3	46,4	48,7	47,7	75,2	83,5	62,9	68,7	67,6	67	68,2	72,7	66,9
83,9	59,2	58	52,7	51,1	50,6	53,2	52	76,8	86,2	66,2	72	70,9	70,2	71,1	75,5	69,8
92,09	63,4	62,9	57,7	56,1	55	57,9	56,5	78,3	88,4	69,2	75,2	74,1	73,4	74	78,1	72,7
101,1	67,6	67,7	62,6	60,9	59,3	62,4	60,9	79,7	90,3	72,1	78,3	77,2	76,4	76,8	80,4	75,4
111	71,3	72,1	67,1	65,5	63,3	66,6	65	81	92	74,8	81,3	80,2	79,3	79,5	82,5	78
121,8	74,8	76	71,3	69,7	67	70,4	68,8	82,4	93,6	77,4	84	83	82	82,1	84,5	80,4
133,7	77,8	79,5	75	73,4	70,2	73,8	72,1	83,7	95,2	79,8	86,6	85,6	84,6	84,6	86,4	82,8
146,8	80,4	82,4	78,1	76,7	73,1	76,8	75	85,1	96,7	82,1	89	88	86,9	87	88,2	85,1
161,2	82,7	84,9	80,8	79,4	75,5	79,4	77,5	86,3	98	84,1	91	90,1	89	89,1	89,8	87,2
176,8	84,5	86,9	83,1	81,8	77,7	81,6	79,6	87,3	99	85,9	92,7	91,8	90,9	91	91,2	89
194,2	86,1	88,6	85,1	83,9	79,5	83,4	81,5	88,2	99,6	87,3	94,1	93,2	92,4	92,5	92,3	90,5
213,2	87,4	89,9	86,8	85,6	81,1	85	83,2	88,9	99,9	88,5	95,1	94,3	93,7	93,8	93	91,6
234,1	88,5	91	88,3	87,2	82,6	86,3	84,7	89,5	100	89,5	95,9	95,1	94,7	94,7	93,6	92,6
256,8	89,5	91,9	89,6	88,6	83,9	87,6	86,1	89,9	100	90,4	96,5	95,7	95,5	95,4	94	93,3
282,1	90,3	92,7	90,8	89,9	85,1	88,7	87,3	90,2	100	91,1	96,9	96,2	96	96	94,3	93,9
309,6	91,1	93,4	91,8	91	86,2	89,7	88,4	90,6	100	91,7	97,2	96,6	96,4	96,4	94,7	94,4
339,8	91,8	94	92,7	92,1	87,3	90,7	89,3	90,9	100	92,3	97,4	96,9	96,8	96,7	95,1	94,9
373,1	92,4	94,6	93,6	93	88,3	91,7	90,3	91,3	100	92,9	97,6	97,2	97,1	97	95,6	95,3
409,6	93	95,2	94,4	93,9	89,2	92,6	91,2	91,9	100	93,5	97,8	97,5	97,4	97,4	96,1	95,8
449,7	93,6	95,8	95,2	94,8	90,2	93,4	92,1	92,7	100	94,1	98	97,9	97,8	97,7	96,6	96,3
493,6	94,2	96,5	96	95,6	91,2	94,3	93	93,7	100	94,8	98,4	98,3	98,2	98,1	97,1	96,8
541,9	94,9	97,2	96,8	96,4	92,2	95	93,9	94,8	100	95,5	98,8	98,8	98,7	98,5	97,7	97,3
594,9	95,5	97,8	97,4	97,1	93,1	95,8	94,7	95,9	100	96,2	99,2	99,2	99	98,9	98,2	97,9
653	96,2	98,4	98	97,8	94,1	96,5	95,5	97	100	96,9	99,5	99,5	99,3	99,3	98,7	98,4
716,9	96,8	98,8	98,4	98,3	94,9	97,2	96,1	98,1	100	97,4	99,7	99,7	99,6	99,6	99,2	98,9
786,9	97,4	99,1	98,7	98,7	95,7	97,8	96,6	99	100	97,9	99,9	99,8	99,8	99,8	99,6	99,4
863,9	97,9	99,3	99	99	96,4	98,4	97,1	99,6	100	98,3	100	99,9	99,9	99,9	99,9	99,8
948,2	98,5	99,5	99,3	99,3	97,3	98,9	97,7	99,9	100	98,8	100	100	100	100	100	100
1041	99	99,6	99,6	99,5	98,1	99,4	98,3	100	100	99,2	100	100	100	100	100	100
1143	99,4	99,8	99,8	99,8	98,9	99,7	99,1	100	100	99,5	100	100	100	100	100	100
1255	99,8	99,9	99,9	99,9	99,6	99,9	99,6	100	100	99,8	100	100	100	100	100	100
1377	100	100	100	100	99,9	100	99,9	100	100	100	100	100	100	100	100	100
1512	100	100	100	100	100	100	100	100	100	100	100	100	100	100	100	100
1660	100	100	100	100	100	100	100	100	100	100	100	100	100	100	100	100
1822	100	100	100	100	100	100	100	100	100	100	100	100	100	100	100	100
2000	100	100	100	100	100	100	100	100	100	100	100	100	100	100	100	100
4000																
8000																
16000																

Prøve nr. → Diameter(µm) ↓	33	34	35	36	37	38	39	40	41	42	43	44	45	46	47	48
0,375	0	0	0	0	0	0	0	0	0	0	0	0	0	0	0	0
0,412	0	0	0	0	0	0	0	0	0	0	0	0	0	0	0	0
0,452	0	0	0	0	0	0	0	0	0	0	0	0	0	0	0	0
0,496	0	0	0	0	0	0	0	0	0,000032	0,000065	0,000039	0	0	0	0	0
0,545	0	0,00024	0,000094	0,000057	0,00025	0,00024	0,00026	0,00028	0,00099	0,0014	0,00083	0,00036	0,00026	0,0002	0,00023	0
0,598	0,00022	0,0036	0,002	0,0016	0,0039	0,0037	0,0039	0,0041	0,0084	0,01	0,0063	0,0051	0,0039	0,0031	0,0034	0,00058
0,657	0,0035	0,023	0,015	0,013	0,024	0,023	0,024	0,025	0,037	0,041	0,025	0,031	0,024	0,02	0,021	0,0017
0,721	0,023	0,078	0,059	0,054	0,085	0,08	0,084	0,084	0,11	0,11	0,069	0,1	0,081	0,072	0,071	0,014
0,791	0,085	0,19	0,16	0,15	0,21	0,2	0,21	0,2	0,23	0,24	0,15	0,24	0,2	0,18	0,17	0,062
0,869	0,22	0,38	0,34	0,32	0,42	0,39	0,41	0,4	0,44	0,44	0,27	0,46	0,39	0,36	0,33	0,18
0,953	0,44	0,66	0,61	0,6	0,72	0,67	0,71	0,68	0,73	0,72	0,45	0,79	0,67	0,63	0,58	0,39
1,047	0,78	1,05	1	0,98	1,15	1,07	1,12	1,07	1,13	1,11	0,69	1,24	1,06	1,01	0,91	0,71
1,149	1,24	1,56	1,51	1,5	1,71	1,6	1,67	1,59	1,65	1,61	1	1,82	1,57	1,51	1,35	1,17
1,261	1,84	2,2	2,16	2,15	2,42	2,25	2,36	2,23	2,29	2,23	1,38	2,55	2,2	2,14	1,9	1,77
1,385	2,58	2,95	2,94	2,94	3,25	3,03	3,17	2,99	3,04	2,96	1,84	3,41	2,96	2,88	2,55	2,52
1,52	3,45	3,82	3,84	3,85	4,21	3,92	4,11	3,86	3,91	3,78	2,37	4,4	3,82	3,74	3,29	3,41
1,669	4,42	4,77	4,84	4,86	5,26	4,9	5,14	4,82	4,85	4,69	2,95	5,48	4,76	4,68	4,11	4,43
1,832	5,47	5,78	5,91	5,93	6,38	5,95	6,24	5,84	5,85	5,65	3,58	6,63	5,77	5,69	4,98	5,54
2,01	6,58	6,84	7,02	7,05	7,55	7,03	7,39	6,9	6,9	6,65	4,25	7,83	6,82	6,73	5,88	6,73
2,207	7,72	7,91	8,15	8,19	8,73	8,14	8,57	7,97	7,96	7,67	4,93	9,04	7,87	7,79	6,8	7,97
2,423	8,88	8,99	9,29	9,34	9,92	9,26	9,76	9,06	9,02	8,7	5,64	10,3	8,94	8,85	7,72	9,25
2,66	10,1	10,1	10,4	10,5	11,1	10,4	11	10,1	10,1	9,73	6,36	11,5	10	9,92	8,65	10,6
2,92	11,3	11,2	11,6	11,7	12,3	11,5	12,2	11,3	11,2	10,8	7,1	12,8	11,1	11	9,6	11,9
3,206	12,5	12,3	12,8	12,9	13,6	12,7	13,5	12,4	12,3	11,8	7,86	14	12,2	12,1	10,6	13,4
3,519	13,8	13,5	14,1	14,1	14,9	13,9	14,8	13,6	13,4	13	8,64	15,4	13,3	13,3	11,6	14,9
3,862	15,2	14,8	15,4	15,5	16,3	15,2	16,1	14,8	14,6	14,1	9,45	16,7	14,5	14,4	12,6	16,4
4,241	16,6	16,1	16,8	16,8	17,7	16,5	17,6	16	15,9	15,3	10,3	18,1	15,7	15,7	13,7	18,1
4,656	18,1	17,5	18,2	18,3	19,2	17,9	19	17,3	17,1	16,5	11,1	19,6	17	16,9	14,8	19,8
5,111	19,6	18,9	19,7	19,7	20,8	19,3	20,6	18,7	18,4	17,8	12	21,1	18,3	18,2	16	21,5
5,611	21,1	20,3	21,2	21,3	22,4	20,8	22,1	20	19,8	19,1	12,9	22,7	19,7	19,6	17,1	23,4
6,158	22,7	21,8	22,7	22,8	24	22,2	23,7	21,4	21,1	20,4	13,8	24,2	21	20,9	18,3	25,2
6,761	24,2	23,3	24,2	24,3	25,6	23,7	25,2	22,7	22,4	21,7	14,7	25,8	22,4	22,2	19,5	27,1
7,421	25,7	24,7	25,7	25,8	27,1	25,1	26,8	24	23,7	22,9	15,6	27,3	23,7	23,5	20,6	29
8,147	27,2	26,1	27,1	27,2	28,6	26,5	28,2	25,3	24,9	24,1	16,5	28,8	24,9	24,8	21,7	30,8
8,944	28,5	27,4	28,4	28,6	30,1	27,8	29,6	26,4	26,1	25,3	17,4	30,3	26,2	26	22,8	32,7
9,819	29,8	28,7	29,7	29,9	31,5	29,1	31	27,6	27,2	26,4	18,3	31,7	27,3	27,1	23,8	34,5
10,78	30,9	29,9	30,9	31,1	32,8	30,3	32,2	28,6	28,2	27,5	19,1	33	28,5	28,2	24,7	36,3
11,83	32	31	32,1	32,2	34	31,4	33,4	29,6	29,3	28,6	20	34,4	29,5	29,3	25,7	38,1
12,99	33,1	32,1	33,2	33,3	35,2	32,5	34,6	30,6	30,3	29,7	20,8	35,7	30,6	30,4	26,6	39,8
14,26	34,2	33,2	34,3	34,5	36,4	33,7	35,9	31,7	31,4	30,8	21,7	37,2	31,8	31,5	27,6	41,6
15,65	35,4	34,5	35,5	35,8	37,8	35	37,2	32,8	32,5	32,1	22,7	38,7	33	32,7	28,8	43,4
17,18	36,7	35,8	36,9	37,1	39,2	36,4	38,7	34,1	33,9	33,5	23,8	40,4	34,4	34,1	30	45,3
18,86	38,1	37,3	38,3	38,6	40,8	37,9	40,3	35,5	35,3	35	25	42,3	35,9	35,6	31,3	47,2
20,7	39,5	38,9	39,9	40,2	42,5	39,5	42	36,9	36,8	36,5	26,3	44,2	37,4	37,1	32,6	49,1
22,73	41	40,4	41,4	41,8	44,2	41,1	43,7	38,4	38,4	38,2	27,7	46,1	39	38,7	34	50,9
24,95	42,5	42,1	42,9	43,4	45,9	42,8	45,5	39,9	40	39,8	29,1	48,1	40,6	40,2	35,5	52,5
27,38	44,1	43,7	44,5	45,1	47,6	44,5	47,2	41,4	41,6	41,5	30,7	50,1	42,2	41,9	37	54,1
30,07	45,7	45,4	46,1	46,8	49,4	46,3	49	43	43,4	43,3	32,4	52,1	43,9	43,6	38,5	55,6
33	47,3	47,2	47,7	48,5	51,3	48,2	50,9	44,7	45,2	45,2	34,3	54,2	45,7	45,3	40,1	57,1
36,24	49	49	49,3	50,3	53,2	50,1	52,8	46,5	47,1	47,1	36,2	56,3	47,5	47,1	41,8	58,4

Prøve nr. → Diameter(µm) ↓	33	34	35	36	37	38	39	40	41	42	43	44	45	46	47	48
39,77	50,9	50,8	51	52,2	55,2	52,1	54,8	48,4	49,1	49,2	38,3	58,5	49,4	48,9	43,6	59,7
43,66	52,8	52,8	52,7	54,1	57,3	54,1	56,9	50,4	51,2	51,3	40,5	60,7	51,3	50,8	45,4	60,9
47,93	54,9	54,8	54,6	56,2	59,4	56,3	59,2	52,6	53,5	53,6	43	63	53,4	52,9	47,3	62,2
52,63	57,3	57	56,6	58,5	61,8	58,7	61,6	54,9	56	56,2	45,7	65,4	55,6	55,1	49,4	63,6
57,77	59,9	59,5	58,9	61	64,4	61,3	64,2	57,6	58,7	58,9	48,7	68	58	57,6	51,8	65,1
63,41	62,8	62,2	61,4	63,8	67,2	64,1	67,1	60,5	61,7	62	52	70,8	60,6	60,4	54,4	66,7
69,62	65,9	65,1	64,2	66,7	70,2	67,1	70,2	63,6	64,9	65,2	55,5	73,6	63,4	63,5	57,2	68,4
76,43	69,2	68,1	67,1	69,8	73,3	70,2	73,3	66,9	68,2	68,4	59,1	76,3	66,2	66,6	60,1	70,1
83,9	72,4	71,2	70	72,8	76,2	73,3	76,3	70,2	71,4	71,6	62,7	78,9	69	69,7	63	71,7
92,09	75,5	74,1	72,8	75,7	79,1	76,1	79,1	73,4	74,5	74,7	66,1	81,2	71,7	72,7	65,9	73,2
101,1	78,5	77	75,4	78,5	81,7	78,8	81,7	76,4	77,3	77,6	69,3	83,4	74,2	75,4	68,7	74,6
111	81,3	79,7	77,9	81,1	84,1	81,4	84,1	79,2	80	80,4	72,3	85,3	76,7	78,1	71,4	75,9
121,8	84	82,4	80,3	83,6	86,5	83,8	86,3	81,9	82,6	83,1	75,1	87,2	79,2	80,6	74,3	77,4
133,7	86,5	84,9	82,7	86	88,7	86	88,3	84,4	85	85,6	77,8	89	81,6	82,9	77,1	78,9
146,8	88,8	87,3	84,9	88,2	90,7	88,2	90,2	86,8	87,2	88	80,4	90,6	84	85,2	80	80,5
161,2	90,9	89,5	87	90,2	92,4	90	91,8	88,8	89,2	90,1	82,7	92,1	86,3	87,2	82,7	82,1
176,8	92,6	91,3	88,8	91,9	93,9	91,6	93,2	90,6	90,9	91,9	84,8	93,3	88,3	89	85,2	83,5
194,2	94	92,9	90,3	93,2	95	92,9	94,3	92,1	92,2	93,3	86,6	94,3	90	90,5	87,3	84,8
213,2	95	94	91,5	94,2	95,7	93,9	95,1	93,3	93,2	94,4	88,1	95,1	91,4	91,7	89	85,8
234,1	95,7	94,9	92,4	95	96,2	94,7	95,7	94,3	94	95,2	89,3	95,7	92,6	92,6	90,4	86,8
256,8	96,1	95,5	93,1	95,5	96,6	95,3	96,1	95,1	94,6	95,8	90,3	96,2	93,5	93,3	91,6	87,6
282,1	96,4	96	93,6	96	96,9	95,7	96,5	95,7	95,2	96,2	91,2	96,6	94,3	93,8	92,6	88,3
309,6	96,7	96,4	94	96,4	97,1	96,2	96,9	96,2	95,6	96,6	91,9	97	94,9	94,3	93,4	89,1
339,8	96,9	96,8	94,4	96,8	97,4	96,5	97,3	96,6	96,1	96,9	92,6	97,3	95,6	94,7	94,3	89,8
373,1	97,2	97,2	94,8	97,2	97,6	96,9	97,7	97	96,5	97,2	93,3	97,5	96,2	95,2	95,1	90,6
409,6	97,5	97,7	95,2	97,5	97,9	97,3	98,1	97,5	97	97,5	94	97,8	96,8	95,6	95,9	91,6
449,7	97,9	98,2	95,7	97,9	98,3	97,8	98,5	97,9	97,5	97,9	94,6	98,1	97,4	96,1	96,7	92,6
493,6	98,3	98,7	96,1	98,4	98,6	98,2	98,9	98,4	98	98,3	95,3	98,5	98	96,7	97,5	93,7
541,9	98,7	99,1	96,7	98,8	99	98,7	99,2	98,9	98,5	98,7	95,9	98,9	98,5	97,2	98,2	95
594,9	99,1	99,5	97,3	99,1	99,3	99,2	99,5	99,3	98,9	99,1	96,5	99,3	99	97,7	98,8	96,2
653	99,4	99,8	97,9	99,4	99,4	99,5	99,7	99,6	99,3	99,4	97	99,6	99,3	98,2	99,3	97,4
716,9	99,7	99,9	98,6	99,7	99,8	99,8	99,8	99,8	99,6	99,7	97,4	99,9	99,6	98,8	99,6	98,4
786,9	99,9	100	99,2	99,8	99,9	99,9	99,9	100	99,8	99,8	97,9	100	99,8	99,3	99,8	99,2
863,9	100	100	99,7	99,9	100	100	100	100	99,9	99,9	98,3	100	99,9	99,7	99,9	99,7
948,2	100	100	99,9	100	100	100	100	100	100	100	98,7	100	100	99,9	100	99,9
1041	100	100	100	100	100	100	100	100	100	100	99,2	100	100	100	100	100
1143	100	100	100	100	100	100	100	100	100	100	99,6	100	100	100	100	100
1255	100	100	100	100	100	100	100	100	100	100	99,8	100	100	100	100	100
1377	100	100	100	100	100	100	100	100	100	100	100	100	100	100	100	100
1512	100	100	100	100	100	100	100	100	100	100	100	100	100	100	100	100
1660	100	100	100	100	100	100	100	100	100	100	100	100	100	100	100	100
1822	100	100	100	100	100	100	100	100	100	100	100	100	100	100	100	100
2000	100	100	100	100	100	100	100	100	100	100	100	100	100	100	100	100
4000																
8000																
16000																

Prøve nr. → Diameter(µm) ↓	49	50	51	52	53	54	55	56	57	58	59	60	61	62	63	64
0,375	0	0	0	0	0	0	0	0	0	0	0	0	0	0	0	0
0,412	0	0	0	0	0	0	0	0	0	0	0	0	0	0	0	0
0,452	0	0	0	0	0	0	0	0	0	0	0	0	0	0	0	0
0,496	0	0	0	0	0	0	0	0	0	0	0	0	0	0	0	0
0,545	0	0	0	0	0	0	0	0	0	0	0	0	0	0,000086	0,000086	0,00028
0,598	0	0,00029	0,00032	0,00034	0,00012	0,00041	0,00065	0,00047	0,00071	0,00031	0,0002	0,00061	0,00063	0,00024	0,00021	0,00041
0,657	0,000046	0,0049	0,0054	0,0056	0,0029	0,0063	0,009	0,007	0,0099	0,0055	0,0042	0,0087	0,0087	0,019	0,016	0,025
0,721	0,00099	0,033	0,037	0,038	0,024	0,04	0,054	0,044	0,06	0,038	0,031	0,053	0,053	0,082	0,068	0,084
0,791	0,0073	0,12	0,14	0,14	0,017	0,14	0,18	0,15	0,2	0,14	0,12	0,18	0,17	0,23	0,19	0,2
0,869	0,029	0,32	0,35	0,35	0,28	0,35	0,42	0,38	0,47	0,37	0,34	0,43	0,42	0,5	0,41	0,4
0,953	0,077	0,64	0,71	0,72	0,6	0,7	0,81	0,74	0,9	0,76	0,71	0,84	0,8	0,91	0,74	0,69
1,047	0,16	1,13	1,25	1,26	1,1	1,2	1,37	1,28	1,52	1,34	1,28	1,43	1,36	1,51	1,23	1,08
1,149	0,29	1,79	1,98	2,01	1,78	1,89	2,12	2,36	2,15	2,06	2,22	2,11	2,3	1,87	1,6	1,6
1,261	0,47	2,65	2,92	2,96	2,67	2,76	3,07	2,92	3,42	3,19	3,08	3,24	3,06	3,29	2,67	2,25
1,385	0,7	3,69	4,07	4,13	3,77	3,83	4,21	4,04	4,7	4,46	4,33	4,47	4,21	4,49	3,64	3,02
1,52	0,99	4,89	5,4	5,48	5,05	5,05	5,53	5,33	6,18	5,95	5,8	5,89	5,54	5,86	4,75	3,89
1,669	1,34	6,24	6,88	6,99	6,48	6,41	6,98	6,76	7,81	7,6	7,44	7,46	7,01	7,37	5,97	4,85
1,832	1,75	7,68	8,47	8,61	8,03	7,85	8,53	8,28	9,55	9,38	9,2	9,13	8,57	8,98	7,26	5,88
2,01	2,21	9,19	10,1	10,3	9,67	9,37	10,2	9,87	11,4	11,3	11,1	10,9	10,2	10,7	8,6	6,94
2,207	2,72	10,8	11,9	12,1	11,4	10,9	11,8	11,5	13,2	13,2	13	12,7	11,9	12,4	9,94	8,03
2,423	3,27	12,4	13,7	14	13,1	12,6	13,6	13,2	15,2	15,2	15	14,5	13,6	14,1	11,3	9,13
2,66	3,88	14,2	15,6	16	15	14,3	15,4	15	17,2	17,3	17	16,4	15,4	15,8	12,6	10,2
2,92	4,53	16,1	17,7	18,1	17	16,1	17,4	16,9	19,3	19,5	19,2	18,4	17,2	17,7	14	11,4
3,206	5,24	18,1	20	20,5	19,2	18,2	19,5	19	21,6	21,8	21,6	20,5	19,1	19,6	15,5	12,5
3,519	6	20,5	22,5	23,1	21,6	20,4	21,9	21,3	24,1	24,4	24,1	22,8	21,2	21,6	16,9	13,7
3,862	6,81	23	25,3	26	24,3	22,9	24,4	23,9	26,8	27,2	26,8	25,3	23,5	23,7	18,5	15
4,241	7,69	25,9	28,4	29,2	27,1	25,7	27,3	26,7	29,8	30,2	29,8	27,9	25,9	26	20,2	16,3
4,656	8,62	29	31,8	32,7	30,3	28,7	30,4	29,7	33	33,4	32,9	30,8	28,5	28,4	21,9	17,6
5,111	9,61	32,3	35,4	36,5	33,6	31,9	33,7	33	36,4	36,8	36,2	33,8	31,2	30,9	23,7	19
5,611	10,7	35,8	39,3	40,4	37,1	35,4	37,1	36,4	39,9	40,3	39,6	36,9	34	33,4	25,5	20,3
6,158	11,8	39,4	43,2	44,5	40,7	38,9	40,7	39,9	43,5	43,8	43	40	36,8	36	27,3	21,7
6,761	13	42,9	47,1	48,5	44,2	42,3	44,2	43,4	47	47,3	46,3	43,1	39,6	38,5	29,1	23
7,421	14,2	46,3	50,9	52,3	47,6	45,7	47,5	46,7	50,4	50,5	49,5	46,1	42,3	40,9	30,8	24,2
8,147	15,5	49,5	54,4	55,9	50,8	48,8	50,7	49,7	53,5	53,5	52,4	48,8	44,7	43,2	32,4	25,4
8,944	16,9	52,4	57,5	59,1	53,6	51,6	53,6	52,5	56,2	56,2	55	51,3	47	45,2	33,9	26,5
9,819	18,4	54,8	60,1	61,8	56	54	56	54,8	58,5	58,4	57,2	53,5	48,9	47	35,2	27,6
10,78	20	56,7	62,2	64	58	56	58	56,7	60,4	60,1	58,9	55,2	50,5	48,6	36,3	28,5
11,83	21,7	58,1	63,7	65,6	59,5	57,5	59,6	58,1	61,8	61,4	60,2	56,7	51,8	49,9	37,4	29,3
12,99	23,5	59,1	64,7	66,8	60,6	58,6	60,8	59,3	62,9	62,4	61,2	57,9	52,9	51,1	38,3	30,2
14,26	25,5	59,9	65,5	67,7	61,6	59,6	61,9	60,3	63,9	63,3	62,1	59	54	52,3	39,3	31
15,65	27,7	60,7	66,3	68,7	62,7	60,6	63	61,3	65	64,3	63,1	60,2	55,2	53,5	40,4	31,9
17,18	30	61,7	67,2	69,9	63,9	61,8	64,3	62,6	66,3	65,4	64,3	61,6	56,5	54,9	41,6	32,9
18,86	32,6	62,8	68,4	71,3	65,3	63,2	65,8	64,1	67,8	66,7	65,6	63,2	57,9	56,4	42,8	33,9
20,7	35,4	64,2	69,7	72,9	66,8	64,8	67,5	65,7	69,4	68,2	67	64,8	59,4	57,9	44,1	35
22,73	38,3	65,6	71,1	74,5	68,4	66,4	69,2	67,4	71	69,6	68,5	66,4	60,9	59,5	45,4	36,2
24,95	41,4	66,9	72,5	76,1	69,9	67,9	70,7	68,9	72,5	70,9	69,8	67,9	62,3	60,9	46,6	37,4
27,38	44,7	68,2	73,7	77,6	71,3	69,3	72,1	70,3	73,8	72	71	69,2	63,5	62,2	47,8	38,6
30,07	48,1	69,3	74,7	79	72,5	70,5	73,4	71,7	75	73,1	72,1	70,4	64,7	63,4	49	40
33	51,6	70,3	75,7	80,3	73,7	71,7	74,5	72,9	76,2	74	73,1	71,5	65,8	64,7	50,3	41,5
36,24	55,1	71,3	76,6	81,5	74,7	72,7	75,5	74,1	77,3	75	74,2	72,6	66,9	66	51,8	43,3

Prøve nr. → Diameter(µm) ↓	49	50	51	52	53	54	55	56	57	58	59	60	61	62	63	64
39,77	58,7	72,3	77,5	82,6	75,7	73,7	76,5	75,3	78,3	76	75,2	73,7	68,1	67,3	53,5	45,4
43,66	62,2	73,2	78,5	83,8	76,7	74,6	77,4	76,5	79,4	77,1	76,4	74,9	69,5	68,9	55,4	47,8
47,93	65,7	74,3	79,5	85	77,8	75,6	78,3	77,7	80,6	78,4	77,7	76,2	71,1	70,7	57,8	50,8
52,63	69,2	75,5	80,7	86,3	79	76,8	79,4	79	81,9	79,8	79,2	77,8	73	72,9	60,8	54,4
57,77	72,8	77	82	87,7	80,4	78,1	80,5	80,5	83,4	81,5	81	79,8	75,3	75,4	64,4	58,8
63,41	76,3	78,8	83,5	89,3	82,1	79,5	81,9	82,2	85,1	83,4	82,9	82,1	78	78,4	68,5	63,7
69,62	79,8	80,8	85,1	90,8	84	81,1	83,3	84	86,8	85,5	85	84,5	80,9	81,5	73	69
76,43	82,9	82,9	86,6	92,3	86,1	82,6	84,8	85,7	88,6	87,5	87	86,9	83,8	84,5	77,5	74,3
83,9	85,6	85	88,1	93,6	88,1	84,1	86,1	87,3	90,1	89,4	88,8	89	86,4	87,3	81,8	79,4
92,09	88	86,9	89,5	94,7	89,9	85,3	87,2	88,6	91,4	91,1	90,4	90,7	88,7	89,6	85,6	83,9
101,1	90	88,6	90,7	95,6	91,4	86,5	88,2	89,7	92,5	92,5	91,7	92,1	90,6	91,4	88,7	87,6
111	91,8	90,1	91,8	96,5	92,8	87,7	89,2	90,6	93,4	93,7	92,8	93,2	92,1	92,9	91,3	90,7
121,8	93,5	91,4	92,9	97,3	94,2	88,9	90,1	91,6	94,2	94,7	93,8	94,2	93,4	94,1	93,3	93,2
133,7	95,2	92,7	94	98,2	95,6	90,3	91,2	92,5	95	95,6	94,8	95,1	94,5	95,2	95	95,3
146,8	96,8	93,8	95,1	99	96,9	91,6	92,3	93,5	95,8	96,5	95,8	95,9	95,5	96,2	96,4	96,9
161,2	98,1	94,7	96,3	99,5	98,2	93	93,4	94,5	96,5	97,2	96,7	96,6	96,4	97	97,6	98,1
176,8	99	95,5	97,4	99,9	99,2	94,2	94,4	95,4	97,2	97,9	97,5	97,3	97,2	97,7	98,5	99
194,2	99,6	96,2	98,3	100	99,7	95,1	95,3	96,1	97,9	98,5	98,1	97,8	97,9	98,2	99,2	99,6
213,2	99,9	96,8	99,1	100	100	95,8	95,9	96,6	98,6	99	98,7	98,1	98,5	98,6	99,7	99,9
234,1	100	97,5	99,6	100	100	96,4	96,5	97	99,1	99,4	99,1	98,3	99	98,8	99,9	100
256,8	100	98,2	99,9	100	100	96,8	96,9	97,4	99,5	99,7	99,5	98,5	99,3	99	100	100
282,1	100	98,9	100	100	100	97,3	97,3	97,6	99,8	99,9	99,8	98,7	99,6	99,2	100	100
309,6	100	99,5	100	100	100	97,7	97,6	97,9	99,9	100	99,9	98,9	99,8	99,4	100	100
339,8	100	99,8	100	100	100	98,1	97,9	98,2	100	100	100	99,1	99,9	99,5	100	100
373,1	100	100	100	100	100	98,5	98,3	98,5	100	100	100	99,3	100	99,6	100	100
409,6	100	100	100	100	100	98,9	98,6	98,8	100	100	100	99,6	100	99,8	100	100
449,7	100	100	100	100	100	99,3	99	99,2	100	100	100	99,8	100	99,8	100	100
493,6	100	100	100	100	100	99,5	99,3	99,5	100	100	100	99,9	100	99,9	100	100
541,9	100	100	100	100	100	99,8	99,6	99,7	100	100	100	100	100	100	100	100
594,9	100	100	100	100	100	99,9	99,9	99,9	100	100	100	100	100	100	100	100
653	100	100	100	100	100	100	100	100	100	100	100	100	100	100	100	100
716,9	100	100	100	100	100	100	100	100	100	100	100	100	100	100	100	100
786,9	100	100	100	100	100	100	100	100	100	100	100	100	100	100	100	100
863,9	100	100	100	100	100	100	100	100	100	100	100	100	100	100	100	100
948,2	100	100	100	100	100	100	100	100	100	100	100	100	100	100	100	100
1041	100	100	100	100	100	100	100	100	100	100	100	100	100	100	100	100
1143	100	100	100	100	100	100	100	100	100	100	100	100	100	100	100	100
1255	100	100	100	100	100	100	100	100	100	100	100	100	100	100	100	100
1377	100	100	100	100	100	100	100	100	100	100	100	100	100	100	100	100
1512	100	100	100	100	100	100	100	100	100	100	100	100	100	100	100	100
1660	100	100	100	100	100	100	100	100	100	100	100	100	100	100	100	100
1822	100	100	100	100	100	100	100	100	100	100	100	100	100	100	100	100
2000	100	100	100	100	100	100	100	100	100	100	100	100	100	100	100	100
4000																
8000																
16000																

Prøve nr. → Diameter(µm) ↓	65	66	67	68	69	70	71	72	73	74	75	76	77	78	79	80
0,375	0	0	0	0	0	0	0	0	0	0	0	0	0	0	0	0
0,412	0,0008	0,007	0	0,0019	0,0035	0,0089	0	0	0	0	0	0	0	0	0	0
0,452	0,0017	0,019	0	0,0049	0,0094	0,025	0	0	0	0	0	0	0	0	0	0
0,496	0,0042	0,038	0	0,01	0,019	0,048	0	0	0	0	0	0	0	0	0	0
0,545	0,012	0,067	0,00026	0,022	0,036	0,083	0	0	0	0,000016	0,000073	0,00011	0	0	0	0
0,598	0,032	0,11	0,0036	0,047	0,064	0,13	0,0004	0,00037	0,00044	0,00045	0,0011	0,0023	0,0028	0	0,00018	0
0,657	0,074	0,16	0,022	0,091	0,11	0,19	0,0058	0,0057	0,0064	0,006	0,011	0,019	0,022	0,00026	0,0033	0,00039
0,721	0,14	0,23	0,073	0,16	0,17	0,26	0,036	0,037	0,04	0,035	0,057	0,081	0,09	0,005	0,023	0,00091
0,791	0,25	0,33	0,18	0,26	0,34	0,44	0,12	0,13	0,13	0,13	0,17	0,23	0,25	0,035	0,086	0,0069
0,869	0,41	0,44	0,34	0,41	0,38	0,44	0,29	0,33	0,33	0,27	0,39	0,5	0,54	0,13	0,23	0,028
0,953	0,62	0,59	0,58	0,6	0,53	0,56	0,57	0,66	0,64	0,51	0,73	0,92	0,98	0,35	0,47	0,075
1,047	0,89	0,76	0,92	0,85	0,73	0,7	0,97	1,15	1,1	0,86	1,21	1,52	1,6	0,72	0,83	0,16
1,149	1,23	0,97	1,35	1,16	0,97	0,86	1,52	1,82	1,72	1,33	1,86	2,32	2,44	1,25	1,34	0,28
1,261	1,65	1,2	1,89	1,53	1,25	1,04	2,21	2,68	2,51	1,93	2,69	3,34	3,5	1,98	2,01	0,46
1,385	2,13	1,47	2,53	1,96	1,58	1,24	3,05	3,73	3,48	2,65	3,69	4,57	4,78	2,9	2,83	0,7
1,52	2,67	1,77	3,26	2,44	1,95	1,47	4,01	4,94	4,59	3,48	4,84	5,99	6,26	3,98	3,8	0,99
1,669	3,26	2,09	4,05	2,96	2,36	1,71	5,07	6,29	5,83	4,41	6,12	7,58	7,9	5,22	4,9	1,34
1,832	3,9	2,43	4,9	3,52	2,79	1,98	6,19	7,73	7,16	5,41	7,49	9,28	9,66	6,56	6,09	1,74
2,01	4,57	2,79	5,77	4,1	3,25	2,26	7,35	9,23	8,55	6,45	8,92	11,1	11,5	7,99	7,37	2,2
2,207	5,27	3,16	6,66	4,7	3,73	2,57	8,52	10,8	9,96	7,52	10,4	12,9	13,4	9,48	8,69	2,71
2,423	5,99	3,54	7,55	5,31	4,22	2,88	9,72	12,3	11,4	8,61	11,8	14,8	15,3	11	10,1	3,26
2,66	6,72	3,93	8,46	5,93	4,72	3,21	10,9	13,9	12,9	9,73	13,3	16,6	17,2	12,7	11,5	3,87
2,92	7,47	4,33	9,39	6,56	5,24	3,56	12,2	15,6	14,4	10,9	14,8	18,5	19,2	14,4	12,9	4,52
3,206	8,25	4,73	10,3	7,21	5,78	3,91	13,6	17,4	16	12,1	16,3	20,5	21,2	16,4	14,4	5,22
3,519	9,05	5,14	11,4	7,87	6,33	4,28	15	19,2	17,6	13,3	17,9	22,5	23,2	18,5	16	5,98
3,862	9,87	5,55	12,4	8,56	6,89	4,67	16,6	21,2	19,4	14,6	19,5	24,5	25,3	20,8	17,7	6,79
4,241	10,7	5,97	13,5	9,25	7,47	5,06	18,3	23,3	21,2	15,9	21,1	26,6	27,5	23,4	19,4	7,66
4,656	11,6	6,39	14,7	9,97	8,06	5,46	20,1	25,6	23,1	17,3	22,8	28,8	29,7	26,2	21,3	8,59
5,111	12,5	6,81	15,8	10,7	8,66	5,87	22	27,9	25	18,7	24,5	30,9	31,9	29,1	23,2	9,58
5,611	13,4	7,23	17,1	11,4	9,27	6,28	23,9	30,2	27	20,2	26,2	33,1	34,2	32,2	25,1	10,6
6,158	14,3	7,65	18,3	12,2	9,88	6,7	25,9	32,5	28,9	21,6	27,9	35,3	36,4	35,4	27,1	11,7
6,761	15,2	8,06	19,5	12,9	10,5	7,12	27,8	34,8	30,7	23	29,6	37,4	38,7	38,5	29,1	12,9
7,421	16,2	8,47	20,6	13,6	11,1	7,54	29,5	36,8	32,4	24,3	31,2	39,5	40,9	41,5	31,1	14,2
8,147	17,1	8,88	21,7	14,3	11,7	7,96	31,2	38,7	33,9	25,6	32,8	41,5	43	44,3	33,2	15,5
8,944	18	9,28	22,7	15	12,2	8,38	32,6	40,4	35,3	26,8	34,3	43,4	45,1	46,7	35,2	16,9
9,819	18,9	9,67	23,7	15,6	12,8	8,79	33,8	41,8	36,5	27,9	35,7	45,2	47	48,8	37,1	18,4
10,78	19,7	10,1	24,5	16,3	13,3	9,21	34,8	43,1	37,5	28,9	37,1	46,9	49	50,3	39,1	19,9
11,83	20,6	10,4	25,3	16,9	13,9	9,63	35,6	44,1	38,4	29,9	38,4	48,6	50,8	51,4	40,9	21,6
12,99	21,5	10,8	26	17,5	14,4	10,1	36,4	45	39,3	30,9	39,7	50,2	52,6	52,2	42,8	23,4
14,26	22,5	11,2	26,7	18,1	14,9	10,5	37,1	46	40,2	31,9	41	51,9	54,5	52,8	44,8	25,4
15,65	23,5	11,7	27,5	18,8	15,5	11	38	47	41,2	32,9	42,4	53,7	56,4	53,3	46,7	27,6
17,18	24,6	12,1	28,4	19,5	16,1	11,5	38,9	48,2	42,3	34,1	43,8	55,5	58,5	54	48,8	30
18,86	25,8	12,6	29,3	20,3	16,8	12	40	49,6	43,5	35,4	45,3	57,4	60,5	54,9	50,8	32,5
20,7	27,1	13,2	30,3	21,1	17,4	12,6	41,1	50,9	44,7	36,7	46,8	59,3	62,6	55,9	52,8	35,3
22,73	28,6	13,8	31,3	21,9	18,1	13,2	42,2	52,2	45,9	38	48,1	61,1	64,6	57	54,8	38,2
24,95	30,1	14,5	32,3	22,9	18,9	13,8	43,2	53,4	47	39,4	49,4	62,8	66,4	58	56,6	41,4
27,38	31,8	15,3	33,4	23,9	19,7	14,4	44,1	54,5	48,1	40,8	50,6	64,4	68,2	58,9	58,3	44,7
30,07	33,7	16,2	34,5	25	20,5	15	45	55,6	49,3	42,2	51,8	66	69,9	59,7	59,9	48,1
33	35,7	17,3	35,8	26,2	21,4	15,7	45,9	56,7	50,5	43,6	52,9	67,6	71,6	60,4	61,4	51,6
36,24	38	18,6	37,2	27,6	22,3	16,4	46,8	57,9	51,7	45,2	54	69,1	73,2	61,2	62,9	55,1

Prøve nr. → Diameter(µm) ↓	65	66	67	68	69	70	71	72	73	74	75	76	77	78	79	80
39,77	40,5	20,1	38,9	29,2	23,4	17,1	47,7	59,2	53,1	46,8	55,1	70,6	74,8	62	64,3	58,6
43,66	43,4	22,1	40,8	31,1	24,6	17,8	48,6	60,5	54,6	48,7	56,1	72,2	76,3	62,9	65,6	62,2
47,93	46,8	24,4	43,2	33,5	25,9	18,6	49,6	61,9	56,3	50,7	57,2	73,8	77,9	63,9	67	65,7
52,63	50,7	27,4	46,1	36,3	27,6	19,6	50,6	63,5	58,3	53,1	58,4	75,5	79,5	65,1	68,4	69,3
57,77	55,3	31,2	49,6	39,8	29,6	20,6	51,8	65,4	60,5	55,9	59,7	77,3	81,3	66,7	70	72,9
63,41	60,4	35,7	53,7	44	31,9	21,8	53,2	67,5	63	59,1	61,2	79,3	83,1	68,5	71,8	76,4
69,62	66	41,1	58,2	48,7	34,8	23,3	54,8	69,8	65,9	62,7	62,7	81,2	84,9	70,7	73,6	79,8
76,43	71,6	47,2	63,1	54	38,2	25	56,4	72,3	68,9	66,6	64,2	83,1	86,5	73,1	75,4	83
83,9	77	53,9	68,1	59,6	42,1	27,2	58,2	74,9	72	70,8	65,6	84,8	87,9	75,5	77,1	85,7
92,09	81,9	60,9	73	65,3	46,7	29,8	60	77,6	75,2	75,2	67	86,3	89,1	77,8	78,6	88
101,1	86,1	68	77,6	71	51,8	33	62	80,2	78,3	79,8	68,3	87,6	90,1	80	80,1	90
111	89,6	74,8	81,8	76,5	57,5	36,8	64,1	82,8	81,4	84,4	69,7	88,9	91,1	82	81,6	91,8
121,8	92,5	81,1	85,7	81,8	63,6	41,2	66,5	85,5	84,4	89	71,2	90,2	92,1	84	83	93,5
133,7	94,8	86,7	89,1	86,5	69,8	46	69,1	88	87,2	93,1	72,7	91,5	93,1	85,9	84,5	95,2
146,8	96,6	91,3	92	90,6	75,7	51	71,9	90,4	89,7	96,3	74,2	92,8	94,2	87,6	86	96,8
161,2	97,9	94,9	94,3	93,9	81,1	55,8	74,8	92,5	91,9	98,5	75,6	93,9	95	89,2	87,5	98,1
176,8	98,9	97,4	96	96,5	85,6	60,4	77,5	94,3	93,6	99,6	76,9	94,8	95,7	90,5	88,8	99,1
194,2	99,5	98,9	97,2	98,2	89,3	64,4	80,2	95,6	95	99,9	77,9	95,7	96,3	91,7	89,9	99,6
213,2	99,8	99,7	97,8	99,3	92	68	82,5	96,6	96	100	78,8	96,6	96,8	92,5	90,8	99,9
234,1	100	99,9	98,2	99,8	93,9	71	84,6	97,2	96,7	100	79,6	97,5	97,4	93,2	91,6	100
256,8	100	100	98,3	100	95,2	73,7	86,3	97,6	97,3	100	80,4	98,5	98,2	93,7	92,4	100
282,1	100	100	98,4	100	96	76	87,8	97,9	97,9	100	81,2	99,2	98,9	94,1	93	100
309,6	100	100	98,5	100	96,5	78,2	89	98,1	98,3	100	82,1	99,7	99,5	94,5	93,6	100
339,8	100	100	98,6	100	96,9	80,3	90	98,2	98,7	100	83,2	100	99,8	94,9	94,2	100
373,1	100	100	98,8	100	97,1	82,3	90,8	98,3	99	100	84,3	100	100	95,3	94,8	100
409,6	100	100	99	100	97,4	84,3	91,6	98,5	99,3	100	85,7	100	100	95,9	95,3	100
449,7	100	100	99,2	100	97,7	86,3	92,4	98,7	99,5	100	87,1	100	100	96,5	95,8	100
493,6	100	100	99,4	100	98,1	88,3	93,2	99	99,7	100	88,7	100	100	97,1	96,4	100
541,9	100	100	99,6	100	98,4	90	94,1	99,4	99,8	100	90,2	100	100	97,8	97	100
594,9	100	100	99,8	100	98,8	91,6	95	99,8	99,9	100	91,6	100	100	98,3	97,7	100
653	100	100	99,9	100	99,1	92,8	96	100	100	100	93	100	100	98,8	98,3	100
716,9	100	100	100	100	99,3	93,8	97,1	100	100	100	94,3	100	100	99,2	98,9	100
786,9	100	100	100	100	99,3	94,6	98,3	100	100	100	95,4	100	100	99,6	99,5	100
863,9	100	100	100	100	99,4	95,4	99,3	100	100	100	96,2	100	100	99,8	99,8	100
948,2	100	100	100	100	99,5	96,1	99,8	100	100	100	96,6	100	100	100	100	100
1041	100	100	100	100	99,6	96,8	100	100	100	100	96,7	100	100	100	100	100
1143	100	100	100	100	99,8	97,6	100	100	100	100	96,7	100	100	100	100	100
1255	100	100	100	100	99,9	98,3	100	100	100	100	96,7	100	100	100	100	100
1377	100	100	100	100	100	98,9	100	100	100	100	96,7	100	100	100	100	100
1512	100	100	100	100	100	99,3	100	100	100	100	96,7	100	100	100	100	100
1660	100	100	100	100	100	99,6	100	100	100	100	96,7	100	100	100	100	100
1822	100	100	100	100	100	99,8	100	100	100	100	96,7	100	100	100	100	100
2000	100	100	100	100	100	100	100	100	100	100	96,7	100	100	100	100	100
4000											99,3					
8000											100					
16000																

Prøve nr. → Diameter(µm) ↓	81	82	83	84	85	86	87	88	89	90	91	92	93	94	95	96
0,375	0	0	0	0	0	0	0	0	0	0	0	0	0	0	0	0
0,412	0	0	0	0	0	0	0	0	0	0	0	0	0	0	0	0
0,452	0	0	0	0	0	0	0	0	0	0	0	0	0	0	0	0
0,496	0	0	0	0	0	0	0	0	0	0	0	0	0	0	0	0
0,545	0	0	0	0	0	0	0	0	0	0,000007	0	0	0	0,0003	0,000038	0,00012
0,598	0,0008	0,00032	0,00039	0,00015	0	0,00049	0,00064	0,00053	0,00033	0,0014	0,00058	0,00054	0,00079	0,0052	0,0019	0,0031
0,657	0,011	0,0055	0,0063	0,0036	0,00079	0,0076	0,0093	0,0081	0,0059	0,016	0,0087	0,0083	0,011	0,035	0,017	0,025
0,721	0,065	0,038	0,042	0,028	0,012	0,049	0,058	0,052	0,042	0,083	0,055	0,054	0,066	0,13	0,082	0,1
0,791	0,21	0,14	0,15	0,11	0,072	0,17	0,2	0,18	0,16	0,26	0,19	0,19	0,22	0,33	0,24	0,29
0,869	0,5	0,37	0,39	0,32	0,24	0,44	0,49	0,46	0,41	0,59	0,47	0,47	0,52	0,68	0,54	0,62
0,953	0,95	0,75	0,79	0,67	0,58	0,88	0,95	0,91	0,86	1,12	0,93	0,94	1	1,21	1	1,13
1,047	1,6	1,33	1,38	1,22	1,12	1,53	1,64	1,58	1,53	1,88	1,61	1,64	1,71	1,95	1,67	1,86
1,149	2,47	2,12	2,2	1,99	1,89	2,43	2,58	2,5	2,46	2,89	2,54	2,59	2,66	2,93	2,56	2,82
1,261	3,59	3,16	3,26	3	2,92	3,59	3,79	3,69	3,68	4,19	3,74	3,83	3,87	4,16	3,69	4,05
1,385	4,93	4,43	4,57	4,25	4,22	5,01	5,26	5,14	5,18	5,76	5,21	5,35	5,35	5,63	5,06	5,52
1,52	6,49	5,92	6,1	5,72	5,76	6,67	6,98	6,84	6,95	7,57	6,93	7,13	7,07	7,32	6,64	7,22
1,669	8,22	7,6	7,83	7,39	7,52	8,53	8,9	8,73	8,94	9,6	8,85	9,12	8,98	9,2	8,39	9,11
1,832	10,1	9,41	9,7	9,2	9,44	10,6	11	10,8	11,1	11,8	10,9	11,3	11	11,2	10,3	11,1
2,01	12,1	11,3	11,7	11,1	11,5	12,7	13,2	12,9	13,4	14,1	13,1	13,5	13,2	13,3	12,3	13,3
2,207	14,1	13,3	13,8	13,2	13,7	14,9	15,5	15,2	15,8	16,5	15,4	15,9	15,4	15,5	14,3	15,5
2,423	16,2	15,4	16	15,3	16	17,2	17,8	17,5	18,2	18,9	17,7	18,3	17,7	17,7	16,4	17,7
2,66	18,3	17,6	18,2	17,4	18,3	19,6	20,3	19,9	20,8	21,4	20,1	20,8	20,1	19,9	18,5	20
2,92	20,6	19,9	20,6	19,7	20,8	22,1	22,8	22,4	23,4	24	22,5	23,3	22,5	22,3	20,7	22,4
3,206	23	22,3	23,2	22,2	23,5	24,7	25,5	25	26,1	26,7	25,1	26	25	24,7	23	25
3,519	25,6	25	26	24,8	26,3	27,5	28,4	27,8	29	29,6	27,8	28,8	27,7	27,2	25,3	27,6
3,862	28,4	27,8	29	27,6	29,4	30,4	31,4	30,8	32,1	32,5	30,6	31,7	30,5	29,9	27,8	30,4
4,241	31,4	30,8	32,1	30,5	32,6	33,5	34,6	34	35,3	35,6	33,6	34,7	33,5	32,7	30,4	33,3
4,656	34,5	34	35,5	33,6	36	36,8	38	37,4	38,6	38,9	36,6	37,8	36,5	35,6	33	36,4
5,111	37,8	37,4	39	36,8	39,5	40,3	41,5	40,8	42,1	42,2	39,8	41,1	39,7	38,7	35,8	39,5
5,611	41,2	40,9	42,7	40,2	43,1	43,8	45,1	44,4	45,6	45,5	43	44,3	43	41,7	38,6	42,7
6,158	44,6	44,4	46,4	43,5	46,7	47,3	48,8	48	49	48,9	46,1	47,6	46,2	44,8	41,3	45,9
6,761	48	47,9	50	46,7	50,2	50,7	52,3	51,4	52,4	52,1	49,2	50,7	49,4	47,8	44	49,1
7,421	51,2	51,2	53,5	49,9	53,5	53,9	55,6	54,8	55,6	55,1	52,1	53,6	52,4	50,6	46,6	52,1
8,147	54,2	54,3	56,8	52,8	56,6	57	58,8	57,8	58,5	58	54,8	56,4	55,2	53,3	48,9	54,9
8,944	57	57,1	59,8	55,4	59,5	59,7	61,6	60,6	61,2	60,5	57,3	58,9	57,8	55,7	51,1	57,4
9,819	59,4	59,6	62,4	57,7	61,9	62,1	64,1	63,1	63,5	62,8	59,4	61,2	60,1	57,9	53,1	59,7
10,78	61,5	61,7	64,7	59,7	64	64,2	66,2	65,2	65,5	64,8	61,3	63,1	62,1	59,8	54,8	61,8
11,83	63,2	63,4	66,5	61,3	65,7	65,9	66,9	67,1	66,5	66,3	63	64,8	63,8	61,5	56,4	63,6
12,99	64,6	64,8	68,1	62,7	67,2	67,4	69,5	68,4	68,6	68	64,4	66,3	65,4	63,1	57,8	65,2
14,26	65,9	66	69,5	63,9	68,5	68,8	71	69,9	70	69,5	65,8	67,9	67	64,6	59,2	66,7
15,65	67,3	67,3	71	65,3	69,9	70,3	72,5	71,4	71,5	71	67,4	69,5	68,6	66,2	60,7	68,4
17,18	68,7	68,8	72,5	66,7	71,4	71,9	74,1	73,1	73,1	72,8	69	71,3	70,4	68	62,3	70,1
18,86	70,4	70,4	74,3	68,4	73	73,7	76	75	74,9	74,7	70,8	73,2	72,4	70	64,1	72,1
20,7	72,1	72,1	76,1	70,1	74,8	75,5	77,9	76,9	76,8	76,6	72,7	75,1	74,4	72	65,9	74
22,73	73,8	73,8	77,9	71,8	76,6	77,3	79,7	78,8	78,5	78,4	74,5	77	76,3	73,9	67,6	76
24,95	75,4	75,4	79,5	73,4	78,2	79	81,5	80,6	80,1	80,1	76,1	78,7	78	75,7	69,3	77,8
27,38	76,9	76,9	81,1	74,8	79,7	80,5	83	82,1	81,5	81,7	77,6	80,4	79,7	77,3	70,9	79,4
30,07	78,3	78,2	82,4	76,2	81,1	81,8	84,5	83,6	82,8	83,1	79,1	81,9	81,2	78,9	72,4	81
33	79,6	79,4	83,6	77,5	82,3	83,1	85,8	85	84	84,5	80,5	83,3	82,7	80,4	74	82,5
36,24	80,8	80,6	84,8	78,7	83,5	84,4	87,1	86,3	85,2	85,8	81,8	84,8	84,1	81,9	75,7	83,9

Prøve nr. → Diameter(µm) ↓	81	82	83	84	85	86	87	88	89	90	91	92	93	94	95	96
39,77	82	81,7	85,9	80	84,7	85,5	88,3	87,5	86,4	87,1	83,2	86,2	85,5	83,4	77,4	85,3
43,66	83,2	82,8	86,9	81,3	85,8	86,7	89,5	88,7	87,5	88,4	84,6	87,5	86,8	84,8	79,1	86,6
47,93	84,4	83,9	88	82,6	87	87,8	90,6	89,9	88,7	89,6	85,9	88,9	88	86,3	80,8	87,9
52,63	85,7	85,1	89,1	84	88,2	89	91,8	91	89,8	90,9	87,3	90,3	89,2	87,7	82,6	89,3
57,77	87,1	86,3	90,3	85,5	89,5	90,3	93	92,2	91,1	92,3	88,8	91,7	90,5	89,2	84,5	90,6
63,41	88,6	87,5	91,5	87	90,8	91,6	94,2	93,5	92,4	93,6	90,3	93,1	91,8	90,7	86,3	92
69,62	90,1	88,7	92,7	88,4	92,1	92,8	95,4	94,6	93,6	94,9	91,7	94,4	93,1	92,1	88,1	93,3
76,43	91,4	89,9	93,7	89,8	93,2	93,9	96,4	95,6	94,6	96	93	95,6	94,2	93,3	89,7	94,3
83,9	92,6	90,8	94,5	90,9	94,1	94,8	97,2	96,3	95,4	96,9	94	96,5	95	94,3	91	95,1
92,09	93,5	91,6	95	91,9	94,7	95,4	97,7	96,8	96	97,5	94,7	97,2	95,6	94,9	92,1	95,7
101,1	94,5	92,3	95,4	92,7	95,3	95,8	98,1	97,2	96,4	98	95,3	97,7	96	95,4	92,9	96,1
111	95,5	93,1	95,8	93,5	95,8	96,3	98,5	97,5	96,9	98,4	95,8	98,2	96,3	95,8	93,8	96,5
121,8	96,7	93,9	96,3	94,3	96,5	96,9	98,9	98	97,5	98,9	96,4	98,8	96,7	96,3	94,7	97
133,7	97,8	94,9	97	95,3	97,3	97,6	99,3	98,5	98,1	99,3	97,1	99,3	97,3	96,9	95,8	97,6
146,8	98,9	96	97,8	96,2	98,2	98,4	99,7	99,1	98,9	99,7	97,9	99,7	98	97,6	96,9	98,3
161,2	99,6	97,2	98,6	97,2	99	99,1	99,9	99,6	99,4	99,9	98,7	99,9	98,7	98,4	98	98,9
176,8	99,9	98,2	99,2	98,1	99,5	99,6	100	99,9	99,8	100	99,3	100	99,3	99	99	99,5
194,2	100	99	99,7	98,8	99,9	99,9	100	100	100	100	99,7	100	99,7	99,5	99,6	99,8
213,2	100	99,6	99,9	99,4	100	100	100	100	100	100	99,9	100	99,9	99,8	99,9	99,9
234,1	100	99,9	100	99,7	100	100	100	100	100	100	100	100	100	100	100	100
256,8	100	100	100	99,9	100	100	100	100	100	100	100	100	100	100	100	100
282,1	100	100	100	100	100	100	100	100	100	100	100	100	100	100	100	100
309,6	100	100	100	100	100	100	100	100	100	100	100	100	100	100	100	100
339,8	100	100	100	100	100	100	100	100	100	100	100	100	100	100	100	100
373,1	100	100	100	100	100	100	100	100	100	100	100	100	100	100	100	100
409,6	100	100	100	100	100	100	100	100	100	100	100	100	100	100	100	100
449,7	100	100	100	100	100	100	100	100	100	100	100	100	100	100	100	100
493,6	100	100	100	100	100	100	100	100	100	100	100	100	100	100	100	100
541,9	100	100	100	100	100	100	100	100	100	100	100	100	100	100	100	100
594,9	100	100	100	100	100	100	100	100	100	100	100	100	100	100	100	100
653	100	100	100	100	100	100	100	100	100	100	100	100	100	100	100	100
716,9	100	100	100	100	100	100	100	100	100	100	100	100	100	100	100	100
786,9	100	100	100	100	100	100	100	100	100	100	100	100	100	100	100	100
863,9	100	100	100	100	100	100	100	100	100	100	100	100	100	100	100	100
948,2	100	100	100	100	100	100	100	100	100	100	100	100	100	100	100	100
1041	100	100	100	100	100	100	100	100	100	100	100	100	100	100	100	100
1143	100	100	100	100	100	100	100	100	100	100	100	100	100	100	100	100
1255	100	100	100	100	100	100	100	100	100	100	100	100	100	100	100	100
1377	100	100	100	100	100	100	100	100	100	100	100	100	100	100	100	100
1512	100	100	100	100	100	100	100	100	100	100	100	100	100	100	100	100
1660	100	100	100	100	100	100	100	100	100	100	100	100	100	100	100	100
1822	100	100	100	100	100	100	100	100	100	100	100	100	100	100	100	100
2000	100	100	100	100	100	100	100	100	100	100	100	100	100	100	100	100
4000																
8000																
16000																

Prøve nr. → Diameter(µm) ↓	97	98	99	100	101	102	103	104	105	106
0,375	0	0	0	0	0	0	0	0	0	0
0,412	0	0	0	0	0	0	0	0	0	0
0,452	0	0	0	0	0	0	0	0	0	0
0,496	0	0	0,000007	0	0	0	0	0	0	0
0,545	0	0	0,001	0	0	0,00015	0	0	0	0
0,598	0,00063	0	0,012	0,00067	0,00075	0,0032	0,00023	0,00036	0	0,000043
0,657	0,0093	0,00071	0,063	0,0097	0,01	0,024	0,0041	0,005	0,00039	0,00084
0,721	0,058	0,011	0,2	0,06	0,06	0,094	0,028	0,031	0,0061	0,0061
0,791	0,2	0,073	0,45	0,2	0,2	0,25	0,11	0,1	0,039	0,024
0,869	0,49	0,26	0,86	0,5	0,46	0,54	0,28	0,24	0,13	0,064
0,953	0,97	0,65	1,45	0,97	0,89	0,97	0,58	0,47	0,33	0,13
1,047	1,67	1,3	2,26	1,68	1,49	1,59	1,04	0,79	0,65	0,24
1,149	2,63	2,25	3,31	2,63	2,31	2,41	1,67	1,24	1,11	0,4
1,261	3,87	3,55	4,62	3,86	3,36	3,45	2,49	1,8	1,74	0,6
1,385	5,38	5,19	6,18	5,36	4,62	4,7	3,5	2,49	2,53	0,86
1,52	7,15	7,18	7,96	7,12	6,09	6,13	4,67	3,28	3,48	1,18
1,669	9,13	9,44	9,94	9,08	7,71	7,71	5,98	4,16	4,56	1,55
1,832	11,3	11,9	12,1	11,2	9,46	9,39	7,38	5,1	5,76	1,98
2,01	13,5	14,5	14,3	13,4	11,3	11,1	8,85	6,09	7,05	2,45
2,207	15,9	17,2	16,7	15,7	13,2	12,9	10,3	7,08	8,4	2,97
2,423	18,3	19,9	19,2	18,1	15,1	14,7	11,9	8,09	9,8	3,53
2,66	20,8	22,6	21,7	20,6	17	16,6	13,4	9,11	11,2	4,14
2,92	23,3	25,2	24,3	23,1	19,1	18,4	15	10,2	12,7	4,79
3,206	26	28	27,1	25,7	21,2	20,4	16,6	11,2	14,3	5,49
3,519	28,8	30,7	30	28,4	23,4	22,4	18,3	12,4	15,9	6,24
3,862	31,8	33,6	33	31,3	25,7	24,5	20,1	13,5	17,6	7,05
4,241	34,9	36,6	36,1	34,3	28,2	26,7	22	14,8	19,3	7,91
4,656	38,1	39,7	39,3	37,4	30,7	29	24	16,1	21,1	8,84
5,111	41,5	42,8	42,6	40,6	33,3	31,4	26	17,4	23	9,82
5,611	44,8	46	45,9	43,8	35,9	33,8	28	18,7	24,9	10,9
6,158	48,2	49,3	49,2	47	38,6	36,2	30	20	26,8	12
6,761	51,5	52,4	52,3	50,1	41,1	38,4	32	21,3	28,8	13,2
7,421	54,6	55,3	55,4	53	43,5	40,6	33,8	22,5	30,7	14,4
8,147	57,5	58,1	58,2	55,7	45,8	42,6	35,5	23,7	32,6	15,7
8,944	60,1	60,6	60,9	58,2	47,9	44,4	37,1	24,7	34,5	17,1
9,819	62,5	62,8	63,3	60,4	49,7	46	38,4	25,7	36,4	18,6
10,78	64,6	64,7	65,4	62,4	51,4	47,5	39,7	26,6	38,2	20,2
11,83	66,4	66,3	67,3	64,1	52,9	48,8	40,7	27,4	40	21,9
12,99	68	67,9	69	65,7	54,2	50	41,8	28,2	41,8	23,7
14,26	69,6	69,5	70,7	67,3	55,6	51,2	42,8	29	43,6	25,7
15,65	71,2	71,3	72,4	69	57,1	52,6	44	29,8	45,4	27,9
17,18	73	73,2	74,2	70,8	58,8	54,1	45,3	30,8	47,3	30,2
18,86	74,9	75,3	76,2	72,8	60,6	55,7	46,7	31,8	49,3	32,8
20,7	76,9	77,2	78,2	74,8	62,4	57,3	48,1	32,8	51,2	35,6
22,73	78,8	78,9	80,2	76,7	64,2	58,9	49,4	33,8	53	38,5
24,95	80,5	80,5	82,1	78,4	65,8	60,3	50,6	34,7	54,8	41,6
27,38	82,1	81,9	83,9	80	67,4	61,6	51,7	35,5	56,4	44,9
30,07	83,6	83,2	85,4	81,5	68,9	62,9	52,8	36,4	57,9	48,3
33	85	84,5	86,9	82,9	70,4	64,1	53,8	37,2	59,4	51,7
36,24	86,3	85,8	88,2	84,2	71,8	65,3	54,9	38,1	60,8	55,2

Prøve nr. → Diameter(µm) ↓	97	98	99	100	101	102	103	104	105	106
39,77	87,5	87,1	89,4	85,5	73,3	66,5	55,9	39	62,1	58,7
43,66	88,7	88,2	90,6	86,6	74,7	67,7	57	39,8	63,4	62,1
47,93	89,8	89,3	91,7	87,8	76,2	68,9	58,1	40,7	64,8	65,6
52,63	90,9	90,4	92,9	88,9	77,7	70,2	59,1	41,6	66,2	69,1
57,77	92,1	91,4	94,1	90,1	79,3	71,5	60,3	42,6	67,8	72,6
63,41	93,3	92,5	95,4	91,3	80,9	72,9	61,5	43,7	69,5	76,2
69,62	94,4	93,5	96,5	92,5	82,5	74,2	62,7	44,8	71,3	79,6
76,43	95,3	94,4	97,4	93,5	83,9	75,5	63,9	45,9	73,1	82,7
83,9	95,9	95,1	98	94,2	85,2	76,6	65	47	74,8	85,5
92,09	96,2	95,5	98,5	94,8	86,2	77,5	66,1	48,1	76,3	87,8
101,1	96,4	95,9	98,8	95,2	87,1	78,4	67,1	49,2	77,8	89,9
111	96,5	96,2	99,1	95,6	88	79,3	68,3	50,4	79,2	91,7
121,8	96,7	96,6	99,4	96,1	89	80,3	69,7	51,8	80,7	93,4
133,7	97,1	97,3	99,7	96,8	90,2	81,5	71,3	53,4	82,3	95
146,8	97,7	98,1	99,9	97,6	91,4	82,9	72,9	55,1	84	96,5
161,2	98,4	98,9	100	98,4	92,7	84,2	74,6	56,7	85,5	97,7
176,8	99	99,5	100	99,1	93,8	85,3	76,1	58,1	86,9	98,6
194,2	99,5	99,8	100	99,6	94,6	86,2	77,3	59,2	88,1	99,1
213,2	99,8	100	100	99,9	95,3	86,9	78,4	60,1	89,1	99,4
234,1	99,9	100	100	100	95,7	87,4	79,2	60,9	90	99,5
256,8	100	100	100	100	96,2	87,9	80	61,5	90,7	99,5
282,1	100	100	100	100	96,6	88,4	80,8	62,1	91,5	99,6
309,6	100	100	100	100	97	88,9	81,6	62,7	92,2	99,6
339,8	100	100	100	100	97,4	89,6	82,5	63,2	93	99,7
373,1	100	100	100	100	97,9	90,4	83,3	63,7	93,7	99,7
409,6	100	100	100	100	98,3	91,2	84,3	64,2	94,4	99,8
449,7	100	100	100	100	98,8	92	85,3	64,9	95,2	99,9
493,6	100	100	100	100	99,2	92,8	86,5	65,8	96	99,9
541,9	100	100	100	100	99,6	93,6	88	67,1	96,7	99,9
594,9	100	100	100	100	99,8	94,6	89,7	68,9	97,6	100
653	100	100	100	100	100	95,7	91,7	71,1	98,3	100
716,9	100	100	100	100	100	97	94	73,8	99	100
786,9	100	100	100	100	100	98,3	96,3	76,7	99,5	100
863,9	100	100	100	100	100	99,3	98	79,8	99,8	100
948,2	100	100	100	100	100	99,9	99	82,9	100	100
1041	100	100	100	100	100	100	99,2	85,7	100	100
1143	100	100	100	100	100	100	99,2	88	100	100
1255	100	100	100	100	100	100	99,2	89,6	100	100
1377	100	100	100	100	100	100	99,2	90,3	100	100
1512	100	100	100	100	100	100	99,2	90,4	100	100
1660	100	100	100	100	100	100	99,2	90,4	100	100
1822	100	100	100	100	100	100	99,2	90,4	100	100
2000	100	100	100	100	100	100	99,2	90,4	100	100
4000							100	95,3		
8000								100		
16000										



7491 TRONDHEIM
Tlf.: 73 90 40 00
Telefaks: 73 92 16 20

Kornfordelingsanalyser: Coulter laser partikkelteller
GEOLOGISK MATERIALE
Analysekontrakt nr. 2010.0210

File name:	1A.\$02	2#.\$02	3.\$02	4.\$02	5.\$02	6.\$02	7.\$02	8.\$02	9#A.\$02	10.\$02	11.\$02	12#.\$02	13.\$02	14.\$02	15.\$02
Group ID:	2010.021	2010.021	2010.021	2010.021	2010.021	2010.021	2010.021	2010.021	2010.021	2010.021	2010.021	2010.021	2010.021	2010.021	2010.021
Sample ID:	R447BX0481 0-1cm	R457MC039(#3) 0-1cr	R457MC039(#3) 1-2cn	R457MC039(#3) 2-3cn	R457MC039(#3) 3-4cn	R457MC039(#3) 4-5cn	R457MC039(#3) 5-6cn	R457MC039(#3) 6-7cn	R457MC039(#3) 7-8cn	R457MC039(#3) 8-9cn	R457MC039(#3) 9-10c	R457MC039(#3) 10-11	R457MC039(#3) 11-12	R457MC039(#3) 12-13	R457MC039(#3) 13-14
Operator:	W.Koziel	W.Koziel	W.Koziel	W.Koziel	W.Koziel	W.Koziel	W.Koziel	W.Koziel	W.Koziel	W.Koziel	W.Koziel	W.Koziel	W.Koziel	W.Koziel	W.Koziel
Comment	0.84g, ultralyd	0.22g, ultralyd	0.22g, ultralyd	0.22g, ultralyd	0.22g, ultralyd	0.22g, ultralyd	0.22g, ultralyd	0.23g, ultralyd	0.24g, ultralyd	0.25g, ultralyd	0.25g, ultralyd	0.25g, ultralyd	0.26g, ultralyd	0.28g, ultralyd	0.29g, ultralyd
Comment															
STATISTISKE PARAMETERE															
From	0,375	0,375	0,375	0,375	0,375	0,375	0,375	0,375	0,375	0,375	0,375	0,375	0,375	0,375	0,375
To	16000	2000	2000	2000	2000	2000	2000	2000	8000	2000	2000	2000	2000	2000	2000
Volume	100	100	100	100	100	100	100	100	100	100	100	100	100	100	100
Mean:	1149	74,63	75,48	83,91	65,83	65,03	53,88	67,61	116,3	72,57	71,69	75,66	67,74	89,04	90,04
Median:	154,8	32,38	36,6	35,1	30,47	29,46	22,94	30,33	32,77	37,62	40,1	40,81	35,63	48,12	54,87
D(3,2):	24,78	7,674	7,962	7,993	7,435	7,435	6,955	7,621	7,811	8,034	8,267	8,335	7,984	8,775	9,396
Mean/Median Ratio:	7,422	2,305	2,062	2,391	2,161	2,208	2,349	2,229	3,549	1,929	1,788	1,854	1,901	1,85	1,641
Mode:	11314	80,08	80,08	80,08	72,95	72,95	72,95	72,95	72,95	80,08	80,08	80,08	80,08	80,08	80,08
95% Conf. Limits:	0	0	0	0	0	0	0	0	0	0	0	0	0	0	0
95% Conf. Limits:	6611	323,5	318	358,1	266,4	267,8	234,9	298,5	1044	288,6	284,4	310,9	279,2	364,6	333,4
S.D.:	2787	127	123,7	139,9	102,4	103,4	92,33	117,8	473,5	110,2	108,5	120	107,9	140,6	124,1
Variance:	7,77E+06	16119	15308	19564	10477	10699	8525	13874	2,24E+05	12144	11773	14404	11642	19770	15412
C.V.:	242,6	170,1	163,9	166,7	155,5	159,1	171,4	174,2	407,2	151,8	151,3	158,6	159,3	157,9	137,9
Skewness:	2,913	3,574	3,628	3,219	3,439	3,602	4,638	3,967	9,091	3,383	3,777	3,711	3,888	3,24	2,775
Kurtosis:	7,352	14,52	15,64	11,62	14,85	16,33	28,62	18,45	92,02	14,23	18,75	16,71	18,58	11,72	9,193
d10:	14,57	2,455	2,512	2,572	2,387	2,407	2,302	2,45	2,497	2,539	2,622	2,627	2,552	2,712	2,905
d50:	154,8	32,38	36,6	35,1	30,47	29,46	22,94	30,33	32,77	37,62	40,1	40,81	35,63	48,12	54,87
d90:	4427	157	161,8	193,4	151,1	147,2	120,9	143	146,6	163,5	156,8	159	143,9	189,1	213,2
Specific Surf. Area	2421	7819	7536	7506	8070	8070	8626	7873	7682	7468	7258	7198	7515	6837	6386
% <															
10	14,57	2,455	2,512	2,572	2,387	2,407	2,302	2,45	2,497	2,539	2,622	2,627	2,552	2,712	2,905
20	61,25	6,328	6,581	5,93	5,801	5,641	5,368	6,076	6,551	6,425	7,063	6,674	6,726	8,087	9,412
50	154,8	32,38	36,6	35,1	30,47	29,46	22,94	30,33	32,77	37,62	40,1	40,81	35,63	48,12	54,87
75	296	87,4	89,69	95,92	83,97	82,6	69,75	79,17	81,98	91,39	91,24	93,42	84,91	100,7	109,3
90	4427	157	161,8	193,4	151,1	147,2	120,9	143	146,6	163,5	156,8	159	143,9	189,1	213,2
INTERPOLASJON															
Particle diameter	Volume	Volume	Volume	Volume	Volume	Volume	Volume	Volume	Volume	Volume	Volume	Volume	Volume	Volume	Volume
µm	% <	% <	% <	% <	% <	% <	% <	% <	% <	% <	% <	% <	% <	% <	% <
2	1,81	7,33	7,07	6,43	7,53	7,33	7,94	7,24	7,21	6,85	6,74	6,45	6,99	6,53	6,02
5	5,1	20,8	20,3	21,6	22,1	22,6	23,5	21,3	20,2	20,5	19,2	20	19,8	18	16,7
10	8,09	32,5	31,4	33,9	34,4	35,2	37,1	33,3	31,8	31,8	30,1	30,9	31,2	27,6	25,7
15	10,2	37,9	36,1	38,3	39,2	40	42,7	38,4	37	36,3	34,8	35,2	36,2	31,9	29,9
20	12,2	42,3	40,2	42	43,4	44	47,5	42,8	41,4	40,2	38,8	39	40,4	35,7	33,5
50	22,3	57,9	56,3	56,1	59,1	59,6	65,1	60,3	58,9	55,6	54,5	54,1	57,1	50,9	47,8
60	24,7	62,5	61,2	60,5	63,8	64,3	70,1	65,5	64	60,3	59,5	59	62,2	55,9	52,5
63	25,4	64	62,7	61,8	65,3	65,8	71,6	67,1	65,6	61,8	61,1	60,5	63,9	57,4	54
70	26,9	67,4	66,3	65	68,7	69,3	75,1	70,7	69,3	65,3	64,8	64,2	67,7	61,2	57,7
75	28	69,8	68,7	67,2	71,1	71,6	77,4	73,1	71,8	67,8	67,5	66,7	70,3	63,8	60,4
90	31,3	76	75,1	73,1	77,2	77,8	83,2	79,2	78,2	74,4	74,5	73,6	77,1	70,9	67,7
125	40,7	85,2	84,7	82,2	86,2	86,8	90,6	87,5	87	84,5	84,9	84,4	86,9	81,6	79,3
200	62,3	93,2	92,7	90,4	93,8	93,8	96	94	93,6	92,7	93,5	93,2	94,6	90,7	89,1
250	70,8	94,5	94,2	92,5	95,4	95,5	97	95,3	94,7	94,8	95,3	94,8	95,9	92,6	91,8
400	79,3	95,8	95,5	95,3	97,3	97,4	98,3	96,8	95,9	97	97,5	96,7	97,2	95,1	95,8
500	81,5	97	97,5	96,5	98,5	98,4	98,9	97,6	96,7	98	98,3	97,6	98	96,3	97,5
1000	85,4	100	100	100	100	100	100	100	100	100	100	100	100	100	100
2000	86,5	100	100	100	100	100	100	100	100	100	100	100	100	100	100
4000	89,5									99,6					
8000	94,3									100					
16000	100									100					

File name:	16.\$02	17.\$02	18#.\$02	19.\$02	20#.\$02	21.\$02	22.\$02	23.\$02	24.\$02	25.\$02	26#.\$02	27.\$02	28.\$02	29.\$02	30.\$02	
Group ID:	2010.021	2010.021	2010.021	2010.021	2010.021	2010.021	2010.021	2010.021	2010.021	2010.021	25	2010.021	2010.021	2010.021	2010.021	2010.021
Sample ID:	R457MC039(#3) 14-15	R457MC039(#3) 16-17	R457MC039(#3) 18-19	R457MC039(#3) 20-21	R457MC039(#3) 22-23	R457MC039(#3) 24-25	R457MC039(#3) 26-27	R457MC039(#3) 28-29	Standard Hynne	Standard KDF	R474MC040(#3) 0-1cn	R474MC040(#3) 1-2cn	R474MC040(#3) 2-3cn	R474MC040(#3) 3-4cn	R474MC040(#3) 4-5cn	
Operator:	W.Koziel	W.Koziel	Wieslawa Koziel	W.Koziel	W.Koziel	W.Koziel	W.Koziel	W.Koziel								
Comment	0.37g, ultralyd	0.39g, ultralyd	0.43g, ultralyd	0.42g, ultralyd	0.42g, ultralyd	0.40g, ultralyd	0.40g, ultralyd	0.39g, ultralyd	0.24g, ultralyd	0.22g, ultralyd	0.24g, ultralyd	0.22g, ultralyd	0.23g, ultralyd	0.21g, ultralyd	0.22g, ultralyd	
Comment																
STATISTISKE PARAMETERE																
From	0,375	0,375	0,375	0,375	0,375	0,375	0,375	0,375	0,375	0,375	0,375	0,375	0,375	0,375	0,375	
To	2000	2000	2000	2000	2000	2000	2000	2000	2000	2000	2000	2000	2000	2000	2000	
Volume	100	100	100	100	100	100	100	100	100	100	100	100	100	100	100	
Mean:	111,7	122,7	106,2	121,1	126,3	161,8	132,2	146,7	89,79	43,2	109,9	68,47	72,16	73,88	72,39	
Median:	62,2	68,25	71,65	79,77	82,22	82,77	78,54	80,42	18,61	30,97	52,22	37,72	41,31	40,33	35,22	
D(3,2):	10,35	11,27	12,3	14,54	14,78	14,4	13,55	13,38	7,242	12,33	11,32	8,267	8,42	8,339	7,831	
Mean/Median Ratio:	1,795	1,798	1,483	1,518	1,537	1,955	1,683	1,824	4,825	1,395	2,104	1,815	1,747	1,832	2,056	
Mode:	80,08	80,08	87,9	87,9	87,9	87,9	87,9	87,9	18	55,14	72,95	80,08	80,08	80,08	80,08	
95% Conf. Limits:	0	0	0	0	0	0	0	0	0	0	0	0	0	0	0	
95% Conf. Limits:	461,8	506	395,8	432,5	446,2	625,4	496,2	573,9	428,4	122,1	472,1	264,4	276,2	286	287,6	
S.D.:	178,6	195,6	147,7	158,9	163,2	236,5	185,7	217,9	172,8	40,27	184,8	99,98	104,1	108,2	109,8	
Variance:	31907	38253	21829	25247	26636	55952	34485	47501	29852	1622	34155	9997	10833	11709	12056	
C.V.:	159,9	159,4	139,1	131,2	129,2	146,2	140,5	148,5	192,4	93,22	168,2	146	144,2	146,5	151,7	
Skewness:	3,376	3,337	3,671	3,343	3,18	2,691	3,003	3,016	2,779	1,517	3,474	3,672	3,47	3,449	3,458	
Kurtosis:	13,04	12,46	17,75	14,46	13,05	7,456	10,38	9,955	7,24	2,224	13,8	18,01	15,98	15,79	15,53	
d10:	3,251	3,542	4,041	5,118	5,165	4,926	4,542	4,372	2,481	4,955	3,783	2,599	2,63	2,611	2,467	
d50:	62,2	68,25	71,65	79,77	82,22	82,77	78,54	80,42	18,61	30,97	52,22	37,72	41,31	40,33	35,22	
d90:	243,5	272,9	214,7	265,2	284,6	441,3	317,4	363,2	264,1	99,72	246,9	154,1	160,8	169,4	168,5	
Specific Surf. Area	5798	5323	4879	4126	4061	4166	4428	4483	8285	4868	5301	7258	7126	7195	7662	
% <																
10	3,251	3,542	4,041	5,118	5,165	4,926	4,542	4,372	2,481	4,955	3,783	2,599	2,63	2,611	2,467	
20	13,3	17,13	22,35	33,11	35,59	31,58	27,13	27,8	5,772	13,44	14,48	7,15	7,286	6,753	6,116	
50	62,2	68,25	71,65	79,77	82,22	82,77	78,54	80,42	18,61	30,97	52,22	37,72	41,31	40,33	35,22	
75	116,5	122,7	119	133,9	140	158	138,8	146,7	75,54	60,16	111,7	91,53	94,58	96,9	95,37	
90	243,5	272,9	214,7	265,2	284,6	441,3	317,4	363,2	264,1	99,72	246,9	154,1	160,8	169,4	168,5	
INTERPOLASJON																
Particle diameter	Volume	Volume	Volume	Volume	Volume	Volume	Volume	Volume								
µm	% <	% <	% <	% <	% <	% <	% <	% <	% <	% <	% <	% <	% <	% <	% <	
2	5,51	5,01	4,49	3,66	3,64	3,77	4,01	4,14	7,01	2,7	4,42	6,75	6,63	6,51	7,07	
5	14,6	13,4	11,9	9,82	9,75	10,1	10,8	11,1	22	10,1	12,9	19,3	19,1	19,9	21,4	
10	22,4	20,4	18,1	14,9	14,6	15,3	16,4	16,7	36,8	19,5	20,8	29,8	29,3	30,6	32,6	
15	26,2	23,7	21,2	17,4	17	17,9	19,3	19,4	45,3	27,4	25,4	34,7	33,8	34,9	37,1	
20	29,6	26,7	23,8	19,7	19,2	20,3	21,8	21,8	51,6	35,1	29,6	39	37,8	38,7	41,2	
50	43,8	40	37,1	31,9	30,7	32	33,9	33,4	67,5	67,9	48,7	55,9	54,2	54,5	56,6	
60	48,8	45,2	42,5	37,2	35,9	36,9	38,9	38,2	70,7	74,9	54,4	60,8	59,3	59,2	61	
63	50,4	46,9	44,3	39	37,6	38,5	40,5	39,8	71,6	76,8	56,1	62,3	60,9	60,7	62,3	
70	54,4	51	48,9	43,5	42	44,7	43,8	44,7	73,6	80,6	59,8	65,7	64,5	64,1	65,4	
75	57,2	54	52,2	46,9	45,3	45,5	47,8	46,8	74,9	82,9	62,2	68,1	66,9	66,4	67,6	
90	65	62,4	61,7	56,4	54,8	53,9	56,7	55,4	77,9	87,8	68,5	74,4	73,3	72,6	73,2	
125	77,3	75,6	72,3	67,8	70,7	67,8	71,3	69,7	82,7	94	78,1	84,7	83,7	82,7	82,8	
200	87,8	86,5	89	85,6	84,4	80	83,9	82	88,4	99,7	87,7	94,4	93,5	92,8	92,9	
250	90,2	89,2	91,7	89,2	88,2	83,5	87,2	85,6	89,8	100	90,1	96,4	95,5	95,2	95,2	
400	93,5	92,8	95	94,2	93,7	89	92,3	90,9	91,8	100	93,3	97,7	97,5	97,4	97,3	
500	95,1	94,3	96,6	96,1	95,7	91,3	94,4	93,1	93,8	100	94,9	98,4	98,4	98,3	98,2	
1000	99,2	98,7	99,5	99,4	99,4	97,7	99,2	98	100	100	99	100	100	100	100	
2000	100	100	100	100	100	100	100	100	100	100	100	100	100	100	100	
4000																
8000																
16000																

File name:	52.\$02	53.\$02	54.\$02	55.\$02	56.\$02	57.\$02	58.\$02	59.\$02	60#.\$02	61.\$02	62.\$02	63.\$02	64.\$02	65.\$02	66#.\$02	67.\$02	68.\$02	69.\$02	70.\$02	71#.\$02	72.\$02	73.\$02	74.\$02	75A.\$02	76.\$02	77.\$02		
Group ID:	2010.021	2010.021	2010.021	2010.021	2010.021	2010.021	2010.021	2010.021	2010.021	2010.021	2010.021	2010.021	2010.021	2010.021	2010.021	2010.021	2010.021	2010.021	2010.021	2010.021	2010.021	2010.021	2010.021	2010.021	2010.021	2010.021		
Sample ID:	R479MC042																											
Operator:	W.Koziel																											
Comment	0.14g, ultralyk 0.14g, ultralyk 0.14g, ultralyk 0.14g, ultralyk 0.15g, ultralyk 0.15g, ultralyk 0.17g, ultralyk 0.17g, ultralyk 0.17g, ultralyk 0.17g, ultralyk 0.20g, ultralyk 0.24g, ultralyk 0.31g, ultralyk 0.36g, ultralyk 0.63g, ultralyk 0.34g, ultralyk 0.42g, ultralyk 0.65g, ultralyk 0.22g, ultralyk 0.20g, ultralyk 0.19g, ultralyk 0.26g, ultralyk 0.22g, ultralyk 0.18g, ultralyk																											
Comment																												
STATISTISKE PARAMETERE																												
From	0.375	0.375	0.375	0.375	0.375	0.375	0.375	0.375	0.375	0.375	0.375	0.375	0.375	0.375	0.375	0.375	0.375	0.375	0.375	0.375	0.375	0.375	0.375	0.375	0.375	0.375	0.375	0.375
To	2000	2000	2000	2000	2000	2000	2000	2000	2000	2000	2000	2000	2000	2000	2000	2000	2000	2000	2000	2000	2000	2000	2000	2000	2000	2000	2000	2000
Volume	100	100	100	100	100	100	100	100	100	100	100	100	100	100	100	100	100	100	100	100	100	100	100	100	100	100	100	100
Mean:	21.41	29.35	43.24	40.76	38.78	28.57	29.04	30.61	33.68	36.39	36.81	45.08	50.36	55.31	80.62	67.65	73.88	113.5	232.7	125.5	56.4	60.34	54.7	231.8	40.12	35.74		
Median:	7.027	7.964	8.483	7.988	8.22	7.35	7.313	7.543	8.521	10.48	11.92	32.23	46.77	51.8	79.56	58.34	71.27	97.89	144.2	49.88	19.46	31.88	46.45	26.11	12.83	11.38		
D(3,2):	4.882	5.289	5.477	5.194	5.312	4.855	4.894	4.978	5.167	5.55	5.535	6.965	8.42	11.33	18.18	9.863	13.26	16.17	21.99	7.818	6.276	6.909	8.667	6.886	5.478	5.268		
Mean/Median Ratio:	3.047	3.686	5.098	5.103	4.718	3.888	3.971	4.058	3.953	3.472	3.087	1.399	1.077	1.068	1.013	1.16	1.037	1.159	1.614	2.515	2.898	1.893	1.178	8.88	3.128	3.142		
Mode:	5.878	5.878	5.878	5.878	5.878	5.878	5.878	5.878	5.878	72.95	66.44	72.95	72.95	72.95	96.49	80.08	87.9	127.6	140.1	153.8	105.9	87.9	105.9	2828	5.355	5.355		
95% Conf. Limits:	0	0	0	0	0	0	0	0	0	0	0	0	0	0	0	0	0	0	0	0	0	0	0	0	0	0	0	
95% Conf. Limits:	84.1	111.4	200.2	201.2	187.7	121.1	117.9	124.7	148.3	135.7	142.6	134.2	135.6	139.4	172.7	209.8	176	354.8	779	489.7	221.6	210.8	148.3	1530	157.7	149.2		
S.D.:	31.98	41.89	80.06	81.88	76	47.22	45.33	48.02	58.48	50.68	53.97	45.46	43.48	42.88	46.98	72.51	52.12	123.1	278.7	185.8	84.26	76.79	47.76	66.62	59.98	57.9		
Variance:	1023	1754	6410	6704	5776	2230	2055	2306	3420	2568	2913	2066	1891	1839	2207	5258	2716	15153	77682	34532	7100	5896	2281	4,39E+05	3598	3352		
C.V.:	149.4	142.7	185.1	200.9	196	165.2	156.1	156.9	173.6	139.3	146.6	100.8	86.34	77.52	58.27	107.2	70.54	108.5	119.8	148.1	149.4	127.3	87.32	285.8	149.5	162		
Skewness:	2.384	1.907	3.367	3.731	3.928	2.746	2.522	2.529	3.858	2.32	3.426	1.175	0.837	0.809	0.249	3.294	0.477	4.486	2.631	2.284	3.256	2.498	0.577	5.571	2.297	2.786		
Kurtosis:	5.689	3.012	13.83	16.6	18.85	8.338	7.327	7.25	20.08	6.816	19.15	1.21	0.364	0.517	-0.291	18.78	-0.28	31.22	8.295	5.162	14.77	9.642	-0.78	35.95	5.293	8.424		
d10:	1.976	2.048	2.089	1.993	2.025	1.876	1.891	1.908	1.92	1.987	1.941	2.216	2.608	3.918	10.63	3.103	4.677	6.282	12.84	2.478	2.109	2.212	2.722	2.156	1.904	1.865		
d50:	7.027	7.964	8.483	7.988	8.22	7.35	7.313	7.543	8.521	10.48	11.92	32.23	46.77	51.8	79.56	58.34	71.27	97.89	144.2	49.88	19.46	31.88	46.45	26.11	12.83	11.38		
d90:	66.27	92.94	131.4	120.4	104.6	83.25	86.75	90.14	88.71	98.18	94.07	106.1	108.7	112.3	143.1	137.8	144.9	199.4	540.9	340.7	144.5	148.7	124.7	536.1	119.8	100.3		
Specific Surf. Area	12291	11344	10955	11551	11294	12359	12259	12053	11612	10811	10839	8615	7126	5295	3300	6083	4526	3710	2728	7675	9561	8684	6923	8713	10953	11390		
% <																												
10	1.976	2.048	2.089	1.993	2.025	1.876	1.891	1.908	1.92	1.987	1.941	2.216	2.608	3.918	10.63	3.103	4.677	6.282	12.84	2.478	2.109	2.212	2.722	2.156	1.904	1.865		
20	3.74	3.96	4.147	3.936	4.013	3.631	3.592	3.632	4.098	4.077	5.47	7.887	17.72	48.8	11.45	30.18	45.04	76.36	5.907	4.55	5.11	7.814	5.265	3.947	3.81			
50	7.027	7.964	8.483	7.988	8.22	7.35	7.313	7.543	8.521	10.48	11.92	32.23	46.77	51.8	79.56	58.34	71.27	97.89	144.2	49.88	19.46	31.88	46.45	26.11	12.83	11.38		
75	23.38	37.18	45.22	34.61	38.96	29.97	36.19	39.01	44.08	57.07	56.9	72.65	77.46	81.14	111.3	96.06	108.2	145.3	271	162.5	84.13	91.67	91.72	155	51.31	40.38		
90	66.27	92.94	131.4	120.4	104.6	83.25	86.75	90.14	88.71	98.18	94.07	106.1	108.7	112.3	143.1	137.8	144.9	199.4	540.9	340.7	144.5	148.7	124.7	536.1	119.8	100.3		
INTERPOLASJON																												
Particle diameter	Volume	Volume	Volume	Volume	Volume	Volume	Volume	Volume	Volume	Volume	Volume	Volume	Volume	Volume	Volume	Volume	Volume	Volume	Volume	Volume	Volume	Volume	Volume	Volume	Volume	Volume	Volume	
% <	% <	% <	% <	% <	% <	% <	% <	% <	% <	% <	% <	% <	% <	% <	% <	% <	% <	% <	% <	% <	% <	% <	% <	% <	% <	% <	% <	
µm																												
2	10.2	9.58	9.29	10.1	9.78	11.3	11.2	11	10.8	10.1	10.6	8.52	6.88	4.54	2.77	5.72	4.07	3.23	2.25	7.28	9.14	8.47	6.39	8.84	11	11.4		
5	35.6	32.8	31.1	32.9	32.2	35.6	36	35.4	33.1	30.5	30.3	23.2	18.6	12.3	6.7	15.6	10.5	8.51	5.77	21.5	27.3	24.5	18.4	24.1	30.4	31.4		
10	62.2	56.4	54.4	56.4	55.2	58.9	58.7	57.5	53.8	49.2	47.3	35.4	27.7	19	9.74	23.8	15.8	12.9	8.87	34	42.1	36.7	28.1	36	45.5	47.4		
15	68.3	62.2	60.1	62.5	60.8	64.5	63.8	62.7	59.7	54.6	52.9	39.9	31.5	23	11.5	27.2	18.5	15.2	10.8	37.6	46.5	40.7	32.4	41.7	52.8	55.5		
20	72.2	66.3	64.2	66.9	65.1	68.8	67.6	66.5	64.2	58.8	57.4	43.6	34.6	26.6	13	29.9	20.8	17.2	12.4	40.7	50.4	44.2	36.2	46.2	58.6	61.8		
50	85.6	78.3	76.1	78.8	78.3	81.2	79	78.4	76.9	71.9	71.6	59.1	52.4	48.5	25.8	44.5	34.7	26.7	19	50	62.6	57.2	51.8	57.8	74.5	78.6		
60	88.3	81.1	78.6	81.1	81.2	84	82.2	81.8	80.7	76.4	76.6	66	60.7	57.3	33	51.2	41.5	30.5	21.1	52.4	66.2	61.5	57.2	60.3	78.1	82		
63	89.2	82	79.4	81.8	82.1	84.9	83.3	82.8	81.9	77.8	78.2	68.2	63.3	60	35.4	53.4	43.7	31.8	21.7	53.1	67.3	62.9	58.9	61.1	79.1	82.9		
70	90.9	84.1	81.2	83.4	84.1	86.9	85.6	85.1	84.6	81	81.7	73.2	69.3	66.3	41.4	58.5	49	35	23.4	54.9	69.9	66	62.9	62.8	81.3	84.9		
75	92	85.6	82.3	84.5	85.3	88.2	87.1	86.6	86.4	83.2	83.9	76.6	73.2	70.4	45.9	62.1	52.9	37.4	24.7	56.1	71.8	68.3	65.8	63.9	82.7	86.2		
90	94.4	89.4	85	86.9	88.2	91.1	90.7	90	90.3																			

File name: 104A.\$02 105.\$02 106.\$02

Group ID: 2010.021 2010.021 106

Sample ID: R488MC044(Standard Hy Standard KDF)

Operator: W.Koziel W.Koziel W.Koziel

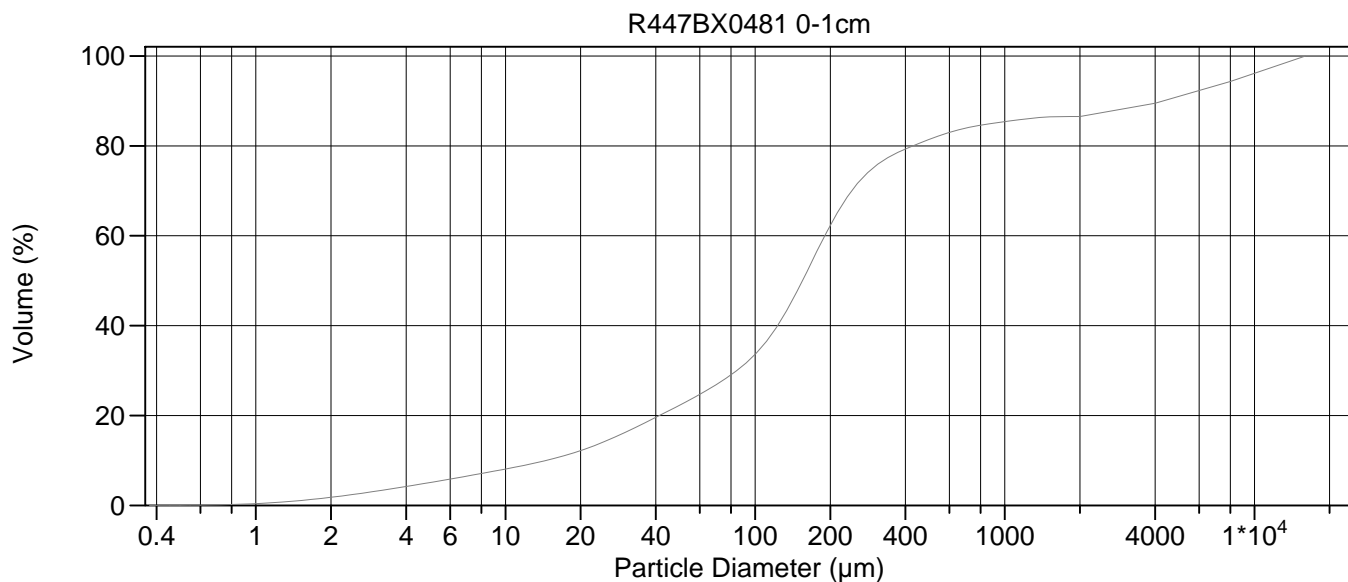
Comment: 0.30g, ultralyk 0.24g, ultralyk 0.22g, ultralyd

STATISTISKE PARAMETERE

From	0,375	0,375	0,375
To	8000	2000	2000
Volume	100	100	100
Mean:	658,7	82,75	45,17
Median:	107,7	19,54	31,54
D(3,2):	9,787	7,308	12,83
Mean/Median Ratio:	6,114	4,234	1,432
Mode:	2828	6,452	55,14
95% Conf. Limits:	0	0	0
95% Conf. Limits:	3190	372,6	138,2
S.D.:	1291	147,9	47,47
Variance:	1,67E+06	21863	2253
C.V.:	196	178,7	105,1
Skewness:	2,92	2,859	3,369
Kurtosis:	8,081	8,533	23,31
d10:	2,881	2,456	5,195
d50:	107,7	19,54	31,54
d90:	1330	235	101,7
Specific Surf. Area	6131	8210	4675
% <			
10	2,881	2,456	5,195
20	9,176	5,641	13,82
50	107,7	19,54	31,54
75	746	85,08	61,52
90	1330	235	101,7

INTERPOLASJON

Particle diameter µm	Volume	Volume	Volume
	% <	% <	% <
2	6,03	6,98	2,43
5	17,1	22,5	9,58
10	25,9	36,7	18,9
15	29,4	44,6	26,8
20	32,4	50,5	34,5
50	41,1	65,4	67,1
60	43,1	68,5	74
63	43,6	69,4	75,9
70	44,9	71,4	79,8
75	45,7	72,7	82,1
90	47,8	75,9	87,2
125	52,3	81,2	93,9
200	59,5	88,4	99,2
250	61,3	90,5	99,5
400	64,1	94,2	99,8
500	66	96,1	99,9
1000	84,4	100	100
2000	90,4	100	100
4000	95,3		
8000	100		
16000	100		



Volume Statistics (Arithmetic)

1a.\$02

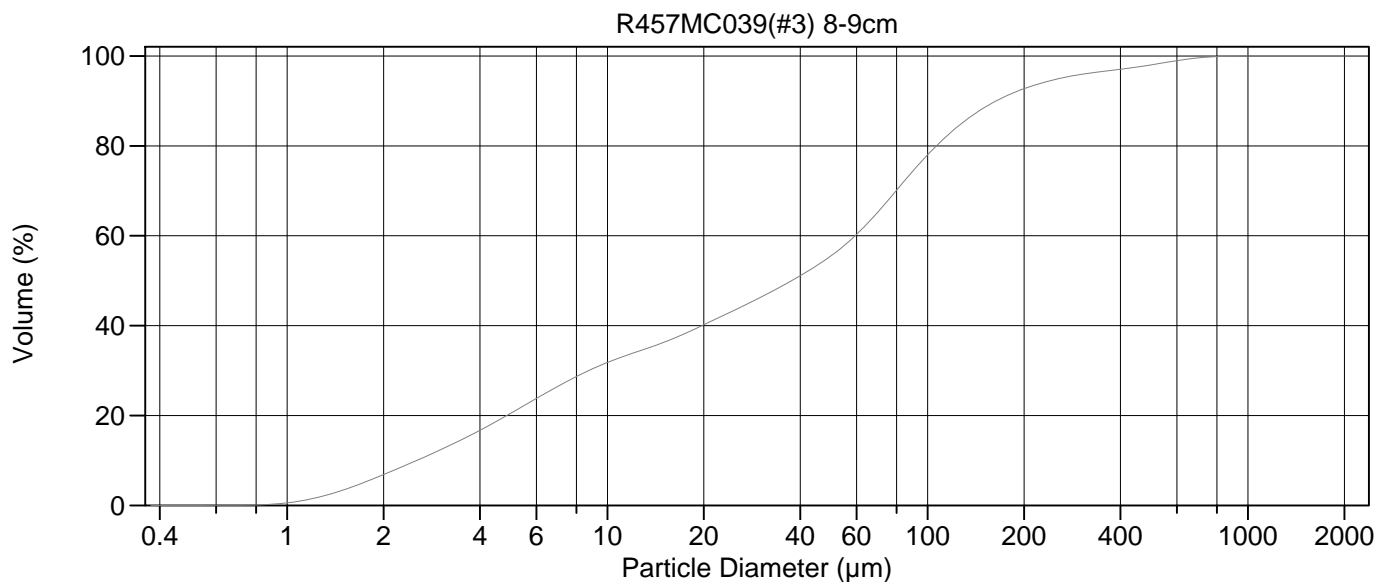
Calculations from 0.375 μm to 16000 μm

Volume	100.0%		
Mean:	1149 μm	95% Conf. Limits:	0-6611 μm
Median:	154.8 μm	S.D.:	2787 μm
D(3,2):	24.78 μm	Variance:	7767242 μm^2
Mean/Median Ratio:	7.422	C.V.:	243%
Mode:	11314 μm	Skewness:	2.913 Right skewed
d ₁₀ :	14.57 μm	Kurtosis:	7.352 Leptokurtic
d ₅₀ :	154.8 μm		
d ₉₀ :	4427 μm		
Specific Surf. Area	2421 cm^2/ml		

% <	10	25	50	75	90
Size μm	14.57	61.25	154.8	296.0	4427

1a.\$02

Particle Diameter μm	Volume % <	Particle Diameter μm	Volume % <
2.000	1.81	1000	85.4
5.000	5.10	2000	86.5
10.00	8.09	4000	89.5
15.00	10.2	8000	94.3
20.00	12.2	16000	100
50.00	22.3		
60.00	24.7		
63.00	25.4		
70.00	26.9		
75.00	28.0		
90.00	31.3		
125.0	40.7		
200.0	62.3		
250.0	70.8		
400.0	79.3		
500.0	81.5		



Volume Statistics (Arithmetic) 10.\$02

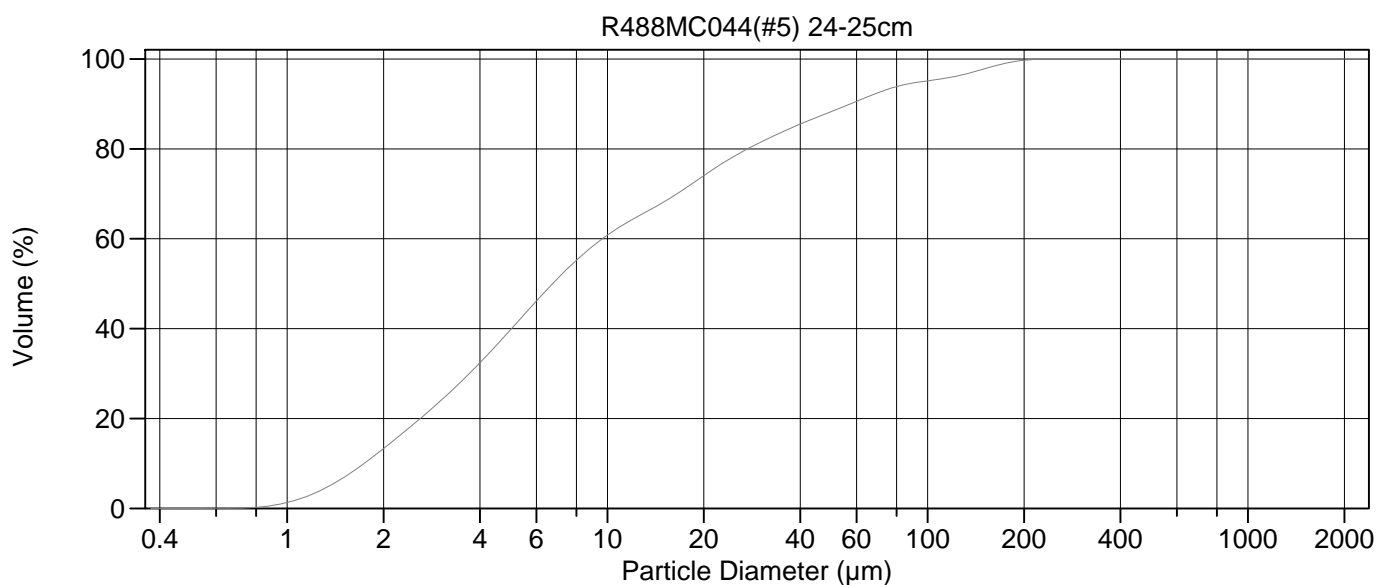
Calculations from 0.375 µm to 2000 µm

Volume	100.0%		
Mean:	72.57 µm	95% Conf. Limits:	0-288.6 µm
Median:	37.62 µm	S.D.:	110.2 µm
D(3,2):	8.034 µm	Variance:	12144 µm ²
Mean/Median Ratio:	1.929	C.V.:	152%
Mode:	80.08 µm	Skewness:	3.383 Right skewed
d ₁₀ :	2.539 µm	Kurtosis:	14.23 Leptokurtic
d ₅₀ :	37.62 µm		
d ₉₀ :	163.5 µm		
Specific Surf. Area	7468 cm ² /ml		

% <	10	25	50	75	90
Size µm	2.539	6.425	37.62	91.39	163.5

10.\$02

Particle Diameter µm	Volume % <	Particle Diameter µm	Volume % <
2.000	6.85	1000	100.0
5.000	20.5	2000	100
10.00	31.8		
15.00	36.3		
20.00	40.2		
50.00	55.6		
60.00	60.3		
63.00	61.8		
70.00	65.3		
75.00	67.8		
90.00	74.4		
125.0	84.5		
200.0	92.7		
250.0	94.8		
400.0	97.0		
500.0	98.0		



Volume Statistics (Arithmetic) 100.\$02

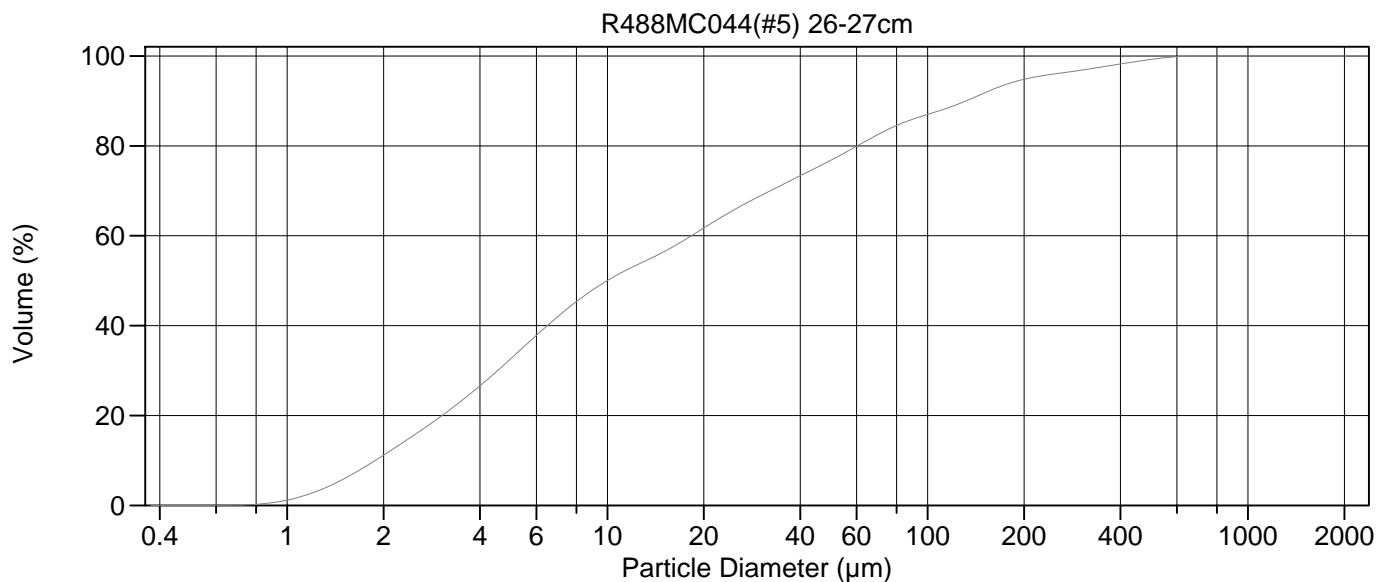
Calculations from 0.375 µm to 2000 µm

Volume	100.0%		
Mean:	20.82 µm	95% Conf. Limits:	0-88.85 µm
Median:	6.741 µm	S.D.:	34.71 µm
D(3,2):	4.392 µm	Variance:	1205 µm ²
Mean/Median Ratio:	3.089	C.V.:	167%
Mode:	5.355 µm	Skewness:	2.990 Right skewed
d ₁₀ :	1.740 µm	Kurtosis:	9.507 Leptokurtic
d ₅₀ :	6.741 µm		
d ₉₀ :	57.38 µm		
Specific Surf. Area	13660 cm ² /ml		

% <	10	25	50	75	90
Size µm	1.740	3.130	6.741	20.92	57.38

100.\$02

Particle Diameter µm	Volume % <	Particle Diameter µm	Volume % <
2.000	13.3	1000	100
5.000	39.8	2000	100
10.00	60.8		
15.00	68.2		
20.00	74.0		
50.00	88.3		
60.00	90.6		
63.00	91.2		
70.00	92.5		
75.00	93.3		
90.00	94.7		
125.0	96.3		
200.0	99.7		
250.0	100.0		
400.0	100		
500.0	100		



Volume Statistics (Arithmetic) 101.\$02

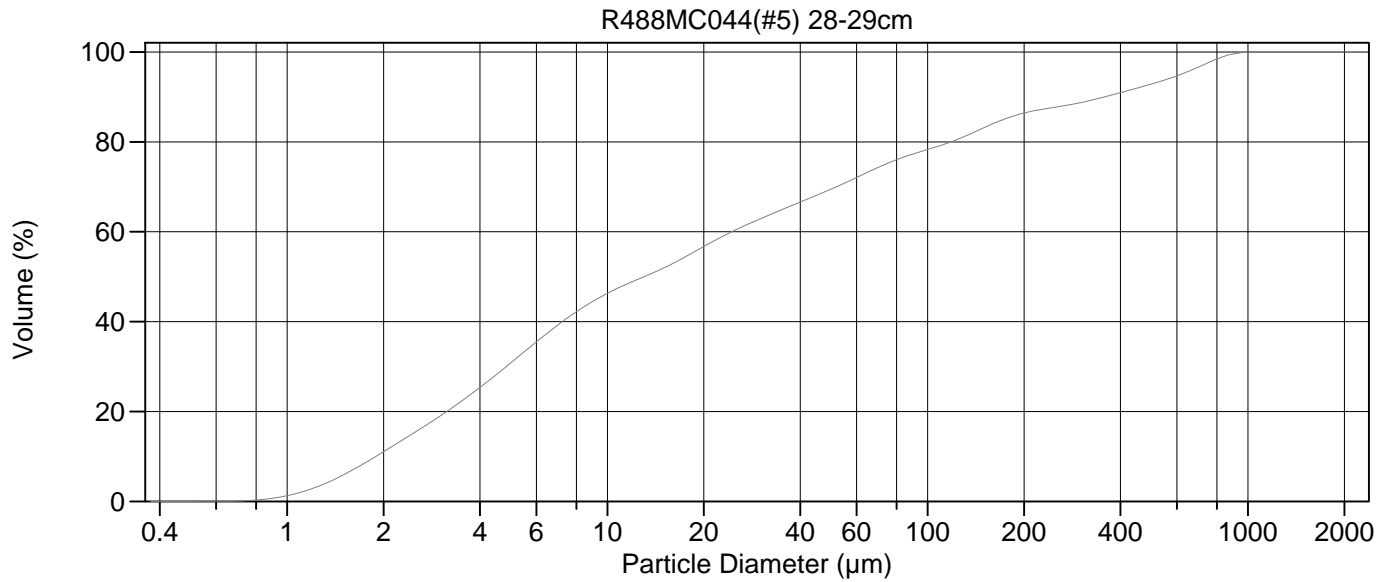
Calculations from 0.375 µm to 2000 µm

Volume	100.0%		
Mean:	45.45 µm	95% Conf. Limits:	0-216.7 µm
Median:	9.973 µm	S.D.:	87.36 µm
D(3,2):	5.228 µm	Variance:	7631 µm ²
Mean/Median Ratio:	4.557	C.V.:	192%
Mode:	5.355 µm	Skewness:	3.505 Right skewed
d ₁₀ :	1.885 µm	Kurtosis:	14.18 Leptokurtic
d ₅₀ :	9.973 µm		
d ₉₀ :	131.8 µm		
Specific Surf. Area	11476 cm ² /ml		

% <	10	25	50	75	90
Size µm	1.885	3.755	9.973	44.47	131.8

101.\$02

Particle Diameter µm	Volume % <	Particle Diameter µm	Volume % <
2.000	11.2	1000	100
5.000	32.7	2000	100
10.00	50.0		
15.00	56.4		
20.00	61.7		
50.00	76.8		
60.00	79.9		
63.00	80.8		
70.00	82.6		
75.00	83.6		
90.00	85.9		
125.0	89.3		
200.0	94.8		
250.0	96.0		
400.0	98.2		
500.0	99.3		



Volume Statistics (Arithmetic) 102.\$02

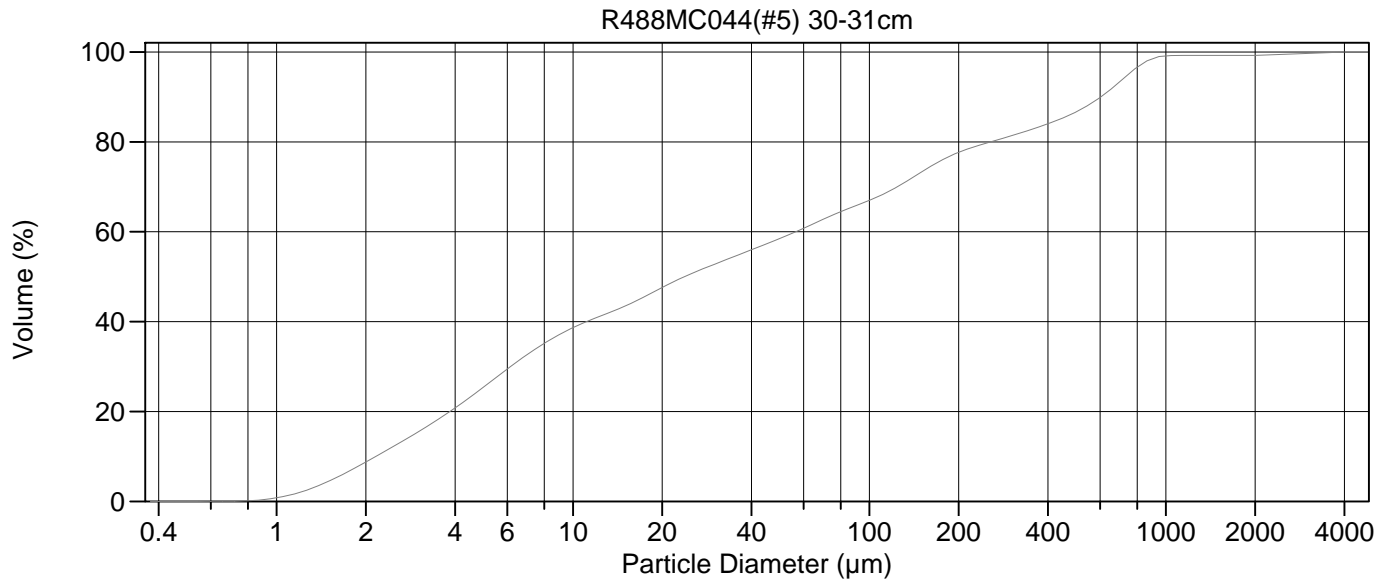
Calculations from 0.375 µm to 2000 µm

Volume	100.0%		
Mean:	97.08 µm	95% Conf. Limits:	0-472.2 µm
Median:	13.02 µm	S.D.:	191.4 µm
D(3,2):	5.510 µm	Variance:	36625 µm ²
Mean/Median Ratio:	7.456	C.V.:	197%
Mode:	5.355 µm	Skewness:	2.593 Right skewed
d ₁₀ :	1.894 µm	Kurtosis:	6.022 Leptokurtic
d ₅₀ :	13.02 µm		
d ₉₀ :	356.4 µm		
Specific Surf. Area	10890 cm ² /ml		

% <	10	25	50	75	90
Size µm	1.894	3.942	13.02	73.68	356.4

102.\$02

Particle Diameter µm	Volume % <	Particle Diameter µm	Volume % <
2.000	11.0	1000	99.9
5.000	30.8	2000	100
10.00	46.3		
15.00	51.9		
20.00	56.7		
50.00	69.5		
60.00	72.1		
63.00	72.8		
70.00	74.3		
75.00	75.2		
90.00	77.3		
125.0	80.7		
200.0	86.4		
250.0	87.7		
400.0	91.0		
500.0	92.9		



Volume Statistics (Arithmetic) 103a.\$02

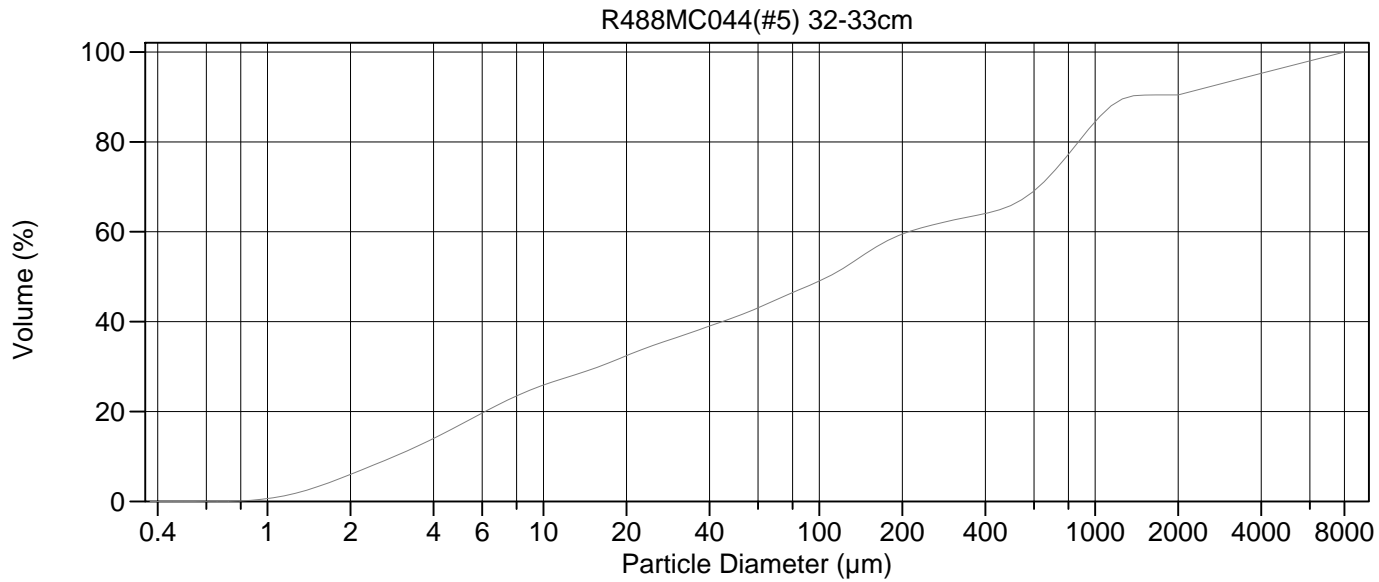
Calculations from 0.375 µm to 4000 µm

Volume	100.0%			
Mean:	167.1 µm	95% Conf. Limits:	0-815.1 µm	
Median:	23.80 µm	S.D.:	330.6 µm	
D(3,2):	6.735 µm	Variance:	109325 µm ²	
Mean/Median Ratio:	7.020	C.V.:	198%	
Mode:	751.1 µm	Skewness:	4.517 Right skewed	
d ₁₀ :	2.162 µm	Kurtosis:	30.05 Leptokurtic	
d ₅₀ :	23.80 µm			
d ₉₀ :	603.0 µm			
Specific Surf. Area	8909 cm ² /ml			

% <	10	25	50	75	90
Size µm	2.162	4.892	23.80	165.5	603.0

103a.\$02

Particle Diameter µm	Volume % <	Particle Diameter µm	Volume % <
2.000	8.77	1000	99.1
5.000	25.5	2000	99.2
10.00	38.7	4000	100
15.00	43.5	8000	100
20.00	47.6	16000	100
50.00	58.5		
60.00	60.8		
63.00	61.4		
70.00	62.8		
75.00	63.7		
90.00	65.8		
125.0	70.1		
200.0	77.6		
250.0	79.8		
400.0	84.0		
500.0	86.7		



Volume Statistics (Arithmetic)

104a.\$02

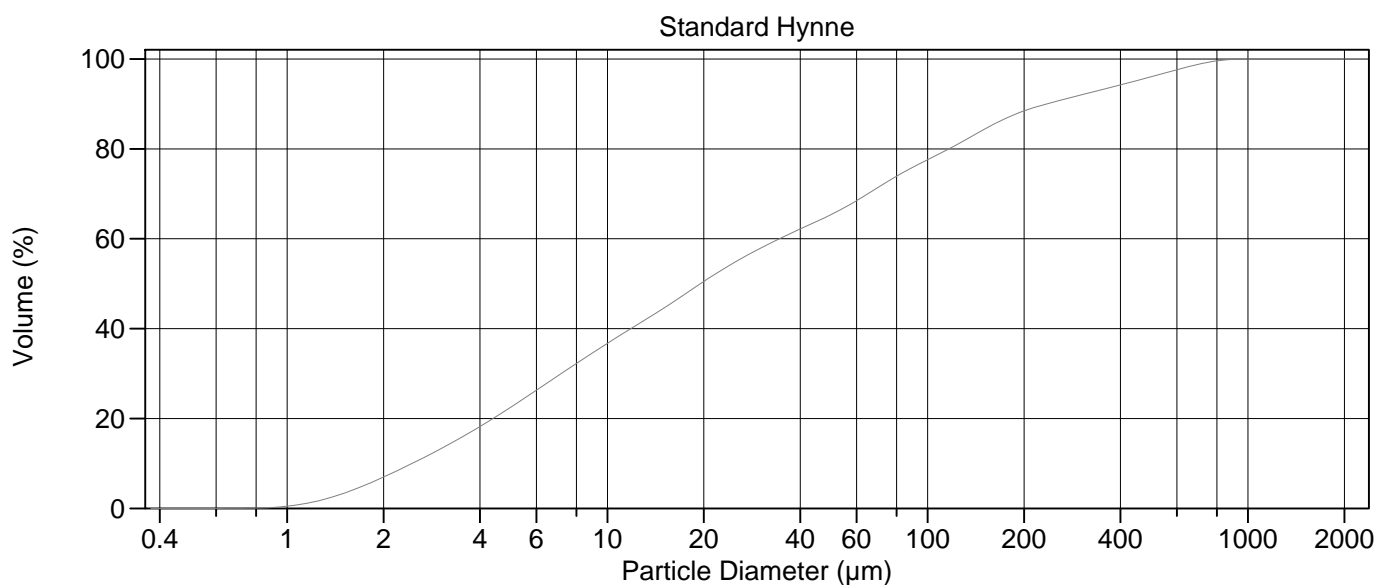
Calculations from 0.375 µm to 8000 µm

Volume	100.0%		
Mean:	658.7 µm	95% Conf. Limits:	0-3190 µm
Median:	107.7 µm	S.D.:	1291 µm
D(3,2):	9.787 µm	Variance:	1667351 µm ²
Mean/Median Ratio:	6.114	C.V.:	196%
Mode:	2828 µm	Skewness:	2.920 Right skewed
d ₁₀ :	2.881 µm	Kurtosis:	8.081 Leptokurtic
d ₅₀ :	107.7 µm		
d ₉₀ :	1330 µm		
Specific Surf. Area	6131 cm ² /ml		

% <	10	25	50	75	90
Size µm	2.881	9.176	107.7	746.0	1330

104a.\$02

Particle Diameter µm	Volume % <	Particle Diameter µm	Volume % <
2.000	6.03	1000	84.4
5.000	17.1	2000	90.4
10.00	25.9	4000	95.3
15.00	29.4	8000	100
20.00	32.4	16000	100
50.00	41.1		
60.00	43.1		
63.00	43.6		
70.00	44.9		
75.00	45.7		
90.00	47.8		
125.0	52.3		
200.0	59.5		
250.0	61.3		
400.0	64.1		
500.0	66.0		



Volume Statistics (Arithmetic) 105.\$02

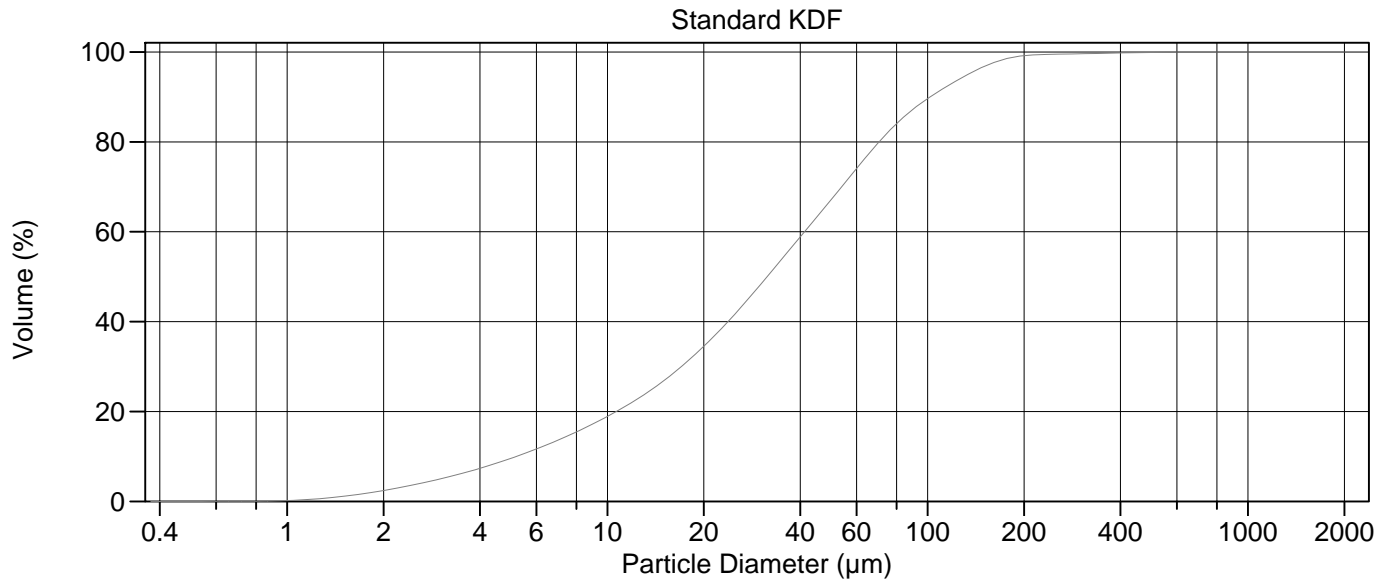
Calculations from 0.375 µm to 2000 µm

Volume	100.0%		
Mean:	82.75 µm	95% Conf. Limits:	0-372.6 µm
Median:	19.54 µm	S.D.:	147.9 µm
D(3,2):	7.308 µm	Variance:	21863 µm ²
Mean/Median Ratio:	4.234	C.V.:	179%
Mode:	6.452 µm	Skewness:	2.859 Right skewed
d ₁₀ :	2.456 µm	Kurtosis:	8.533 Leptokurtic
d ₅₀ :	19.54 µm		
d ₉₀ :	235.0 µm		
Specific Surf. Area	8210 cm ² /ml		

% <	10	25	50	75	90
Size µm	2.456	5.641	19.54	85.08	235.0

105.\$02

Particle Diameter µm	Volume % <	Particle Diameter µm	Volume % <
2.000	6.98	1000	100.0
5.000	22.5	2000	100
10.00	36.7		
15.00	44.6		
20.00	50.5		
50.00	65.4		
60.00	68.5		
63.00	69.4		
70.00	71.4		
75.00	72.7		
90.00	75.9		
125.0	81.2		
200.0	88.4		
250.0	90.5		
400.0	94.2		
500.0	96.1		



Volume Statistics (Arithmetic) 106.\$02

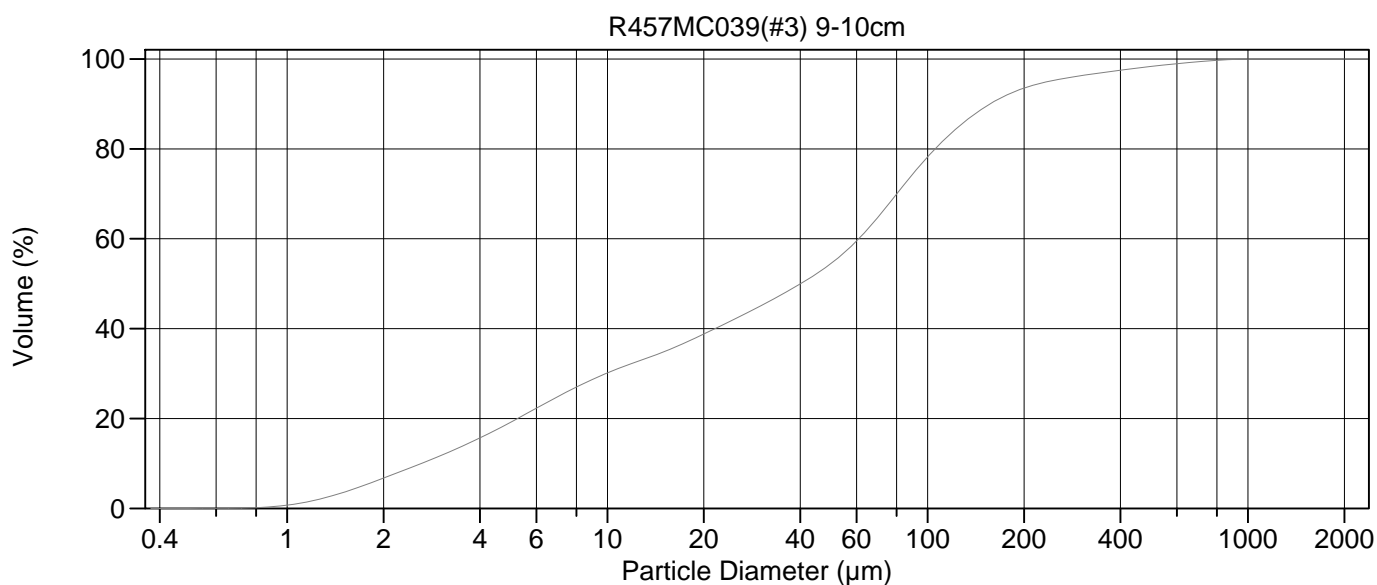
Calculations from 0.375 µm to 2000 µm

Volume	100.0%		
Mean:	45.17 µm	95% Conf. Limits:	0-138.2 µm
Median:	31.54 µm	S.D.:	47.47 µm
D(3,2):	12.83 µm	Variance:	2253 µm ²
Mean/Median Ratio:	1.432	C.V.:	105%
Mode:	55.14 µm	Skewness:	3.369 Right skewed
d ₁₀ :	5.195 µm	Kurtosis:	23.31 Leptokurtic
d ₅₀ :	31.54 µm		
d ₉₀ :	101.7 µm		
Specific Surf. Area	4675 cm ² /ml		

% <	10	25	50	75	90
Size µm	5.195	13.82	31.54	61.52	101.7

106.\$02

Particle Diameter µm	Volume % <	Particle Diameter µm	Volume % <
2.000	2.43	1000	100
5.000	9.58	2000	100
10.00	18.9		
15.00	26.8		
20.00	34.5		
50.00	67.1		
60.00	74.0		
63.00	75.9		
70.00	79.8		
75.00	82.1		
90.00	87.2		
125.0	93.9		
200.0	99.2		
250.0	99.5		
400.0	99.8		
500.0	99.9		



Volume Statistics (Arithmetic) 11.\$02

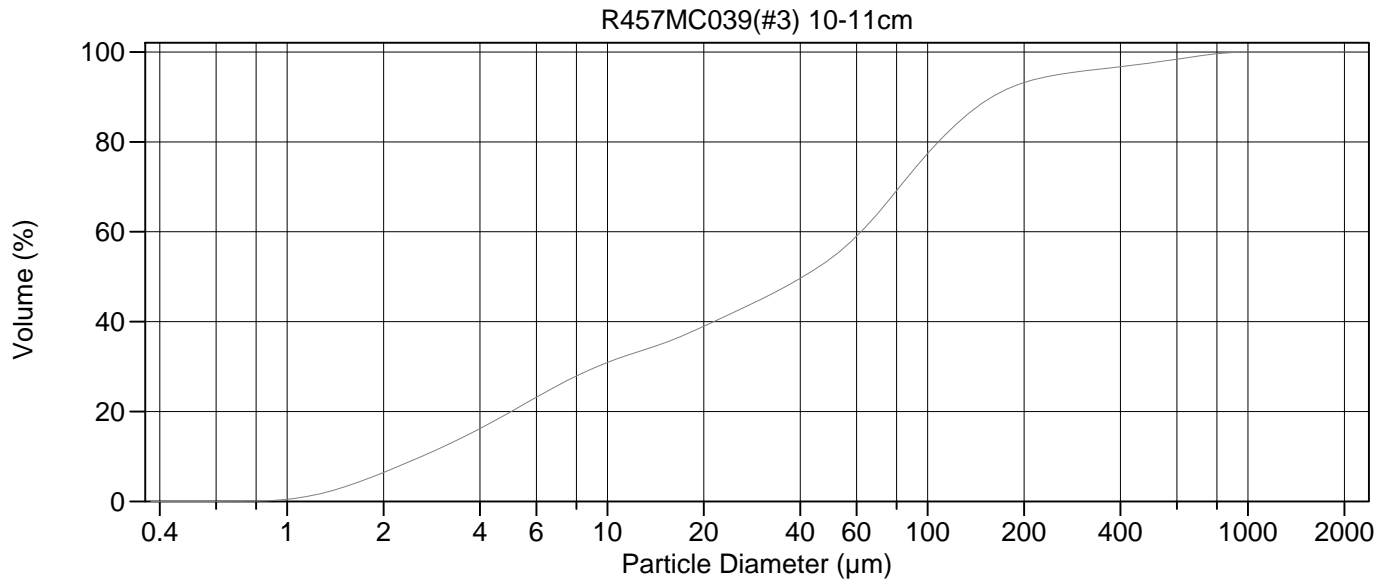
Calculations from 0.375 µm to 2000 µm

Volume	100.0%		
Mean:	71.69 µm	95% Conf. Limits:	0-284.4 µm
Median:	40.10 µm	S.D.:	108.5 µm
D(3,2):	8.267 µm	Variance:	11773 µm ²
Mean/Median Ratio:	1.788	C.V.:	151%
Mode:	80.08 µm	Skewness:	3.777 Right skewed
d ₁₀ :	2.622 µm	Kurtosis:	18.75 Leptokurtic
d ₅₀ :	40.10 µm		
d ₉₀ :	156.8 µm		
Specific Surf. Area	7258 cm ² /ml		

% <	10	25	50	75	90
Size µm	2.622	7.063	40.10	91.24	156.8

11.\$02

Particle Diameter µm	Volume % <	Particle Diameter µm	Volume % <
2.000	6.74	1000	100.0
5.000	19.2	2000	100
10.00	30.1		
15.00	34.8		
20.00	38.8		
50.00	54.5		
60.00	59.5		
63.00	61.1		
70.00	64.8		
75.00	67.5		
90.00	74.5		
125.0	84.9		
200.0	93.5		
250.0	95.3		
400.0	97.5		
500.0	98.3		



Volume Statistics (Arithmetic)

12#.\$02

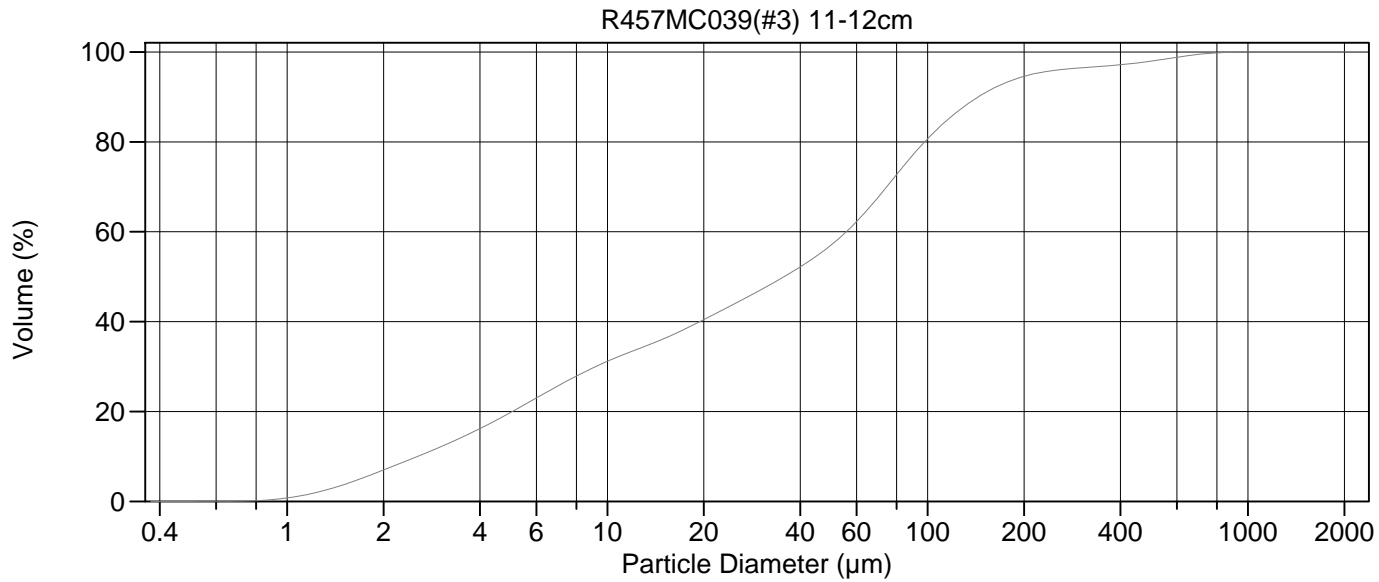
Calculations from 0.375 µm to 2000 µm

Volume	100.0%		
Mean:	75.66 µm	95% Conf. Limits:	0-310.9 µm
Median:	40.81 µm	S.D.:	120.0 µm
D(3,2):	8.335 µm	Variance:	14404 µm ²
Mean/Median Ratio:	1.854	C.V.:	159%
Mode:	80.08 µm	Skewness:	3.711 Right skewed
d ₁₀ :	2.627 µm	Kurtosis:	16.71 Leptokurtic
d ₅₀ :	40.81 µm		
d ₉₀ :	159.0 µm		
Specific Surf. Area	7198 cm ² /ml		

% <	10	25	50	75	90
Size µm	2.627	6.674	40.81	93.42	159.0

12#.\$02

Particle Diameter µm	Volume % <	Particle Diameter µm	Volume % <
2.000	6.45	1000	100.0
5.000	20.0	2000	100
10.00	30.9		
15.00	35.2		
20.00	39.0		
50.00	54.1		
60.00	59.0		
63.00	60.5		
70.00	64.2		
75.00	66.7		
90.00	73.6		
125.0	84.4		
200.0	93.2		
250.0	94.8		
400.0	96.7		
500.0	97.6		



Volume Statistics (Arithmetic) 13.\$02

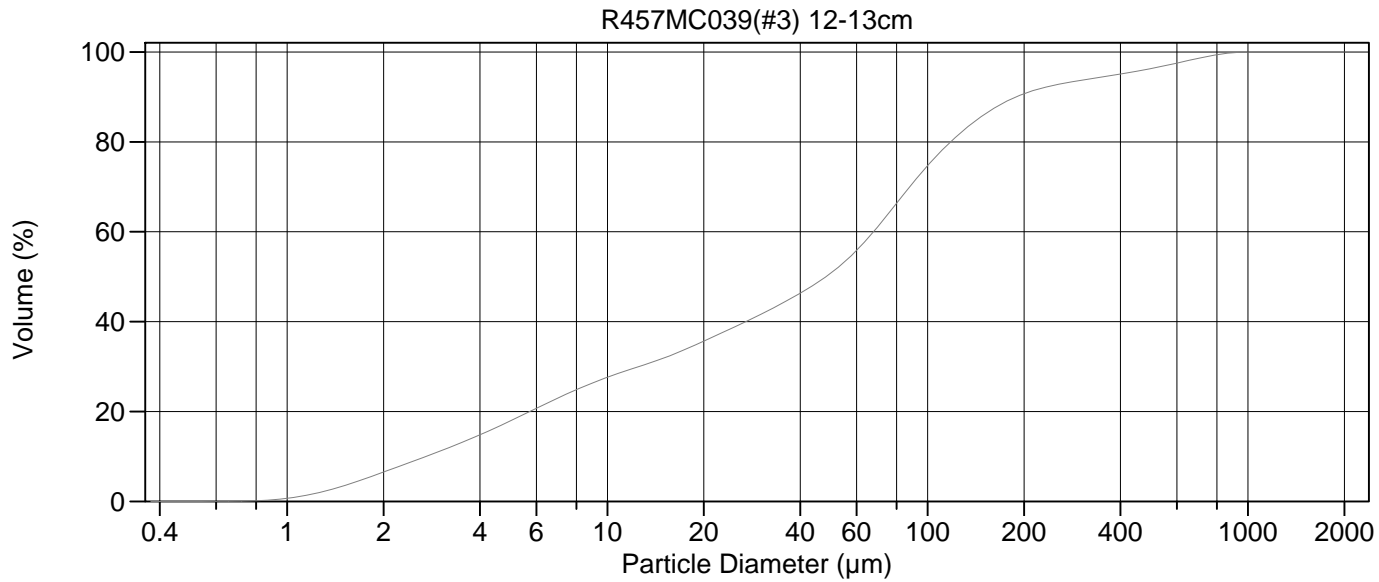
Calculations from 0.375 µm to 2000 µm

Volume	100.0%		
Mean:	67.74 µm	95% Conf. Limits:	0-279.2 µm
Median:	35.63 µm	S.D.:	107.9 µm
D(3,2):	7.984 µm	Variance:	11642 µm ²
Mean/Median Ratio:	1.901	C.V.:	159%
Mode:	80.08 µm	Skewness:	3.888 Right skewed
d ₁₀ :	2.552 µm	Kurtosis:	18.58 Leptokurtic
d ₅₀ :	35.63 µm		
d ₉₀ :	143.9 µm		
Specific Surf. Area	7515 cm ² /ml		

% <	10	25	50	75	90
Size µm	2.552	6.726	35.63	84.91	143.9

13.\$02

Particle Diameter µm	Volume % <	Particle Diameter µm	Volume % <
2.000	6.99	1000	100.0
5.000	19.8	2000	100
10.00	31.2		
15.00	36.2		
20.00	40.4		
50.00	57.1		
60.00	62.2		
63.00	63.9		
70.00	67.7		
75.00	70.3		
90.00	77.1		
125.0	86.9		
200.0	94.6		
250.0	95.9		
400.0	97.2		
500.0	98.0		



Volume Statistics (Arithmetic) 14.\$02

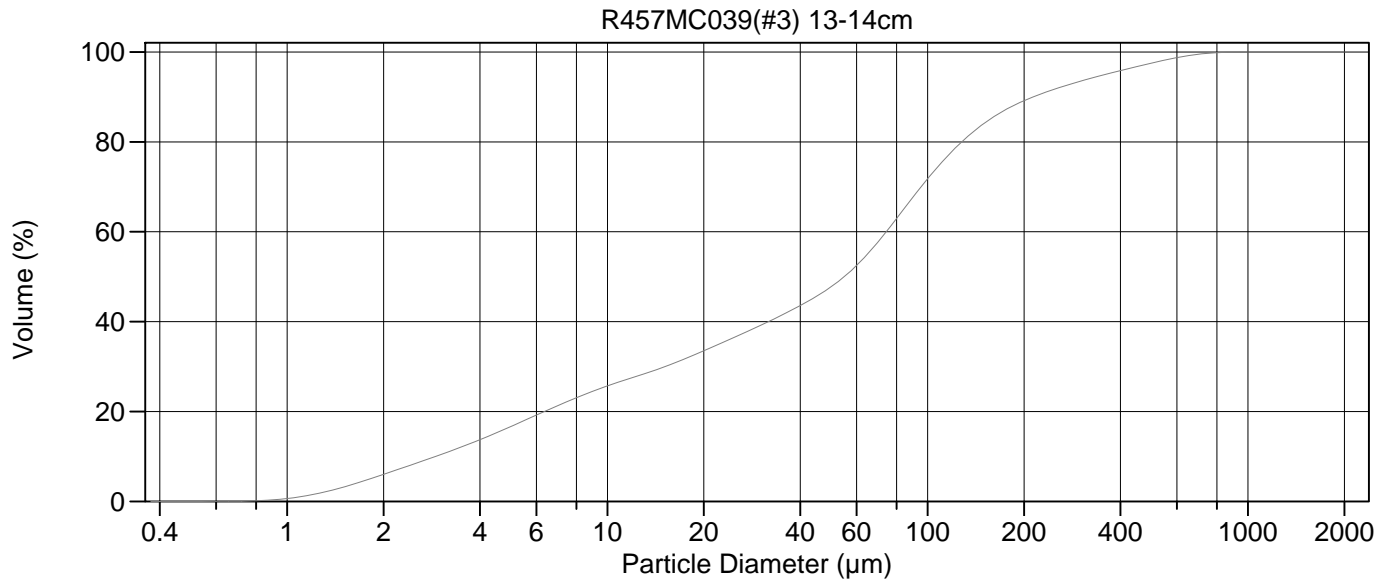
Calculations from 0.375 µm to 2000 µm

Volume	100.0%		
Mean:	89.04 µm	95% Conf. Limits:	0-364.6 µm
Median:	48.12 µm	S.D.:	140.6 µm
D(3,2):	8.775 µm	Variance:	19770 µm ²
Mean/Median Ratio:	1.850	C.V.:	158%
Mode:	80.08 µm	Skewness:	3.240 Right skewed
d ₁₀ :	2.712 µm	Kurtosis:	11.72 Leptokurtic
d ₅₀ :	48.12 µm		
d ₉₀ :	189.1 µm		
Specific Surf. Area	6837 cm ² /ml		

% <	10	25	50	75	90
Size µm	2.712	8.087	48.12	100.7	189.1

14.\$02

Particle Diameter µm	Volume % <	Particle Diameter µm	Volume % <
2.000	6.53	1000	100.0
5.000	18.0	2000	100
10.00	27.6		
15.00	31.9		
20.00	35.7		
50.00	50.9		
60.00	55.9		
63.00	57.4		
70.00	61.2		
75.00	63.8		
90.00	70.9		
125.0	81.6		
200.0	90.7		
250.0	92.6		
400.0	95.1		
500.0	96.3		



Volume Statistics (Arithmetic) 15.\$02

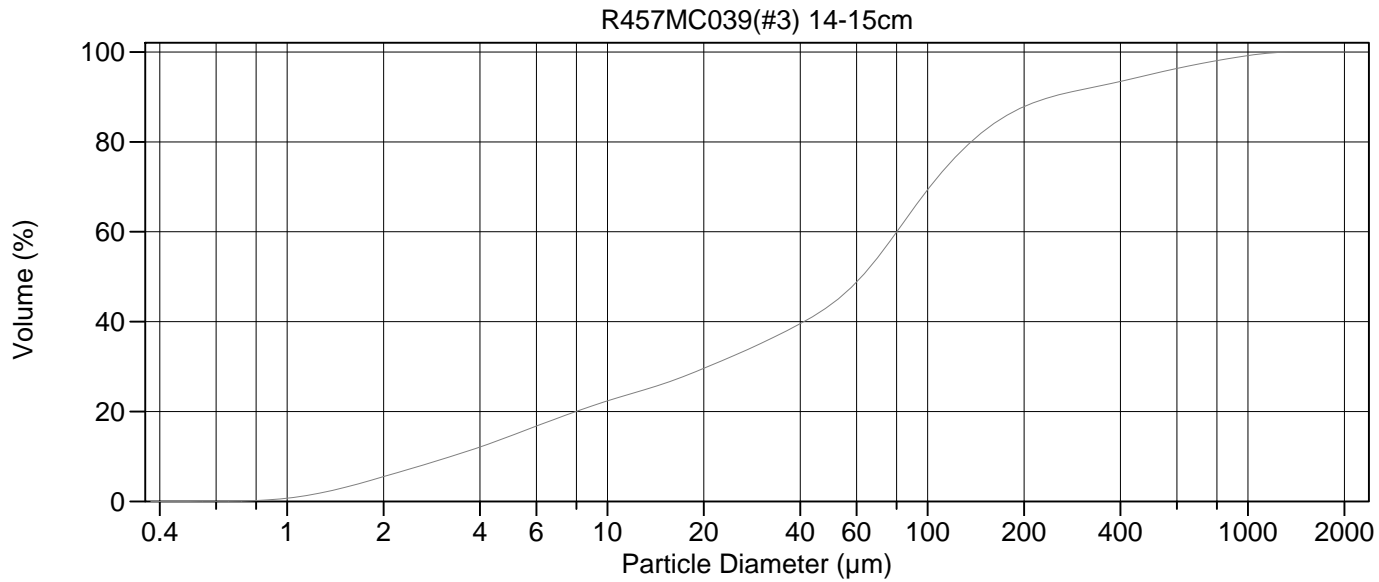
Calculations from 0.375 µm to 2000 µm

Volume	100.0%		
Mean:	90.04 µm	95% Conf. Limits:	0-333.4 µm
Median:	54.87 µm	S.D.:	124.1 µm
D(3,2):	9.396 µm	Variance:	15412 µm ²
Mean/Median Ratio:	1.641	C.V.:	138%
Mode:	80.08 µm	Skewness:	2.775 Right skewed
d ₁₀ :	2.905 µm	Kurtosis:	9.193 Leptokurtic
d ₅₀ :	54.87 µm		
d ₉₀ :	213.2 µm		
Specific Surf. Area	6386 cm ² /ml		

% <	10	25	50	75	90
Size µm	2.905	9.412	54.87	109.3	213.2

15.\$02

Particle Diameter µm	Volume % <	Particle Diameter µm	Volume % <
2.000	6.02	1000	100.0
5.000	16.7	2000	100
10.00	25.7		
15.00	29.9		
20.00	33.5		
50.00	47.8		
60.00	52.5		
63.00	54.0		
70.00	57.7		
75.00	60.4		
90.00	67.7		
125.0	79.3		
200.0	89.1		
250.0	91.8		
400.0	95.8		
500.0	97.5		



Volume Statistics (Arithmetic) 16.\$02

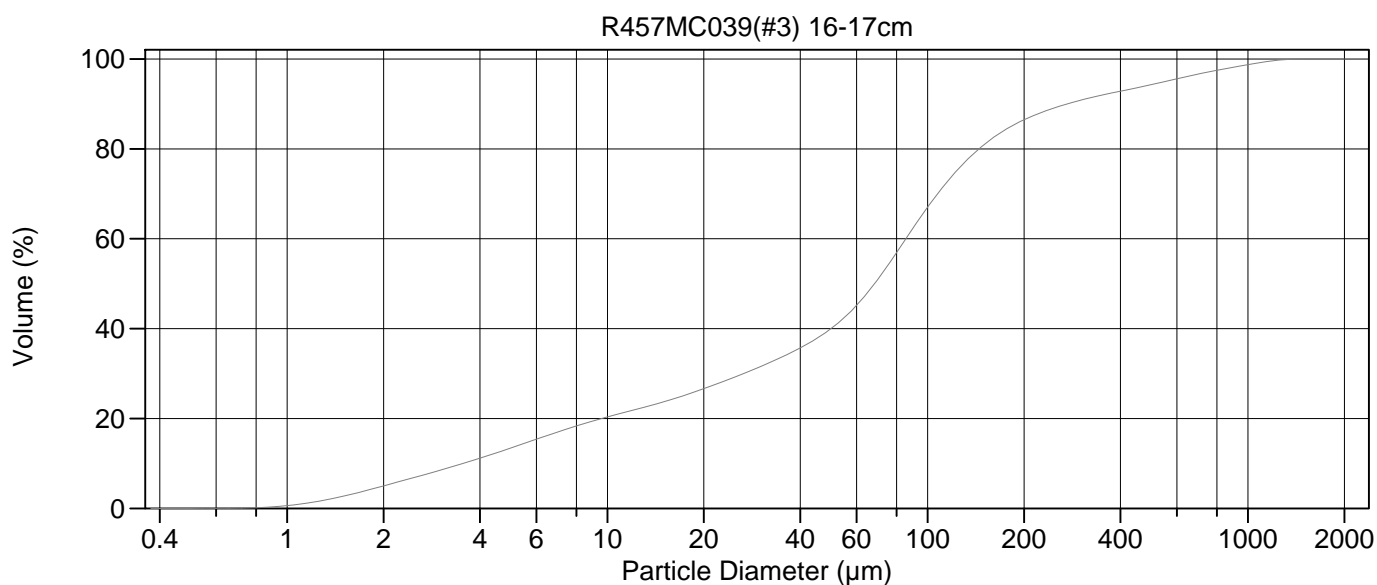
Calculations from 0.375 µm to 2000 µm

Volume	100.0%		
Mean:	111.7 µm	95% Conf. Limits:	0-461.8 µm
Median:	62.20 µm	S.D.:	178.6 µm
D(3,2):	10.35 µm	Variance:	31907 µm ²
Mean/Median Ratio:	1.795	C.V.:	160%
Mode:	80.08 µm	Skewness:	3.376 Right skewed
d ₁₀ :	3.251 µm	Kurtosis:	13.04 Leptokurtic
d ₅₀ :	62.20 µm		
d ₉₀ :	243.5 µm		
Specific Surf. Area	5798 cm ² /ml		

% <	10	25	50	75	90
Size µm	3.251	13.30	62.20	116.5	243.5

16.\$02

Particle Diameter µm	Volume % <	Particle Diameter µm	Volume % <
2.000	5.51	1000	99.2
5.000	14.6	2000	100
10.00	22.4		
15.00	26.2		
20.00	29.6		
50.00	43.8		
60.00	48.8		
63.00	50.4		
70.00	54.4		
75.00	57.2		
90.00	65.0		
125.0	77.3		
200.0	87.8		
250.0	90.2		
400.0	93.5		
500.0	95.1		



Volume Statistics (Arithmetic) 17.\$02

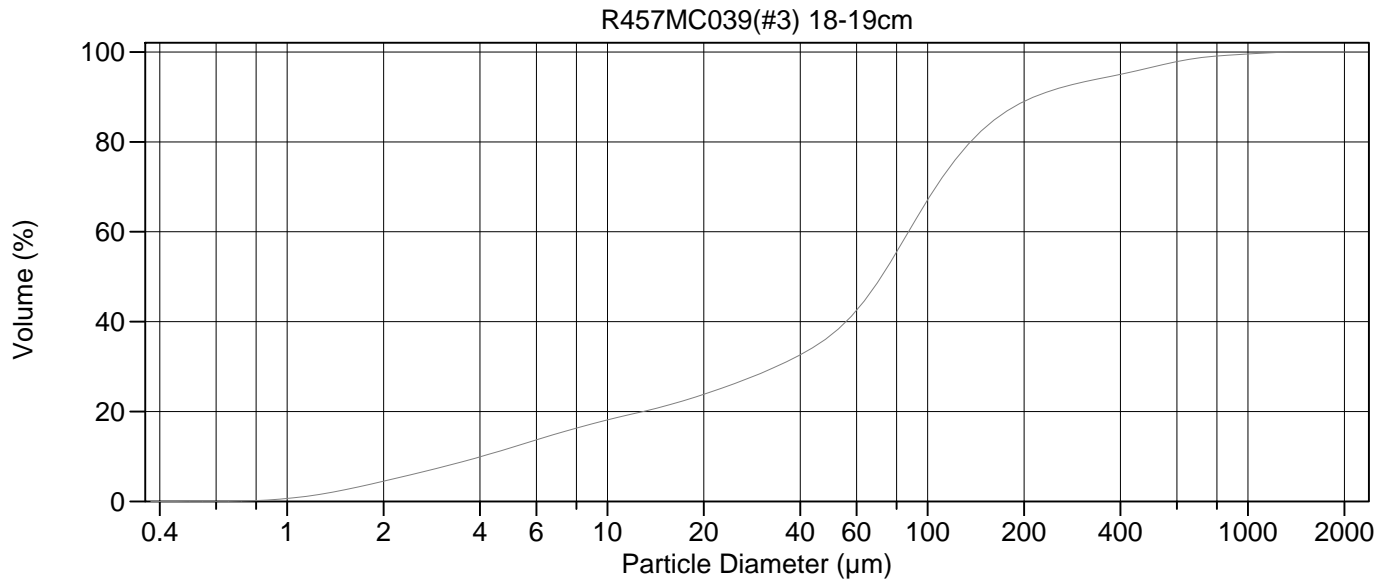
Calculations from 0.375 µm to 2000 µm

Volume	100.0%		
Mean:	122.7 µm	95% Conf. Limits:	0-506.0 µm
Median:	68.25 µm	S.D.:	195.6 µm
D(3,2):	11.27 µm	Variance:	38253 µm ²
Mean/Median Ratio:	1.798	C.V.:	159%
Mode:	80.08 µm	Skewness:	3.337 Right skewed
d ₁₀ :	3.542 µm	Kurtosis:	12.46 Leptokurtic
d ₅₀ :	68.25 µm		
d ₉₀ :	272.9 µm		
Specific Surf. Area	5323 cm ² /ml		

% <	10	25	50	75	90
Size µm	3.542	17.13	68.25	122.7	272.9

17.\$02

Particle Diameter µm	Volume % <	Particle Diameter µm	Volume % <
2.000	5.01	1000	98.7
5.000	13.4	2000	100
10.00	20.4		
15.00	23.7		
20.00	26.7		
50.00	40.0		
60.00	45.2		
63.00	46.9		
70.00	51.0		
75.00	54.0		
90.00	62.4		
125.0	75.6		
200.0	86.5		
250.0	89.2		
400.0	92.8		
500.0	94.3		



Volume Statistics (Arithmetic)

18#.\$02

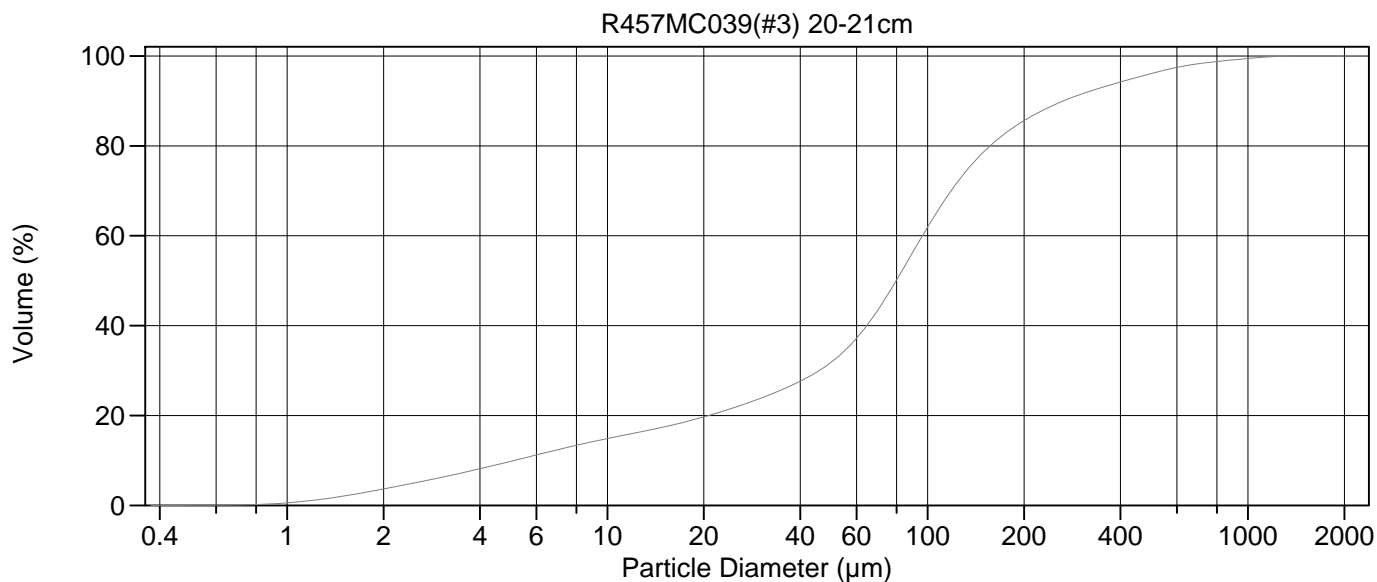
Calculations from 0.375 µm to 2000 µm

Volume	100.0%		
Mean:	106.2 µm	95% Conf. Limits:	0-395.8 µm
Median:	71.65 µm	S.D.:	147.7 µm
D(3,2):	12.30 µm	Variance:	21829 µm ²
Mean/Median Ratio:	1.483	C.V.:	139%
Mode:	87.90 µm	Skewness:	3.671 Right skewed
d ₁₀ :	4.041 µm	Kurtosis:	17.75 Leptokurtic
d ₅₀ :	71.65 µm		
d ₉₀ :	214.7 µm		
Specific Surf. Area	4879 cm ² /ml		

% <	10	25	50	75	90
Size µm	4.041	22.35	71.65	119.0	214.7

18#.\$02

Particle Diameter µm	Volume % <	Particle Diameter µm	Volume % <
2.000	4.49	1000	99.5
5.000	11.9	2000	100
10.00	18.1		
15.00	21.2		
20.00	23.8		
50.00	37.1		
60.00	42.5		
63.00	44.3		
70.00	48.9		
75.00	52.2		
90.00	61.7		
125.0	76.9		
200.0	89.0		
250.0	91.7		
400.0	95.0		
500.0	96.6		



Volume Statistics (Arithmetic) 19.\$02

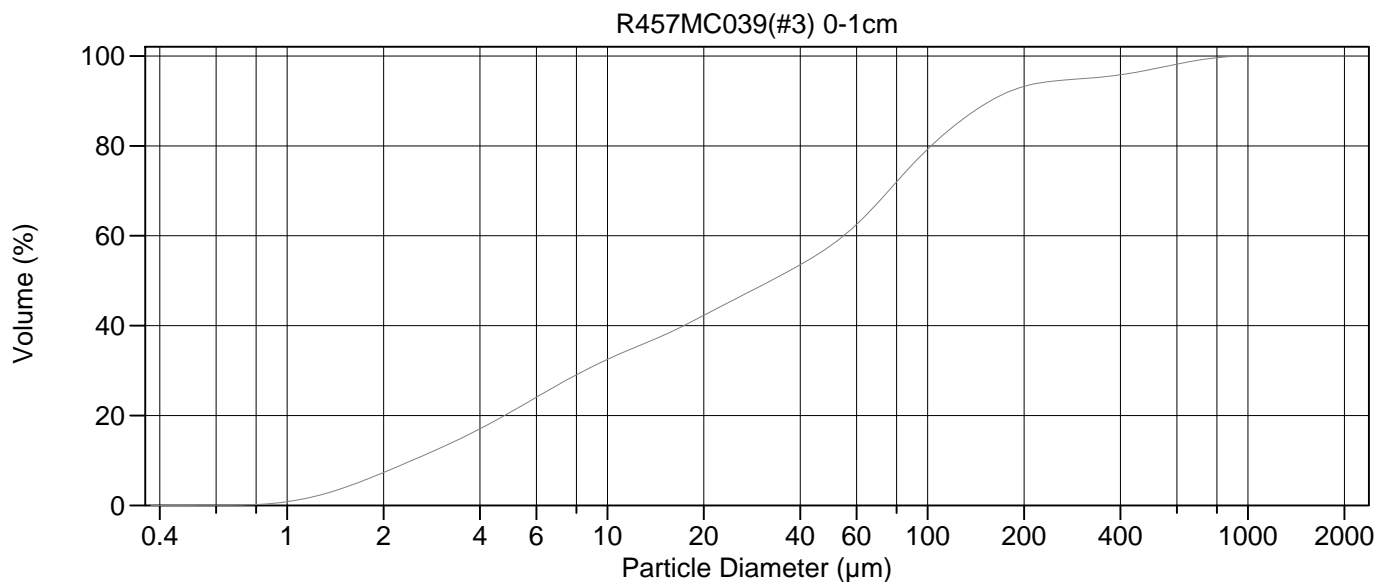
Calculations from 0.375 µm to 2000 µm

Volume	100.0%	95% Conf. Limits:	0-432.5 µm
Mean:	121.1 µm	S.D.:	158.9 µm
Median:	79.77 µm	Variance:	25247 µm ²
D(3,2):	14.54 µm	C.V.:	131%
Mean/Median Ratio:	1.518	Skewness:	3.343 Right skewed
Mode:	87.90 µm	Kurtosis:	14.46 Leptokurtic
d ₁₀ :	5.118 µm		
d ₅₀ :	79.77 µm		
d ₉₀ :	265.2 µm		
Specific Surf. Area	4126 cm ² /ml		

% <	10	25	50	75	90
Size µm	5.118	33.11	79.77	133.9	265.2

19.\$02

Particle Diameter µm	Volume % <	Particle Diameter µm	Volume % <
2.000	3.66	1000	99.4
5.000	9.82	2000	100
10.00	14.9		
15.00	17.4		
20.00	19.7		
50.00	31.9		
60.00	37.2		
63.00	39.0		
70.00	43.5		
75.00	46.9		
90.00	56.4		
125.0	72.3		
200.0	85.6		
250.0	89.2		
400.0	94.2		
500.0	96.1		



Volume Statistics (Arithmetic)

2#.\$02

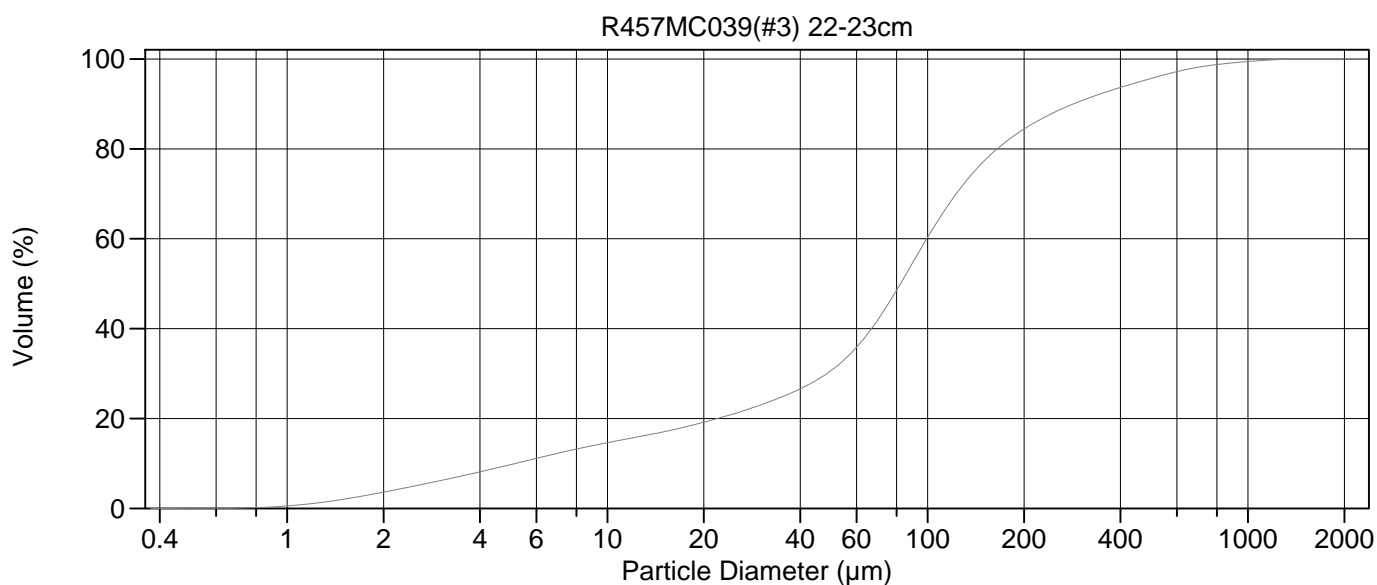
Calculations from 0.375 µm to 2000 µm

Volume	100.0%		
Mean:	74.63 µm	95% Conf. Limits:	0-323.5 µm
Median:	32.38 µm	S.D.:	127.0 µm
D(3,2):	7.674 µm	Variance:	16119 µm ²
Mean/Median Ratio:	2.305	C.V.:	170%
Mode:	80.08 µm	Skewness:	3.574 Right skewed
d ₁₀ :	2.455 µm	Kurtosis:	14.52 Leptokurtic
d ₅₀ :	32.38 µm		
d ₉₀ :	157.0 µm		
Specific Surf. Area	7819 cm ² /ml		

% <	10	25	50	75	90
Size µm	2.455	6.328	32.38	87.40	157.0

2#.\$02

Particle Diameter µm	Volume % <	Particle Diameter µm	Volume % <
2.000	7.33	1000	100.0
5.000	20.8	2000	100
10.00	32.5		
15.00	37.9		
20.00	42.3		
50.00	57.9		
60.00	62.5		
63.00	64.0		
70.00	67.4		
75.00	69.8		
90.00	76.0		
125.0	85.2		
200.0	93.2		
250.0	94.5		
400.0	95.8		
500.0	97.0		



Volume Statistics (Arithmetic)

20#.\$02

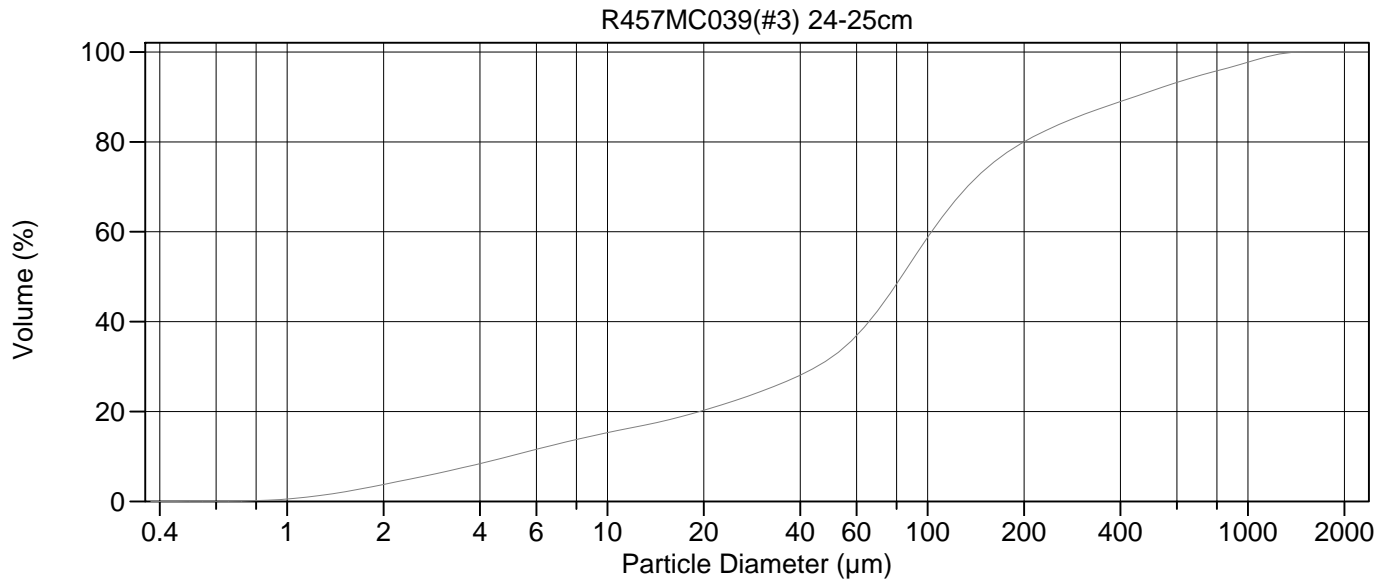
Calculations from 0.375 µm to 2000 µm

Volume	100.0%		
Mean:	126.3 µm	95% Conf. Limits:	0-446.2 µm
Median:	82.22 µm	S.D.:	163.2 µm
D(3,2):	14.78 µm	Variance:	26636 µm ²
Mean/Median Ratio:	1.537	C.V.:	129%
Mode:	87.90 µm	Skewness:	3.180 Right skewed
d ₁₀ :	5.165 µm	Kurtosis:	13.05 Leptokurtic
d ₅₀ :	82.22 µm		
d ₉₀ :	284.6 µm		
Specific Surf. Area	4061 cm ² /ml		

% <	10	25	50	75	90
Size µm	5.165	35.59	82.22	140.0	284.6

20#.\$02

Particle Diameter µm	Volume % <	Particle Diameter µm	Volume % <
2.000	3.64	1000	99.4
5.000	9.75	2000	100
10.00	14.6		
15.00	17.0		
20.00	19.2		
50.00	30.7		
60.00	35.9		
63.00	37.6		
70.00	42.0		
75.00	45.3		
90.00	54.8		
125.0	70.7		
200.0	84.4		
250.0	88.2		
400.0	93.7		
500.0	95.7		



Volume Statistics (Arithmetic) 21.\$02

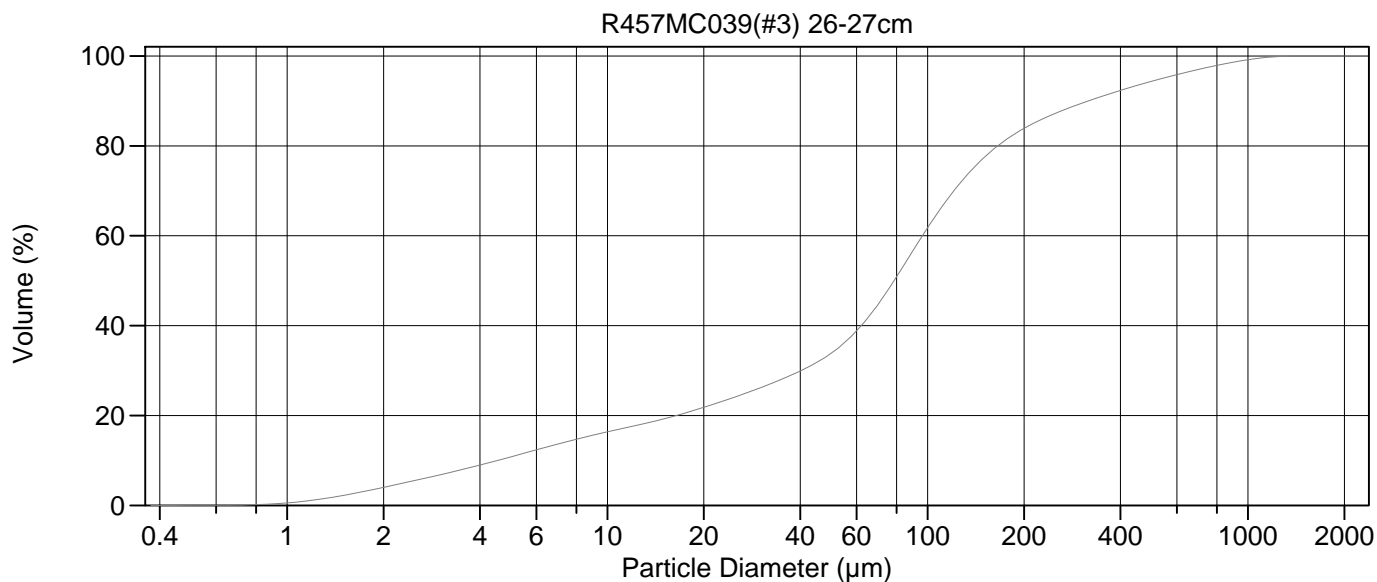
Calculations from 0.375 µm to 2000 µm

Volume	100.0%	95% Conf. Limits:	0-625.4 µm
Mean:	161.8 µm	S.D.:	236.5 µm
Median:	82.77 µm	Variance:	55952 µm ²
D(3,2):	14.40 µm	C.V.:	146%
Mean/Median Ratio:	1.955	Skewness:	2.691 Right skewed
Mode:	87.90 µm	Kurtosis:	7.456 Leptokurtic
d ₁₀ :	4.926 µm		
d ₅₀ :	82.77 µm		
d ₉₀ :	441.3 µm		
Specific Surf. Area	4166 cm ² /ml		

% <	10	25	50	75	90
Size µm	4.926	31.58	82.77	158.0	441.3

21.\$02

Particle Diameter µm	Volume % <	Particle Diameter µm	Volume % <
2.000	3.77	1000	97.7
5.000	10.1	2000	100
10.00	15.3		
15.00	17.9		
20.00	20.3		
50.00	32.0		
60.00	36.9		
63.00	38.5		
70.00	42.6		
75.00	45.5		
90.00	53.9		
125.0	67.8		
200.0	80.0		
250.0	83.5		
400.0	89.0		
500.0	91.3		



Volume Statistics (Arithmetic) 22.\$02

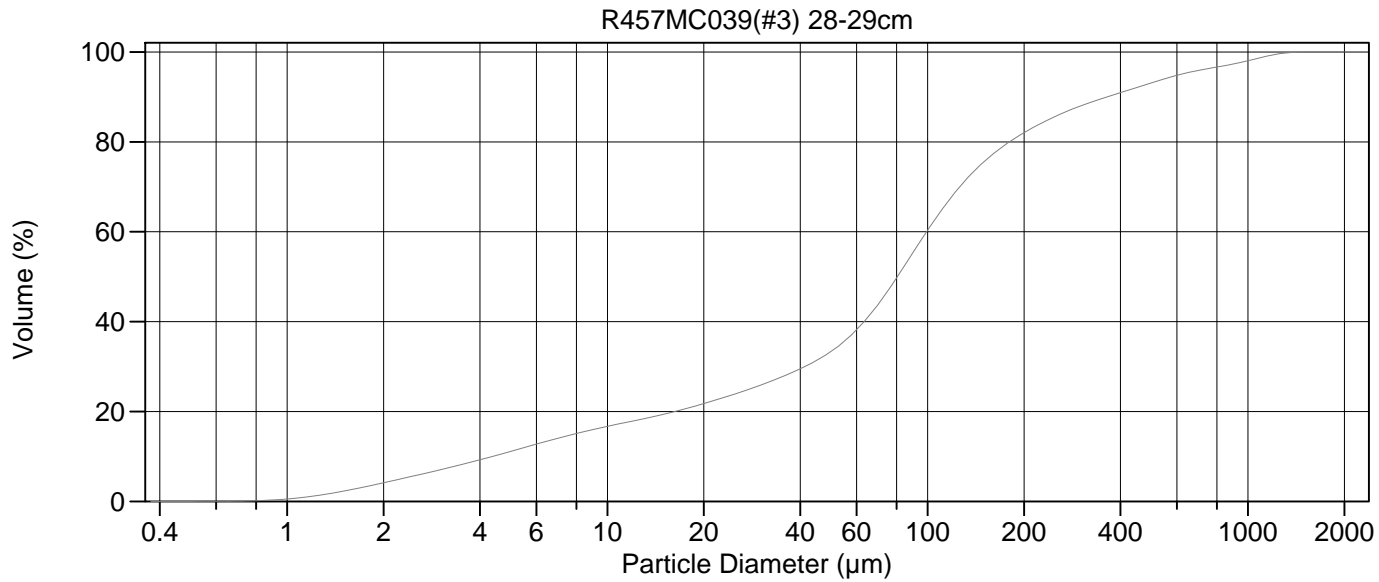
Calculations from 0.375 µm to 2000 µm

Volume	100.0%		
Mean:	132.2 µm	95% Conf. Limits:	0-496.2 µm
Median:	78.54 µm	S.D.:	185.7 µm
D(3,2):	13.55 µm	Variance:	34485 µm ²
Mean/Median Ratio:	1.683	C.V.:	140%
Mode:	87.90 µm	Skewness:	3.003 Right skewed
d ₁₀ :	4.542 µm	Kurtosis:	10.38 Leptokurtic
d ₅₀ :	78.54 µm		
d ₉₀ :	317.4 µm		
Specific Surf. Area	4428 cm ² /ml		

% <	10	25	50	75	90
Size µm	4.542	27.13	78.54	138.8	317.4

22.\$02

Particle Diameter µm	Volume % <	Particle Diameter µm	Volume % <
2.000	4.01	1000	99.2
5.000	10.8	2000	100
10.00	16.4		
15.00	19.3		
20.00	21.8		
50.00	33.9		
60.00	38.9		
63.00	40.5		
70.00	44.7		
75.00	47.8		
90.00	56.7		
125.0	71.3		
200.0	83.9		
250.0	87.2		
400.0	92.3		
500.0	94.4		



Volume Statistics (Arithmetic) 23.\$02

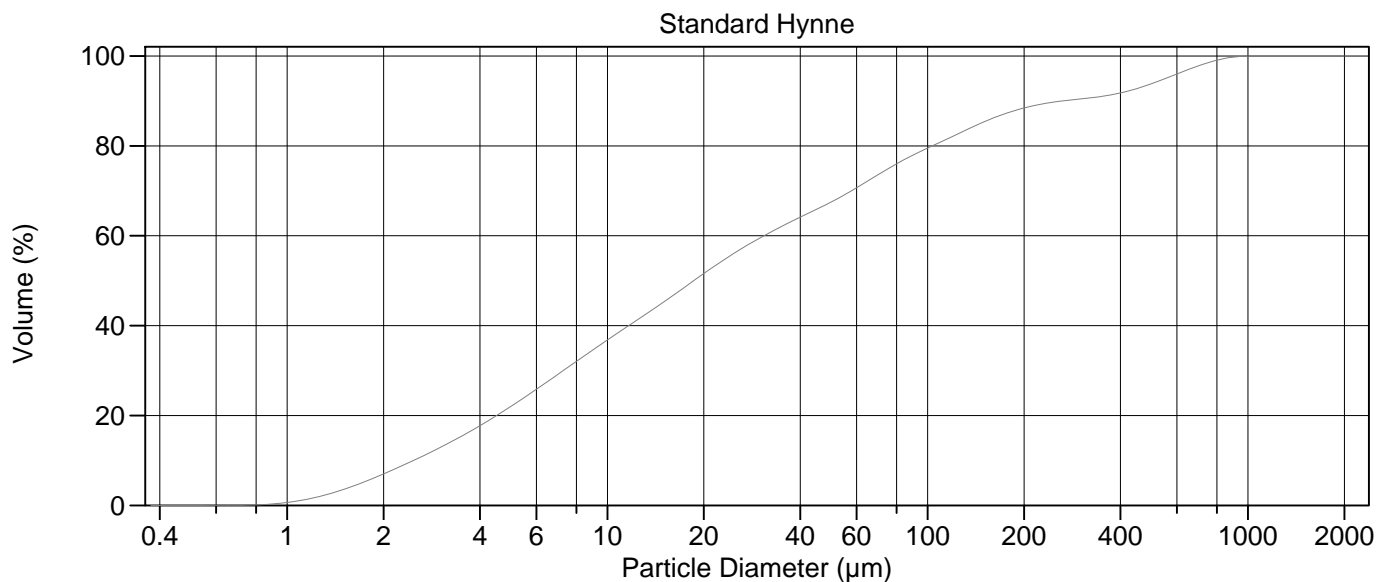
Calculations from 0.375 µm to 2000 µm

Volume	100.0%	95% Conf. Limits:	0-573.9 µm
Mean:	146.7 µm	S.D.:	217.9 µm
Median:	80.42 µm	Variance:	47501 µm ²
D(3,2):	13.38 µm	C.V.:	149%
Mean/Median Ratio:	1.824	Skewness:	3.016 Right skewed
Mode:	87.90 µm	Kurtosis:	9.955 Leptokurtic
d ₁₀ :	4.372 µm		
d ₅₀ :	80.42 µm		
d ₉₀ :	363.2 µm		
Specific Surf. Area	4483 cm ² /ml		

% <	10	25	50	75	90
Size µm	4.372	27.80	80.42	146.7	363.2

23.\$02

Particle Diameter µm	Volume % <	Particle Diameter µm	Volume % <
2.000	4.14	1000	98.0
5.000	11.1	2000	100
10.00	16.7		
15.00	19.4		
20.00	21.8		
50.00	33.4		
60.00	38.2		
63.00	39.8		
70.00	43.8		
75.00	46.8		
90.00	55.4		
125.0	69.7		
200.0	82.0		
250.0	85.6		
400.0	90.9		
500.0	93.1		



Volume Statistics (Arithmetic) 24.\$02

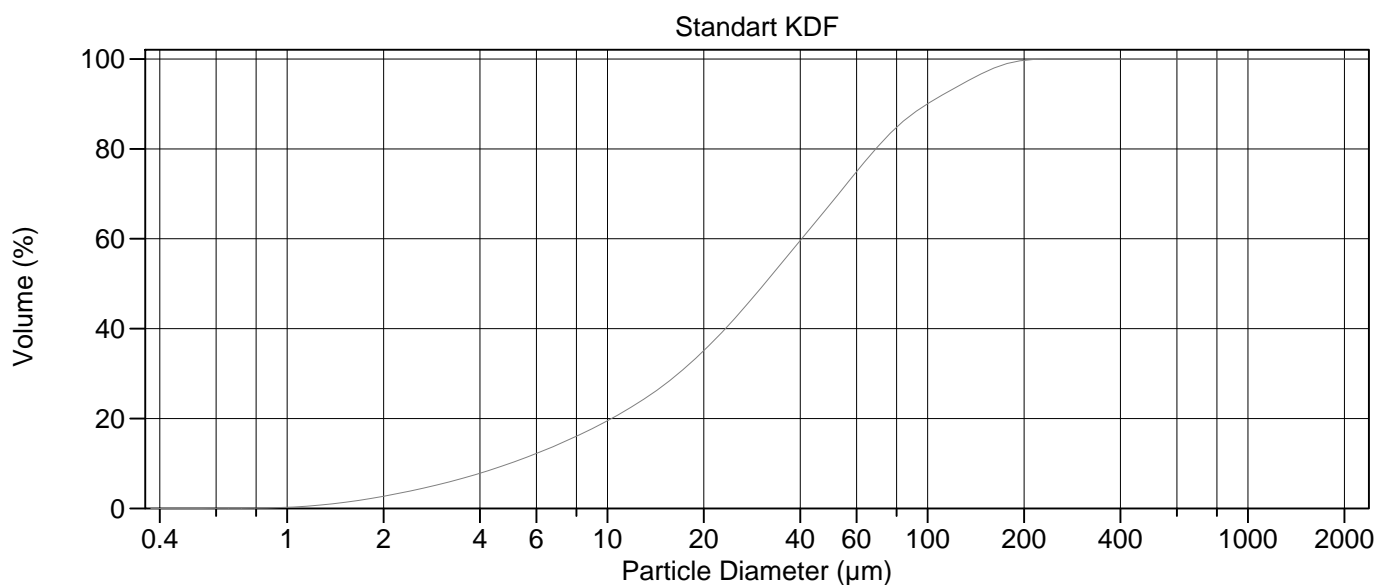
Calculations from 0.375 µm to 2000 µm

Volume	100.0%		
Mean:	89.79 µm	95% Conf. Limits:	0-428.4 µm
Median:	18.61 µm	S.D.:	172.8 µm
D(3,2):	7.242 µm	Variance:	29852 µm ²
Mean/Median Ratio:	4.825	C.V.:	192%
Mode:	18.00 µm	Skewness:	2.779 Right skewed
d ₁₀ :	2.481 µm	Kurtosis:	7.240 Leptokurtic
d ₅₀ :	18.61 µm		
d ₉₀ :	264.1 µm		
Specific Surf. Area	8285 cm ² /ml		

% <	10	25	50	75	90
Size µm	2.481	5.772	18.61	75.54	264.1

24.\$02

Particle Diameter µm	Volume % <	Particle Diameter µm	Volume % <
2.000	7.01	1000	100.0
5.000	22.0	2000	100
10.00	36.8		
15.00	45.3		
20.00	51.6		
50.00	67.5		
60.00	70.7		
63.00	71.6		
70.00	73.6		
75.00	74.9		
90.00	77.9		
125.0	82.7		
200.0	88.4		
250.0	89.8		
400.0	91.8		
500.0	93.8		



Volume Statistics (Arithmetic) 25.\$02

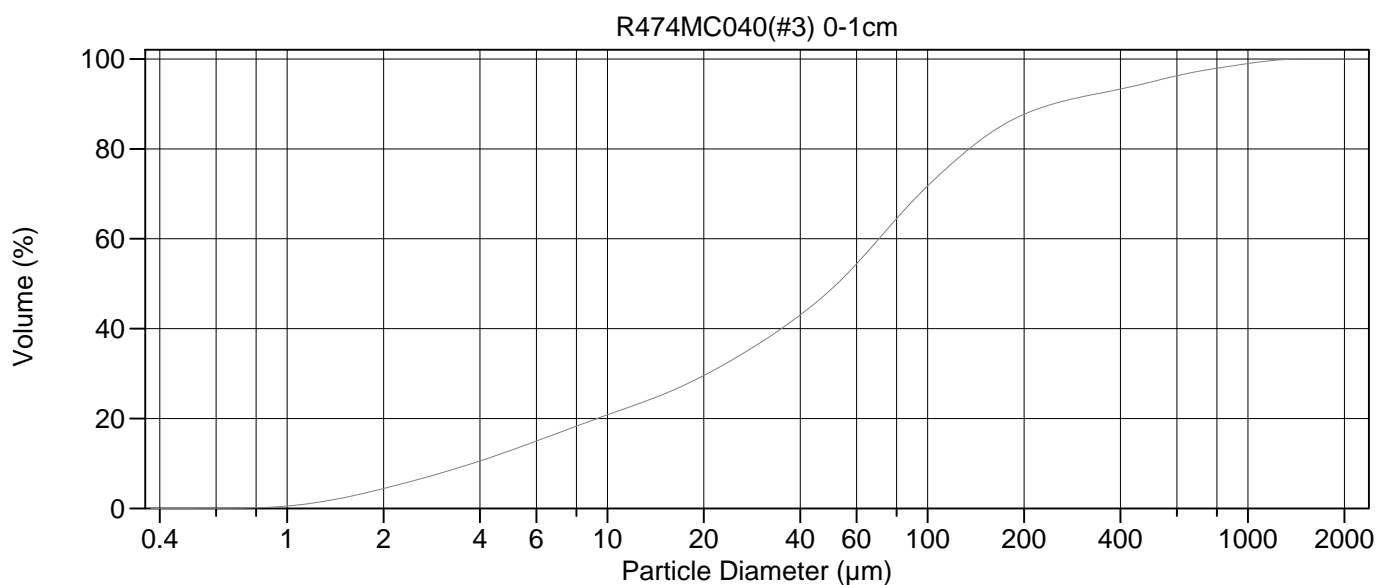
Calculations from 0.375 µm to 2000 µm

Volume	100.0%		
Mean:	43.20 µm	95% Conf. Limits:	0-122.1 µm
Median:	30.97 µm	S.D.:	40.27 µm
D(3,2):	12.33 µm	Variance:	1622 µm ²
Mean/Median Ratio:	1.395	C.V.:	93.2%
Mode:	55.14 µm	Skewness:	1.517 Right skewed
d ₁₀ :	4.955 µm	Kurtosis:	2.224 Leptokurtic
d ₅₀ :	30.97 µm		
d ₉₀ :	99.72 µm		
Specific Surf. Area	4868 cm ² /ml		

% <	10	25	50	75	90
Size µm	4.955	13.44	30.97	60.16	99.72

25.\$02

Particle Diameter µm	Volume % <	Particle Diameter µm	Volume % <
2.000	2.70	1000	100
5.000	10.1	2000	100
10.00	19.5		
15.00	27.4		
20.00	35.1		
50.00	67.9		
60.00	74.9		
63.00	76.8		
70.00	80.6		
75.00	82.9		
90.00	87.8		
125.0	94.0		
200.0	99.7		
250.0	100.0		
400.0	100		
500.0	100		



Volume Statistics (Arithmetic)

26#.\$02

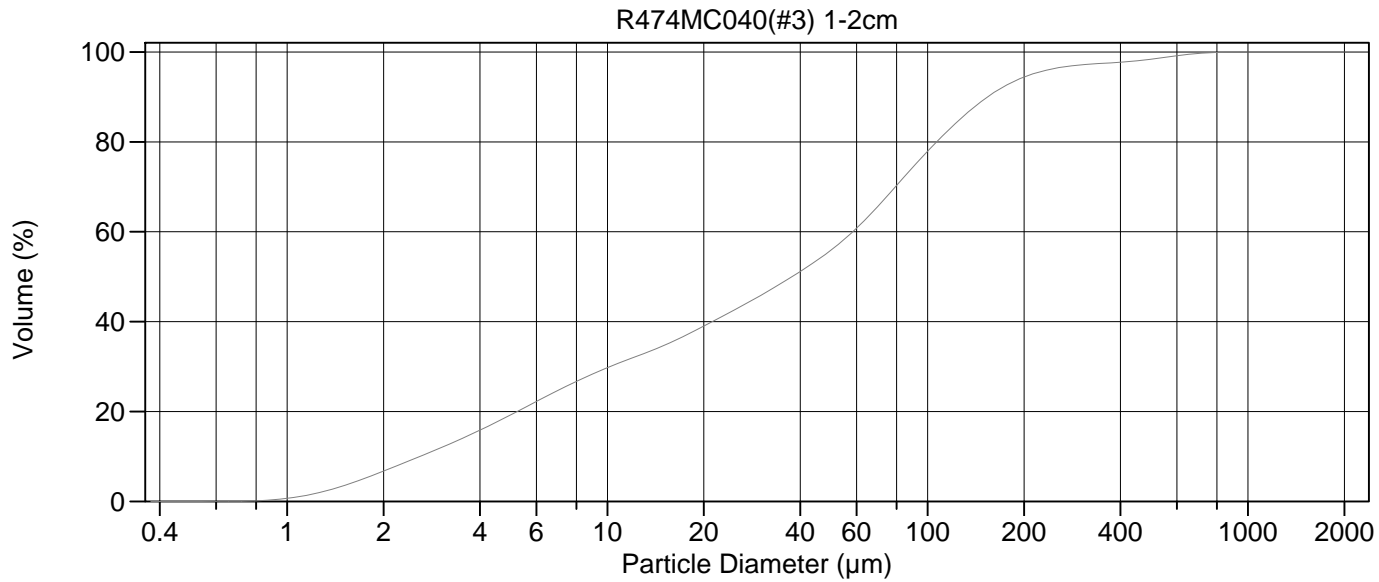
Calculations from 0.375 µm to 2000 µm

Volume	100.0%		
Mean:	109.9 µm	95% Conf. Limits:	0-472.1 µm
Median:	52.22 µm	S.D.:	184.8 µm
D(3,2):	11.32 µm	Variance:	34155 µm ²
Mean/Median Ratio:	2.104	C.V.:	168%
Mode:	72.95 µm	Skewness:	3.474 Right skewed
d ₁₀ :	3.783 µm	Kurtosis:	13.80 Leptokurtic
d ₅₀ :	52.22 µm		
d ₉₀ :	246.9 µm		
Specific Surf. Area	5301 cm ² /ml		

% <	10	25	50	75	90
Size µm	3.783	14.48	52.22	111.7	246.9

26#.\$02

Particle Diameter µm	Volume % <	Particle Diameter µm	Volume % <
2.000	4.42	1000	99.0
5.000	12.9	2000	100
10.00	20.8		
15.00	25.4		
20.00	29.6		
50.00	48.7		
60.00	54.4		
63.00	56.1		
70.00	59.8		
75.00	62.2		
90.00	68.5		
125.0	78.1		
200.0	87.7		
250.0	90.1		
400.0	93.3		
500.0	94.9		



Volume Statistics (Arithmetic) 27.\$02

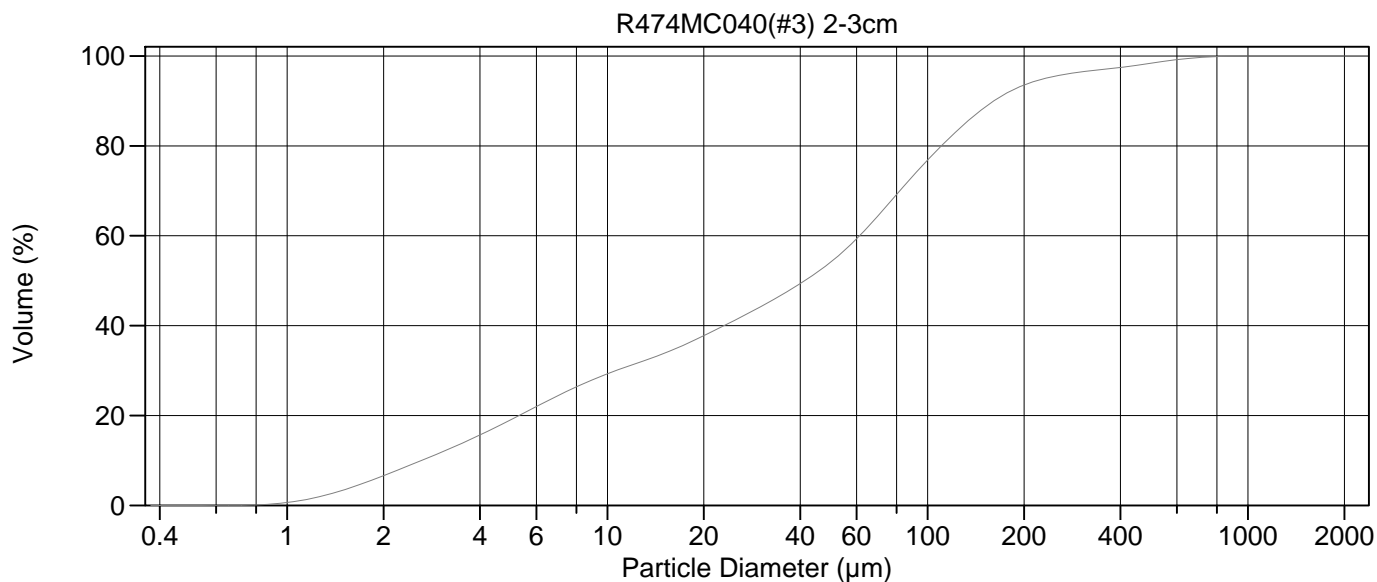
Calculations from 0.375 µm to 2000 µm

Volume	100.0%		
Mean:	68.47 µm	95% Conf. Limits:	0-264.4 µm
Median:	37.72 µm	S.D.:	99.98 µm
D(3,2):	8.267 µm	Variance:	9997 µm ²
Mean/Median Ratio:	1.815	C.V.:	146%
Mode:	80.08 µm	Skewness:	3.672 Right skewed
d ₁₀ :	2.599 µm	Kurtosis:	18.01 Leptokurtic
d ₅₀ :	37.72 µm		
d ₉₀ :	154.1 µm		
Specific Surf. Area	7258 cm ² /ml		

% <	10	25	50	75	90
Size µm	2.599	7.150	37.72	91.53	154.1

27.\$02

Particle Diameter µm	Volume % <	Particle Diameter µm	Volume % <
2.000	6.75	1000	100.0
5.000	19.3	2000	100
10.00	29.8		
15.00	34.7		
20.00	39.0		
50.00	55.9		
60.00	60.8		
63.00	62.3		
70.00	65.7		
75.00	68.1		
90.00	74.4		
125.0	84.7		
200.0	94.4		
250.0	96.4		
400.0	97.7		
500.0	98.4		



Volume Statistics (Arithmetic) 28.\$02

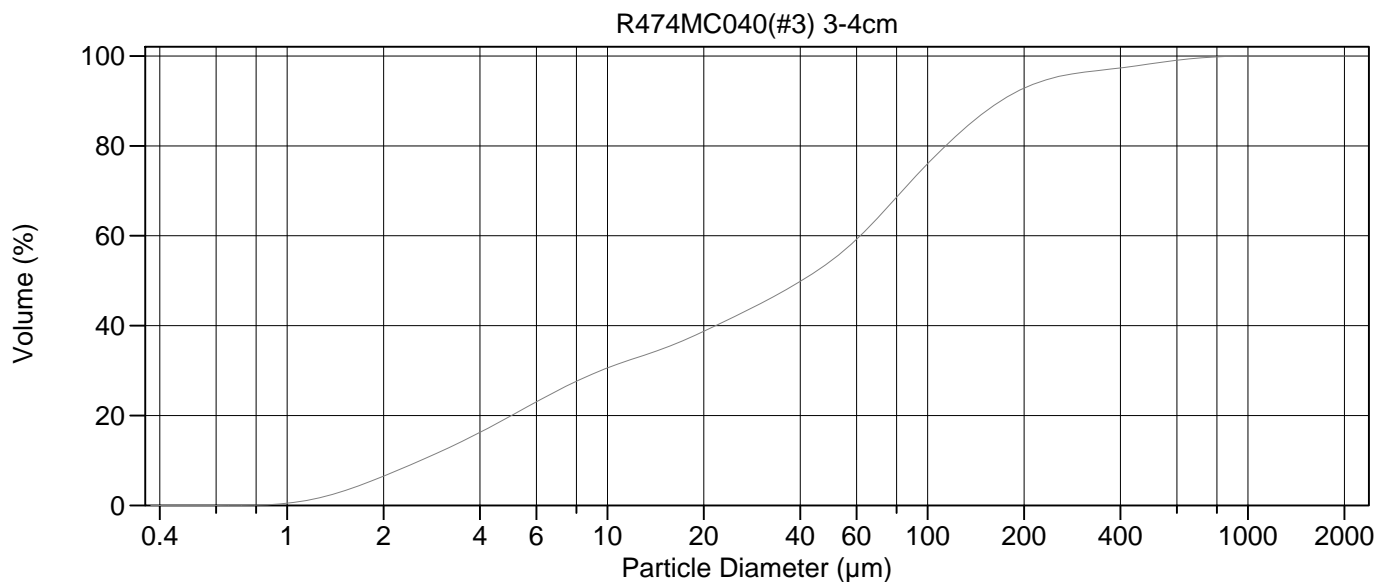
Calculations from 0.375 µm to 2000 µm

Volume	100.0%		
Mean:	72.16 µm	95% Conf. Limits:	0-276.2 µm
Median:	41.31 µm	S.D.:	104.1 µm
D(3,2):	8.420 µm	Variance:	10833 µm ²
Mean/Median Ratio:	1.747	C.V.:	144%
Mode:	80.08 µm	Skewness:	3.470 Right skewed
d ₁₀ :	2.630 µm	Kurtosis:	15.98 Leptokurtic
d ₅₀ :	41.31 µm		
d ₉₀ :	160.8 µm		
Specific Surf. Area	7126 cm ² /ml		

% <	10	25	50	75	90
Size µm	2.630	7.286	41.31	94.58	160.8

28.\$02

Particle Diameter µm	Volume % <	Particle Diameter µm	Volume % <
2.000	6.63	1000	100.0
5.000	19.1	2000	100
10.00	29.3		
15.00	33.8		
20.00	37.8		
50.00	54.2		
60.00	59.3		
63.00	60.9		
70.00	64.5		
75.00	66.9		
90.00	73.3		
125.0	83.7		
200.0	93.5		
250.0	95.5		
400.0	97.5		
500.0	98.4		



Volume Statistics (Arithmetic) 29.\$02

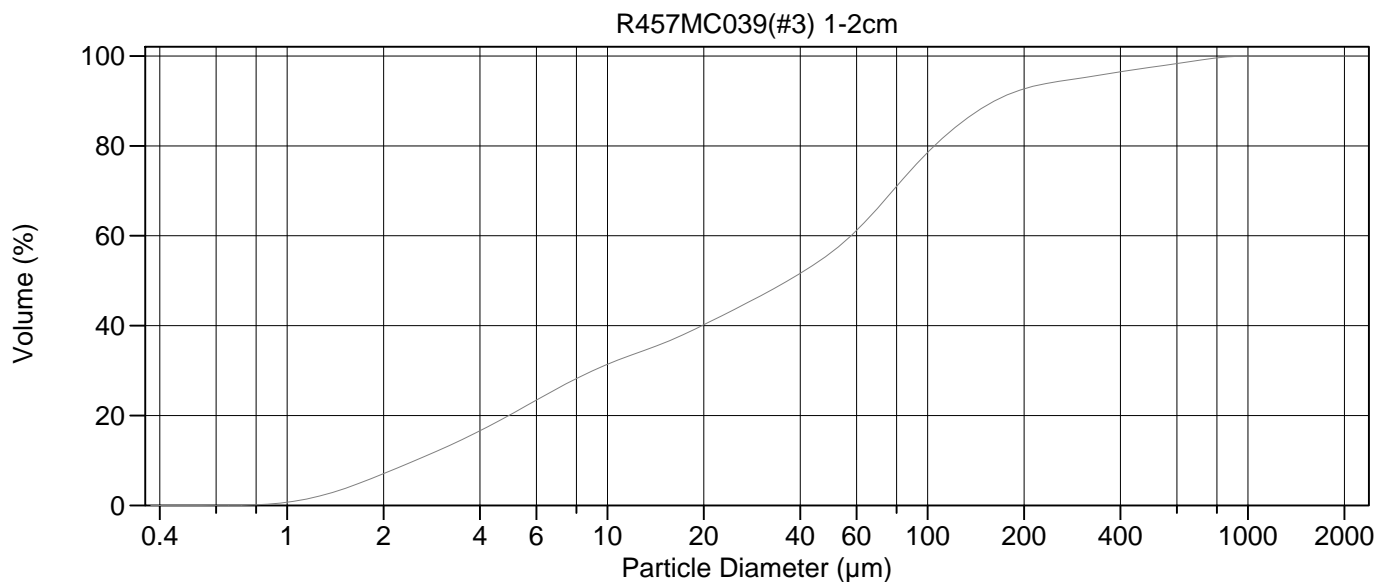
Calculations from 0.375 µm to 2000 µm

Volume	100.0%		
Mean:	73.88 µm	95% Conf. Limits:	0-286.0 µm
Median:	40.33 µm	S.D.:	108.2 µm
D(3,2):	8.339 µm	Variance:	11709 µm ²
Mean/Median Ratio:	1.832	C.V.:	146%
Mode:	80.08 µm	Skewness:	3.449 Right skewed
d ₁₀ :	2.611 µm	Kurtosis:	15.79 Leptokurtic
d ₅₀ :	40.33 µm		
d ₉₀ :	169.4 µm		
Specific Surf. Area	7195 cm ² /ml		

% <	10	25	50	75	90
Size µm	2.611	6.753	40.33	96.90	169.4

29.\$02

Particle Diameter µm	Volume % <	Particle Diameter µm	Volume % <
2.000	6.51	1000	100.0
5.000	19.9	2000	100
10.00	30.6		
15.00	34.9		
20.00	38.7		
50.00	54.5		
60.00	59.2		
63.00	60.7		
70.00	64.1		
75.00	66.4		
90.00	72.6		
125.0	82.7		
200.0	92.8		
250.0	95.2		
400.0	97.4		
500.0	98.3		



Volume Statistics (Arithmetic) 3.\$02

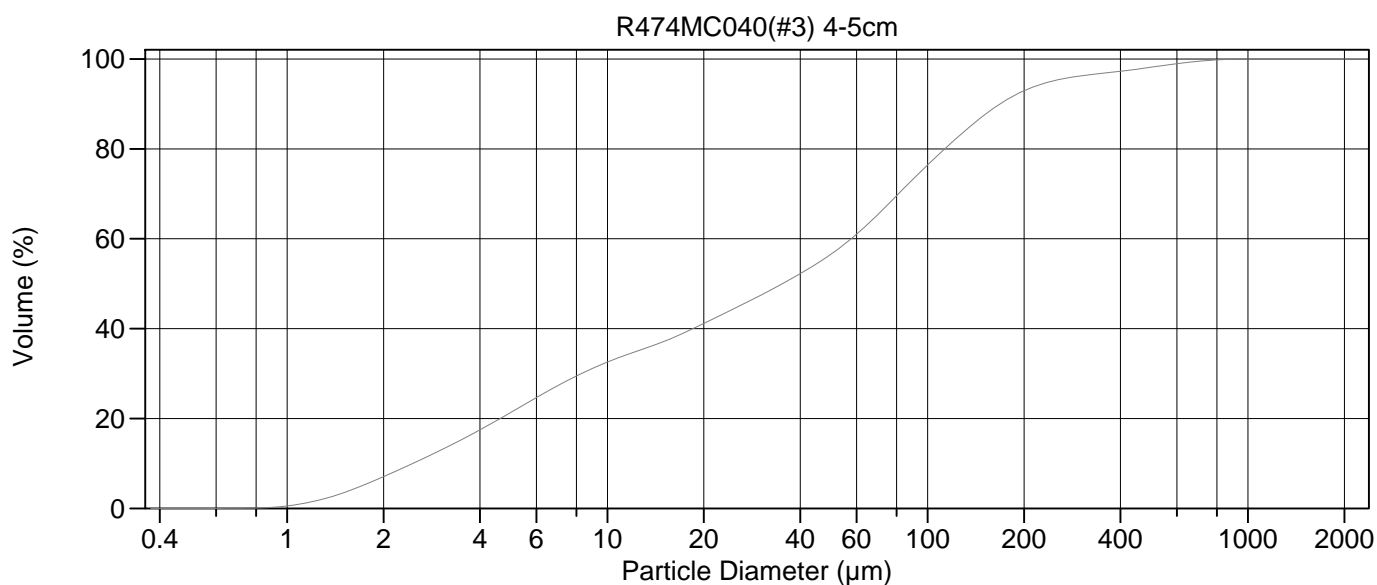
Calculations from 0.375 µm to 2000 µm

Volume	100.0%		
Mean:	75.48 µm	95% Conf. Limits:	0-318.0 µm
Median:	36.60 µm	S.D.:	123.7 µm
D(3,2):	7.962 µm	Variance:	15308 µm ²
Mean/Median Ratio:	2.062	C.V.:	164%
Mode:	80.08 µm	Skewness:	3.628 Right skewed
d ₁₀ :	2.512 µm	Kurtosis:	15.64 Leptokurtic
d ₅₀ :	36.60 µm		
d ₉₀ :	161.8 µm		
Specific Surf. Area	7536 cm ² /ml		

% <	10	25	50	75	90
Size µm	2.512	6.581	36.60	89.69	161.8

3.\$02

Particle Diameter µm	Volume % <	Particle Diameter µm	Volume % <
2.000	7.07	1000	100.0
5.000	20.3	2000	100
10.00	31.4		
15.00	36.1		
20.00	40.2		
50.00	56.3		
60.00	61.2		
63.00	62.7		
70.00	66.3		
75.00	68.7		
90.00	75.1		
125.0	84.7		
200.0	92.7		
250.0	94.2		
400.0	96.5		
500.0	97.5		



Volume Statistics (Arithmetic) 30.\$02

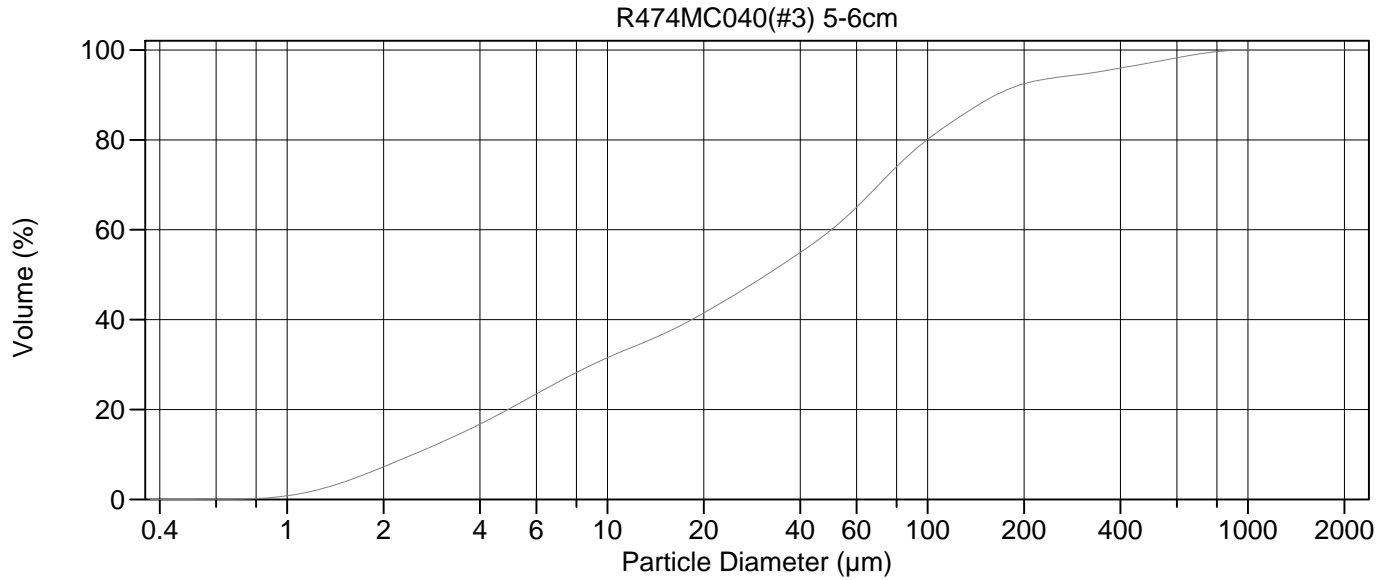
Calculations from 0.375 µm to 2000 µm

Volume	100.0%		
Mean:	72.39 µm	95% Conf. Limits:	0-287.6 µm
Median:	35.22 µm	S.D.:	109.8 µm
D(3,2):	7.831 µm	Variance:	12056 µm ²
Mean/Median Ratio:	2.056	C.V.:	152%
Mode:	80.08 µm	Skewness:	3.458 Right skewed
d ₁₀ :	2.467 µm	Kurtosis:	15.53 Leptokurtic
d ₅₀ :	35.22 µm		
d ₉₀ :	168.5 µm		
Specific Surf. Area	7662 cm ² /ml		

% <	10	25	50	75	90
Size µm	2.467	6.116	35.22	95.37	168.5

30.\$02

Particle Diameter µm	Volume % <	Particle Diameter µm	Volume % <
2.000	7.07	1000	100.0
5.000	21.4	2000	100
10.00	32.6		
15.00	37.1		
20.00	41.2		
50.00	56.6		
60.00	61.0		
63.00	62.3		
70.00	65.4		
75.00	67.6		
90.00	73.2		
125.0	82.8		
200.0	92.9		
250.0	95.2		
400.0	97.3		
500.0	98.2		



Volume Statistics (Arithmetic) 31.\$02

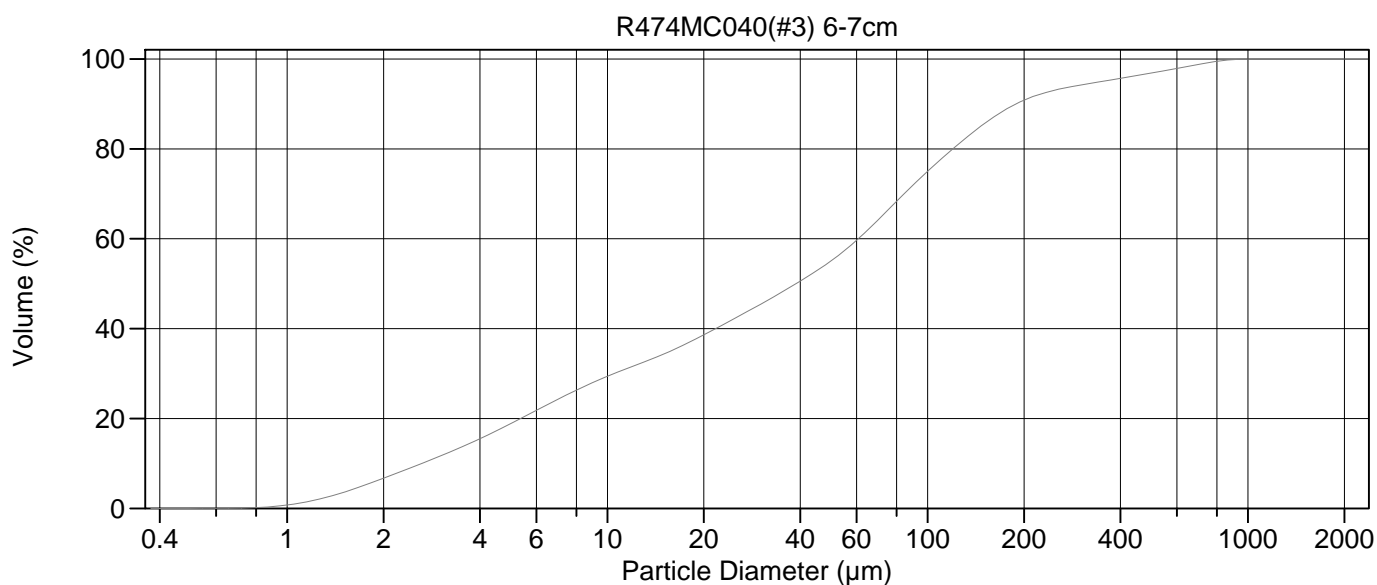
Calculations from 0.375 µm to 2000 µm

Volume	100.0%		
Mean:	74.24 µm	95% Conf. Limits:	0-322.8 µm
Median:	31.47 µm	S.D.:	126.8 µm
D(3,2):	7.782 µm	Variance:	16077 µm ²
Mean/Median Ratio:	2.359	C.V.:	171%
Mode:	66.44 µm	Skewness:	3.502 Right skewed
d ₁₀ :	2.476 µm	Kurtosis:	13.97 Leptokurtic
d ₅₀ :	31.47 µm		
d ₉₀ :	163.5 µm		
Specific Surf. Area	7710 cm ² /ml		

% <	10	25	50	75	90
Size µm	2.476	6.573	31.47	82.55	163.5

31.\$02

Particle Diameter µm	Volume % <	Particle Diameter µm	Volume % <
2.000	7.25	1000	100.0
5.000	20.3	2000	100
10.00	31.5		
15.00	36.8		
20.00	41.5		
50.00	60.0		
60.00	65.0		
63.00	66.5		
70.00	69.9		
75.00	72.1		
90.00	77.4		
125.0	85.0		
200.0	92.5		
250.0	93.8		
400.0	96.0		
500.0	97.2		



Volume Statistics (Arithmetic) 32.\$02

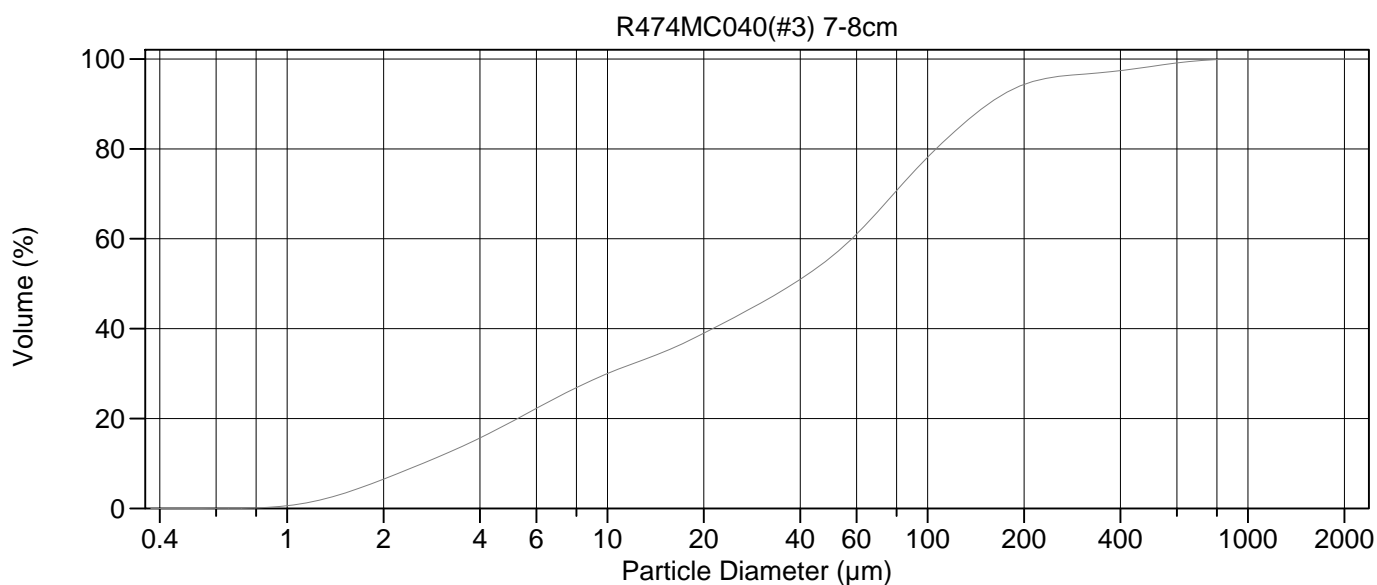
Calculations from 0.375 µm to 2000 µm

Volume	100.0%		
Mean:	84.16 µm	95% Conf. Limits:	0-348.5 µm
Median:	38.81 µm	S.D.:	134.9 µm
D(3,2):	8.351 µm	Variance:	18193 µm ²
Mean/Median Ratio:	2.169	C.V.:	160%
Mode:	72.95 µm	Skewness:	3.296 Right skewed
d ₁₀ :	2.632 µm	Kurtosis:	12.57 Leptokurtic
d ₅₀ :	38.81 µm		
d ₉₀ :	188.9 µm		
Specific Surf. Area	7185 cm ² /ml		

% <	10	25	50	75	90
Size µm	2.632	7.339	38.81	99.88	188.9

32.\$02

Particle Diameter µm	Volume % <	Particle Diameter µm	Volume % <
2.000	6.72	1000	100.0
5.000	18.9	2000	100
10.00	29.4		
15.00	34.3		
20.00	38.6		
50.00	55.1		
60.00	59.7		
63.00	61.0		
70.00	64.2		
75.00	66.3		
90.00	71.9		
125.0	81.1		
200.0	90.8		
250.0	93.1		
400.0	95.7		
500.0	96.9		



Volume Statistics (Arithmetic) 33.\$02

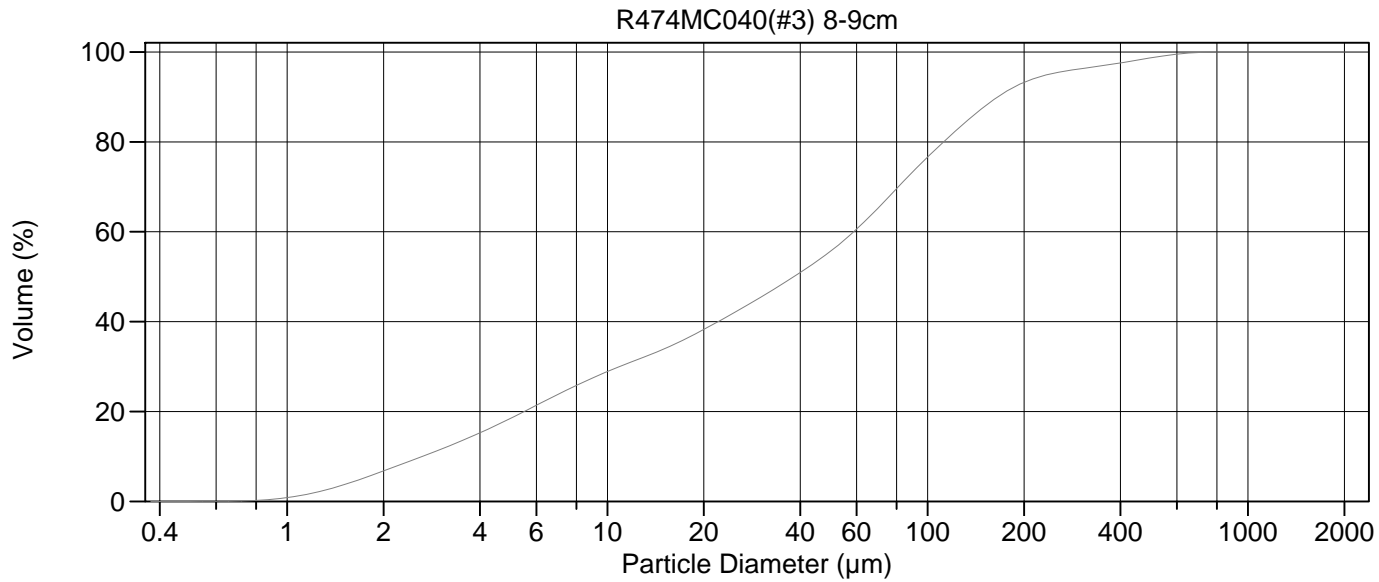
Calculations from 0.375 µm to 2000 µm

Volume	100.0%		
Mean:	69.52 µm	95% Conf. Limits:	0-272.1 µm
Median:	38.08 µm	S.D.:	103.4 µm
D(3,2):	8.365 µm	Variance:	10684 µm ²
Mean/Median Ratio:	1.826	C.V.:	149%
Mode:	72.95 µm	Skewness:	3.627 Right skewed
d ₁₀ :	2.649 µm	Kurtosis:	17.08 Leptokurtic
d ₅₀ :	38.08 µm		
d ₉₀ :	155.1 µm		
Specific Surf. Area	7173 cm ² /ml		

% <	10	25	50	75	90
Size µm	2.649	7.103	38.08	90.69	155.1

33.\$02

Particle Diameter µm	Volume % <	Particle Diameter µm	Volume % <
2.000	6.52	1000	100.0
5.000	19.2	2000	100
10.00	30.0		
15.00	34.8		
20.00	39.0		
50.00	56.0		
60.00	61.0		
63.00	62.6		
70.00	66.1		
75.00	68.5		
90.00	74.7		
125.0	84.7		
200.0	94.3		
250.0	96.0		
400.0	97.4		
500.0	98.4		



Volume Statistics (Arithmetic)

34#.\$02

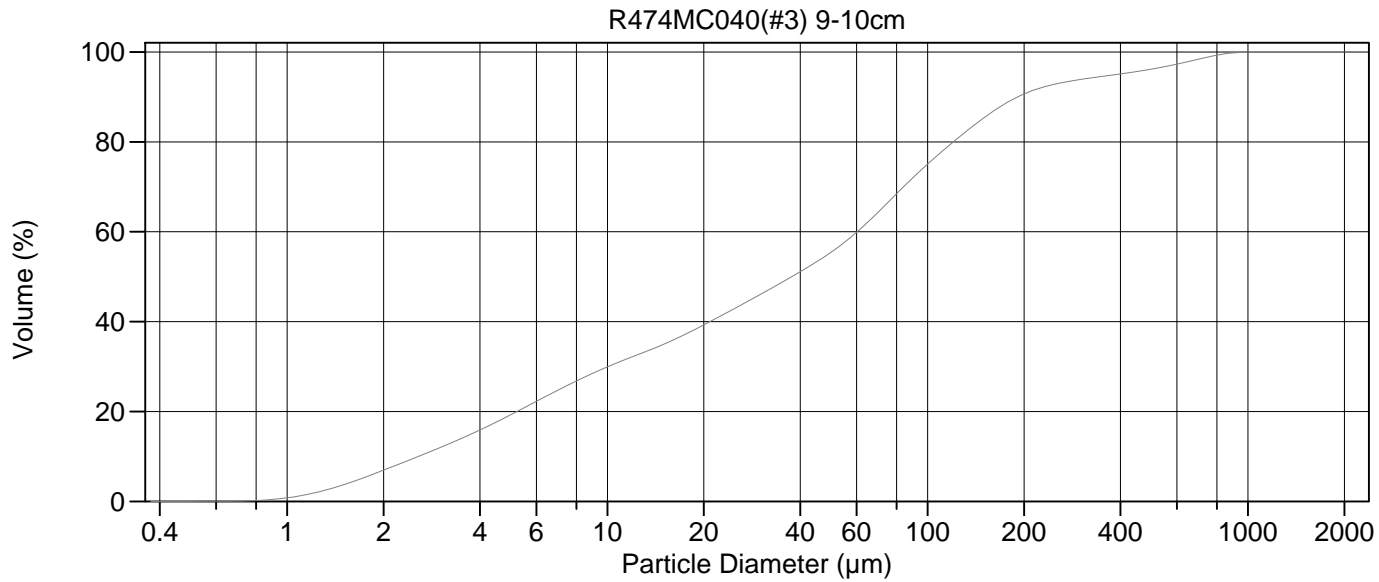
Calculations from 0.375 µm to 2000 µm

Volume	100.0%		
Mean:	71.09 µm	95% Conf. Limits:	0-264.9 µm
Median:	38.20 µm	S.D.:	98.90 µm
D(3,2):	8.344 µm	Variance:	9782 µm ²
Mean/Median Ratio:	1.861	C.V.:	139%
Mode:	80.08 µm	Skewness:	3.009 Right skewed
d ₁₀ :	2.642 µm	Kurtosis:	11.61 Leptokurtic
d ₅₀ :	38.20 µm		
d ₉₀ :	165.7 µm		
Specific Surf. Area	7190 cm ² /ml		

% <	10	25	50	75	90
Size µm	2.642	7.584	38.20	94.84	165.7

34#.\$02

Particle Diameter µm	Volume % <	Particle Diameter µm	Volume % <
2.000	6.78	1000	100
5.000	18.5	2000	100
10.00	28.9		
15.00	33.9		
20.00	38.3		
50.00	55.8		
60.00	60.6		
63.00	62.0		
70.00	65.3		
75.00	67.5		
90.00	73.4		
125.0	83.0		
200.0	93.2		
250.0	95.3		
400.0	97.6		
500.0	98.7		



Volume Statistics (Arithmetic) 35.\$02

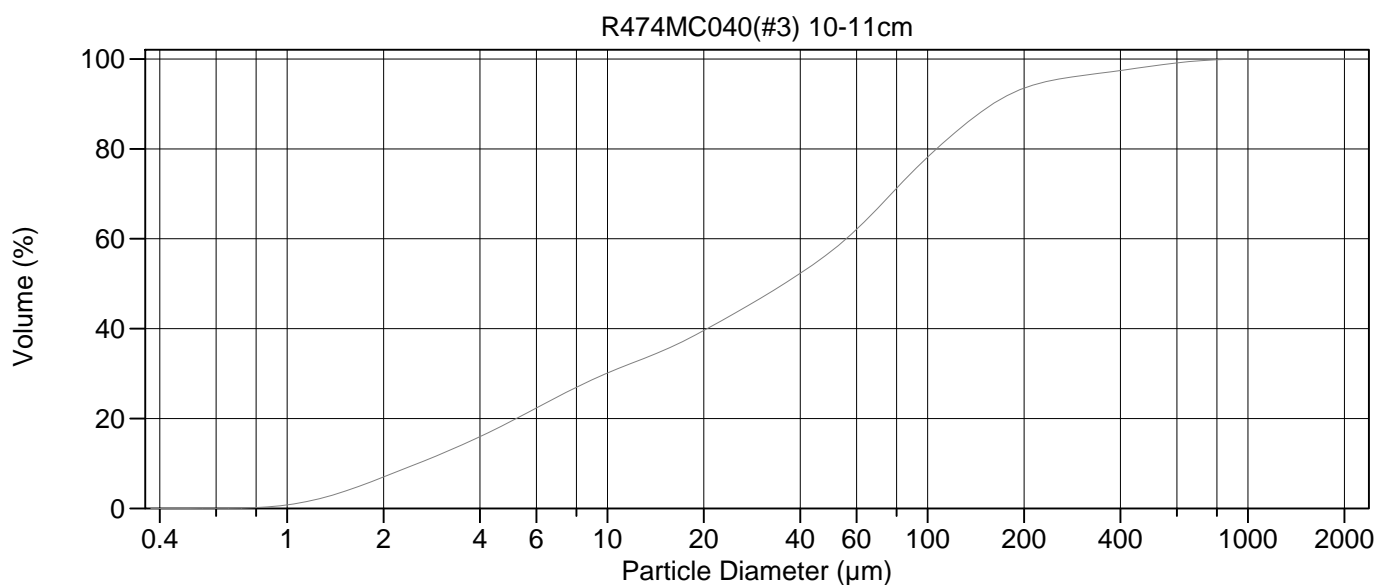
Calculations from 0.375 µm to 2000 µm

Volume	100.0%		
Mean:	86.82 µm	95% Conf. Limits:	0-369.1 µm
Median:	37.64 µm	S.D.:	144.0 µm
D(3,2):	8.173 µm	Variance:	20747 µm ²
Mean/Median Ratio:	2.307	C.V.:	166%
Mode:	72.95 µm	Skewness:	3.270 Right skewed
d ₁₀ :	2.569 µm	Kurtosis:	11.82 Leptokurtic
d ₅₀ :	37.64 µm		
d ₉₀ :	191.1 µm		
Specific Surf. Area	7342 cm ² /ml		

% <	10	25	50	75	90
Size µm	2.569	7.125	37.64	99.73	191.1

35.\$02

Particle Diameter µm	Volume % <	Particle Diameter µm	Volume % <
2.000	6.95	1000	100.0
5.000	19.3	2000	100
10.00	29.9		
15.00	35.0		
20.00	39.3		
50.00	55.5		
60.00	59.9		
63.00	61.2		
70.00	64.3		
75.00	66.5		
90.00	72.0		
125.0	81.0		
200.0	90.6		
250.0	92.9		
400.0	95.1		
500.0	96.2		



Volume Statistics (Arithmetic) 36.\$02

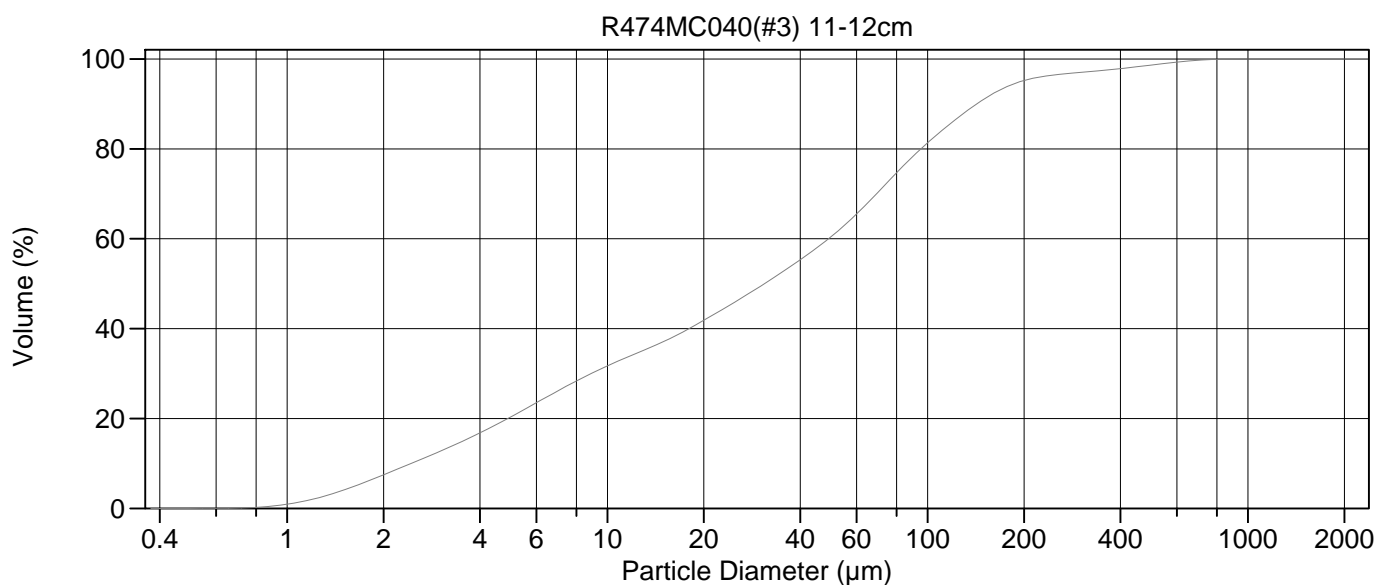
Calculations from 0.375 µm to 2000 µm

Volume	100.0%		
Mean:	70.04 µm	95% Conf. Limits:	0-276.6 µm
Median:	35.66 µm	S.D.:	105.4 µm
D(3,2):	8.103 µm	Variance:	11102 µm ²
Mean/Median Ratio:	1.964	C.V.:	150%
Mode:	72.95 µm	Skewness:	3.533 Right skewed
d ₁₀ :	2.558 µm	Kurtosis:	16.30 Leptokurtic
d ₅₀ :	35.66 µm		
d ₉₀ :	159.8 µm		
Specific Surf. Area	7405 cm ² /ml		

% <	10	25	50	75	90
Size µm	2.558	7.071	35.66	90.01	159.8

36.\$02

Particle Diameter µm	Volume % <	Particle Diameter µm	Volume % <
2.000	6.99	1000	100.0
5.000	19.4	2000	100
10.00	30.1		
15.00	35.2		
20.00	39.6		
50.00	57.2		
60.00	62.1		
63.00	63.6		
70.00	66.9		
75.00	69.1		
90.00	75.0		
125.0	84.3		
200.0	93.5		
250.0	95.4		
400.0	97.4		
500.0	98.4		



Volume Statistics (Arithmetic) 37.\$02

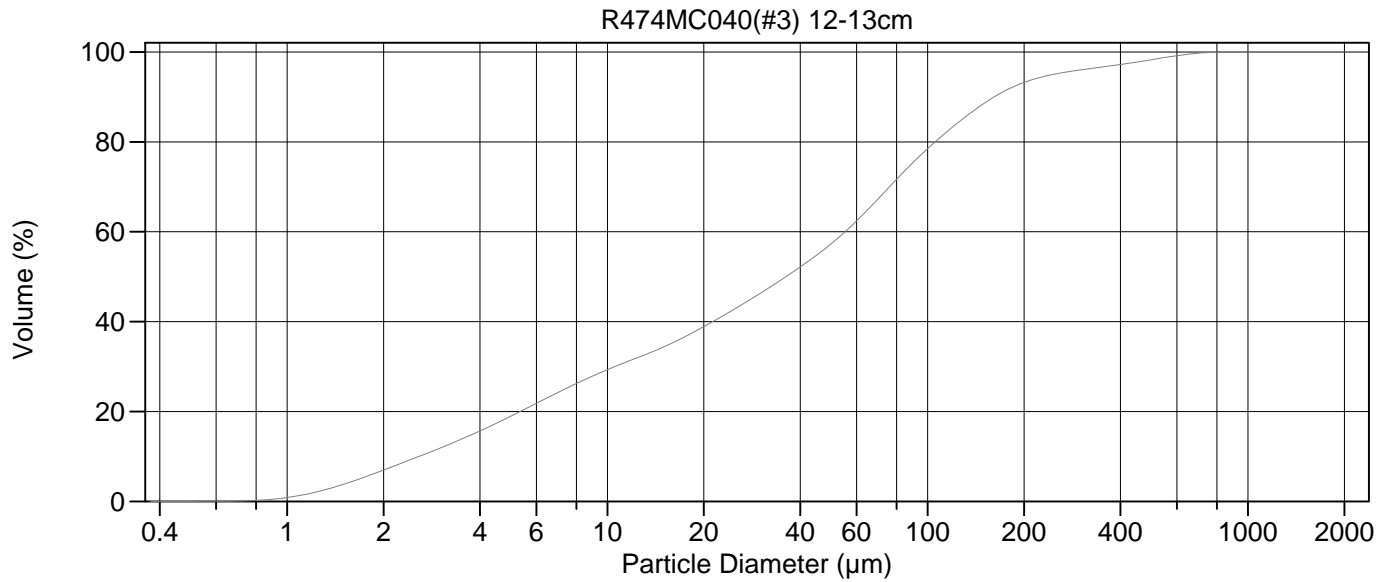
Calculations from 0.375 µm to 2000 µm

Volume	100.0%	95% Conf. Limits:	0-250.0 µm
Mean:	62.21 µm	S.D.:	95.82 µm
Median:	30.94 µm	Variance:	9182 µm ²
D(3,2):	7.644 µm	C.V.:	154%
Mean/Median Ratio:	2.011	Skewness:	3.823 Right skewed
Mode:	72.95 µm	Kurtosis:	19.16 Leptokurtic
d ₁₀ :	2.439 µm		
d ₅₀ :	30.94 µm		
d ₉₀ :	142.4 µm		
Specific Surf. Area	7850 cm ² /ml		

% <	10	25	50	75	90
Size µm	2.439	6.549	30.94	80.78	142.4

37.\$02

Particle Diameter µm	Volume % <	Particle Diameter µm	Volume % <
2.000	7.48	1000	100.0
5.000	20.4	2000	100
10.00	31.7		
15.00	37.1		
20.00	41.8		
50.00	60.5		
60.00	65.5		
63.00	67.0		
70.00	70.4		
75.00	72.6		
90.00	78.3		
125.0	87.1		
200.0	95.2		
250.0	96.5		
400.0	97.9		
500.0	98.7		



Volume Statistics (Arithmetic) 38.\$02

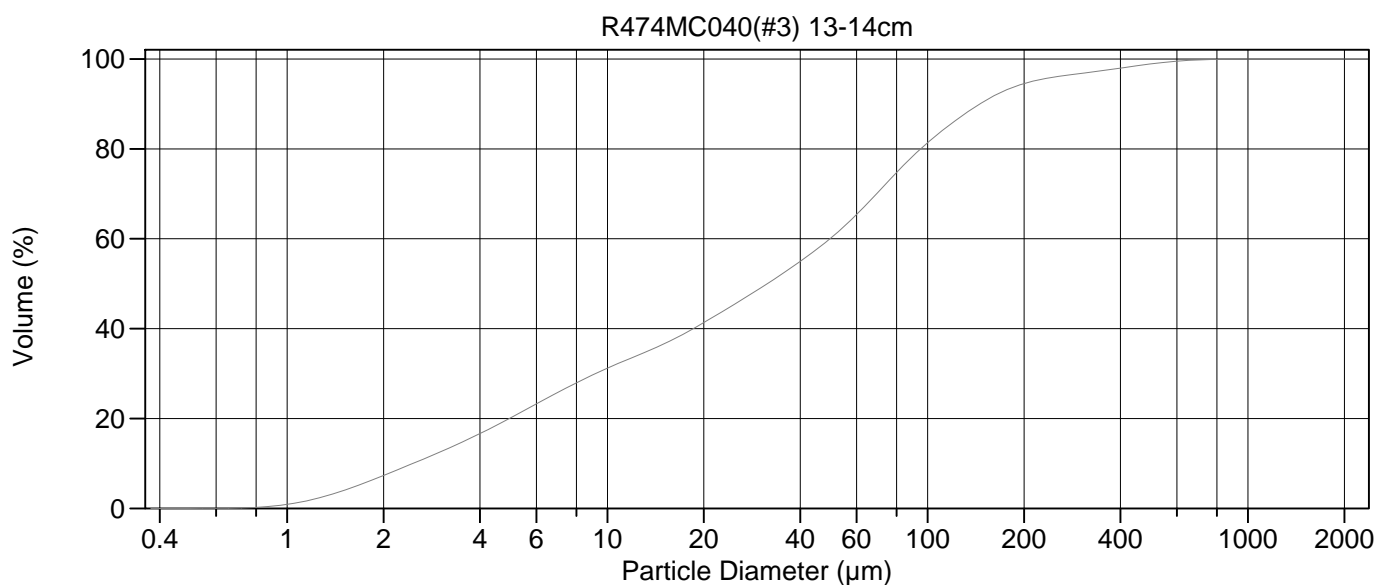
Calculations from 0.375 µm to 2000 µm

Volume	100.0%		
Mean:	70.51 µm	95% Conf. Limits:	0-276.7 µm
Median:	36.09 µm	S.D.:	105.2 µm
D(3,2):	8.167 µm	Variance:	11061 µm ²
Mean/Median Ratio:	1.954	C.V.:	149%
Mode:	72.95 µm	Skewness:	3.315 Right skewed
d ₁₀ :	2.579 µm	Kurtosis:	13.62 Leptokurtic
d ₅₀ :	36.09 µm		
d ₉₀ :	160.9 µm		
Specific Surf. Area	7347 cm ² /ml		

% <	10	25	50	75	90
Size µm	2.579	7.361	36.09	88.83	160.9

38.\$02

Particle Diameter µm	Volume % <	Particle Diameter µm	Volume % <
2.000	6.97	1000	100.0
5.000	19.0	2000	100
10.00	29.3		
15.00	34.4		
20.00	38.9		
50.00	57.3		
60.00	62.4		
63.00	63.9		
70.00	67.3		
75.00	69.6		
90.00	75.4		
125.0	84.4		
200.0	93.2		
250.0	95.1		
400.0	97.2		
500.0	98.3		



Volume Statistics (Arithmetic) 39.\$02

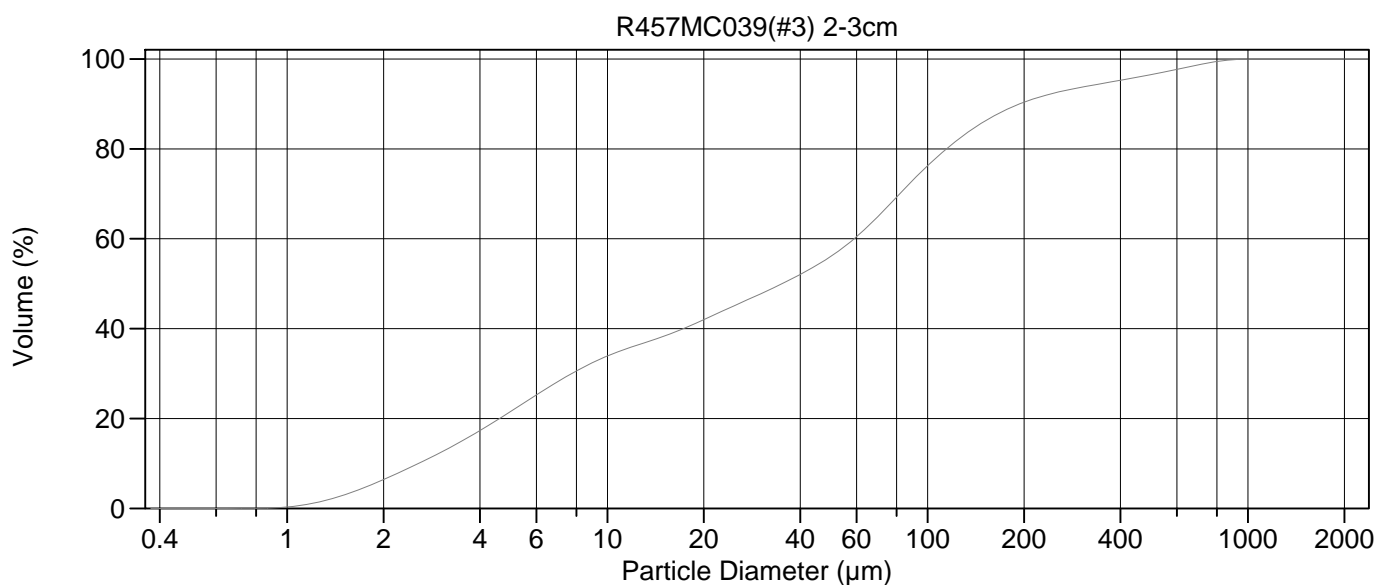
Calculations from 0.375 µm to 2000 µm

Volume	100.0%		
Mean:	62.81 µm	95% Conf. Limits:	0-247.6 µm
Median:	31.58 µm	S.D.:	94.29 µm
D(3,2):	7.741 µm	Variance:	8891 µm ²
Mean/Median Ratio:	1.989	C.V.:	150%
Mode:	72.95 µm	Skewness:	3.585 Right skewed
d ₁₀ :	2.471 µm	Kurtosis:	17.27 Leptokurtic
d ₅₀ :	31.58 µm		
d ₉₀ :	145.5 µm		
Specific Surf. Area	7751 cm ² /ml		

% <	10	25	50	75	90
Size µm	2.471	6.665	31.58	80.64	145.5

39.\$02

Particle Diameter µm	Volume % <	Particle Diameter µm	Volume % <
2.000	7.33	1000	100.0
5.000	20.2	2000	100
10.00	31.2		
15.00	36.6		
20.00	41.3		
50.00	60.2		
60.00	65.4		
63.00	66.9		
70.00	70.4		
75.00	72.7		
90.00	78.4		
125.0	86.8		
200.0	94.5		
250.0	96.0		
400.0	98.0		
500.0	98.9		



Volume Statistics (Arithmetic) 4.\$02

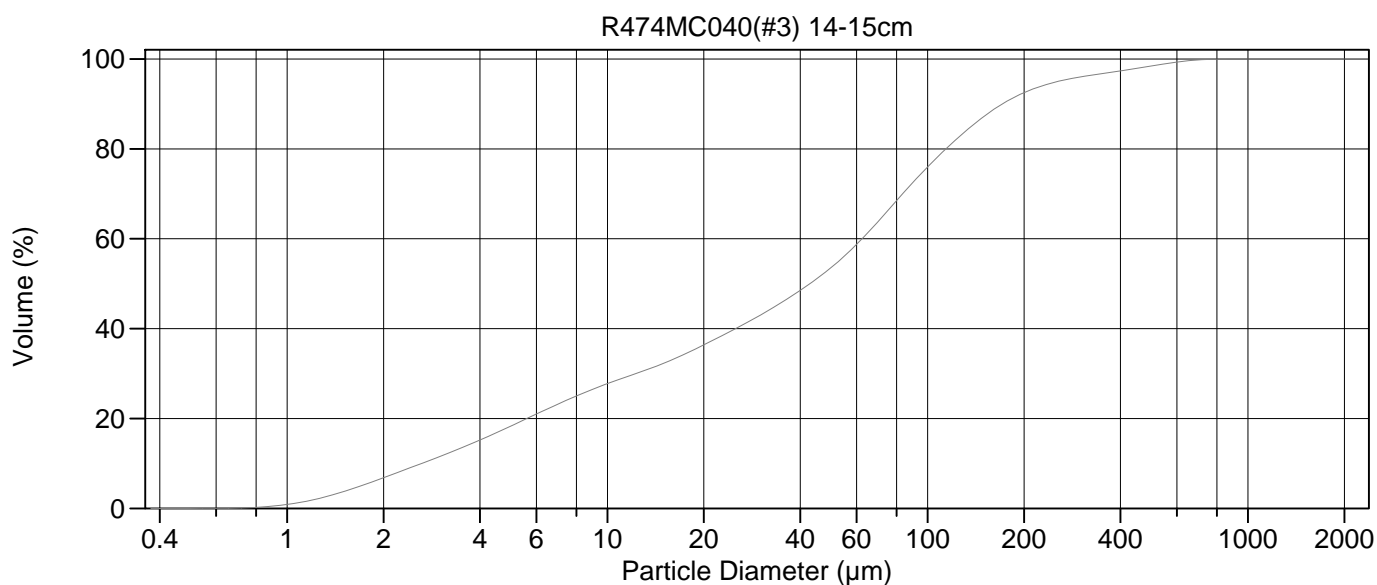
Calculations from 0.375 µm to 2000 µm

Volume	100.0%		
Mean:	83.91 µm	95% Conf. Limits:	0-358.1 µm
Median:	35.10 µm	S.D.:	139.9 µm
D(3,2):	7.993 µm	Variance:	19564 µm ²
Mean/Median Ratio:	2.391	C.V.:	167%
Mode:	80.08 µm	Skewness:	3.219 Right skewed
d ₁₀ :	2.572 µm	Kurtosis:	11.62 Leptokurtic
d ₅₀ :	35.10 µm		
d ₉₀ :	193.4 µm		
Specific Surf. Area	7506 cm ² /ml		

% <	10	25	50	75	90
Size µm	2.572	5.930	35.10	95.92	193.4

4.\$02

Particle Diameter µm	Volume % <	Particle Diameter µm	Volume % <
2.000	6.43	1000	100.0
5.000	21.6	2000	100
10.00	33.9		
15.00	38.3		
20.00	42.0		
50.00	56.1		
60.00	60.5		
63.00	61.8		
70.00	65.0		
75.00	67.2		
90.00	73.1		
125.0	82.2		
200.0	90.4		
250.0	92.5		
400.0	95.3		
500.0	96.5		



Volume Statistics (Arithmetic) 40.\$02

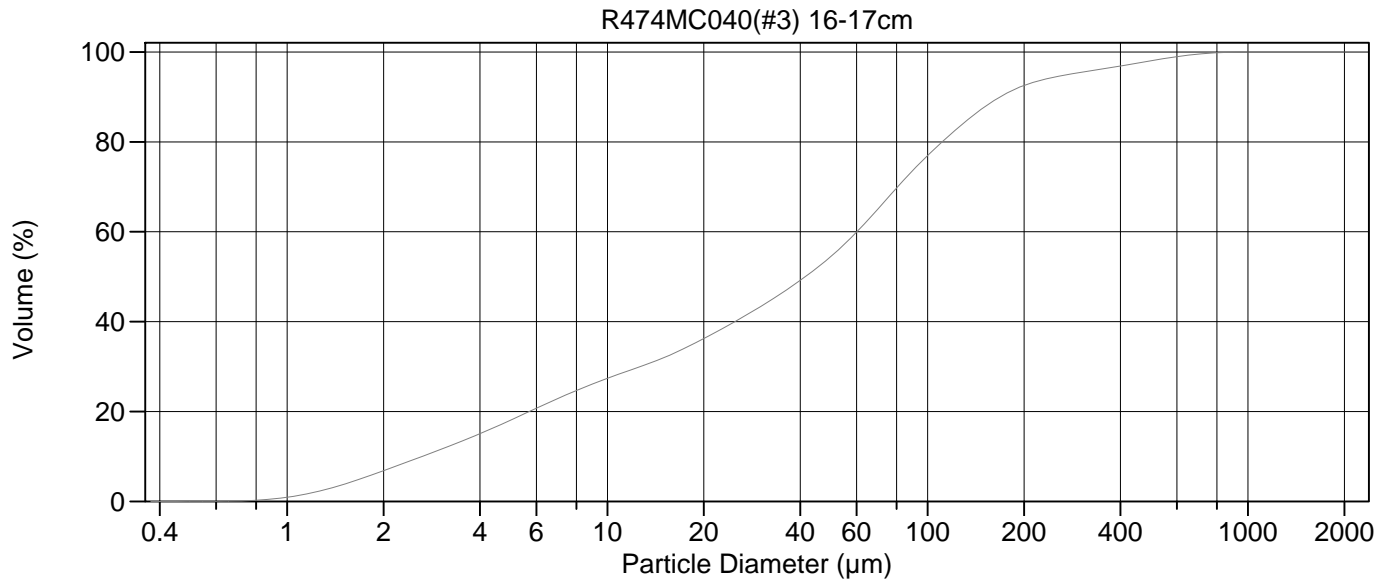
Calculations from 0.375 μm to 2000 μm

Volume	100.0%		
Mean:	74.62 μm	95% Conf. Limits:	0-277.8 μm
Median:	42.88 μm	S.D.:	103.7 μm
D(3,2):	8.477 μm	Variance:	10750 μm^2
Mean/Median Ratio:	1.740	C.V.:	139%
Mode:	72.95 μm	Skewness:	3.066 Right skewed
d ₁₀ :	2.628 μm	Kurtosis:	12.03 Leptokurtic
d ₅₀ :	42.88 μm		
d ₉₀ :	171.2 μm		
Specific Surf. Area	7078 cm^2/ml		

% <	10	25	50	75	90
Size μm	2.628	7.999	42.88	97.01	171.2

40.\$02

Particle Diameter μm	Volume % <	Particle Diameter μm	Volume % <
2.000	6.84	1000	100.0
5.000	18.3	2000	100
10.00	27.8		
15.00	32.3		
20.00	36.4		
50.00	53.6		
60.00	58.7		
63.00	60.3		
70.00	63.8		
75.00	66.2		
90.00	72.5		
125.0	82.6		
200.0	92.5		
250.0	94.8		
400.0	97.3		
500.0	98.5		



Volume Statistics (Arithmetic) 41.\$02

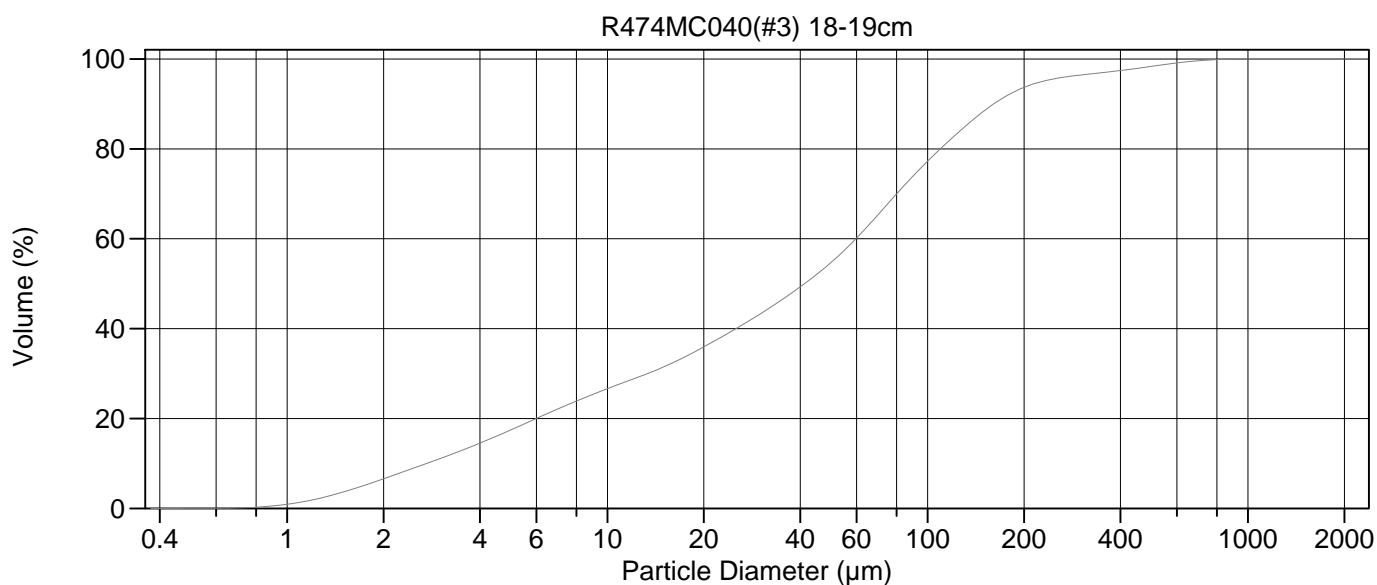
Calculations from 0.375 µm to 2000 µm

Volume	100.0%		
Mean:	75.75 µm	95% Conf. Limits:	0-295.5 µm
Median:	41.49 µm	S.D.:	112.1 µm
D(3,2):	8.481 µm	Variance:	12572 µm ²
Mean/Median Ratio:	1.826	C.V.:	148%
Mode:	72.95 µm	Skewness:	3.356 Right skewed
d ₁₀ :	2.639 µm	Kurtosis:	14.13 Leptokurtic
d ₅₀ :	41.49 µm		
d ₉₀ :	168.5 µm		
Specific Surf. Area	7075 cm ² /ml		

% <	10	25	50	75	90
Size µm	2.639	8.211	41.49	93.78	168.5

41.\$02

Particle Diameter µm	Volume % <	Particle Diameter µm	Volume % <
2.000	6.84	1000	100.0
5.000	18.1	2000	100
10.00	27.4		
15.00	32.0		
20.00	36.2		
50.00	54.6		
60.00	59.9		
63.00	61.5		
70.00	65.1		
75.00	67.5		
90.00	73.7		
125.0	83.2		
200.0	92.5		
250.0	94.4		
400.0	96.9		
500.0	98.1		



Volume Statistics (Arithmetic) 42.\$02

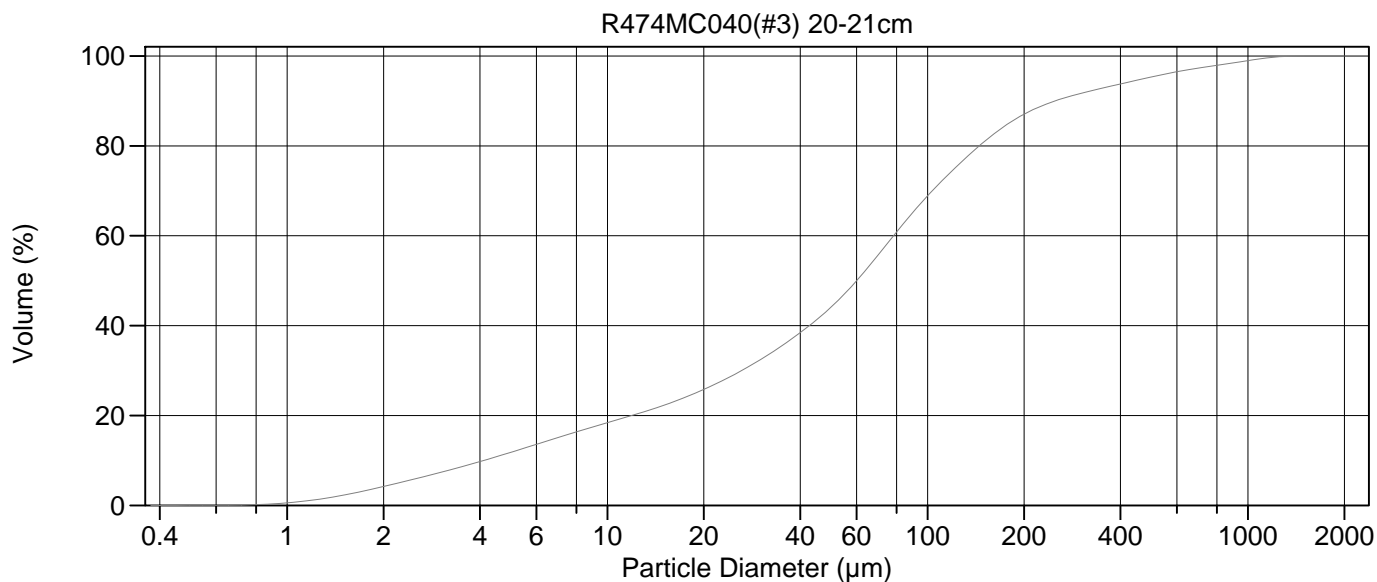
Calculations from 0.375 µm to 2000 µm

Volume	100.0%		
Mean:	72.30 µm	95% Conf. Limits:	0-276.8 µm
Median:	41.26 µm	S.D.:	104.3 µm
D(3,2):	8.674 µm	Variance:	10889 µm ²
Mean/Median Ratio:	1.752	C.V.:	144%
Mode:	72.95 µm	Skewness:	3.541 Right skewed
d ₁₀ :	2.728 µm	Kurtosis:	16.44 Leptokurtic
d ₅₀ :	41.26 µm		
d ₉₀ :	160.7 µm		
Specific Surf. Area	6917 cm ² /ml		

% <	10	25	50	75	90
Size µm	2.728	8.733	41.26	92.96	160.7

42.\$02

Particle Diameter µm	Volume % <	Particle Diameter µm	Volume % <
2.000	6.60	1000	100.0
5.000	17.5	2000	100
10.00	26.7		
15.00	31.5		
20.00	35.9		
50.00	54.7		
60.00	60.1		
63.00	61.7		
70.00	65.4		
75.00	67.8		
90.00	73.9		
125.0	83.7		
200.0	93.7		
250.0	95.6		
400.0	97.4		
500.0	98.4		



Volume Statistics (Arithmetic) 43.\$02

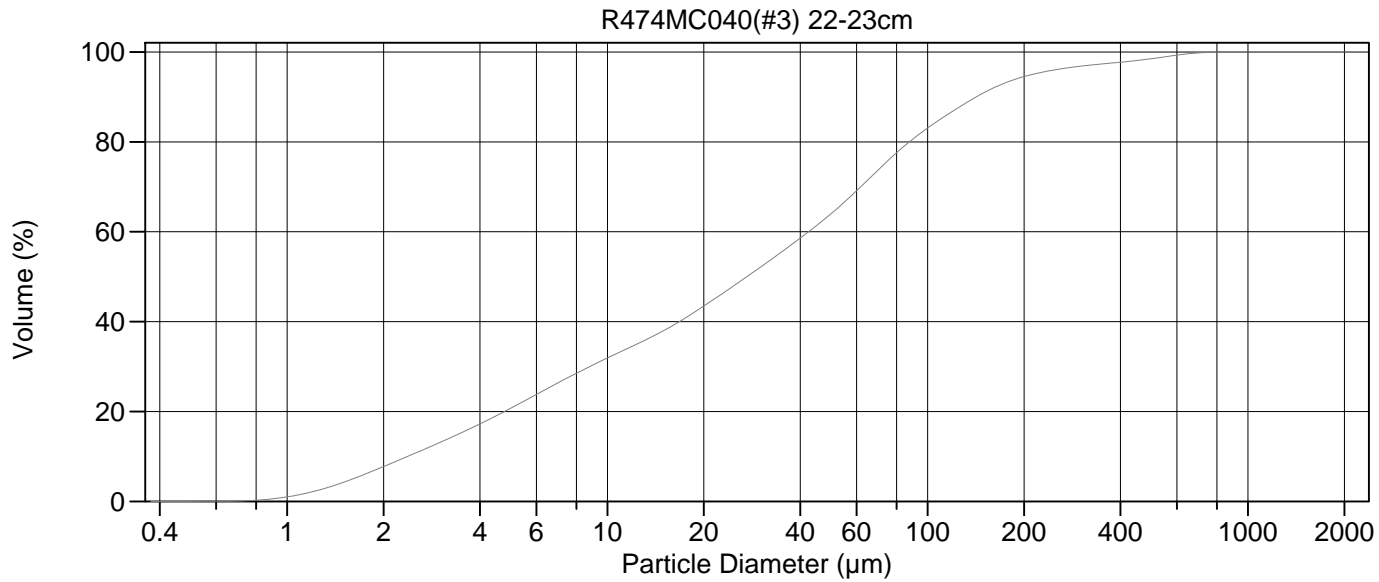
Calculations from 0.375 µm to 2000 µm

Volume	100.0%		
Mean:	114.1 µm	95% Conf. Limits:	0-469.8 µm
Median:	60.04 µm	S.D.:	181.5 µm
D(3,2):	12.24 µm	Variance:	32939 µm ²
Mean/Median Ratio:	1.901	C.V.:	159%
Mode:	72.95 µm	Skewness:	3.511 Right skewed
d ₁₀ :	4.112 µm	Kurtosis:	14.32 Leptokurtic
d ₅₀ :	60.04 µm		
d ₉₀ :	249.9 µm		
Specific Surf. Area	4900 cm ² /ml		

% <	10	25	50	75	90
Size µm	4.112	18.85	60.04	121.4	249.9

43.\$02

Particle Diameter µm	Volume % <	Particle Diameter µm	Volume % <
2.000	4.21	1000	99.0
5.000	11.8	2000	100
10.00	18.4		
15.00	22.3		
20.00	25.8		
50.00	44.2		
60.00	50.0		
63.00	51.7		
70.00	55.7		
75.00	58.4		
90.00	65.2		
125.0	75.8		
200.0	87.0		
250.0	90.0		
400.0	93.8		
500.0	95.3		



Volume Statistics (Arithmetic) 44.\$02

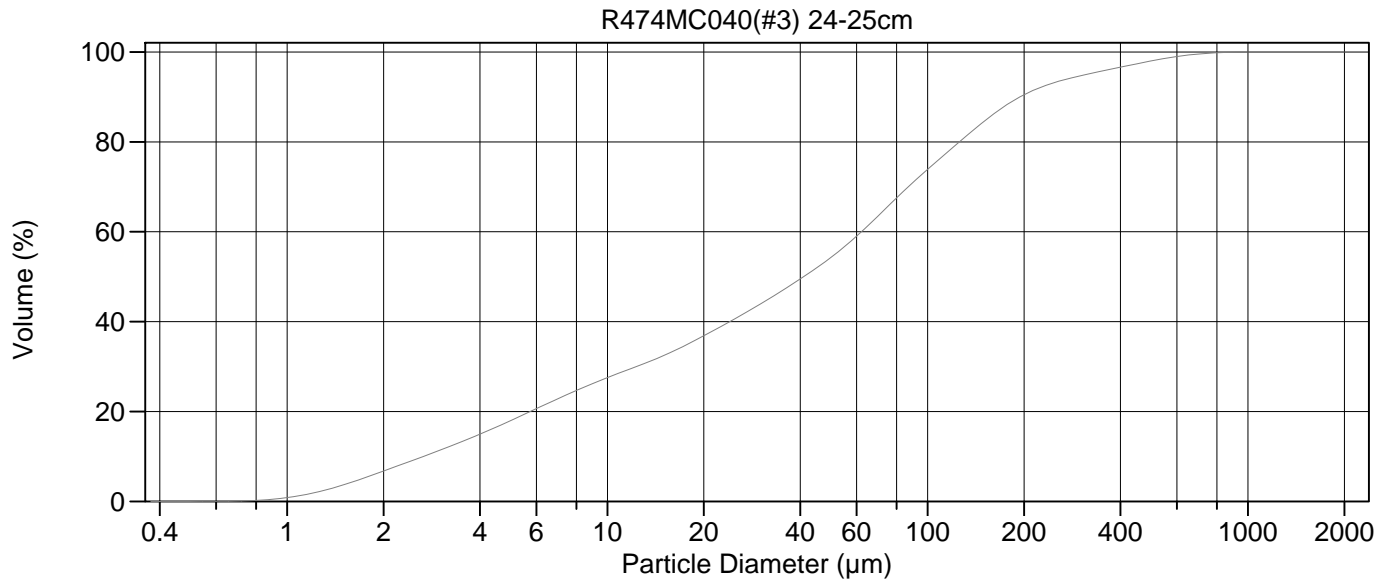
Calculations from 0.375 µm to 2000 µm

Volume	100.0%		
Mean:	60.34 µm	95% Conf. Limits:	0-251.0 µm
Median:	27.24 µm	S.D.:	97.28 µm
D(3,2):	7.427 µm	Variance:	9463 µm ²
Mean/Median Ratio:	2.215	C.V.:	161%
Mode:	66.44 µm	Skewness:	3.712 Right skewed
d ₁₀ :	2.376 µm	Kurtosis:	17.07 Leptokurtic
d ₅₀ :	27.24 µm		
d ₉₀ :	141.9 µm		
Specific Surf. Area	8078 cm ² /ml		

% <	10	25	50	75	90
Size µm	2.376	6.458	27.24	73.11	141.9

44.\$02

Particle Diameter µm	Volume % <	Particle Diameter µm	Volume % <
2.000	7.76	1000	100.0
5.000	20.7	2000	100
10.00	31.9		
15.00	38.0		
20.00	43.5		
50.00	64.0		
60.00	69.1		
63.00	70.6		
70.00	73.7		
75.00	75.8		
90.00	80.6		
125.0	87.7		
200.0	94.5		
250.0	96.0		
400.0	97.7		
500.0	98.5		



Volume Statistics (Arithmetic)

45#.\$02

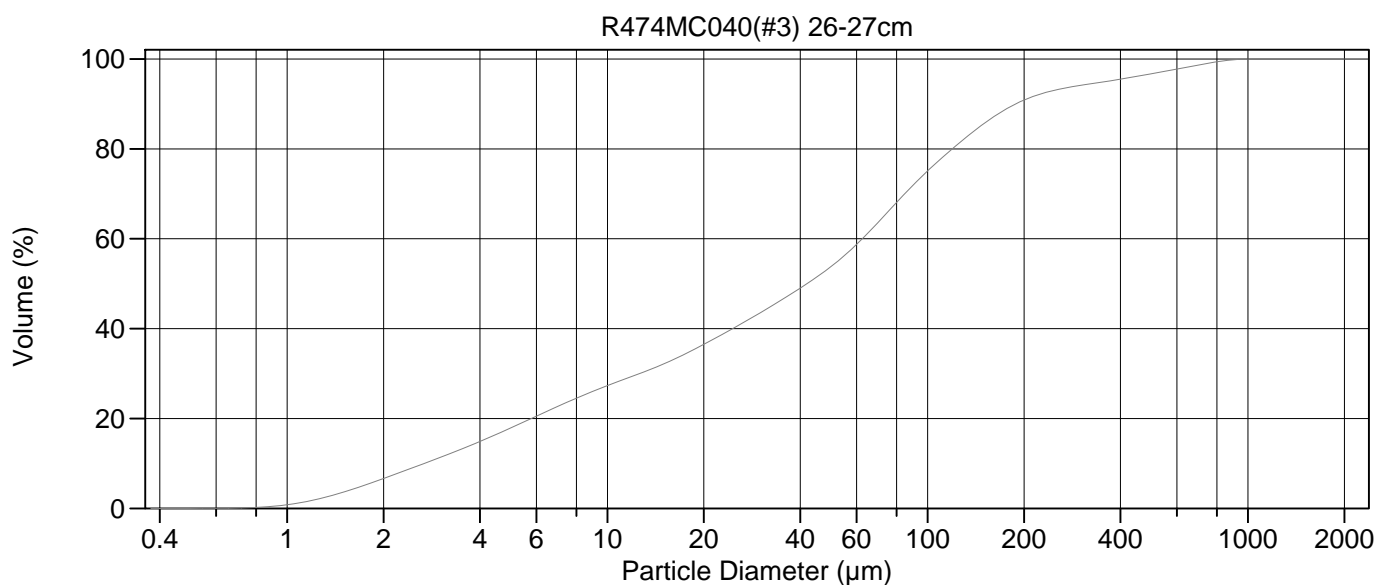
Calculations from 0.375 μm to 2000 μm

Volume	100.0%		
Mean:	81.33 μm	95% Conf. Limits:	0-310.9 μm
Median:	40.98 μm	S.D.:	117.1 μm
D(3,2):	8.550 μm	Variance:	13714 μm^2
Mean/Median Ratio:	1.985	C.V.:	144%
Mode:	72.95 μm	Skewness:	2.970 Right skewed
d ₁₀ :	2.659 μm	Kurtosis:	11.12 Leptokurtic
d ₅₀ :	40.98 μm		
d ₉₀ :	193.9 μm		
Specific Surf. Area	7018 cm^2/ml		

% <	10	25	50	75	90
Size μm	2.659	8.189	40.98	104.2	193.9

45#.\$02

Particle Diameter μm	Volume % <	Particle Diameter μm	Volume % <
2.000	6.76	1000	100.0
5.000	18.0	2000	100
10.00	27.5		
15.00	32.5		
20.00	36.8		
50.00	54.3		
60.00	59.0		
63.00	60.4		
70.00	63.5		
75.00	65.6		
90.00	71.0		
125.0	79.8		
200.0	90.5		
250.0	93.2		
400.0	96.6		
500.0	98.0		



Volume Statistics (Arithmetic) 46.\$02

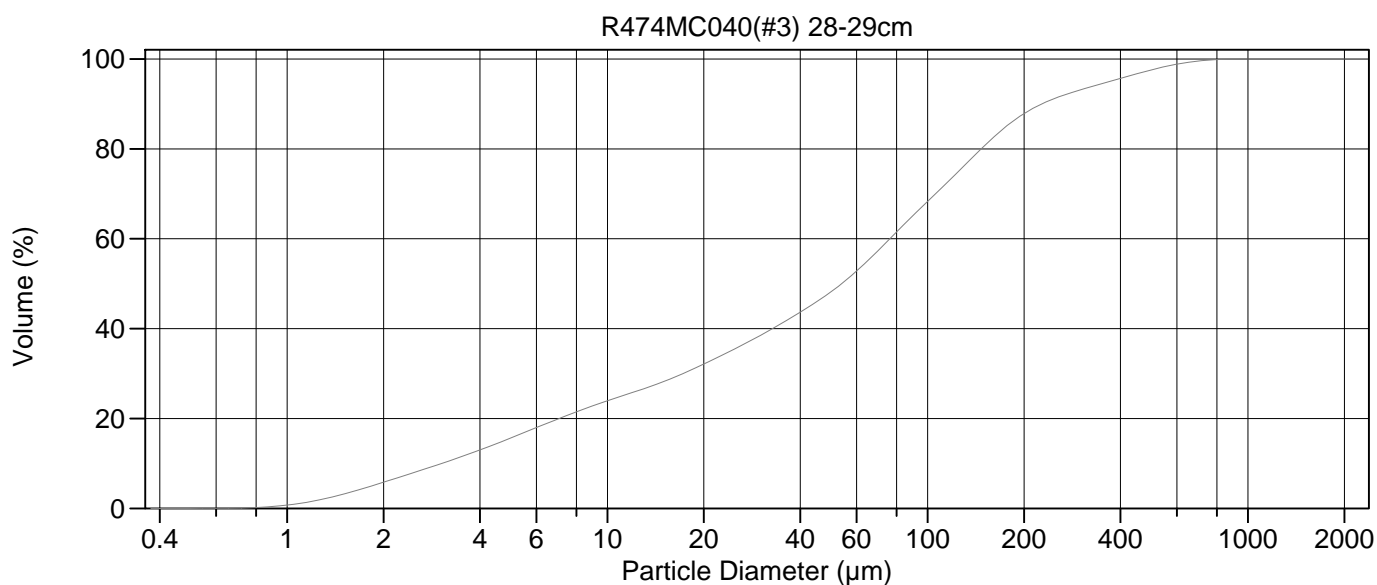
Calculations from 0.375 µm to 2000 µm

Volume	100.0%		
Mean:	85.97 µm	95% Conf. Limits:	0-355.3 µm
Median:	41.99 µm	S.D.:	137.4 µm
D(3,2):	8.625 µm	Variance:	18876 µm ²
Mean/Median Ratio:	2.047	C.V.:	160%
Mode:	72.95 µm	Skewness:	3.329 Right skewed
d ₁₀ :	2.678 µm	Kurtosis:	12.67 Leptokurtic
d ₅₀ :	41.99 µm		
d ₉₀ :	188.4 µm		
Specific Surf. Area	6957 cm ² /ml		

% <	10	25	50	75	90
Size µm	2.678	8.309	41.99	99.65	188.4

46.\$02

Particle Diameter µm	Volume % <	Particle Diameter µm	Volume % <
2.000	6.67	1000	100.0
5.000	17.9	2000	100
10.00	27.3		
15.00	32.2		
20.00	36.5		
50.00	53.9		
60.00	58.7		
63.00	60.2		
70.00	63.6		
75.00	65.9		
90.00	71.9		
125.0	81.2		
200.0	90.9		
250.0	93.1		
400.0	95.5		
500.0	96.7		



Volume Statistics (Arithmetic) 47.\$02

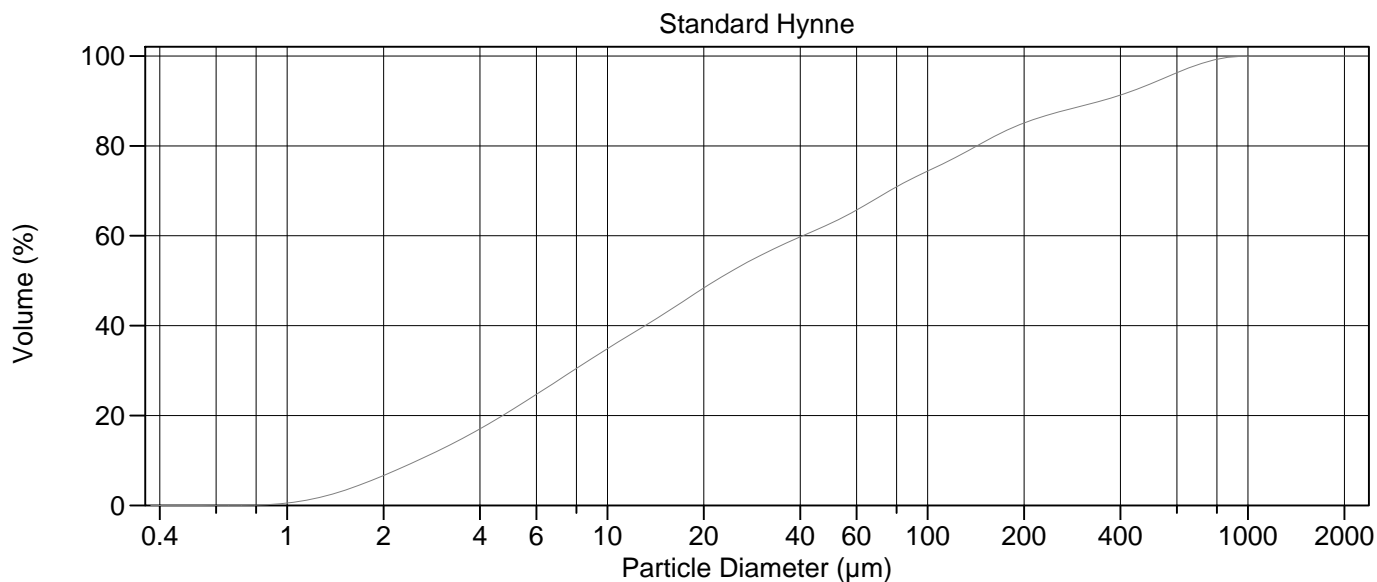
Calculations from 0.375 µm to 2000 µm

Volume	100.0%		
Mean:	94.86 µm	95% Conf. Limits:	0-341.2 µm
Median:	53.91 µm	S.D.:	125.7 µm
D(3,2):	9.732 µm	Variance:	15801 µm ²
Mean/Median Ratio:	1.760	C.V.:	133%
Mode:	72.95 µm	Skewness:	2.542 Right skewed
d ₁₀ :	3.038 µm	Kurtosis:	7.802 Leptokurtic
d ₅₀ :	53.91 µm		
d ₉₀ :	227.5 µm		
Specific Surf. Area	6165 cm ² /ml		

% <	10	25	50	75	90
Size µm	3.038	11.08	53.91	124.9	227.5

47.\$02

Particle Diameter µm	Volume % <	Particle Diameter µm	Volume % <
2.000	5.83	1000	100.0
5.000	15.7	2000	100
10.00	23.9		
15.00	28.2		
20.00	32.1		
50.00	48.2		
60.00	52.8		
63.00	54.2		
70.00	57.4		
75.00	59.5		
90.00	65.1		
125.0	75.0		
200.0	87.8		
250.0	91.2		
400.0	95.7		
500.0	97.6		



Volume Statistics (Arithmetic) 48.\$02

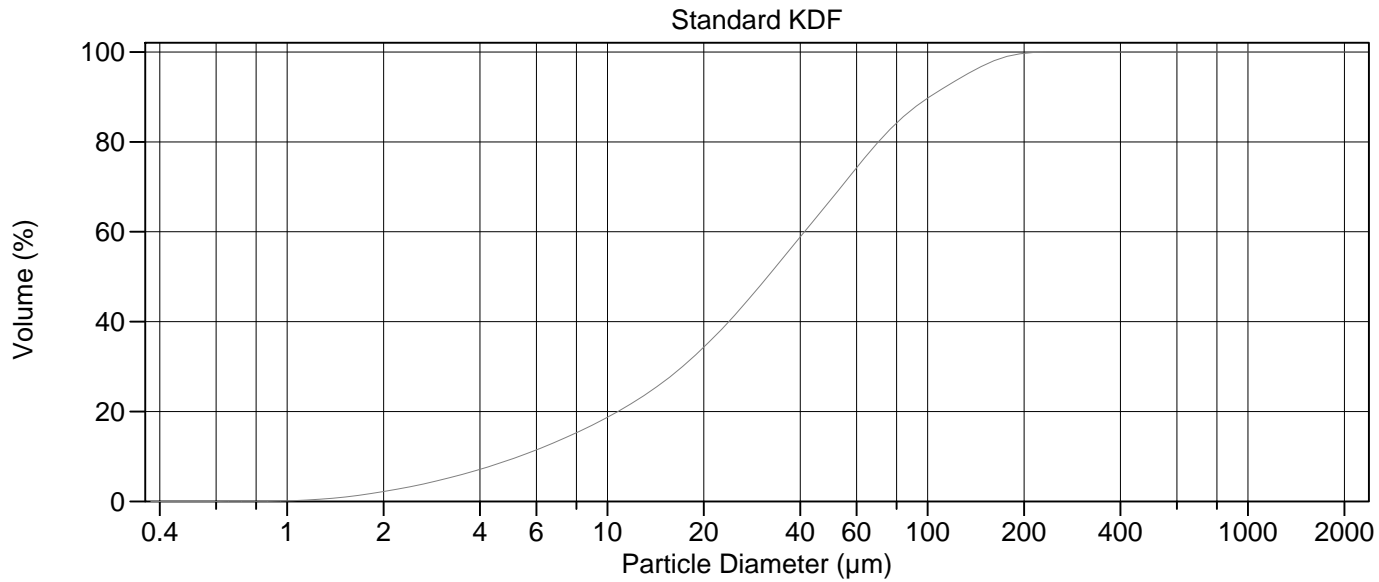
Calculations from 0.375 µm to 2000 µm

Volume	100.0%		
Mean:	101.0 µm	95% Conf. Limits:	0-441.8 µm
Median:	21.75 µm	S.D.:	173.9 µm
D(3,2):	7.660 µm	Variance:	30233 µm ²
Mean/Median Ratio:	4.643	C.V.:	172%
Mode:	18.00 µm	Skewness:	2.435 Right skewed
d ₁₀ :	2.557 µm	Kurtosis:	5.532 Leptokurtic
d ₅₀ :	21.75 µm		
d ₉₀ :	347.0 µm		
Specific Surf. Area	7833 cm ² /ml		

% <	10	25	50	75	90
Size µm	2.557	6.093	21.75	104.2	347.0

48.\$02

Particle Diameter µm	Volume % <	Particle Diameter µm	Volume % <
2.000	6.66	1000	100.0
5.000	21.1	2000	100
10.00	34.9		
15.00	42.6		
20.00	48.4		
50.00	62.8		
60.00	65.7		
63.00	66.6		
70.00	68.5		
75.00	69.8		
90.00	72.8		
125.0	77.8		
200.0	85.1		
250.0	87.3		
400.0	91.3		
500.0	93.9		



Volume Statistics (Arithmetic) 49.\$02

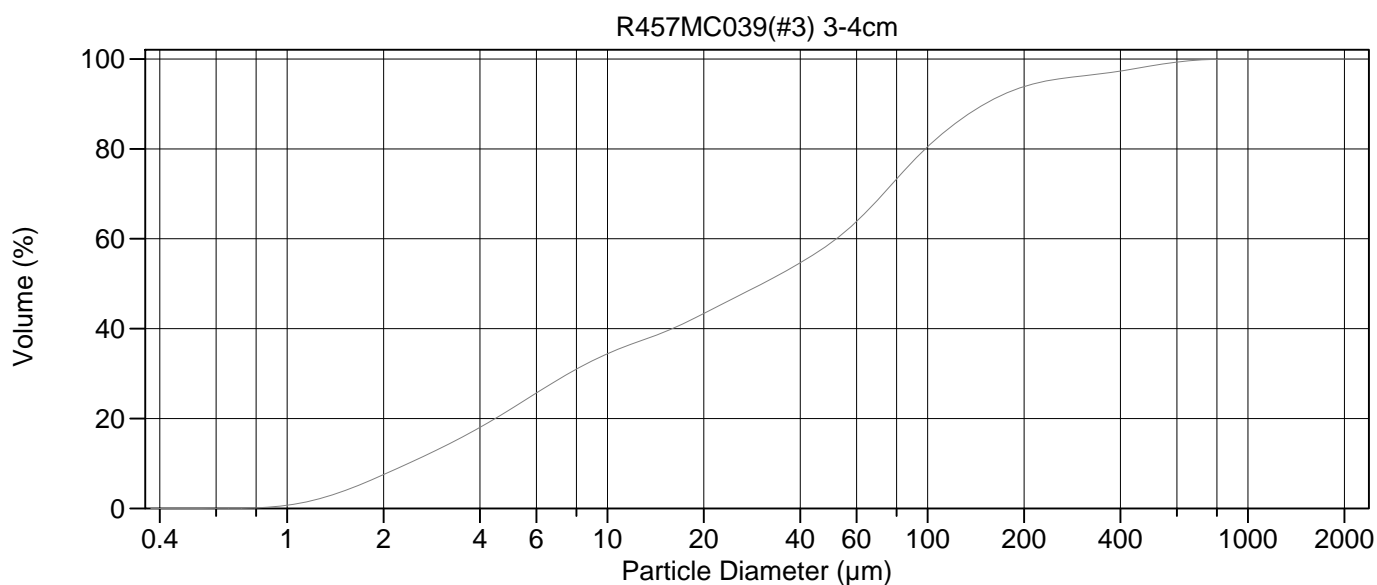
Calculations from 0.375 µm to 2000 µm

Volume	100.0%		
Mean:	43.88 µm	95% Conf. Limits:	0-122.9 µm
Median:	31.64 µm	S.D.:	40.31 µm
D(3,2):	13.16 µm	Variance:	1625 µm ²
Mean/Median Ratio:	1.387	C.V.:	91.9%
Mode:	55.14 µm	Skewness:	1.477 Right skewed
d ₁₀ :	5.295 µm	Kurtosis:	2.072 Leptokurtic
d ₅₀ :	31.64 µm		
d ₉₀ :	101.2 µm		
Specific Surf. Area	4559 cm ² /ml		

% <	10	25	50	75	90
Size µm	5.295	13.94	31.64	61.27	101.2

49.\$02

Particle Diameter µm	Volume % <	Particle Diameter µm	Volume % <
2.000	2.18	1000	100
5.000	9.37	2000	100
10.00	18.7		
15.00	26.6		
20.00	34.3		
50.00	67.2		
60.00	74.2		
63.00	76.1		
70.00	79.9		
75.00	82.2		
90.00	87.4		
125.0	94.0		
200.0	99.7		
250.0	100.0		
400.0	100		
500.0	100		



Volume Statistics (Arithmetic) 5.\$02

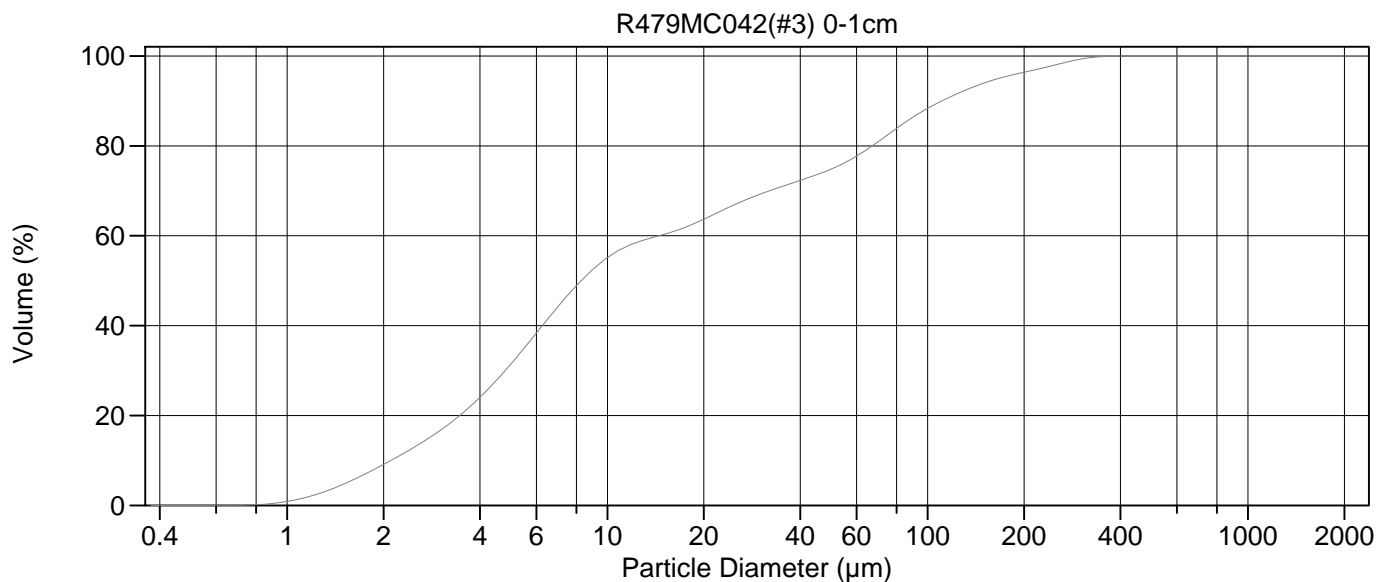
Calculations from 0.375 µm to 2000 µm

Volume	100.0%		
Mean:	65.83 µm	95% Conf. Limits:	0-266.4 µm
Median:	30.47 µm	S.D.:	102.4 µm
D(3,2):	7.435 µm	Variance:	10477 µm ²
Mean/Median Ratio:	2.161	C.V.:	155%
Mode:	72.95 µm	Skewness:	3.439 Right skewed
d ₁₀ :	2.387 µm	Kurtosis:	14.85 Leptokurtic
d ₅₀ :	30.47 µm		
d ₉₀ :	151.1 µm		
Specific Surf. Area	8070 cm ² /ml		

% <	10	25	50	75	90
Size µm	2.387	5.801	30.47	83.97	151.1

5.\$02

Particle Diameter µm	Volume % <	Particle Diameter µm	Volume % <
2.000	7.53	1000	100.0
5.000	22.1	2000	100
10.00	34.4		
15.00	39.2		
20.00	43.4		
50.00	59.1		
60.00	63.8		
63.00	65.3		
70.00	68.7		
75.00	71.1		
90.00	77.2		
125.0	86.2		
200.0	93.8		
250.0	95.4		
400.0	97.3		
500.0	98.5		



Volume Statistics (Arithmetic) 50.\$02

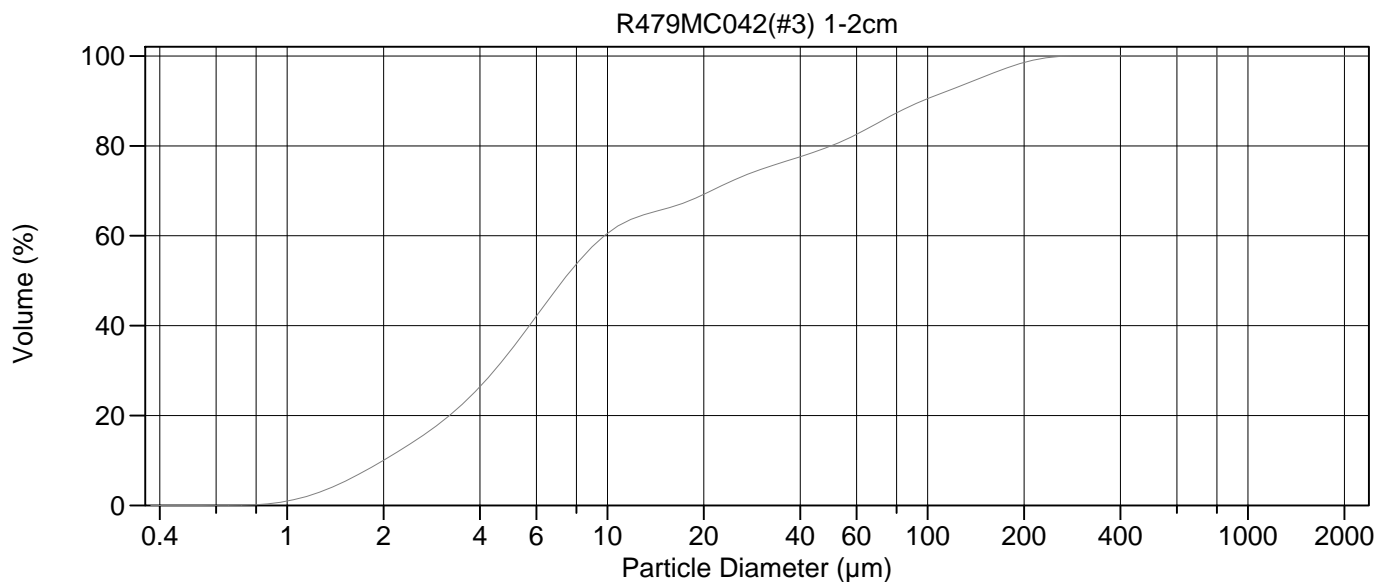
Calculations from 0.375 µm to 2000 µm

Volume	100.0%		
Mean:	37.63 µm	95% Conf. Limits:	0-154.9 µm
Median:	8.283 µm	S.D.:	59.84 µm
D(3,2):	5.488 µm	Variance:	3581 µm ²
Mean/Median Ratio:	4.542	C.V.:	159%
Mode:	5.878 µm	Skewness:	2.499 Right skewed
d ₁₀ :	2.111 µm	Kurtosis:	6.761 Leptokurtic
d ₅₀ :	8.283 µm		
d ₉₀ :	110.6 µm		
Specific Surf. Area	10933 cm ² /ml		

% <	10	25	50	75	90
Size µm	2.111	4.126	8.283	50.58	110.6

50.\$02

Particle Diameter µm	Volume % <	Particle Diameter µm	Volume % <
2.000	9.11	1000	100
5.000	31.5	2000	100
10.00	55.1		
15.00	60.3		
20.00	63.7		
50.00	74.8		
60.00	77.7		
63.00	78.7		
70.00	80.9		
75.00	82.5		
90.00	86.4		
125.0	91.8		
200.0	96.4		
250.0	98.0		
400.0	100.0		
500.0	100		



Volume Statistics (Arithmetic)

51#.\$02

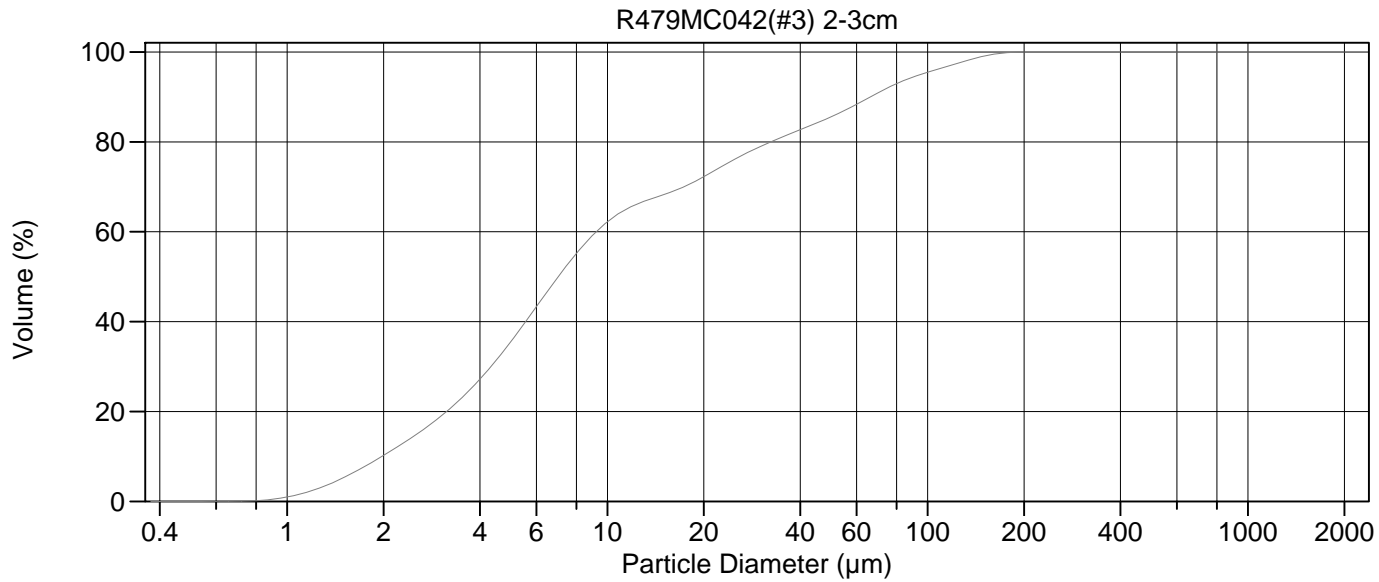
Calculations from 0.375 µm to 2000 µm

Volume	100.0%		
Mean:	29.74 µm	95% Conf. Limits:	0-123.0 µm
Median:	7.267 µm	S.D.:	47.61 µm
D(3,2):	5.036 µm	Variance:	2266 µm ²
Mean/Median Ratio:	4.092	C.V.:	160%
Mode:	5.878 µm	Skewness:	2.314 Right skewed
d ₁₀ :	1.995 µm	Kurtosis:	5.126 Leptokurtic
d ₅₀ :	7.267 µm		
d ₉₀ :	96.18 µm		
Specific Surf. Area	11915 cm ² /ml		

% <	10	25	50	75	90
Size µm	1.995	3.825	7.267	30.83	96.18

51#.\$02

Particle Diameter µm	Volume % <	Particle Diameter µm	Volume % <
2.000	10.0	1000	100
5.000	34.6	2000	100
10.00	60.5		
15.00	65.9		
20.00	69.2		
50.00	80.0		
60.00	82.6		
63.00	83.4		
70.00	85.1		
75.00	86.3		
90.00	89.1		
125.0	93.2		
200.0	98.5		
250.0	99.8		
400.0	100		
500.0	100		



Volume Statistics (Arithmetic) 52.\$02

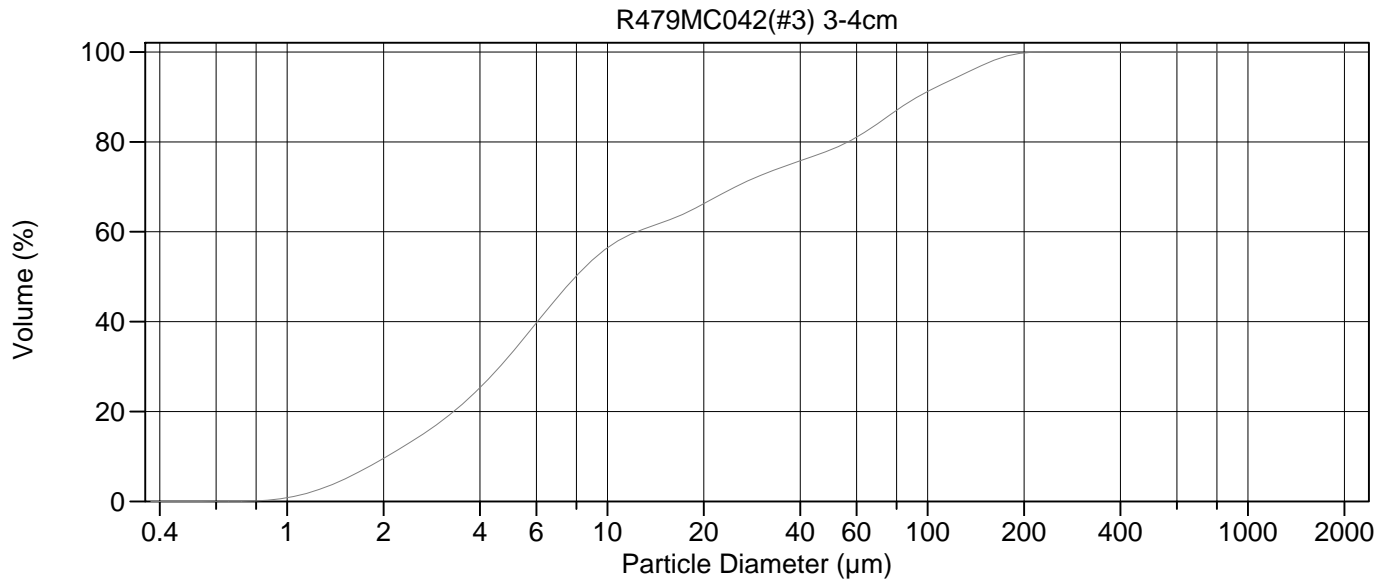
Calculations from 0.375 µm to 2000 µm

Volume	100.0%		
Mean:	21.41 µm	95% Conf. Limits:	0-84.10 µm
Median:	7.027 µm	S.D.:	31.98 µm
D(3,2):	4.882 µm	Variance:	1023 µm ²
Mean/Median Ratio:	3.047	C.V.:	149%
Mode:	5.878 µm	Skewness:	2.384 Right skewed
d ₁₀ :	1.976 µm	Kurtosis:	5.689 Leptokurtic
d ₅₀ :	7.027 µm		
d ₉₀ :	66.27 µm		
Specific Surf. Area	12291 cm ² /ml		

% <	10	25	50	75	90
Size µm	1.976	3.740	7.027	23.38	66.27

52.\$02

Particle Diameter µm	Volume % <	Particle Diameter µm	Volume % <
2.000	10.2	1000	100
5.000	35.6	2000	100
10.00	62.2		
15.00	68.3		
20.00	72.2		
50.00	85.6		
60.00	88.3		
63.00	89.2		
70.00	90.9		
75.00	92.0		
90.00	94.4		
125.0	97.6		
200.0	100.0		
250.0	100		
400.0	100		
500.0	100		



Volume Statistics (Arithmetic) 53.\$02

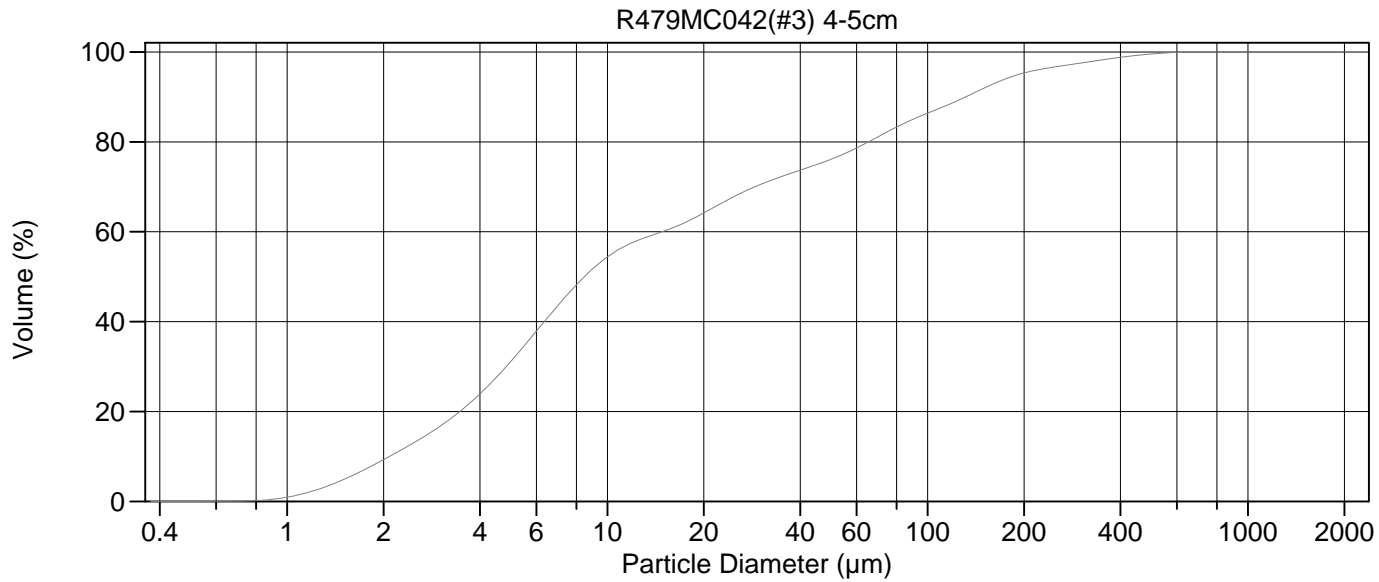
Calculations from 0.375 µm to 2000 µm

Volume	100.0%		
Mean:	29.35 µm	95% Conf. Limits:	0-111.4 µm
Median:	7.964 µm	S.D.:	41.89 µm
D(3,2):	5.289 µm	Variance:	1754 µm ²
Mean/Median Ratio:	3.686	C.V.:	143%
Mode:	5.878 µm	Skewness:	1.907 Right skewed
d ₁₀ :	2.048 µm	Kurtosis:	3.012 Leptokurtic
d ₅₀ :	7.964 µm		
d ₉₀ :	92.94 µm		
Specific Surf. Area	11344 cm ² /ml		

% <	10	25	50	75	90
Size µm	2.048	3.960	7.964	37.18	92.94

53.\$02

Particle Diameter µm	Volume % <	Particle Diameter µm	Volume % <
2.000	9.58	1000	100
5.000	32.8	2000	100
10.00	56.4		
15.00	62.2		
20.00	66.3		
50.00	78.3		
60.00	81.1		
63.00	82.0		
70.00	84.1		
75.00	85.6		
90.00	89.4		
125.0	94.6		
200.0	99.8		
250.0	100.0		
400.0	100		
500.0	100		



Volume Statistics (Arithmetic) 54.\$02

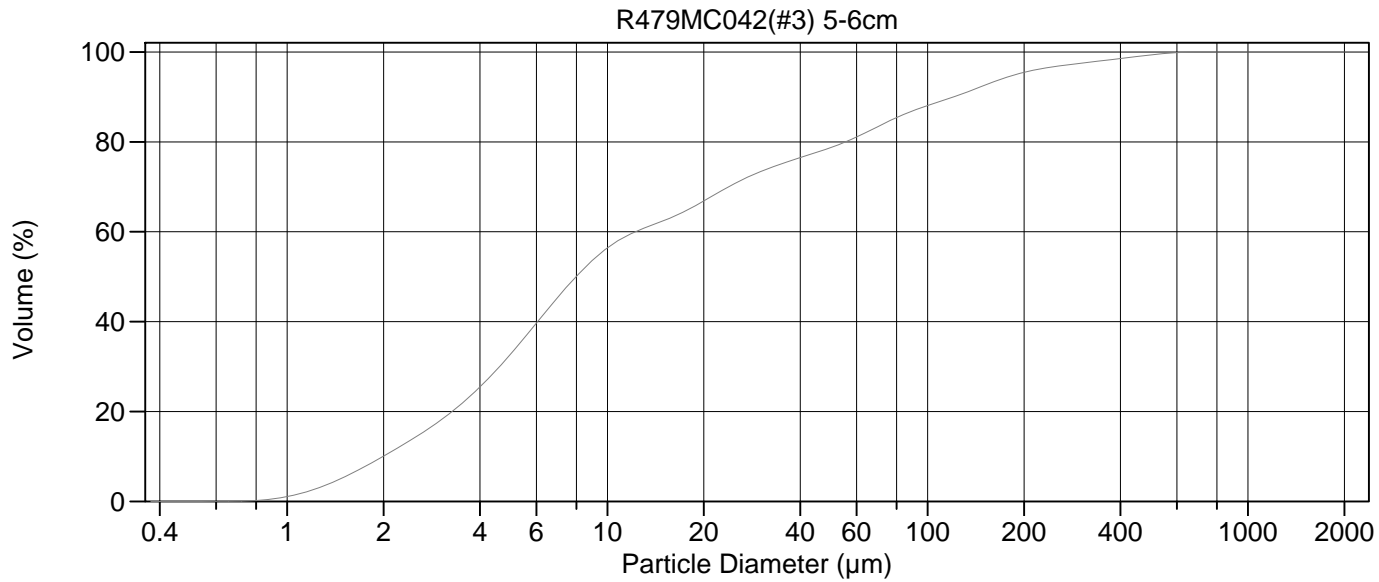
Calculations from 0.375 µm to 2000 µm

Volume	100.0%		
Mean:	43.24 µm	95% Conf. Limits:	0-200.2 µm
Median:	8.483 µm	S.D.:	80.06 µm
D(3,2):	5.477 µm	Variance:	6410 µm ²
Mean/Median Ratio:	5.098	C.V.:	185%
Mode:	5.878 µm	Skewness:	3.367 Right skewed
d ₁₀ :	2.089 µm	Kurtosis:	13.83 Leptokurtic
d ₅₀ :	8.483 µm		
d ₉₀ :	131.4 µm		
Specific Surf. Area	10955 cm ² /ml		

% <	10	25	50	75	90
Size µm	2.089	4.147	8.483	45.22	131.4

54.\$02

Particle Diameter µm	Volume % <	Particle Diameter µm	Volume % <
2.000	9.29	1000	100
5.000	31.1	2000	100
10.00	54.4		
15.00	60.1		
20.00	64.2		
50.00	76.1		
60.00	78.6		
63.00	79.4		
70.00	81.2		
75.00	82.3		
90.00	85.0		
125.0	89.3		
200.0	95.3		
250.0	96.7		
400.0	98.8		
500.0	99.6		



Volume Statistics (Arithmetic) 55.\$02

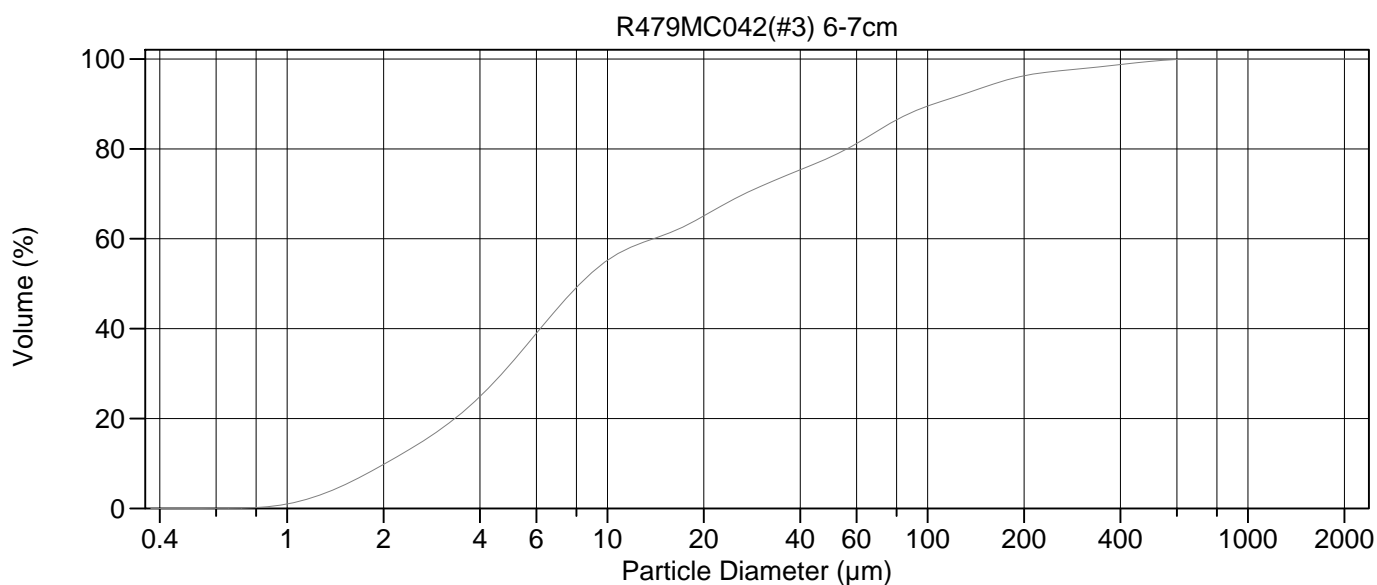
Calculations from 0.375 µm to 2000 µm

Volume	100.0%		
Mean:	40.76 µm	95% Conf. Limits:	0-201.2 µm
Median:	7.988 µm	S.D.:	81.88 µm
D(3,2):	5.194 µm	Variance:	6704 µm ²
Mean/Median Ratio:	5.103	C.V.:	201%
Mode:	5.878 µm	Skewness:	3.731 Right skewed
d ₁₀ :	1.993 µm	Kurtosis:	16.60 Leptokurtic
d ₅₀ :	7.988 µm		
d ₉₀ :	120.4 µm		
Specific Surf. Area	11551 cm ² /ml		

% <	10	25	50	75	90
Size µm	1.993	3.936	7.988	34.61	120.4

55.\$02

Particle Diameter µm	Volume % <	Particle Diameter µm	Volume % <
2.000	10.1	1000	100
5.000	32.9	2000	100
10.00	56.4		
15.00	62.5		
20.00	66.9		
50.00	78.8		
60.00	81.1		
63.00	81.8		
70.00	83.4		
75.00	84.5		
90.00	86.9		
125.0	90.4		
200.0	95.5		
250.0	96.8		
400.0	98.5		
500.0	99.4		



Volume Statistics (Arithmetic) 56.\$02

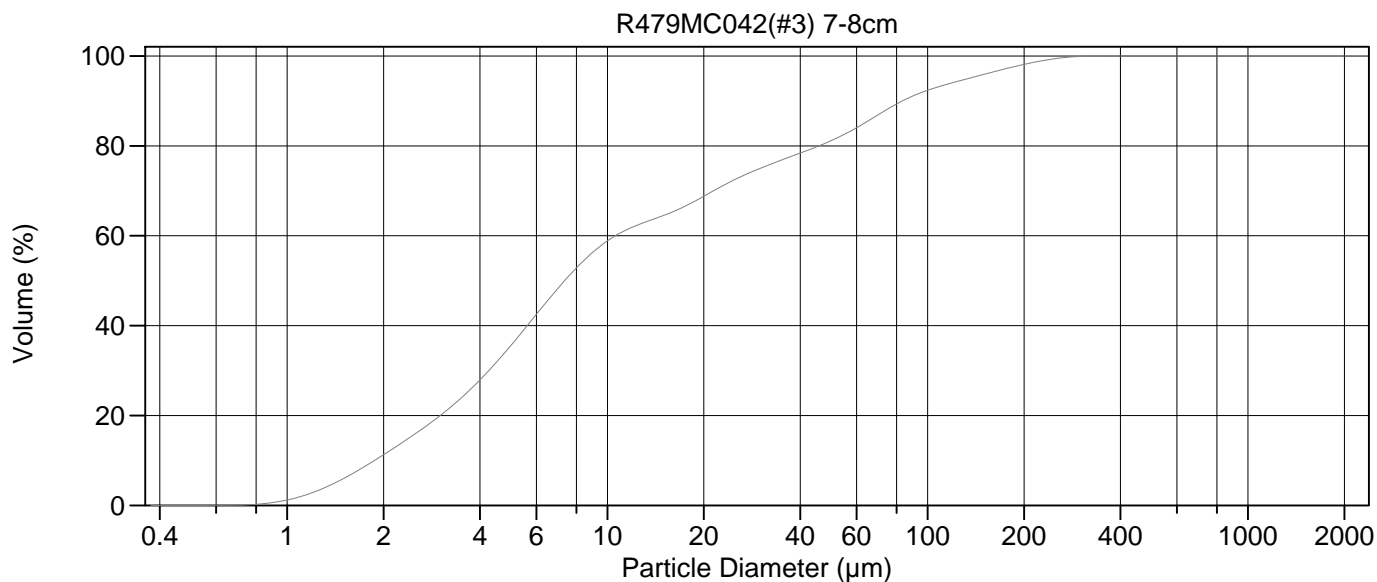
Calculations from 0.375 µm to 2000 µm

Volume	100.0%		
Mean:	38.78 µm	95% Conf. Limits:	0-187.7 µm
Median:	8.220 µm	S.D.:	76.00 µm
D(3,2):	5.312 µm	Variance:	5776 µm ²
Mean/Median Ratio:	4.718	C.V.:	196%
Mode:	5.878 µm	Skewness:	3.928 Right skewed
d ₁₀ :	2.025 µm	Kurtosis:	18.85 Leptokurtic
d ₅₀ :	8.220 µm		
d ₉₀ :	104.6 µm		
Specific Surf. Area	11294 cm ² /ml		

% <	10	25	50	75	90
Size µm	2.025	4.013	8.220	38.96	104.6

56.\$02

Particle Diameter µm	Volume % <	Particle Diameter µm	Volume % <
2.000	9.78	1000	100
5.000	32.2	2000	100
10.00	55.2		
15.00	60.8		
20.00	65.1		
50.00	78.3		
60.00	81.2		
63.00	82.1		
70.00	84.1		
75.00	85.3		
90.00	88.2		
125.0	91.8		
200.0	96.3		
250.0	97.3		
400.0	98.8		
500.0	99.5		



Volume Statistics (Arithmetic) 57.\$02

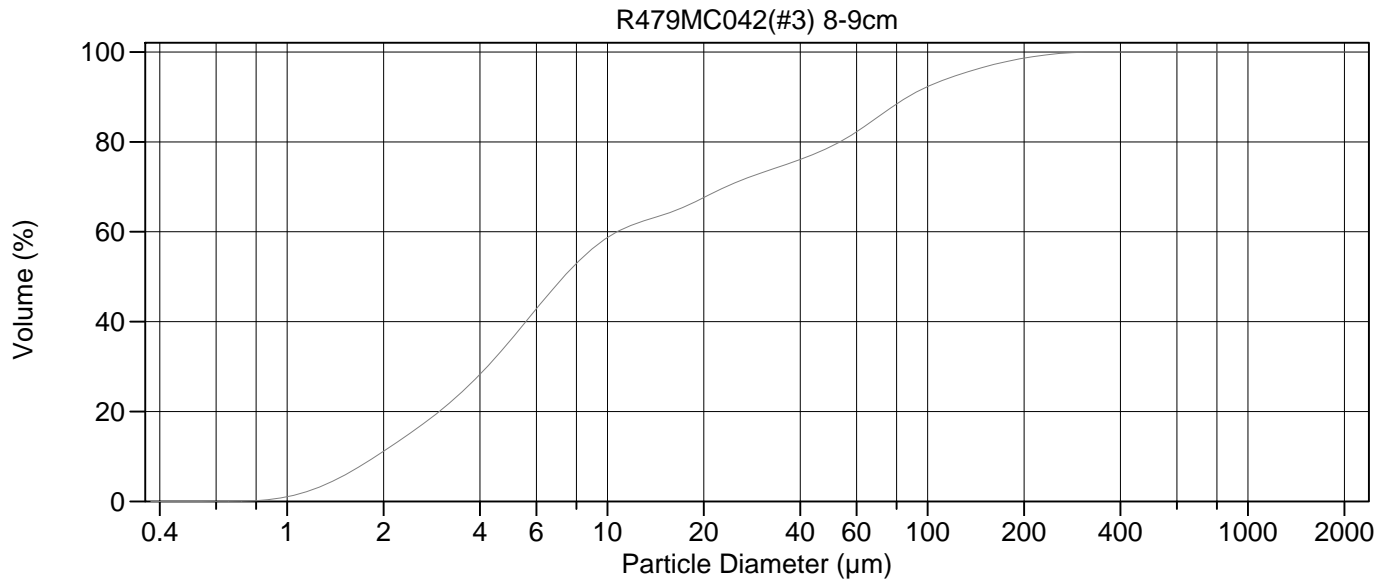
Calculations from 0.375 µm to 2000 µm

Volume	100.0%		
Mean:	28.57 µm	95% Conf. Limits:	0-121.1 µm
Median:	7.350 µm	S.D.:	47.22 µm
D(3,2):	4.855 µm	Variance:	2230 µm ²
Mean/Median Ratio:	3.888	C.V.:	165%
Mode:	5.878 µm	Skewness:	2.746 Right skewed
d ₁₀ :	1.876 µm	Kurtosis:	8.338 Leptokurtic
d ₅₀ :	7.350 µm		
d ₉₀ :	83.25 µm		
Specific Surf. Area	12359 cm ² /ml		

% <	10	25	50	75	90
Size µm	1.876	3.631	7.350	29.97	83.25

57.\$02

Particle Diameter µm	Volume % <	Particle Diameter µm	Volume % <
2.000	11.3	1000	100
5.000	35.6	2000	100
10.00	58.9		
15.00	64.5		
20.00	68.8		
50.00	81.2		
60.00	84.0		
63.00	84.9		
70.00	86.9		
75.00	88.2		
90.00	91.1		
125.0	94.4		
200.0	98.1		
250.0	99.4		
400.0	100.0		
500.0	100		



Volume Statistics (Arithmetic) 58.\$02

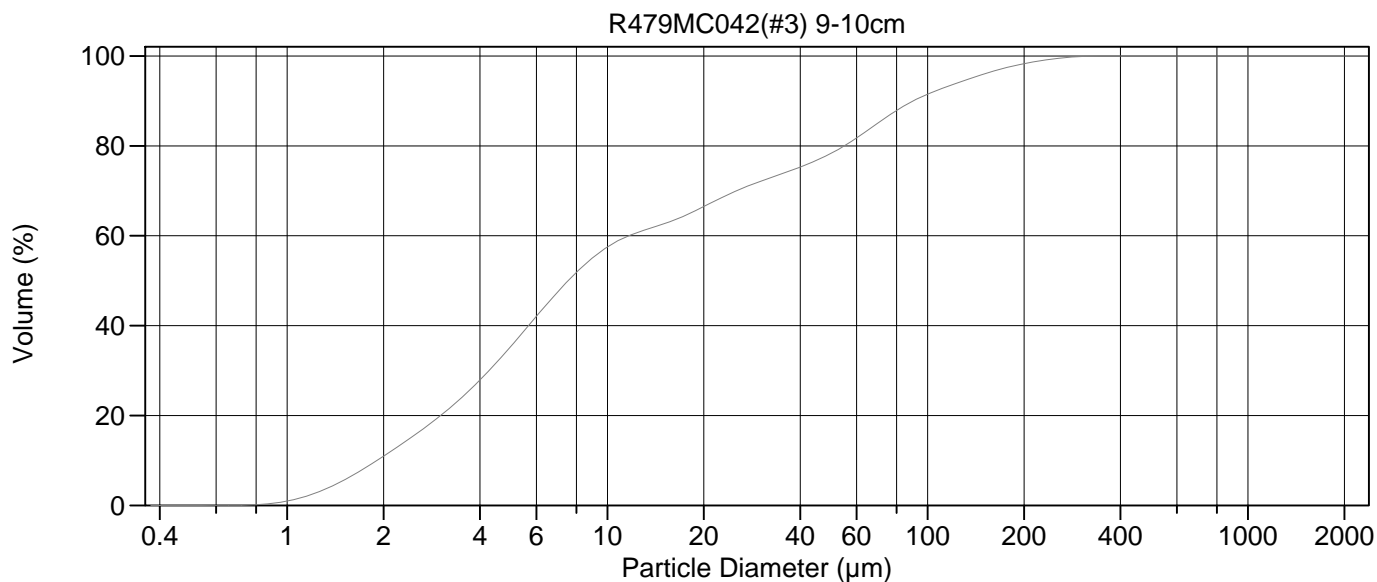
Calculations from 0.375 µm to 2000 µm

Volume	100.0%		
Mean:	29.04 µm	95% Conf. Limits:	0-117.9 µm
Median:	7.313 µm	S.D.:	45.33 µm
D(3,2):	4.894 µm	Variance:	2055 µm ²
Mean/Median Ratio:	3.971	C.V.:	156%
Mode:	5.878 µm	Skewness:	2.522 Right skewed
d ₁₀ :	1.891 µm	Kurtosis:	7.327 Leptokurtic
d ₅₀ :	7.313 µm		
d ₉₀ :	86.75 µm		
Specific Surf. Area	12259 cm ² /ml		

% <	10	25	50	75	90
Size µm	1.891	3.592	7.313	36.19	86.75

58.\$02

Particle Diameter µm	Volume % <	Particle Diameter µm	Volume % <
2.000	11.2	1000	100
5.000	36.0	2000	100
10.00	58.7		
15.00	63.8		
20.00	67.6		
50.00	79.0		
60.00	82.2		
63.00	83.3		
70.00	85.6		
75.00	87.1		
90.00	90.7		
125.0	94.9		
200.0	98.6		
250.0	99.6		
400.0	100.0		
500.0	100		



Volume Statistics (Arithmetic) 59.\$02

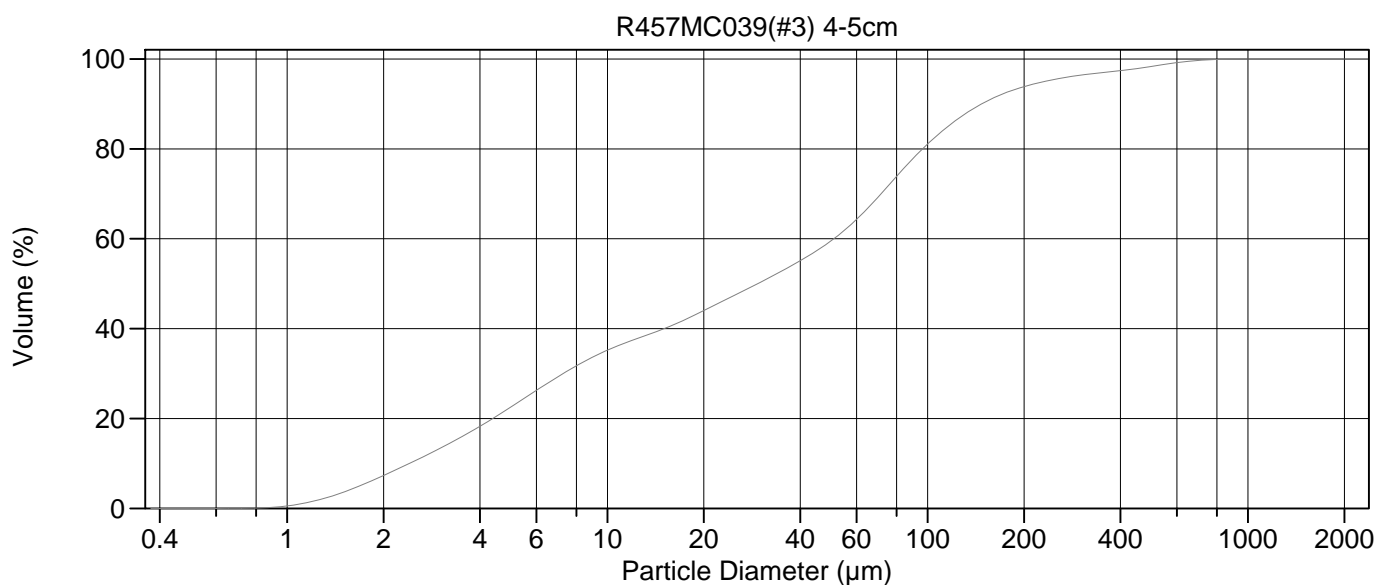
Calculations from 0.375 µm to 2000 µm

Volume	100.0%		
Mean:	30.61 µm	95% Conf. Limits:	0-124.7 µm
Median:	7.543 µm	S.D.:	48.02 µm
D(3,2):	4.978 µm	Variance:	2306 µm ²
Mean/Median Ratio:	4.058	C.V.:	157%
Mode:	5.878 µm	Skewness:	2.529 Right skewed
d ₁₀ :	1.908 µm	Kurtosis:	7.250 Leptokurtic
d ₅₀ :	7.543 µm		
d ₉₀ :	90.14 µm		
Specific Surf. Area	12053 cm ² /ml		

% <	10	25	50	75	90
Size µm	1.908	3.632	7.543	39.01	90.14

59.\$02

Particle Diameter µm	Volume % <	Particle Diameter µm	Volume % <
2.000	11.0	1000	100
5.000	35.4	2000	100
10.00	57.5		
15.00	62.7		
20.00	66.5		
50.00	78.4		
60.00	81.8		
63.00	82.8		
70.00	85.1		
75.00	86.6		
90.00	90.0		
125.0	94.1		
200.0	98.3		
250.0	99.4		
400.0	100.0		
500.0	100		



Volume Statistics (Arithmetic) 6.\$02

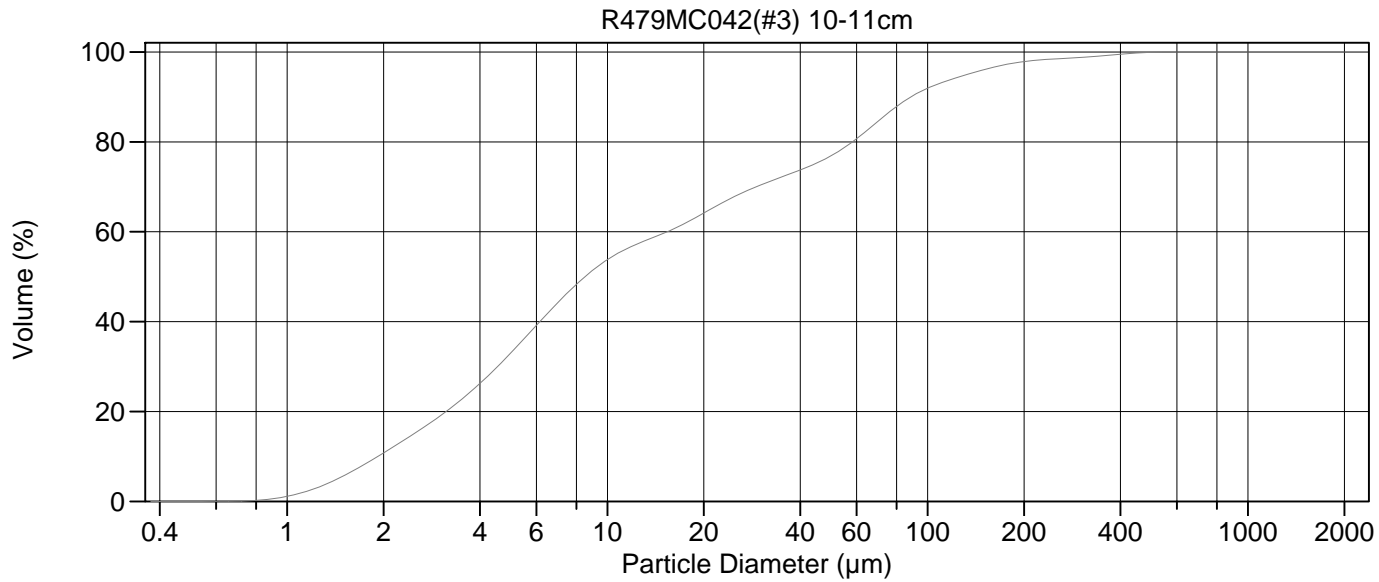
Calculations from 0.375 µm to 2000 µm

Volume	100.0%		
Mean:	65.03 µm	95% Conf. Limits:	0-267.8 µm
Median:	29.46 µm	S.D.:	103.4 µm
D(3,2):	7.435 µm	Variance:	10699 µm ²
Mean/Median Ratio:	2.208	C.V.:	159%
Mode:	72.95 µm	Skewness:	3.602 Right skewed
d ₁₀ :	2.407 µm	Kurtosis:	16.33 Leptokurtic
d ₅₀ :	29.46 µm		
d ₉₀ :	147.2 µm		
Specific Surf. Area	8070 cm ² /ml		

% <	10	25	50	75	90
Size µm	2.407	5.641	29.46	82.60	147.2

6.\$02

Particle Diameter µm	Volume % <	Particle Diameter µm	Volume % <
2.000	7.33	1000	100.0
5.000	22.6	2000	100
10.00	35.2		
15.00	40.0		
20.00	44.0		
50.00	59.6		
60.00	64.3		
63.00	65.8		
70.00	69.3		
75.00	71.6		
90.00	77.8		
125.0	86.8		
200.0	93.8		
250.0	95.5		
400.0	97.4		
500.0	98.4		



Volume Statistics (Arithmetic)

60#.\$02

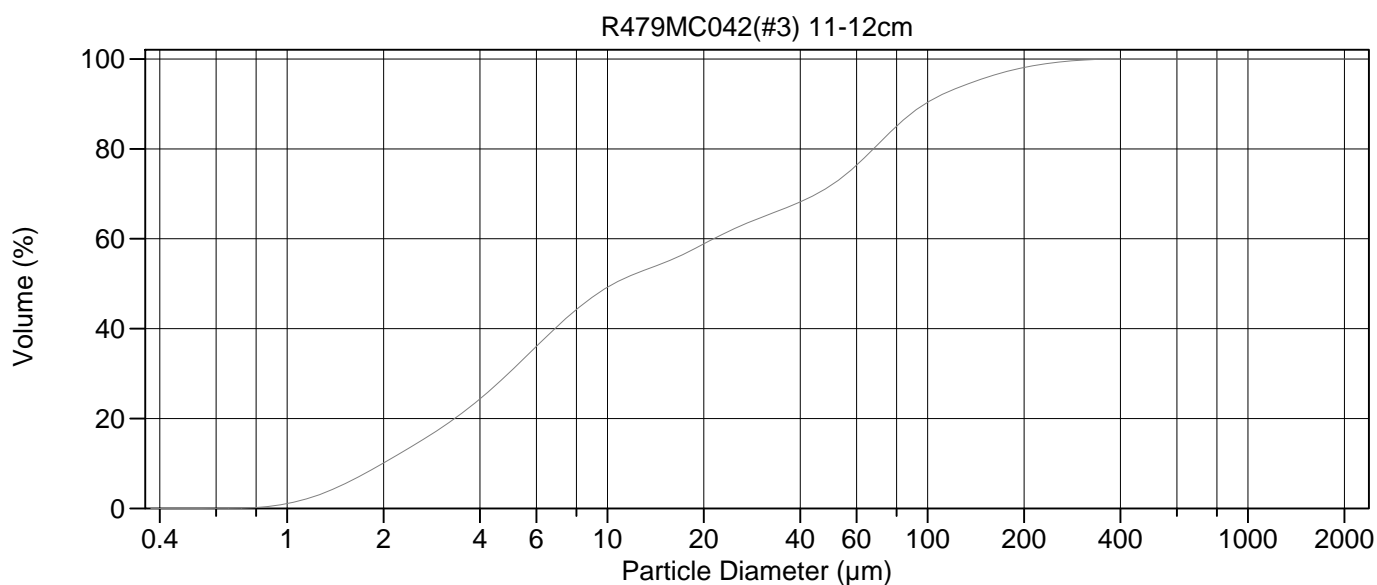
Calculations from 0.375 µm to 2000 µm

Volume	100.0%		
Mean:	33.68 µm	95% Conf. Limits:	0-148.3 µm
Median:	8.521 µm	S.D.:	58.48 µm
D(3,2):	5.167 µm	Variance:	3420 µm ²
Mean/Median Ratio:	3.953	C.V.:	174%
Mode:	5.878 µm	Skewness:	3.858 Right skewed
d ₁₀ :	1.920 µm	Kurtosis:	20.08 Leptokurtic
d ₅₀ :	8.521 µm		
d ₉₀ :	88.71 µm		
Specific Surf. Area	11612 cm ² /ml		

% <	10	25	50	75	90
Size µm	1.920	3.822	8.521	44.08	88.71

60#.\$02

Particle Diameter µm	Volume % <	Particle Diameter µm	Volume % <
2.000	10.8	1000	100
5.000	33.1	2000	100
10.00	53.8		
15.00	59.7		
20.00	64.2		
50.00	76.9		
60.00	80.7		
63.00	81.9		
70.00	84.6		
75.00	86.4		
90.00	90.3		
125.0	94.4		
200.0	97.9		
250.0	98.5		
400.0	99.5		
500.0	99.9		



Volume Statistics (Arithmetic) 61.\$02

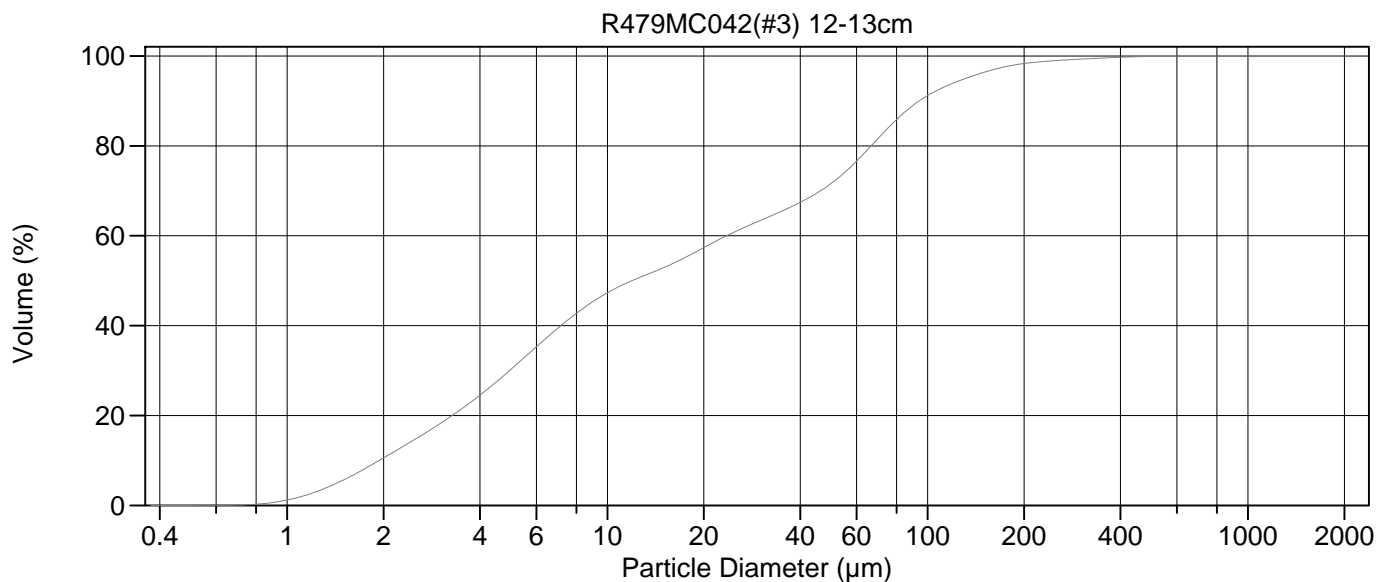
Calculations from 0.375 µm to 2000 µm

Volume	100.0%		
Mean:	36.39 µm	95% Conf. Limits:	0-135.7 µm
Median:	10.48 µm	S.D.:	50.68 µm
D(3,2):	5.550 µm	Variance:	2568 µm ²
Mean/Median Ratio:	3.472	C.V.:	139%
Mode:	72.95 µm	Skewness:	2.320 Right skewed
d ₁₀ :	1.987 µm	Kurtosis:	6.816 Leptokurtic
d ₅₀ :	10.48 µm		
d ₉₀ :	98.18 µm		
Specific Surf. Area	10811 cm ² /ml		

% <	10	25	50	75	90
Size µm	1.987	4.098	10.48	57.07	98.18

61.\$02

Particle Diameter µm	Volume % <	Particle Diameter µm	Volume % <
2.000	10.1	1000	100
5.000	30.5	2000	100
10.00	49.2		
15.00	54.6		
20.00	58.8		
50.00	71.9		
60.00	76.4		
63.00	77.8		
70.00	81.0		
75.00	83.2		
90.00	88.1		
125.0	93.7		
200.0	98.1		
250.0	99.2		
400.0	100.0		
500.0	100		



Volume Statistics (Arithmetic) 62.\$02

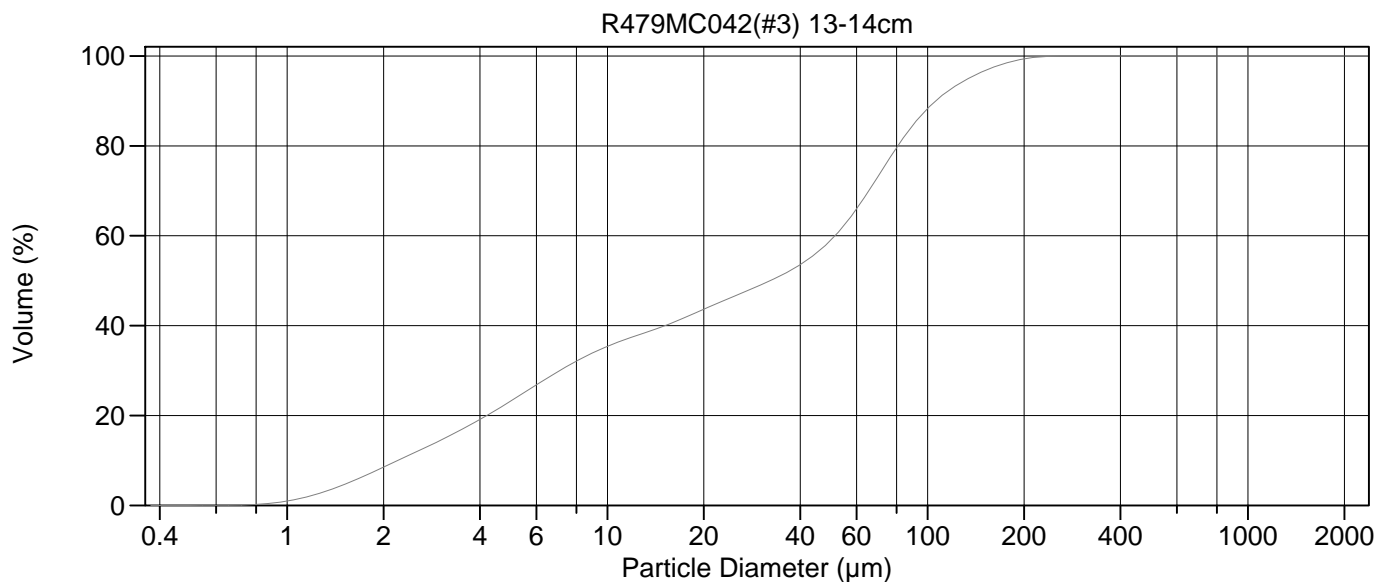
Calculations from 0.375 µm to 2000 µm

Volume	100.0%		
Mean:	36.81 µm	95% Conf. Limits:	0-142.6 µm
Median:	11.92 µm	S.D.:	53.97 µm
D(3,2):	5.535 µm	Variance:	2913 µm ²
Mean/Median Ratio:	3.087	C.V.:	147%
Mode:	66.44 µm	Skewness:	3.426 Right skewed
d ₁₀ :	1.941 µm	Kurtosis:	19.15 Leptokurtic
d ₅₀ :	11.92 µm		
d ₉₀ :	94.07 µm		
Specific Surf. Area	10839 cm ² /ml		

% <	10	25	50	75	90
Size µm	1.941	4.077	11.92	56.90	94.07

62.\$02

Particle Diameter µm	Volume % <	Particle Diameter µm	Volume % <
2.000	10.6	1000	100
5.000	30.3	2000	100
10.00	47.3		
15.00	52.9		
20.00	57.4		
50.00	71.6		
60.00	76.6		
63.00	78.2		
70.00	81.7		
75.00	83.9		
90.00	89.0		
125.0	94.4		
200.0	98.3		
250.0	99.0		
400.0	99.7		
500.0	99.9		



Volume Statistics (Arithmetic) 63.\$02

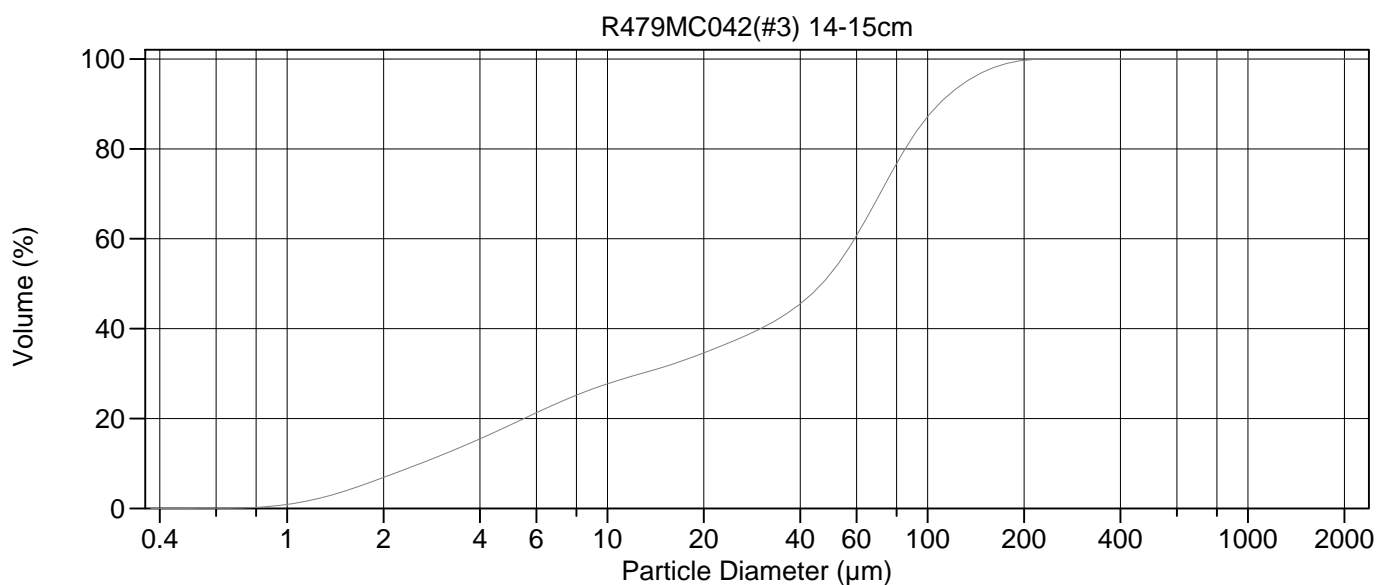
Calculations from 0.375 μm to 2000 μm

Volume	100.0%		
Mean:	45.08 μm	95% Conf. Limits:	0-134.2 μm
Median:	32.23 μm	S.D.:	45.46 μm
D(3,2):	6.965 μm	Variance:	2066 μm^2
Mean/Median Ratio:	1.399	C.V.:	101%
Mode:	72.95 μm	Skewness:	1.175 Right skewed
d ₁₀ :	2.216 μm	Kurtosis:	1.210 Leptokurtic
d ₅₀ :	32.23 μm		
d ₉₀ :	106.1 μm		
Specific Surf. Area	8615 cm^2/ml		

% <	10	25	50	75	90
Size μm	2.216	5.470	32.23	72.65	106.1

63.\$02

Particle Diameter μm	Volume % <	Particle Diameter μm	Volume % <
2.000	8.52	1000	100
5.000	23.2	2000	100
10.00	35.4		
15.00	39.9		
20.00	43.6		
50.00	59.1		
60.00	66.0		
63.00	68.2		
70.00	73.2		
75.00	76.6		
90.00	84.6		
125.0	93.8		
200.0	99.3		
250.0	100.0		
400.0	100		
500.0	100		



Volume Statistics (Arithmetic) 64.\$02

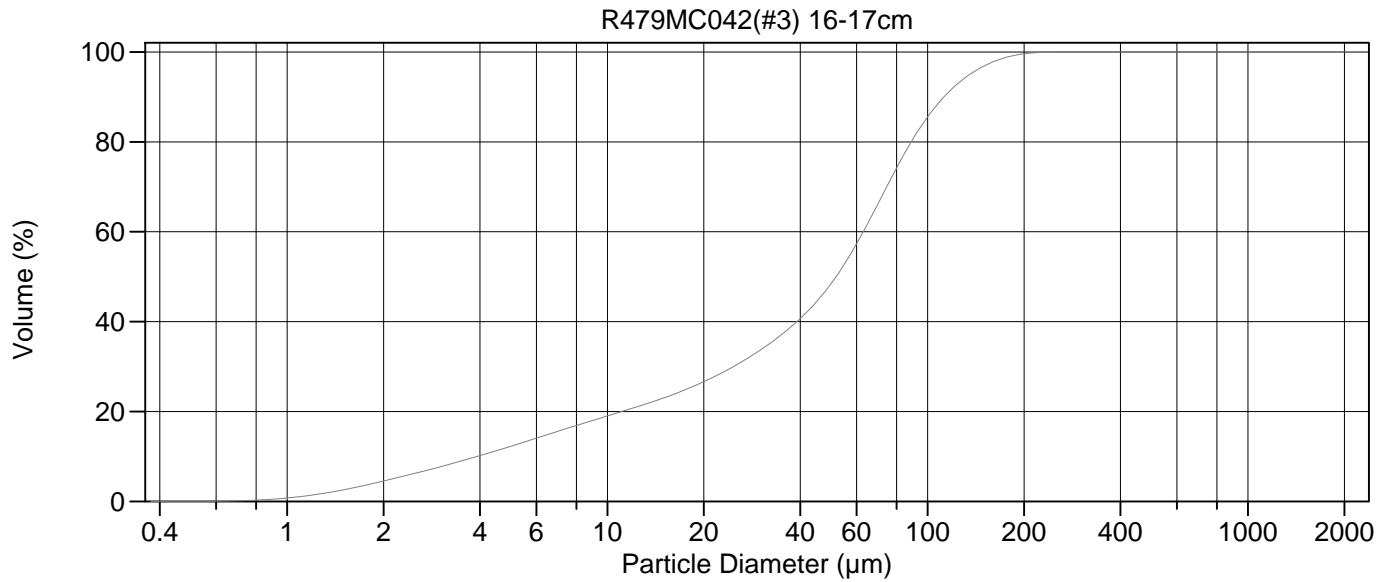
Calculations from 0.375 μm to 2000 μm

Volume	100.0%		
Mean:	50.36 μm	95% Conf. Limits:	0-135.6 μm
Median:	46.77 μm	S.D.:	43.48 μm
D(3,2):	8.420 μm	Variance:	1891 μm^2
Mean/Median Ratio:	1.077	C.V.:	86.3%
Mode:	72.95 μm	Skewness:	0.837 Right skewed
d ₁₀ :	2.608 μm	Kurtosis:	0.364 Leptokurtic
d ₅₀ :	46.77 μm		
d ₉₀ :	108.7 μm		
Specific Surf. Area	7126 cm^2/ml		

% <	10	25	50	75	90
Size μm	2.608	7.887	46.77	77.46	108.7

64.\$02

Particle Diameter μm	Volume % <	Particle Diameter μm	Volume % <
2.000	6.88	1000	100
5.000	18.6	2000	100
10.00	27.7		
15.00	31.5		
20.00	34.6		
50.00	52.4		
60.00	60.7		
63.00	63.3		
70.00	69.3		
75.00	73.2		
90.00	82.7		
125.0	93.8		
200.0	99.7		
250.0	100.0		
400.0	100		
500.0	100		



Volume Statistics (Arithmetic) 65.\$02

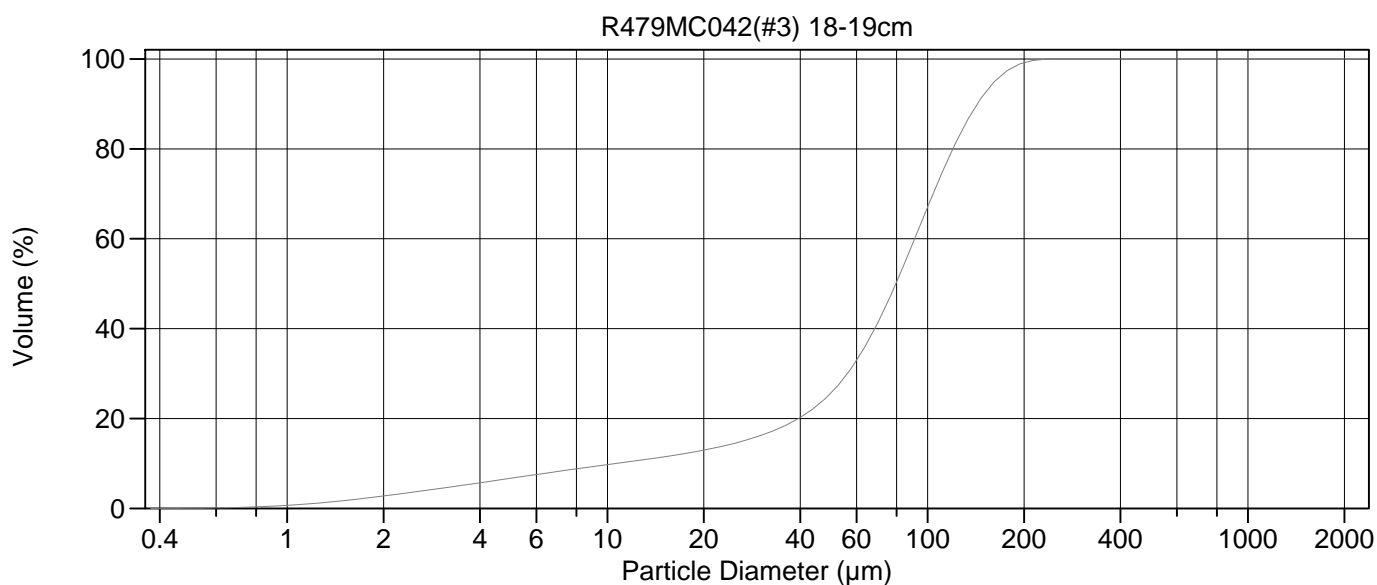
Calculations from 0.375 µm to 2000 µm

Volume	100.0%		
Mean:	55.31 µm	95% Conf. Limits:	0-139.4 µm
Median:	51.80 µm	S.D.:	42.88 µm
D(3,2):	11.33 µm	Variance:	1839 µm ²
Mean/Median Ratio:	1.068	C.V.:	77.5%
Mode:	72.95 µm	Skewness:	0.809 Right skewed
d ₁₀ :	3.918 µm	Kurtosis:	0.517 Leptokurtic
d ₅₀ :	51.80 µm		
d ₉₀ :	112.3 µm		
Specific Surf. Area	5295 cm ² /ml		

% <	10	25	50	75	90
Size µm	3.918	17.72	51.80	81.14	112.3

65.\$02

Particle Diameter µm	Volume % <	Particle Diameter µm	Volume % <
2.000	4.54	1000	100
5.000	12.3	2000	100
10.00	19.0		
15.00	23.0		
20.00	26.6		
50.00	48.5		
60.00	57.3		
63.00	60.0		
70.00	66.3		
75.00	70.4		
90.00	80.6		
125.0	93.1		
200.0	99.6		
250.0	100.0		
400.0	100		
500.0	100		



Volume Statistics (Arithmetic)

66#.\$02

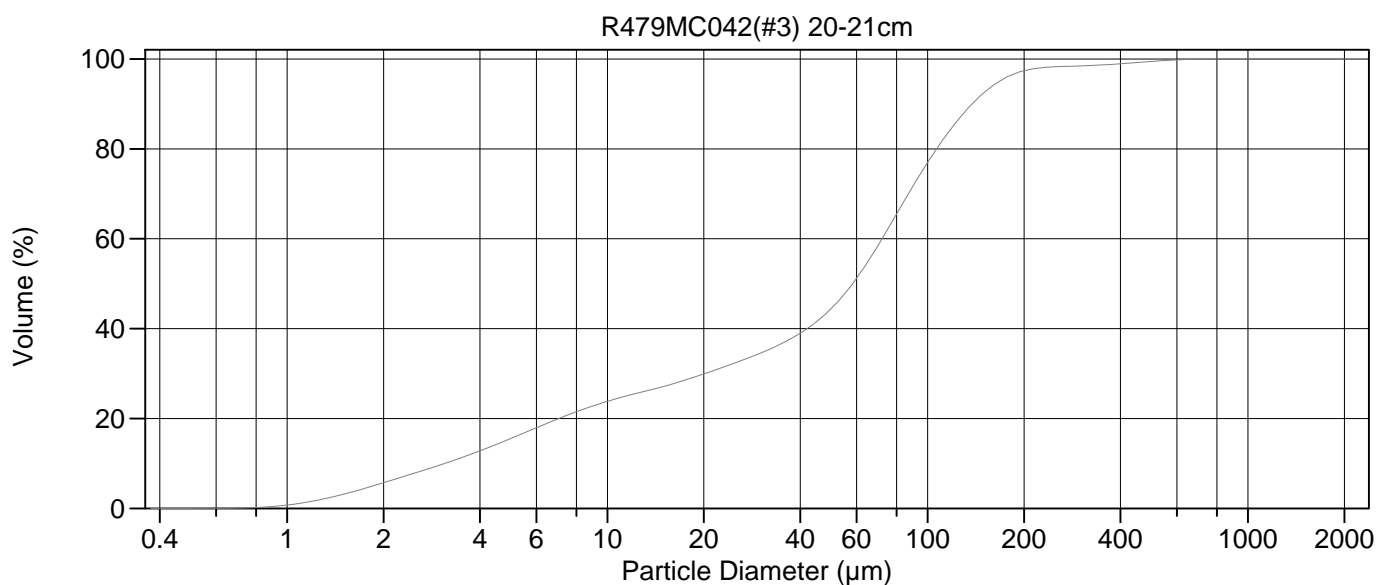
Calculations from 0.375 µm to 2000 µm

Volume	100.0%		
Mean:	80.62 µm	95% Conf. Limits:	0-172.7 µm
Median:	79.56 µm	S.D.:	46.98 µm
D(3,2):	18.18 µm	Variance:	2207 µm ²
Mean/Median Ratio:	1.013	C.V.:	58.3%
Mode:	96.49 µm	Skewness:	0.249 Right skewed
d ₁₀ :	10.63 µm	Kurtosis:	-0.291 Platykurtic
d ₅₀ :	79.56 µm		
d ₉₀ :	143.1 µm		
Specific Surf. Area	3300 cm ² /ml		

% <	10	25	50	75	90
Size µm	10.63	48.80	79.56	111.3	143.1

66#.\$02

Particle Diameter µm	Volume % <	Particle Diameter µm	Volume % <
2.000	2.77	1000	100
5.000	6.70	2000	100
10.00	9.74		
15.00	11.5		
20.00	13.0		
50.00	25.8		
60.00	33.0		
63.00	35.4		
70.00	41.4		
75.00	45.9		
90.00	59.1		
125.0	82.6		
200.0	99.2		
250.0	100.0		
400.0	100		
500.0	100		



Volume Statistics (Arithmetic) 67.\$02

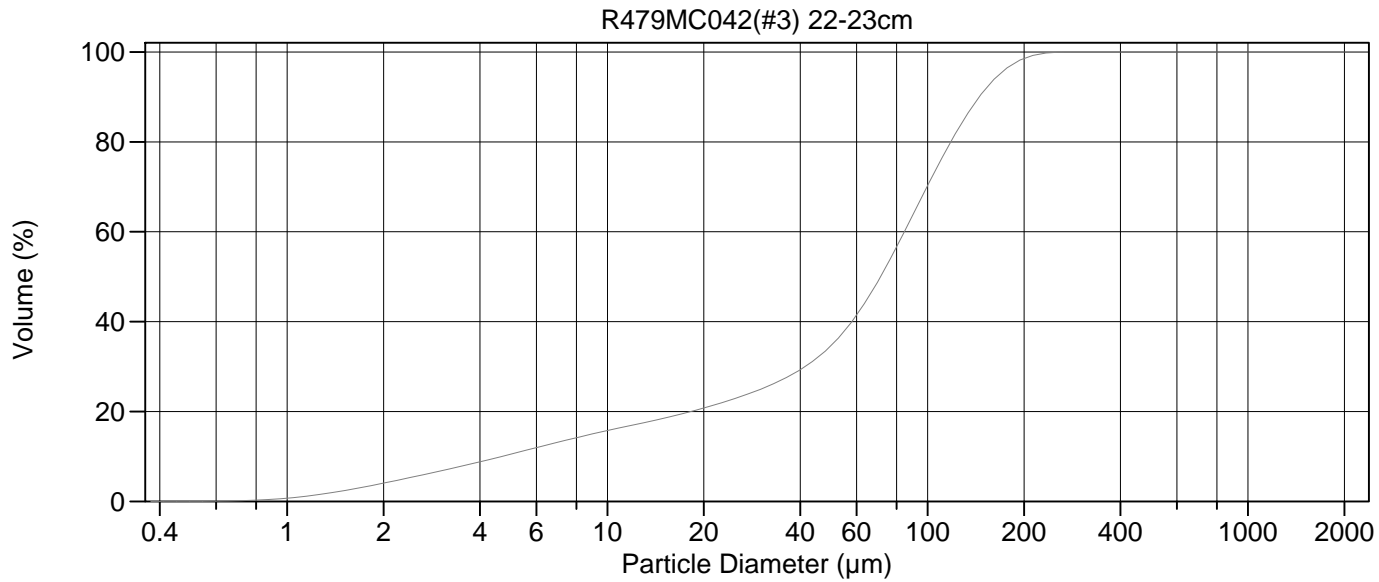
Calculations from 0.375 µm to 2000 µm

Volume	100.0%		
Mean:	67.65 µm	95% Conf. Limits:	0-209.8 µm
Median:	58.34 µm	S.D.:	72.51 µm
D(3,2):	9.863 µm	Variance:	5258 µm ²
Mean/Median Ratio:	1.160	C.V.:	107%
Mode:	80.08 µm	Skewness:	3.294 Right skewed
d ₁₀ :	3.103 µm	Kurtosis:	18.78 Leptokurtic
d ₅₀ :	58.34 µm		
d ₉₀ :	137.8 µm		
Specific Surf. Area	6083 cm ² /ml		

% <	10	25	50	75	90
Size µm	3.103	11.45	58.34	96.06	137.8

67.\$02

Particle Diameter µm	Volume % <	Particle Diameter µm	Volume % <
2.000	5.72	1000	100
5.000	15.6	2000	100
10.00	23.8		
15.00	27.2		
20.00	29.9		
50.00	44.5		
60.00	51.2		
63.00	53.4		
70.00	58.5		
75.00	62.1		
90.00	71.7		
125.0	86.6		
200.0	97.4		
250.0	98.3		
400.0	98.9		
500.0	99.5		



Volume Statistics (Arithmetic)

68.\$02

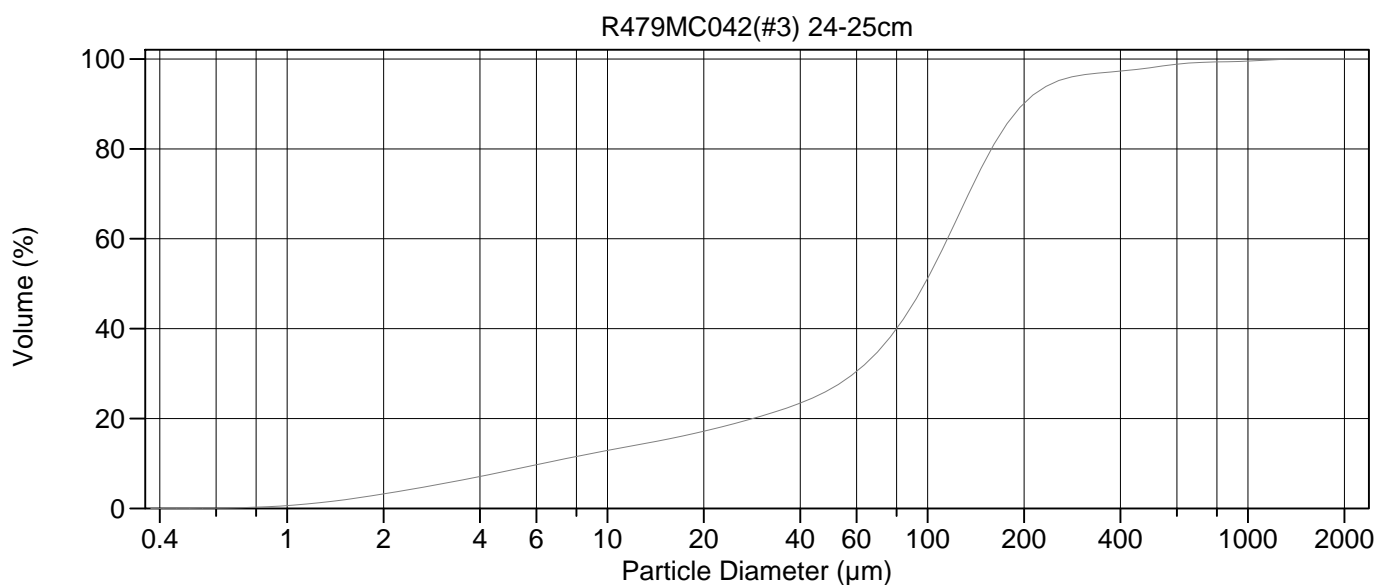
Calculations from 0.375 µm to 2000 µm

Volume	100.0%		
Mean:	73.88 µm	95% Conf. Limits:	0-176.0 µm
Median:	71.27 µm	S.D.:	52.12 µm
D(3,2):	13.26 µm	Variance:	2716 µm ²
Mean/Median Ratio:	1.037	C.V.:	70.5%
Mode:	87.90 µm	Skewness:	0.477 Right skewed
d ₁₀ :	4.677 µm	Kurtosis:	-0.280 Platykurtic
d ₅₀ :	71.27 µm		
d ₉₀ :	144.9 µm		
Specific Surf. Area	4526 cm ² /ml		

% <	10	25	50	75	90
Size µm	4.677	30.18	71.27	108.2	144.9

68.\$02

Particle Diameter µm	Volume % <	Particle Diameter µm	Volume % <
2.000	4.07	1000	100
5.000	10.5	2000	100
10.00	15.8		
15.00	18.5		
20.00	20.8		
50.00	34.7		
60.00	41.5		
63.00	43.7		
70.00	49.0		
75.00	52.9		
90.00	63.8		
125.0	83.0		
200.0	98.5		
250.0	99.9		
400.0	100		
500.0	100		



Volume Statistics (Arithmetic)

69.\$02

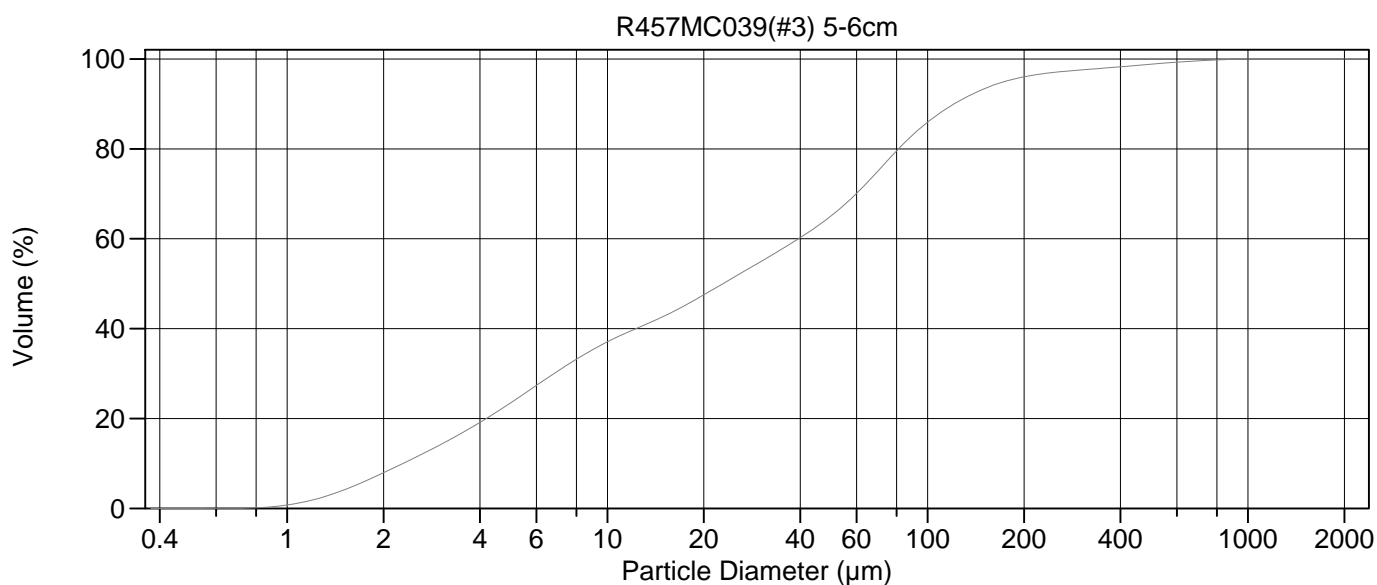
Calculations from 0.375 µm to 2000 µm

Volume	100.0%		
Mean:	113.5 µm	95% Conf. Limits:	0-354.8 µm
Median:	97.89 µm	S.D.:	123.1 µm
D(3,2):	16.17 µm	Variance:	15153 µm ²
Mean/Median Ratio:	1.159	C.V.:	108%
Mode:	127.6 µm	Skewness:	4.486 Right skewed
d ₁₀ :	6.282 µm	Kurtosis:	31.22 Leptokurtic
d ₅₀ :	97.89 µm		
d ₉₀ :	199.4 µm		
Specific Surf. Area	3710 cm ² /ml		

% <	10	25	50	75	90
Size µm	6.282	45.04	97.89	145.3	199.4

69.\$02

Particle Diameter µm	Volume % <	Particle Diameter µm	Volume % <
2.000	3.23	1000	99.5
5.000	8.51	2000	100
10.00	12.9		
15.00	15.2		
20.00	17.2		
50.00	26.7		
60.00	30.5		
63.00	31.8		
70.00	35.0		
75.00	37.4		
90.00	45.5		
125.0	65.3		
200.0	90.1		
250.0	94.8		
400.0	97.3		
500.0	98.1		



Volume Statistics (Arithmetic) 7.\$02

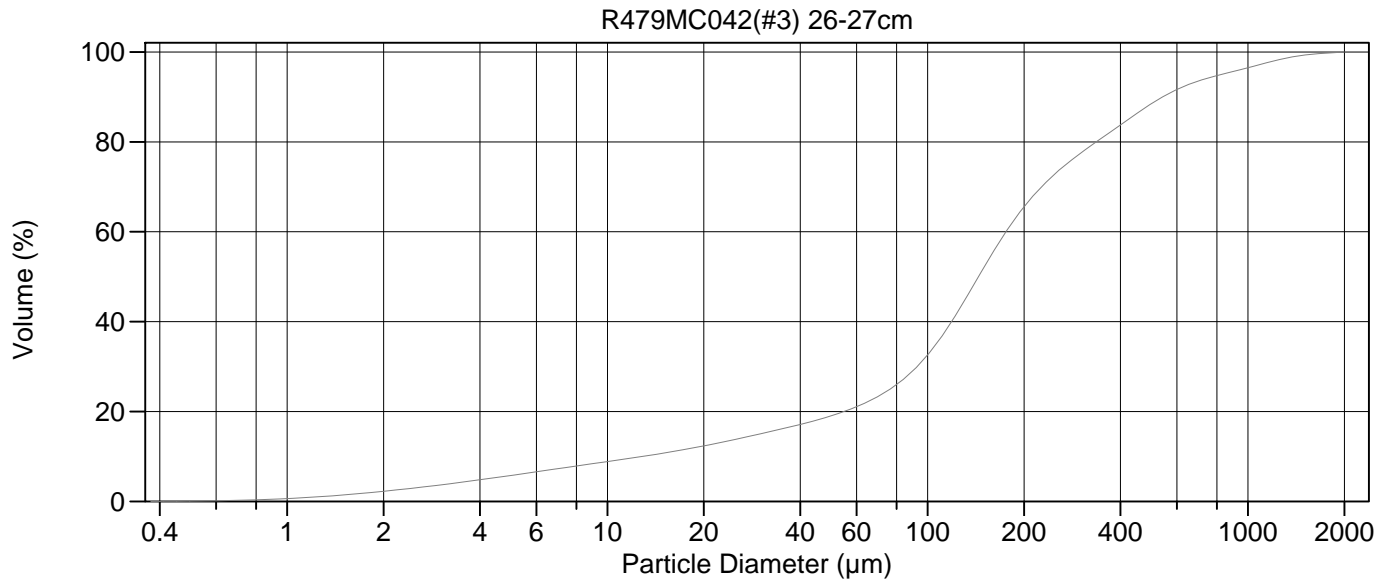
Calculations from 0.375 µm to 2000 µm

Volume	100.0%		
Mean:	53.88 µm	95% Conf. Limits:	0-234.9 µm
Median:	22.94 µm	S.D.:	92.33 µm
D(3,2):	6.955 µm	Variance:	8525 µm ²
Mean/Median Ratio:	2.349	C.V.:	171%
Mode:	72.95 µm	Skewness:	4.638 Right skewed
d ₁₀ :	2.302 µm	Kurtosis:	28.62 Leptokurtic
d ₅₀ :	22.94 µm		
d ₉₀ :	120.9 µm		
Specific Surf. Area	8626 cm ² /ml		

% <	10	25	50	75	90
Size µm	2.302	5.368	22.94	69.75	120.9

7.\$02

Particle Diameter µm	Volume % <	Particle Diameter µm	Volume % <
2.000	7.94	1000	100.0
5.000	23.5	2000	100
10.00	37.1		
15.00	42.7		
20.00	47.5		
50.00	65.1		
60.00	70.1		
63.00	71.6		
70.00	75.1		
75.00	77.4		
90.00	83.2		
125.0	90.6		
200.0	96.0		
250.0	97.0		
400.0	98.3		
500.0	98.9		



Volume Statistics (Arithmetic) 70.\$02

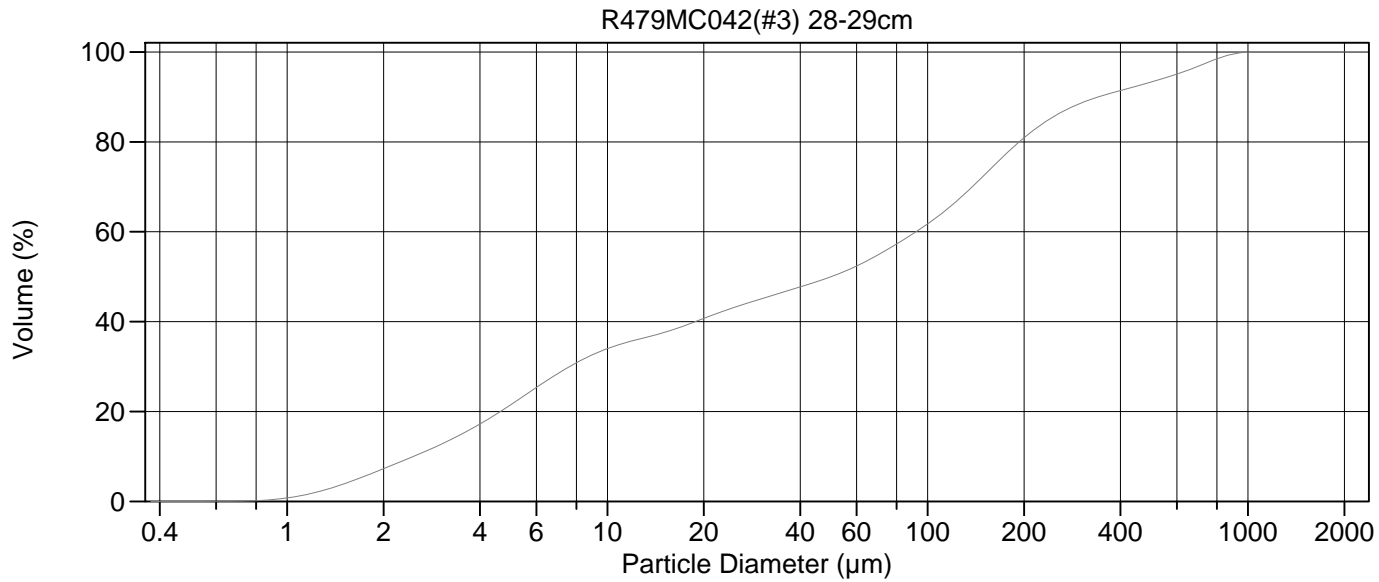
Calculations from 0.375 µm to 2000 µm

Volume	100.0%		
Mean:	232.7 µm	95% Conf. Limits:	0-779.0 µm
Median:	144.2 µm	S.D.:	278.7 µm
D(3,2):	21.99 µm	Variance:	77682 µm ²
Mean/Median Ratio:	1.614	C.V.:	120%
Mode:	140.1 µm	Skewness:	2.631 Right skewed
d ₁₀ :	12.84 µm	Kurtosis:	8.295 Leptokurtic
d ₅₀ :	144.2 µm		
d ₉₀ :	540.9 µm		
Specific Surf. Area	2728 cm ² /ml		

% <	10	25	50	75	90
Size µm	12.84	76.36	144.2	271.0	540.9

70.\$02

Particle Diameter µm	Volume % <	Particle Diameter µm	Volume % <
2.000	2.25	1000	96.5
5.000	5.77	2000	100
10.00	8.87		
15.00	10.8		
20.00	12.4		
50.00	19.0		
60.00	21.1		
63.00	21.7		
70.00	23.4		
75.00	24.7		
90.00	29.1		
125.0	42.5		
200.0	65.5		
250.0	72.9		
400.0	83.8		
500.0	88.5		



Volume Statistics (Arithmetic)

71#.\$02

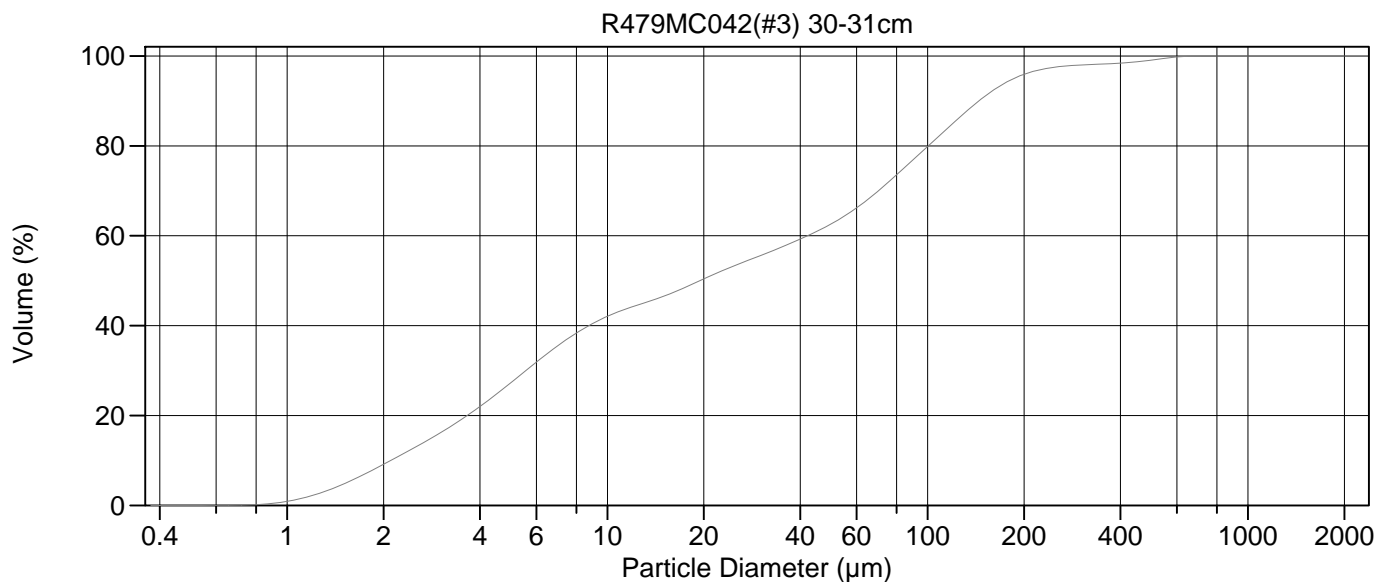
Calculations from 0.375 µm to 2000 µm

Volume	100.0%		
Mean:	125.5 µm	95% Conf. Limits:	0-489.7 µm
Median:	49.88 µm	S.D.:	185.8 µm
D(3,2):	7.818 µm	Variance:	34532 µm ²
Mean/Median Ratio:	2.515	C.V.:	148%
Mode:	153.8 µm	Skewness:	2.284 Right skewed
d ₁₀ :	2.478 µm	Kurtosis:	5.162 Leptokurtic
d ₅₀ :	49.88 µm		
d ₉₀ :	340.7 µm		
Specific Surf. Area	7675 cm ² /ml		

% <	10	25	50	75	90
Size µm	2.478	5.907	49.88	162.5	340.7

71#.\$02

Particle Diameter µm	Volume % <	Particle Diameter µm	Volume % <
2.000	7.28	1000	99.9
5.000	21.5	2000	100
10.00	34.0		
15.00	37.6		
20.00	40.7		
50.00	50.0		
60.00	52.4		
63.00	53.1		
70.00	54.9		
75.00	56.1		
90.00	59.6		
125.0	67.2		
200.0	80.9		
250.0	85.8		
400.0	91.4		
500.0	93.3		



Volume Statistics (Arithmetic) 72.\$02

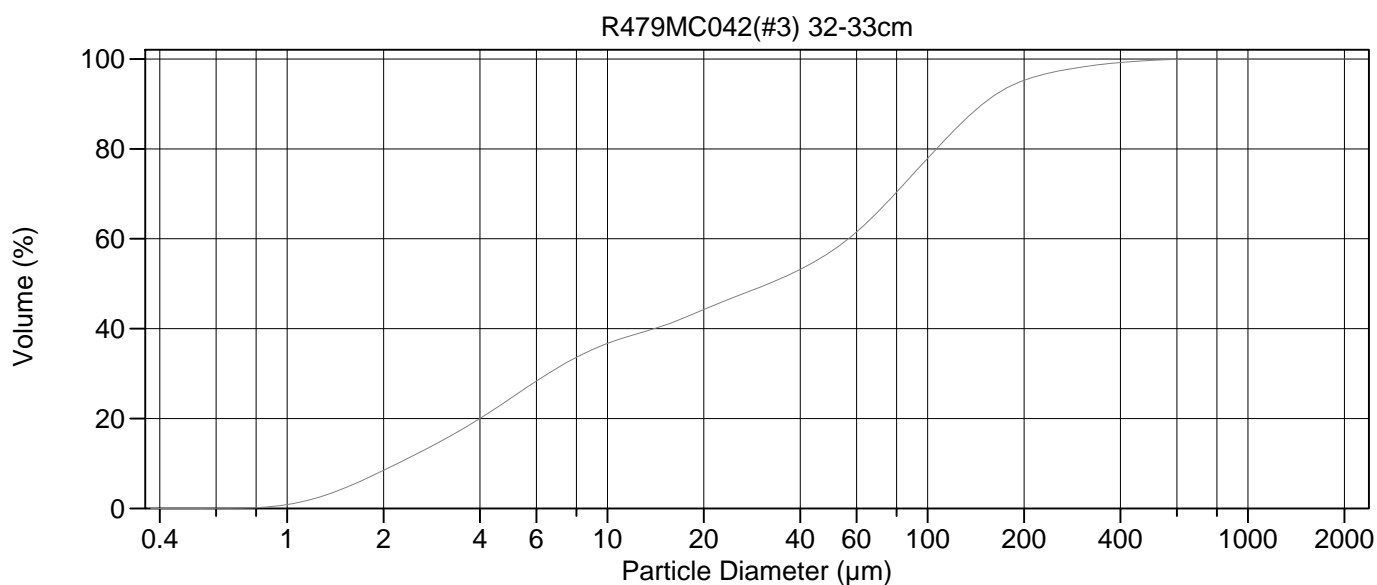
Calculations from 0.375 µm to 2000 µm

Volume	100.0%		
Mean:	56.40 µm	95% Conf. Limits:	0-221.6 µm
Median:	19.46 µm	S.D.:	84.26 µm
D(3,2):	6.276 µm	Variance:	7100 µm ²
Mean/Median Ratio:	2.898	C.V.:	149%
Mode:	105.9 µm	Skewness:	3.256 Right skewed
d ₁₀ :	2.109 µm	Kurtosis:	14.77 Leptokurtic
d ₅₀ :	19.46 µm		
d ₉₀ :	144.5 µm		
Specific Surf. Area	9561 cm ² /ml		

% <	10	25	50	75	90
Size µm	2.109	4.550	19.46	84.13	144.5

72.\$02

Particle Diameter µm	Volume % <	Particle Diameter µm	Volume % <
2.000	9.14	1000	100
5.000	27.3	2000	100
10.00	42.1		
15.00	46.5		
20.00	50.4		
50.00	62.6		
60.00	66.2		
63.00	67.3		
70.00	69.9		
75.00	71.8		
90.00	76.9		
125.0	86.1		
200.0	95.9		
250.0	97.5		
400.0	98.4		
500.0	99.1		



Volume Statistics (Arithmetic) 73.\$02

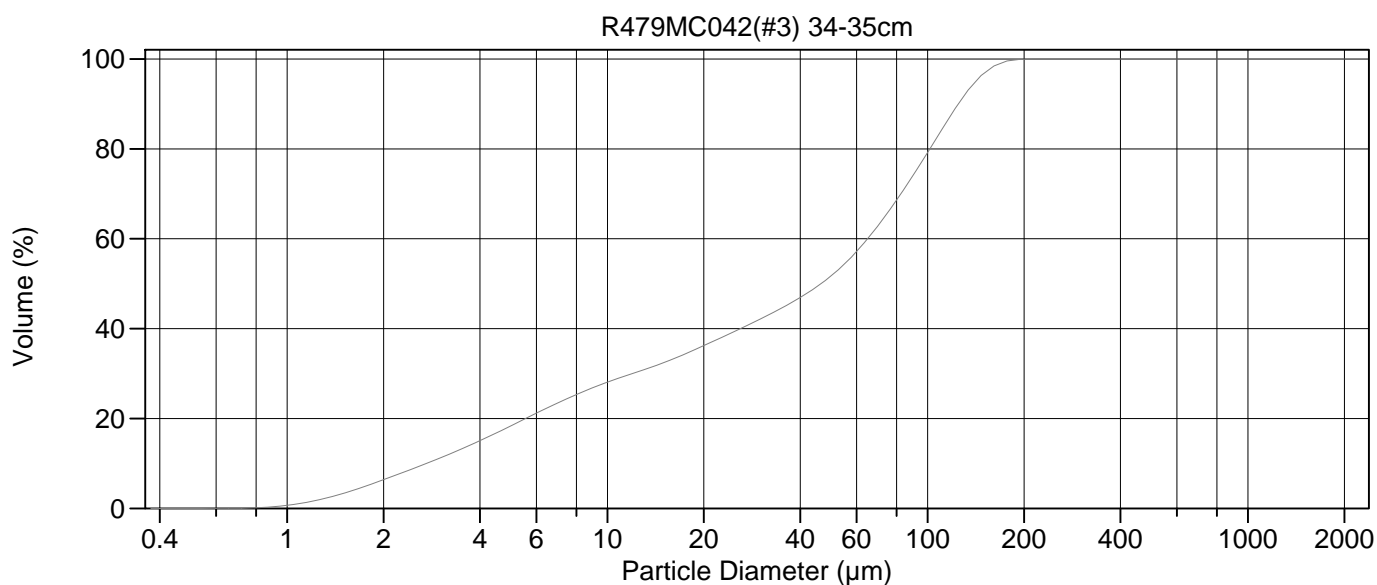
Calculations from 0.375 µm to 2000 µm

Volume	100.0%		
Mean:	60.34 µm	95% Conf. Limits:	0-210.8 µm
Median:	31.88 µm	S.D.:	76.79 µm
D(3,2):	6.909 µm	Variance:	5896 µm ²
Mean/Median Ratio:	1.893	C.V.:	127%
Mode:	87.90 µm	Skewness:	2.498 Right skewed
d ₁₀ :	2.212 µm	Kurtosis:	9.642 Leptokurtic
d ₅₀ :	31.88 µm		
d ₉₀ :	148.7 µm		
Specific Surf. Area	8684 cm ² /ml		

% <	10	25	50	75	90
Size µm	2.212	5.110	31.88	91.67	148.7

73.\$02

Particle Diameter µm	Volume % <	Particle Diameter µm	Volume % <
2.000	8.47	1000	100
5.000	24.5	2000	100
10.00	36.7		
15.00	40.7		
20.00	44.2		
50.00	57.2		
60.00	61.5		
63.00	62.9		
70.00	66.0		
75.00	68.3		
90.00	74.4		
125.0	85.1		
200.0	95.3		
250.0	97.2		
400.0	99.2		
500.0	99.7		



Volume Statistics (Arithmetic) 74.\$02

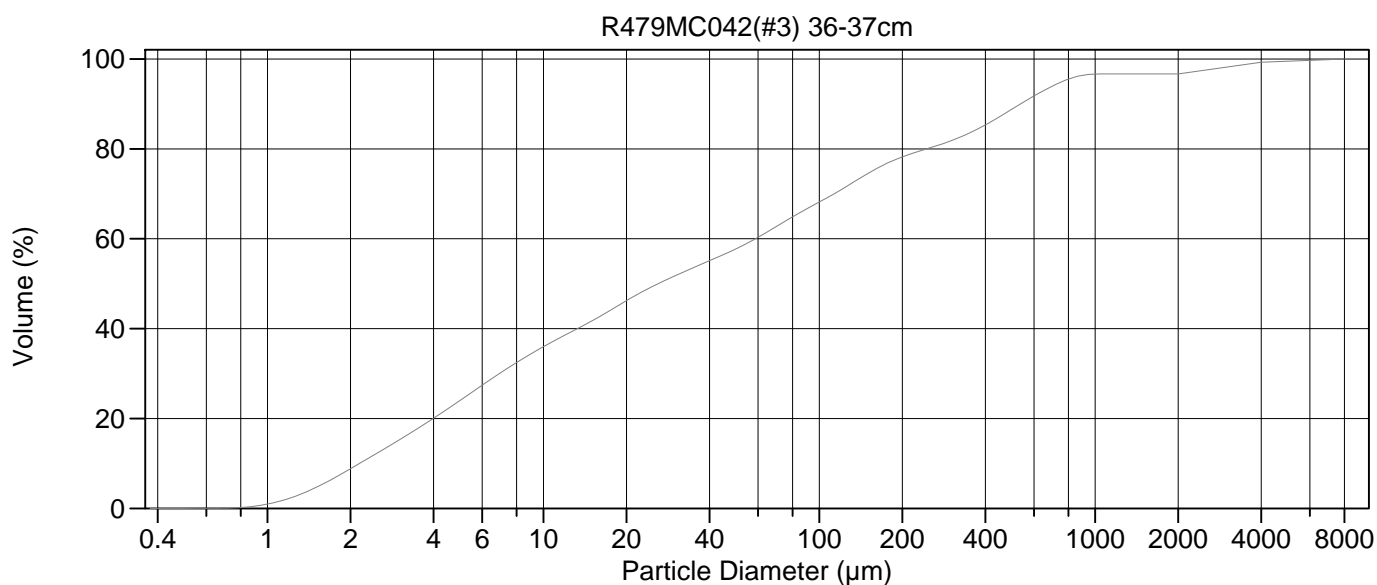
Calculations from 0.375 µm to 2000 µm

Volume	100.0%		
Mean:	54.70 µm	95% Conf. Limits:	0-148.3 µm
Median:	46.45 µm	S.D.:	47.76 µm
D(3,2):	8.667 µm	Variance:	2281 µm ²
Mean/Median Ratio:	1.178	C.V.:	87.3%
Mode:	105.9 µm	Skewness:	0.577 Right skewed
d ₁₀ :	2.722 µm	Kurtosis:	-0.780 Platykurtic
d ₅₀ :	46.45 µm		
d ₉₀ :	124.7 µm		
Specific Surf. Area	6923 cm ² /ml		

% <	10	25	50	75	90
Size µm	2.722	7.814	46.45	91.72	124.7

74.\$02

Particle Diameter µm	Volume % <	Particle Diameter µm	Volume % <
2.000	6.39	1000	100
5.000	18.4	2000	100
10.00	28.1		
15.00	32.4		
20.00	36.2		
50.00	51.8		
60.00	57.2		
63.00	58.9		
70.00	62.9		
75.00	65.8		
90.00	74.1		
125.0	90.1		
200.0	100.0		
250.0	100		
400.0	100		
500.0	100		



Volume Statistics (Arithmetic) 75a.\$02

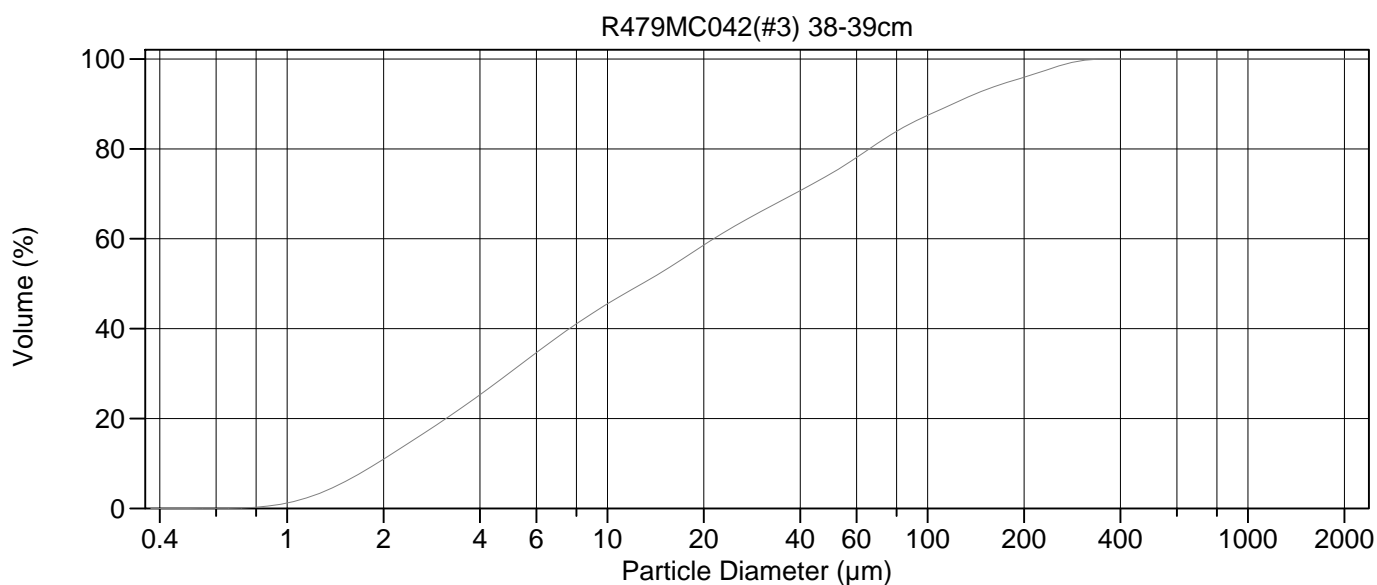
Calculations from 0.375 µm to 8000 µm

Volume	100.0%		
Mean:	231.8 µm	95% Conf. Limits:	0-1530 µm
Median:	26.11 µm	S.D.:	662.6 µm
D(3,2):	6.886 µm	Variance:	438983 µm ²
Mean/Median Ratio:	8.880	C.V.:	286%
Mode:	2828 µm	Skewness:	5.571 Right skewed
d ₁₀ :	2.156 µm	Kurtosis:	35.95 Leptokurtic
d ₅₀ :	26.11 µm		
d ₉₀ :	536.1 µm		
Specific Surf. Area	8713 cm ² /ml		

% <	10	25	50	75	90
Size µm	2.156	5.265	26.11	155.0	536.1

75a.\$02

Particle Diameter µm	Volume % <	Particle Diameter µm	Volume % <
2.000	8.84	1000	96.6
5.000	24.1	2000	96.7
10.00	36.0	4000	99.3
15.00	41.7	8000	100
20.00	46.2	16000	100
50.00	57.8		
60.00	60.3		
63.00	61.1		
70.00	62.8		
75.00	63.9		
90.00	66.6		
125.0	71.6		
200.0	78.2		
250.0	80.2		
400.0	85.3		
500.0	88.9		



Volume Statistics (Arithmetic) 76.\$02

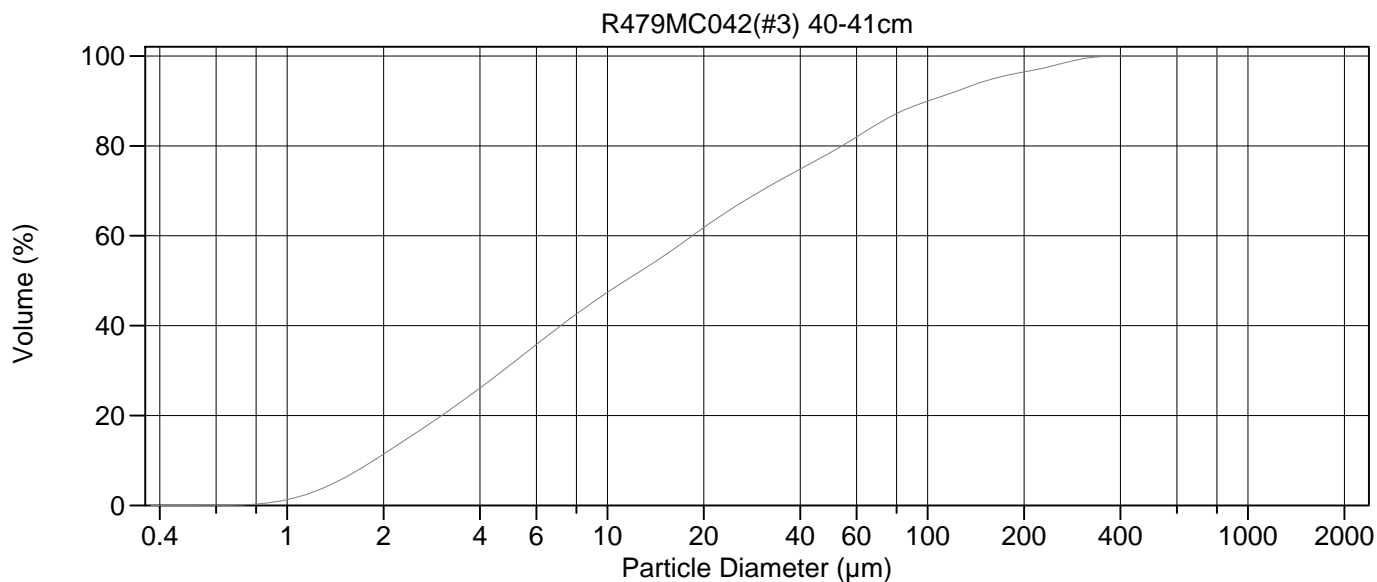
Calculations from 0.375 μm to 2000 μm

Volume	100.0%		
Mean:	40.12 μm	95% Conf. Limits:	0-157.7 μm
Median:	12.83 μm	S.D.:	59.98 μm
D(3,2):	5.478 μm	Variance:	3598 μm^2
Mean/Median Ratio:	3.128	C.V.:	149%
Mode:	5.355 μm	Skewness:	2.297 Right skewed
d ₁₀ :	1.904 μm	Kurtosis:	5.293 Leptokurtic
d ₅₀ :	12.83 μm		
d ₉₀ :	119.8 μm		
Specific Surf. Area	10953 cm^2/ml		

% <	10	25	50	75	90
Size μm	1.904	3.947	12.83	51.31	119.8

76.\$02

Particle Diameter μm	Volume % <	Particle Diameter μm	Volume % <
2.000	11.0	1000	100
5.000	30.4	2000	100
10.00	45.5		
15.00	52.8		
20.00	58.6		
50.00	74.5		
60.00	78.1		
63.00	79.1		
70.00	81.3		
75.00	82.7		
90.00	85.9		
125.0	90.6		
200.0	95.9		
250.0	98.2		
400.0	100.0		
500.0	100		



Volume Statistics (Arithmetic) 77.\$02

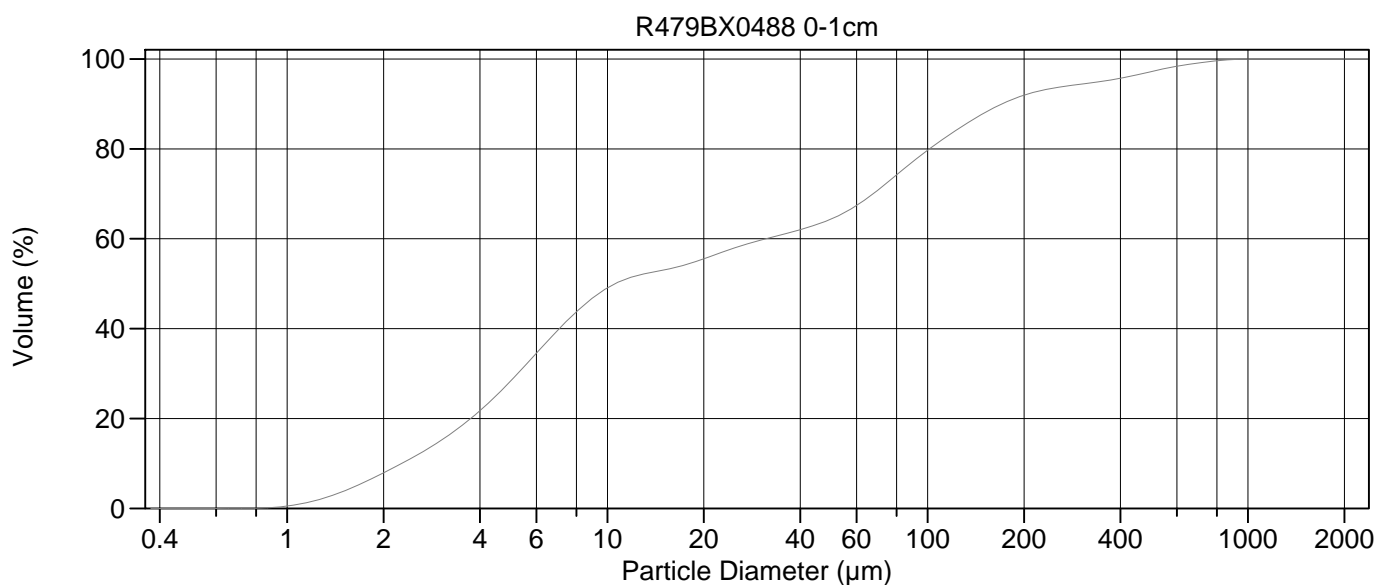
Calculations from 0.375 µm to 2000 µm

Volume	100.0%		
Mean:	35.74 µm	95% Conf. Limits:	0-149.2 µm
Median:	11.38 µm	S.D.:	57.90 µm
D(3,2):	5.268 µm	Variance:	3352 µm ²
Mean/Median Ratio:	3.142	C.V.:	162%
Mode:	5.355 µm	Skewness:	2.786 Right skewed
d ₁₀ :	1.865 µm	Kurtosis:	8.424 Leptokurtic
d ₅₀ :	11.38 µm		
d ₉₀ :	100.3 µm		
Specific Surf. Area	11390 cm ² /ml		

% <	10	25	50	75	90
Size µm	1.865	3.810	11.38	40.38	100.3

77.\$02

Particle Diameter µm	Volume % <	Particle Diameter µm	Volume % <
2.000	11.4	1000	100
5.000	31.4	2000	100
10.00	47.4		
15.00	55.5		
20.00	61.8		
50.00	78.6		
60.00	82.0		
63.00	82.9		
70.00	84.9		
75.00	86.2		
90.00	88.8		
125.0	92.3		
200.0	96.4		
250.0	97.9		
400.0	100.0		
500.0	100		



Volume Statistics (Arithmetic) 78.\$02

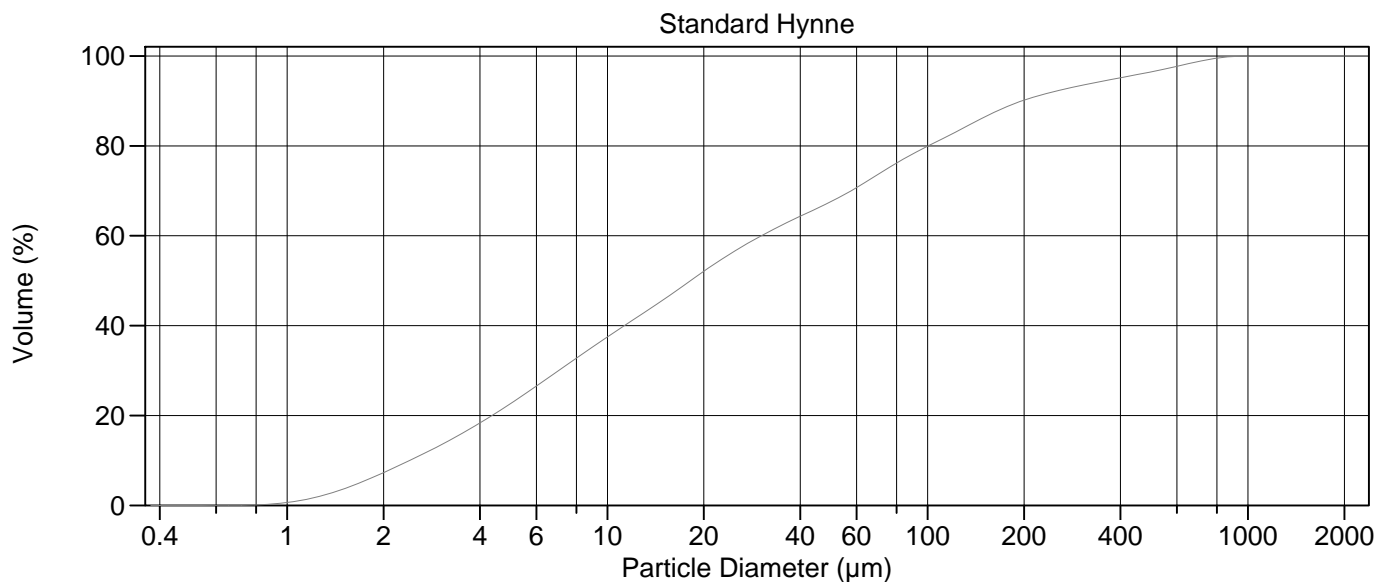
Calculations from 0.375 µm to 2000 µm

Volume	100.0%		
Mean:	69.75 µm	95% Conf. Limits:	0-324.9 µm
Median:	10.58 µm	S.D.:	130.2 µm
D(3,2):	6.236 µm	Variance:	16953 µm ²
Mean/Median Ratio:	6.592	C.V.:	187%
Mode:	5.878 µm	Skewness:	3.380 Right skewed
d ₁₀ :	2.279 µm	Kurtosis:	13.07 Leptokurtic
d ₅₀ :	10.58 µm		
d ₉₀ :	170.6 µm		
Specific Surf. Area	9621 cm ² /ml		

% <	10	25	50	75	90
Size µm	2.279	4.482	10.58	82.47	170.6

78.\$02

Particle Diameter µm	Volume % <	Particle Diameter µm	Volume % <
2.000	7.91	1000	100.0
5.000	28.4	2000	100
10.00	49.1		
15.00	53.1		
20.00	55.5		
50.00	64.4		
60.00	67.4		
63.00	68.4		
70.00	70.8		
75.00	72.6		
90.00	77.2		
125.0	84.5		
200.0	91.9		
250.0	93.6		
400.0	95.7		
500.0	97.2		



Volume Statistics (Arithmetic) 79.\$02

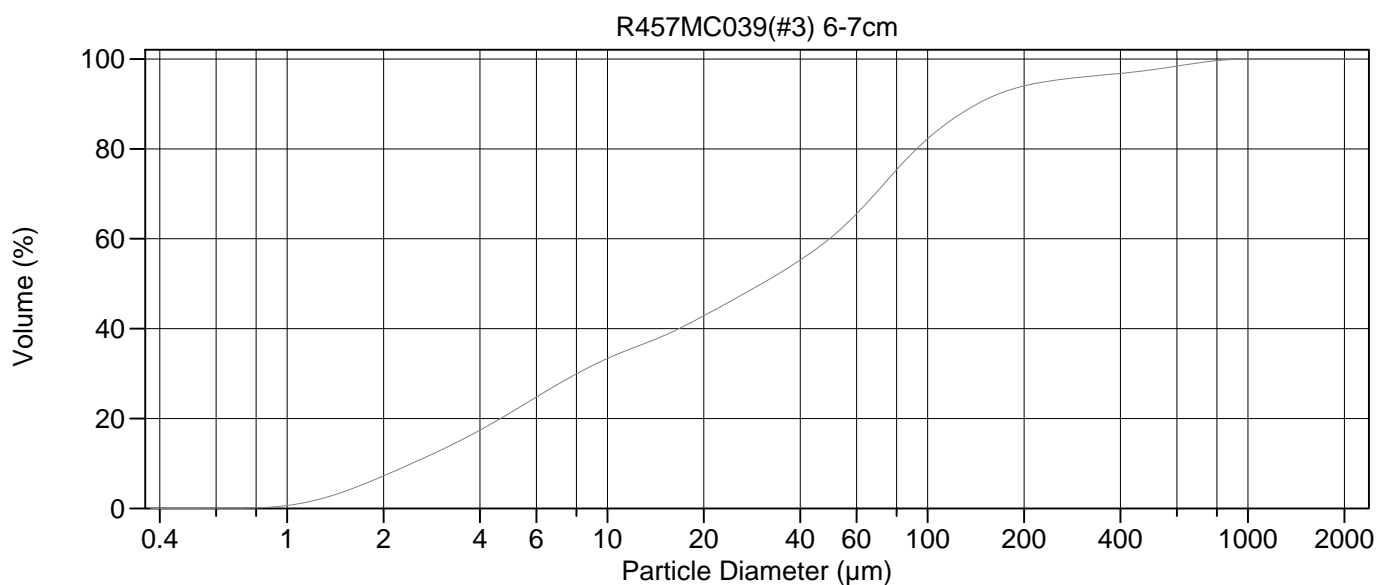
Calculations from 0.375 µm to 2000 µm

Volume	100.0%		
Mean:	75.25 µm	95% Conf. Limits:	0-352.4 µm
Median:	18.19 µm	S.D.:	141.4 µm
D(3,2):	7.090 µm	Variance:	20000 µm ²
Mean/Median Ratio:	4.137	C.V.:	188%
Mode:	18.00 µm	Skewness:	3.218 Right skewed
d ₁₀ :	2.414 µm	Kurtosis:	11.20 Leptokurtic
d ₅₀ :	18.19 µm		
d ₉₀ :	196.7 µm		
Specific Surf. Area	8463 cm ² /ml		

% <	10	25	50	75	90
Size µm	2.414	5.583	18.19	75.04	196.7

79.\$02

Particle Diameter µm	Volume % <	Particle Diameter µm	Volume % <
2.000	7.29	1000	100.0
5.000	22.7	2000	100
10.00	37.5		
15.00	45.8		
20.00	52.1		
50.00	67.6		
60.00	70.7		
63.00	71.6		
70.00	73.7		
75.00	75.0		
90.00	78.2		
125.0	83.4		
200.0	90.2		
250.0	92.1		
400.0	95.2		
500.0	96.5		



Volume Statistics (Arithmetic) 8.\$02

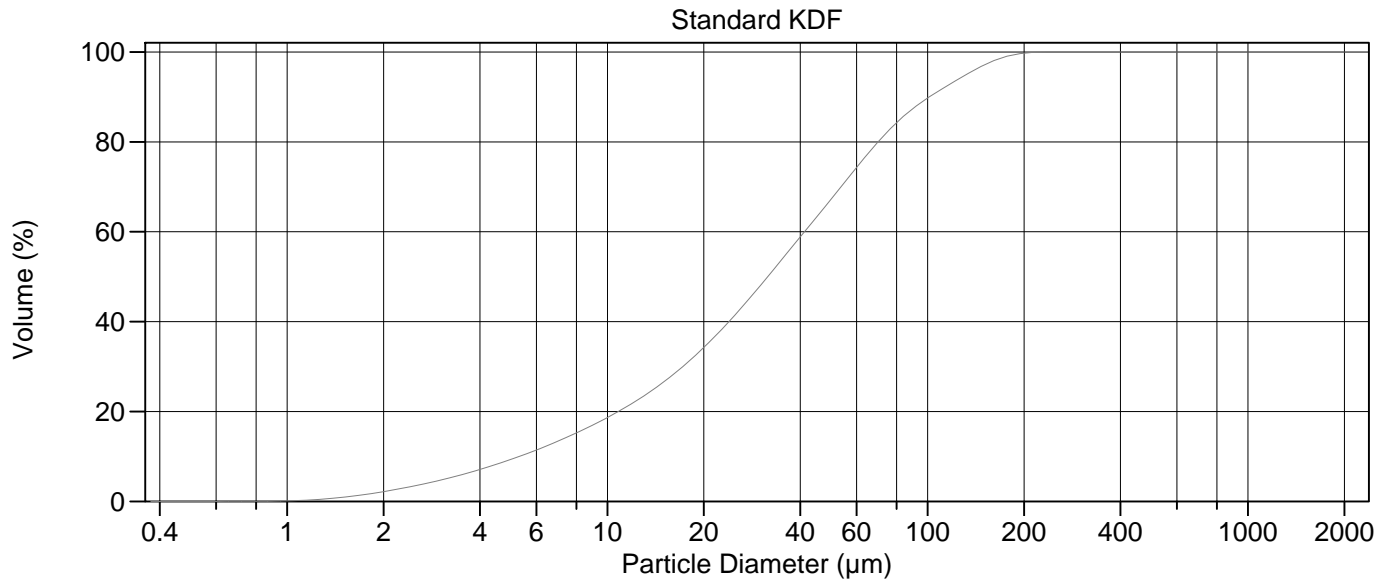
Calculations from 0.375 µm to 2000 µm

Volume	100.0%		
Mean:	67.61 µm	95% Conf. Limits:	0-298.5 µm
Median:	30.33 µm	S.D.:	117.8 µm
D(3,2):	7.621 µm	Variance:	13874 µm ²
Mean/Median Ratio:	2.229	C.V.:	174%
Mode:	72.95 µm	Skewness:	3.967 Right skewed
d ₁₀ :	2.450 µm	Kurtosis:	18.45 Leptokurtic
d ₅₀ :	30.33 µm		
d ₉₀ :	143.0 µm		
Specific Surf. Area	7873 cm ² /ml		

% <	10	25	50	75	90
Size µm	2.450	6.076	30.33	79.17	143.0

8.\$02

Particle Diameter µm	Volume % <	Particle Diameter µm	Volume % <
2.000	7.24	1000	100.0
5.000	21.3	2000	100
10.00	33.3		
15.00	38.4		
20.00	42.8		
50.00	60.3		
60.00	65.5		
63.00	67.1		
70.00	70.7		
75.00	73.1		
90.00	79.2		
125.0	87.5		
200.0	94.0		
250.0	95.3		
400.0	96.8		
500.0	97.6		



Volume Statistics (Arithmetic)

80.\$02

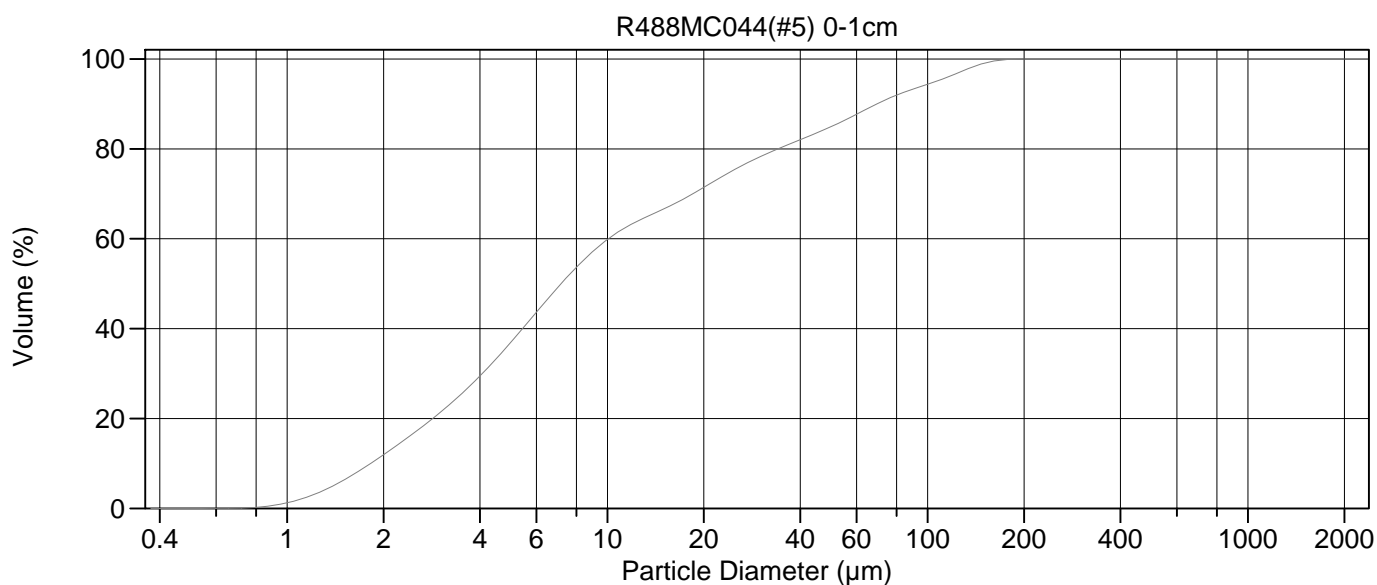
Calculations from 0.375 µm to 2000 µm

Volume	100.0%		
Mean:	43.84 µm	95% Conf. Limits:	0-122.6 µm
Median:	31.67 µm	S.D.:	40.19 µm
D(3,2):	13.19 µm	Variance:	1615 µm ²
Mean/Median Ratio:	1.384	C.V.:	91.7%
Mode:	55.14 µm	Skewness:	1.470 Right skewed
d ₁₀ :	5.311 µm	Kurtosis:	2.033 Leptokurtic
d ₅₀ :	31.67 µm		
d ₉₀ :	101.1 µm		
Specific Surf. Area	4550 cm ² /ml		

% <	10	25	50	75	90
Size µm	5.311	13.98	31.67	61.16	101.1

80.\$02

Particle Diameter µm	Volume % <	Particle Diameter µm	Volume % <
2.000	2.17	1000	100
5.000	9.34	2000	100
10.00	18.7		
15.00	26.6		
20.00	34.2		
50.00	67.3		
60.00	74.3		
63.00	76.2		
70.00	80.0		
75.00	82.3		
90.00	87.4		
125.0	94.0		
200.0	99.7		
250.0	100.0		
400.0	100		
500.0	100		



Volume Statistics (Arithmetic) 81.\$02

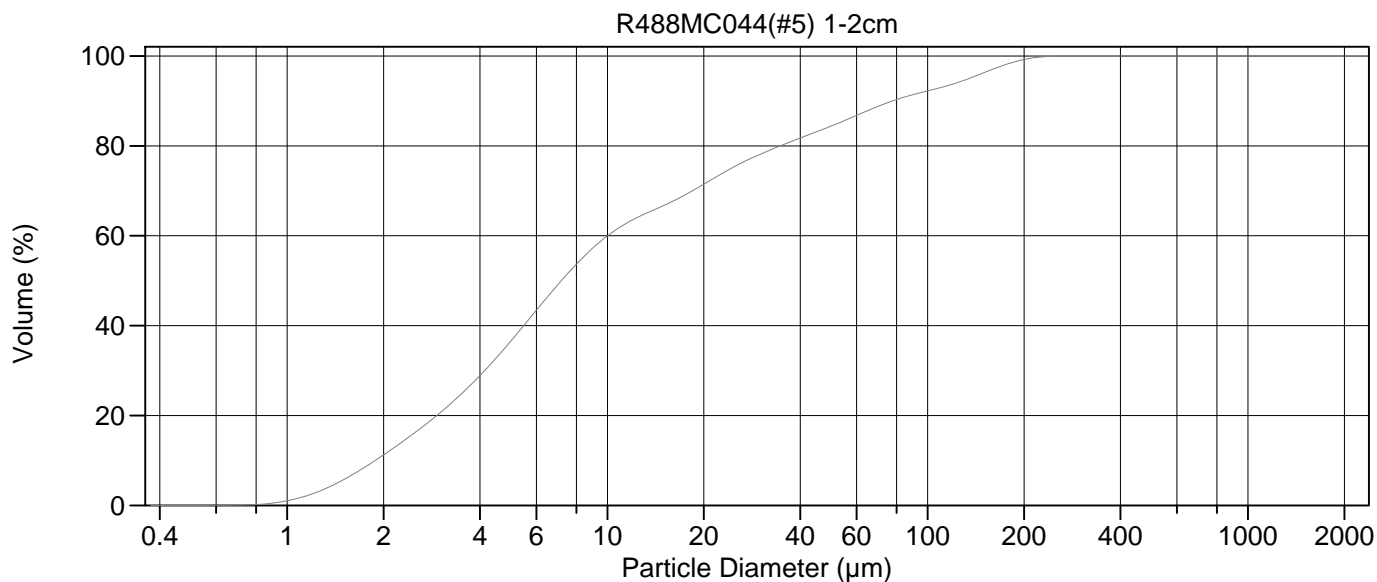
Calculations from 0.375 µm to 2000 µm

Volume	100.0%		
Mean:	22.48 µm	95% Conf. Limits:	0-88.36 µm
Median:	7.174 µm	S.D.:	33.61 µm
D(3,2):	4.665 µm	Variance:	1130 µm ²
Mean/Median Ratio:	3.133	C.V.:	150%
Mode:	5.878 µm	Skewness:	2.275 Right skewed
d ₁₀ :	1.824 µm	Kurtosis:	4.835 Leptokurtic
d ₅₀ :	7.174 µm		
d ₉₀ :	69.32 µm		
Specific Surf. Area	12861 cm ² /ml		

% <	10	25	50	75	90
Size µm	1.824	3.443	7.174	24.37	69.32

81.\$02

Particle Diameter µm	Volume % <	Particle Diameter µm	Volume % <
2.000	11.9	1000	100
5.000	37.0	2000	100
10.00	59.8		
15.00	66.6		
20.00	71.4		
50.00	85.0		
60.00	87.7		
63.00	88.5		
70.00	90.1		
75.00	91.1		
90.00	93.3		
125.0	97.0		
200.0	100.0		
250.0	100		
400.0	100		
500.0	100		



Volume Statistics (Arithmetic) 82.\$02

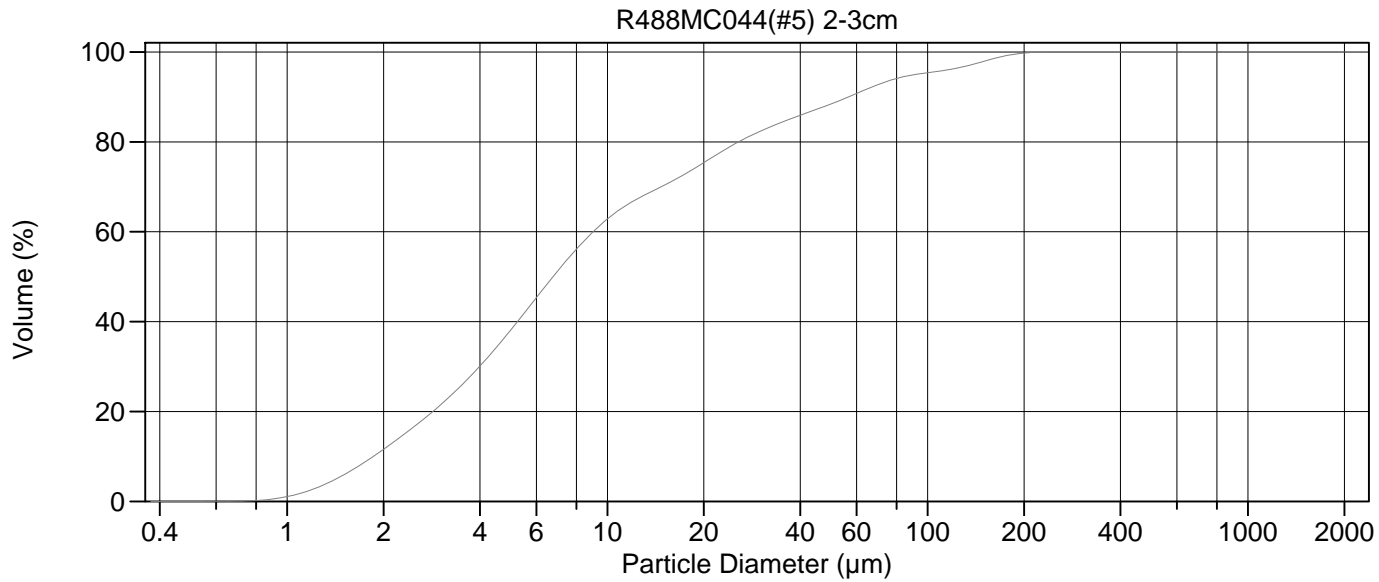
Calculations from 0.375 µm to 2000 µm

Volume	100.0%		
Mean:	25.66 µm	95% Conf. Limits:	0-108.8 µm
Median:	7.187 µm	S.D.:	42.44 µm
D(3,2):	4.782 µm	Variance:	1801 µm ²
Mean/Median Ratio:	3.570	C.V.:	165%
Mode:	5.878 µm	Skewness:	2.566 Right skewed
d ₁₀ :	1.887 µm	Kurtosis:	6.384 Leptokurtic
d ₅₀ :	7.187 µm		
d ₉₀ :	77.53 µm		
Specific Surf. Area	12547 cm ² /ml		

% <	10	25	50	75	90
Size µm	1.887	3.524	7.187	24.36	77.53

82.\$02

Particle Diameter µm	Volume % <	Particle Diameter µm	Volume % <
2.000	11.2	1000	100
5.000	36.6	2000	100
10.00	60.0		
15.00	66.7		
20.00	71.5		
50.00	84.4		
60.00	86.8		
63.00	87.4		
70.00	88.8		
75.00	89.6		
90.00	91.4		
125.0	94.2		
200.0	99.2		
250.0	99.9		
400.0	100		
500.0	100		



Volume Statistics (Arithmetic)

83.\$02

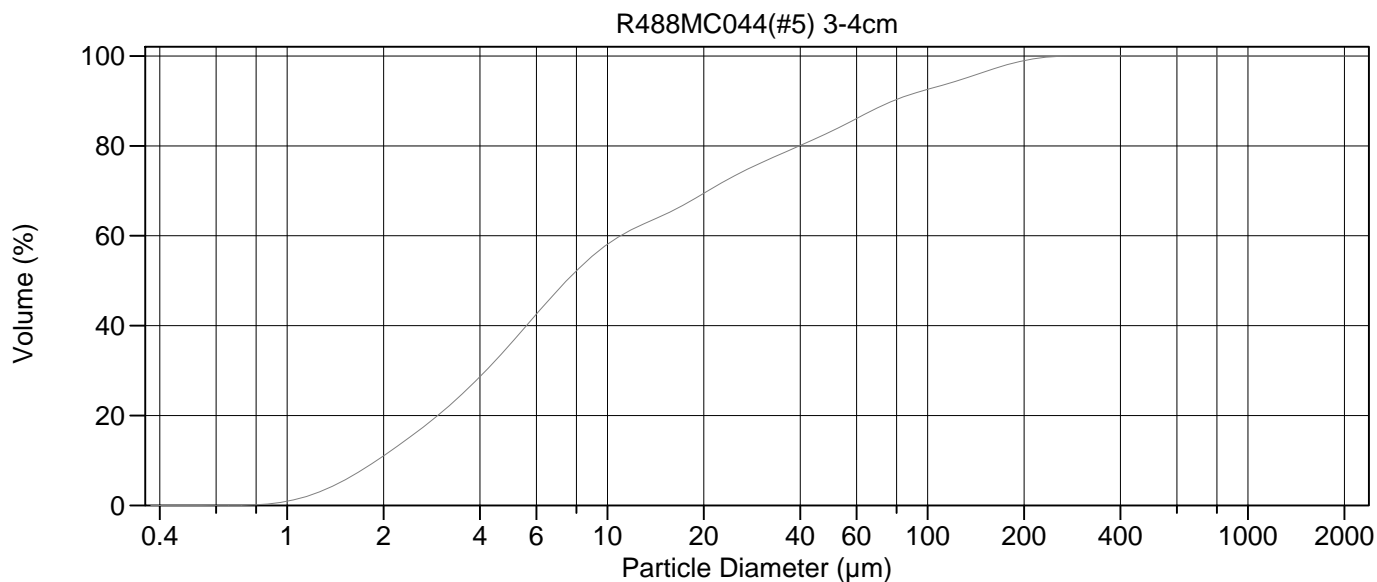
Calculations from 0.375 µm to 2000 µm

Volume	100.0%		
Mean:	20.21 µm	95% Conf. Limits:	0-86.72 µm
Median:	6.763 µm	S.D.:	33.94 µm
D(3,2):	4.588 µm	Variance:	1152 µm ²
Mean/Median Ratio:	2.988	C.V.:	168%
Mode:	5.878 µm	Skewness:	3.049 Right skewed
d ₁₀ :	1.859 µm	Kurtosis:	9.936 Leptokurtic
d ₅₀ :	6.763 µm		
d ₉₀ :	56.60 µm		
Specific Surf. Area	13077 cm ² /ml		

% <	10	25	50	75	90
Size µm	1.859	3.407	6.763	19.62	56.60

83.\$02

Particle Diameter µm	Volume % <	Particle Diameter µm	Volume % <
2.000	11.6	1000	100
5.000	38.2	2000	100
10.00	62.8		
15.00	70.3		
20.00	75.4		
50.00	88.5		
60.00	90.8		
63.00	91.4		
70.00	92.8		
75.00	93.5		
90.00	94.9		
125.0	96.5		
200.0	99.7		
250.0	100.0		
400.0	100		
500.0	100		



Volume Statistics (Arithmetic)

84#.\$02

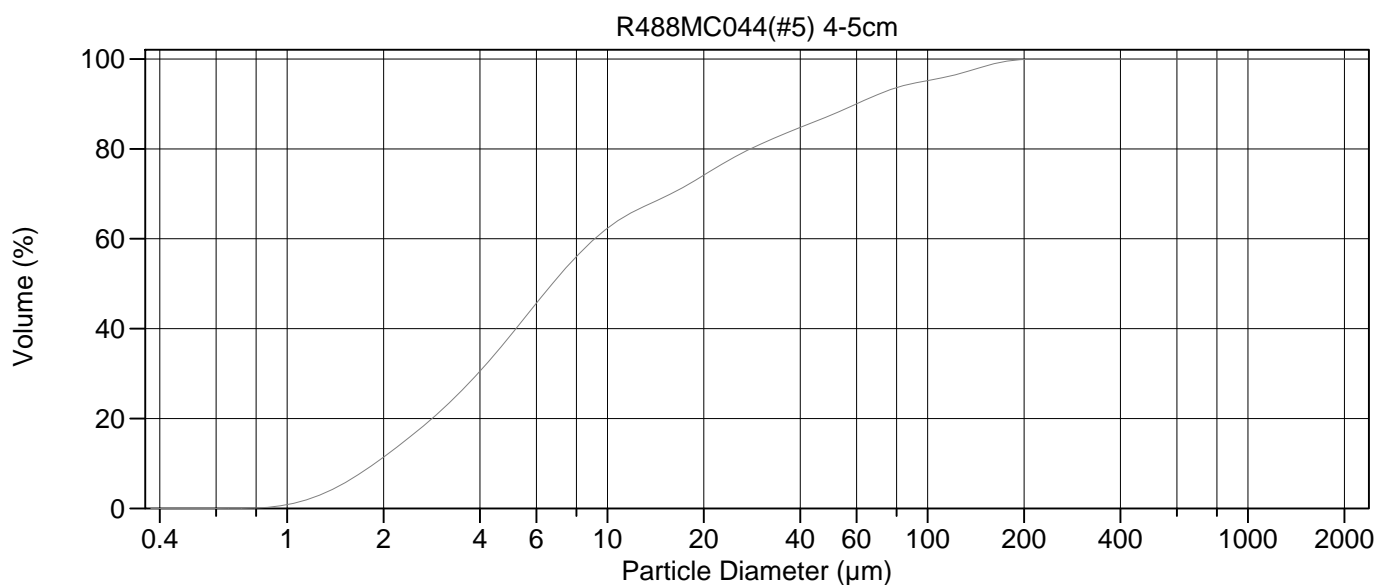
Calculations from 0.375 µm to 2000 µm

Volume	100.0%		
Mean:	26.56 µm	95% Conf. Limits:	0-110.4 µm
Median:	7.458 µm	S.D.:	42.80 µm
D(3,2):	4.884 µm	Variance:	1832 µm ²
Mean/Median Ratio:	3.562	C.V.:	161%
Mode:	5.878 µm	Skewness:	2.595 Right skewed
d ₁₀ :	1.905 µm	Kurtosis:	6.964 Leptokurtic
d ₅₀ :	7.458 µm		
d ₉₀ :	77.92 µm		
Specific Surf. Area	12284 cm ² /ml		

% <	10	25	50	75	90
Size µm	1.905	3.546	7.458	27.71	77.92

84#.\$02

Particle Diameter µm	Volume % <	Particle Diameter µm	Volume % <
2.000	11.0	1000	100
5.000	36.0	2000	100
10.00	58.1		
15.00	64.6		
20.00	69.4		
50.00	83.2		
60.00	86.1		
63.00	86.9		
70.00	88.5		
75.00	89.5		
90.00	91.6		
125.0	94.6		
200.0	99.0		
250.0	99.9		
400.0	100		
500.0	100		



Volume Statistics (Arithmetic) 85.\$02

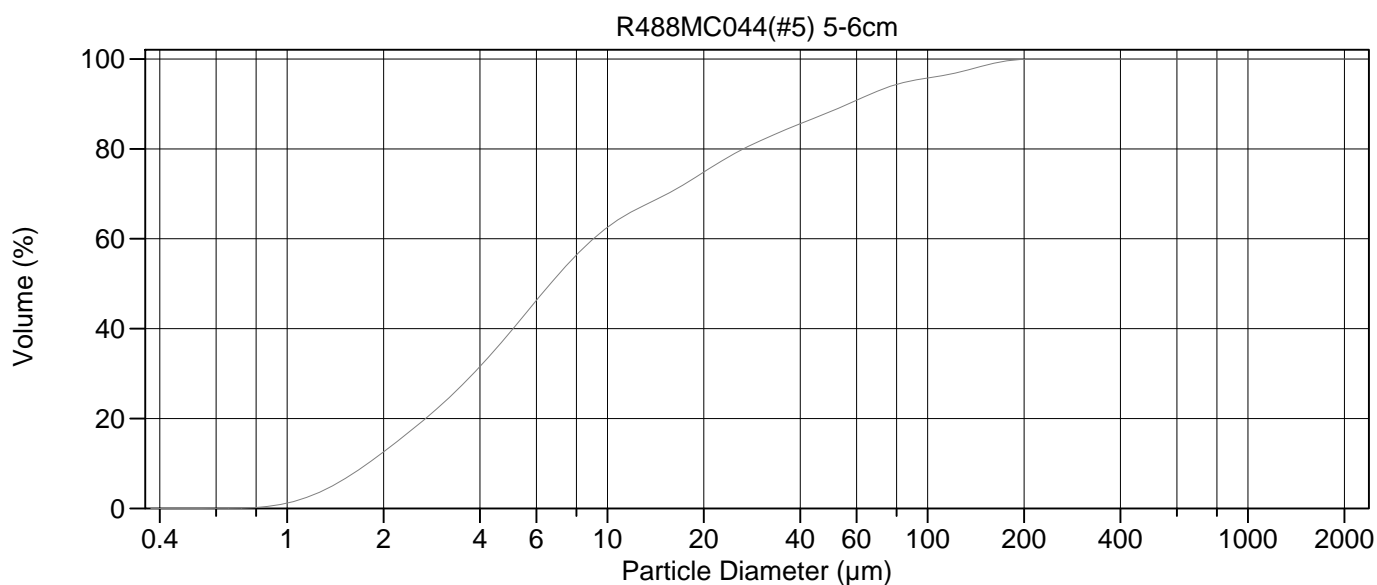
Calculations from 0.375 µm to 2000 µm

Volume	100.0%		
Mean:	20.68 µm	95% Conf. Limits:	0-86.09 µm
Median:	6.732 µm	S.D.:	33.37 µm
D(3,2):	4.638 µm	Variance:	1114 µm ²
Mean/Median Ratio:	3.072	C.V.:	161%
Mode:	5.355 µm	Skewness:	2.784 Right skewed
d ₁₀ :	1.880 µm	Kurtosis:	8.089 Leptokurtic
d ₅₀ :	6.732 µm		
d ₉₀ :	60.00 µm		
Specific Surf. Area	12937 cm ² /ml		

% <	10	25	50	75	90
Size µm	1.880	3.372	6.732	20.92	60.00

85.\$02

Particle Diameter µm	Volume % <	Particle Diameter µm	Volume % <
2.000	11.4	1000	100
5.000	38.6	2000	100
10.00	62.3		
15.00	69.2		
20.00	74.1		
50.00	87.5		
60.00	90.0		
63.00	90.7		
70.00	92.1		
75.00	93.0		
90.00	94.6		
125.0	96.7		
200.0	99.9		
250.0	100.0		
400.0	100		
500.0	100		



Volume Statistics (Arithmetic) 86.\$02

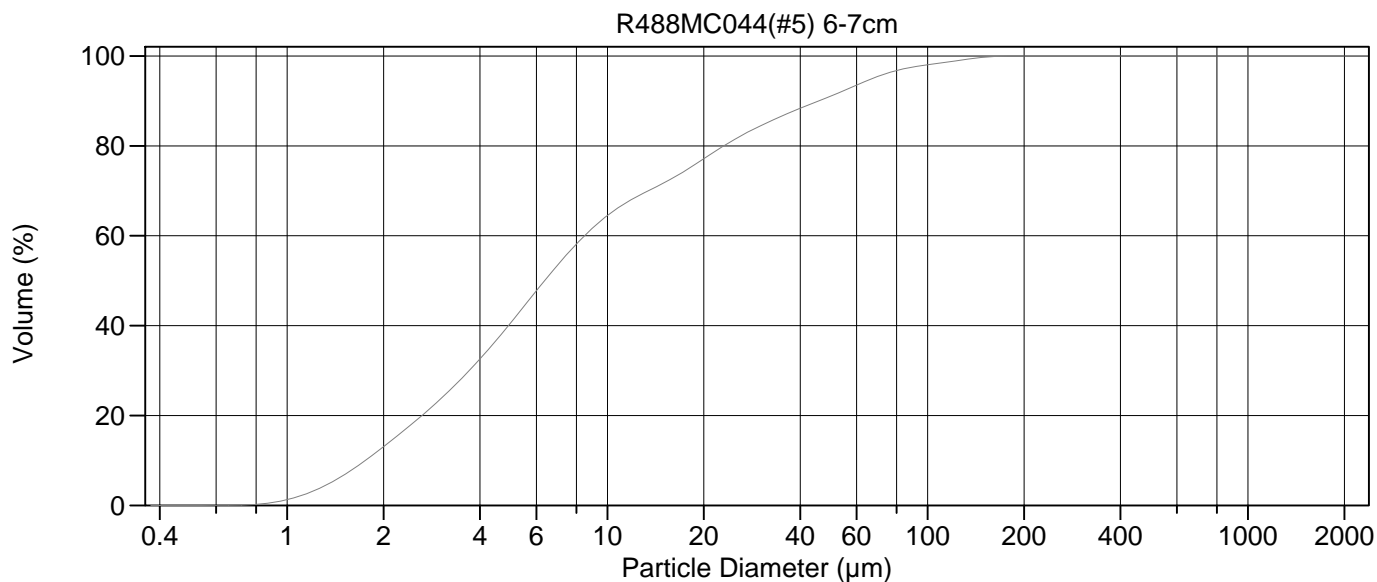
Calculations from 0.375 µm to 2000 µm

Volume	100.0%		
Mean:	19.75 µm	95% Conf. Limits:	0-82.41 µm
Median:	6.642 µm	S.D.:	31.97 µm
D(3,2):	4.454 µm	Variance:	1022 µm ²
Mean/Median Ratio:	2.974	C.V.:	162%
Mode:	5.355 µm	Skewness:	2.900 Right skewed
d ₁₀ :	1.787 µm	Kurtosis:	9.039 Leptokurtic
d ₅₀ :	6.642 µm		
d ₉₀ :	56.55 µm		
Specific Surf. Area	13471 cm ² /ml		

% <	10	25	50	75	90
Size µm	1.787	3.243	6.642	20.17	56.55

86.\$02

Particle Diameter µm	Volume % <	Particle Diameter µm	Volume % <
2.000	12.6	1000	100
5.000	39.4	2000	100
10.00	62.5		
15.00	69.6		
20.00	74.8		
50.00	88.4		
60.00	90.8		
63.00	91.5		
70.00	92.9		
75.00	93.7		
90.00	95.2		
125.0	97.0		
200.0	99.9		
250.0	100.0		
400.0	100		
500.0	100		



Volume Statistics (Arithmetic) 87.\$02

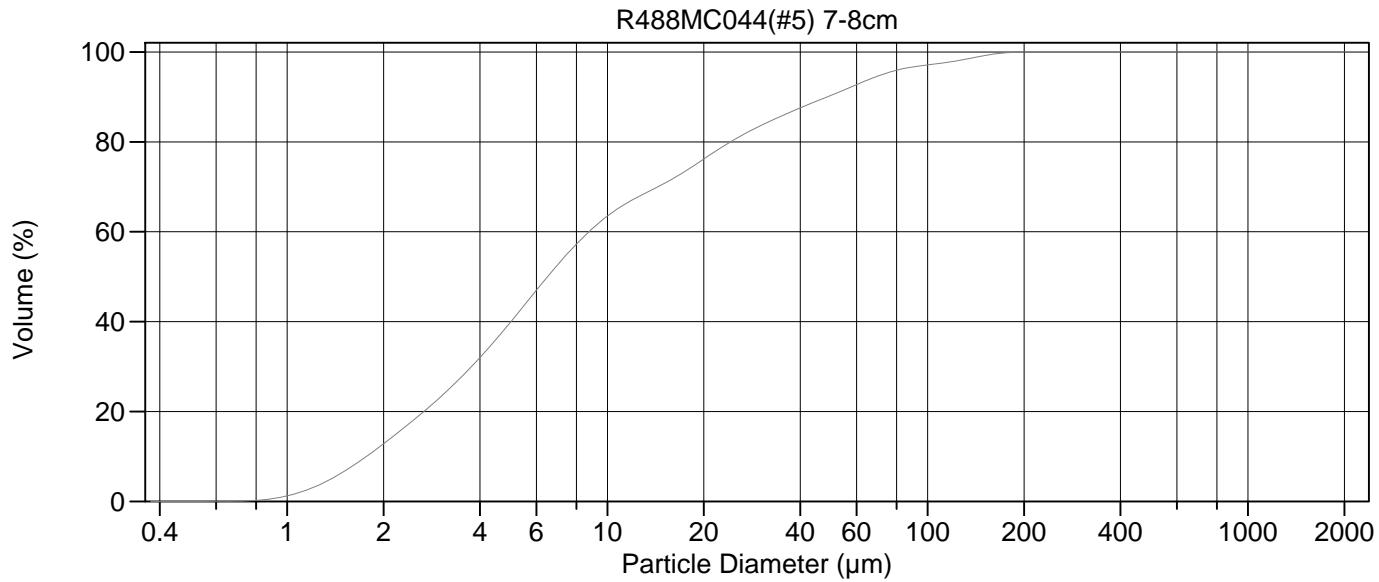
Calculations from 0.375 µm to 2000 µm

Volume	100.0%		
Mean:	16.16 µm	95% Conf. Limits:	0-63.35 µm
Median:	6.372 µm	S.D.:	24.08 µm
D(3,2):	4.310 µm	Variance:	579.7 µm ²
Mean/Median Ratio:	2.536	C.V.:	149%
Mode:	5.355 µm	Skewness:	2.885 Right skewed
d ₁₀ :	1.755 µm	Kurtosis:	9.714 Leptokurtic
d ₅₀ :	6.372 µm		
d ₉₀ :	45.67 µm		
Specific Surf. Area	13922 cm ² /ml		

% <	10	25	50	75	90
Size µm	1.755	3.153	6.372	17.99	45.67

87.\$02

Particle Diameter µm	Volume % <	Particle Diameter µm	Volume % <
2.000	13.1	1000	100
5.000	40.7	2000	100
10.00	64.5		
15.00	71.8		
20.00	77.1		
50.00	91.1		
60.00	93.5		
63.00	94.2		
70.00	95.5		
75.00	96.2		
90.00	97.6		
125.0	99.0		
200.0	100.0		
250.0	100		
400.0	100		
500.0	100		



Volume Statistics (Arithmetic) 88.\$02

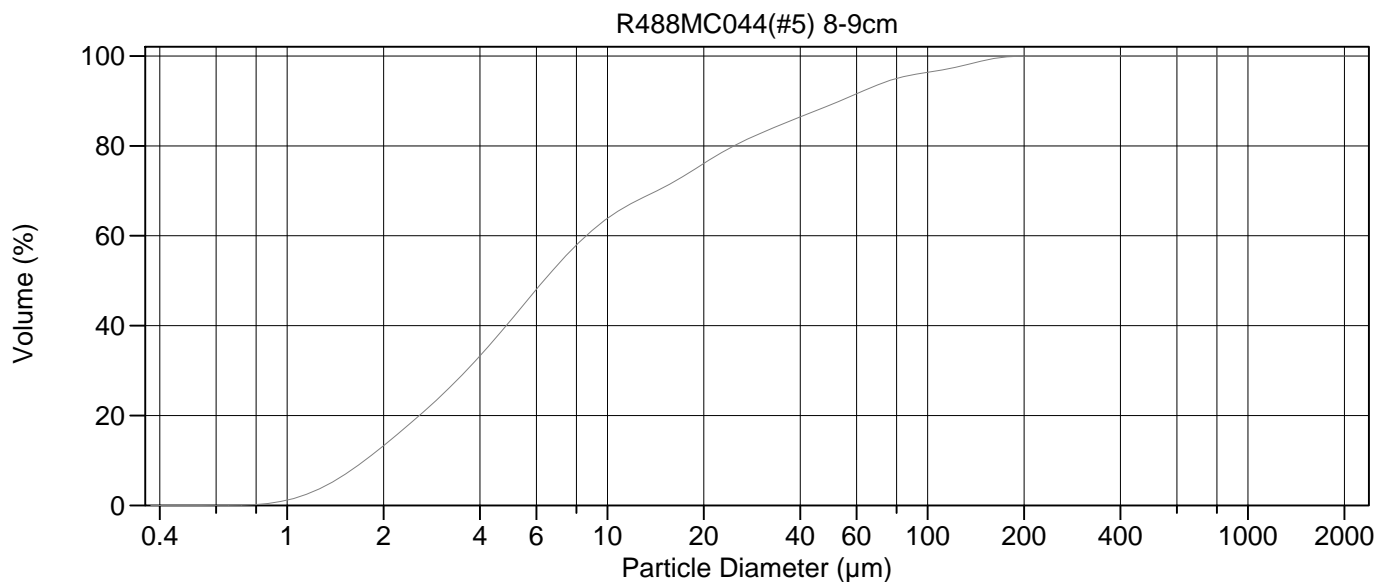
Calculations from 0.375 µm to 2000 µm

Volume	100.0%		
Mean:	17.51 µm	95% Conf. Limits:	0-71.38 µm
Median:	6.510 µm	S.D.:	27.48 µm
D(3,2):	4.380 µm	Variance:	755.3 µm ²
Mean/Median Ratio:	2.690	C.V.:	157%
Mode:	5.355 µm	Skewness:	3.065 Right skewed
d ₁₀ :	1.770 µm	Kurtosis:	10.76 Leptokurtic
d ₅₀ :	6.510 µm		
d ₉₀ :	48.51 µm		
Specific Surf. Area	13700 cm ² /ml		

% <	10	25	50	75	90
Size µm	1.770	3.203	6.510	18.89	48.51

88.\$02

Particle Diameter µm	Volume % <	Particle Diameter µm	Volume % <
2.000	12.8	1000	100
5.000	40.0	2000	100
10.00	63.5		
15.00	70.7		
20.00	76.2		
50.00	90.4		
60.00	92.7		
63.00	93.4		
70.00	94.7		
75.00	95.4		
90.00	96.7		
125.0	98.1		
200.0	100.0		
250.0	100		
400.0	100		
500.0	100		



Volume Statistics (Arithmetic) 89.\$02

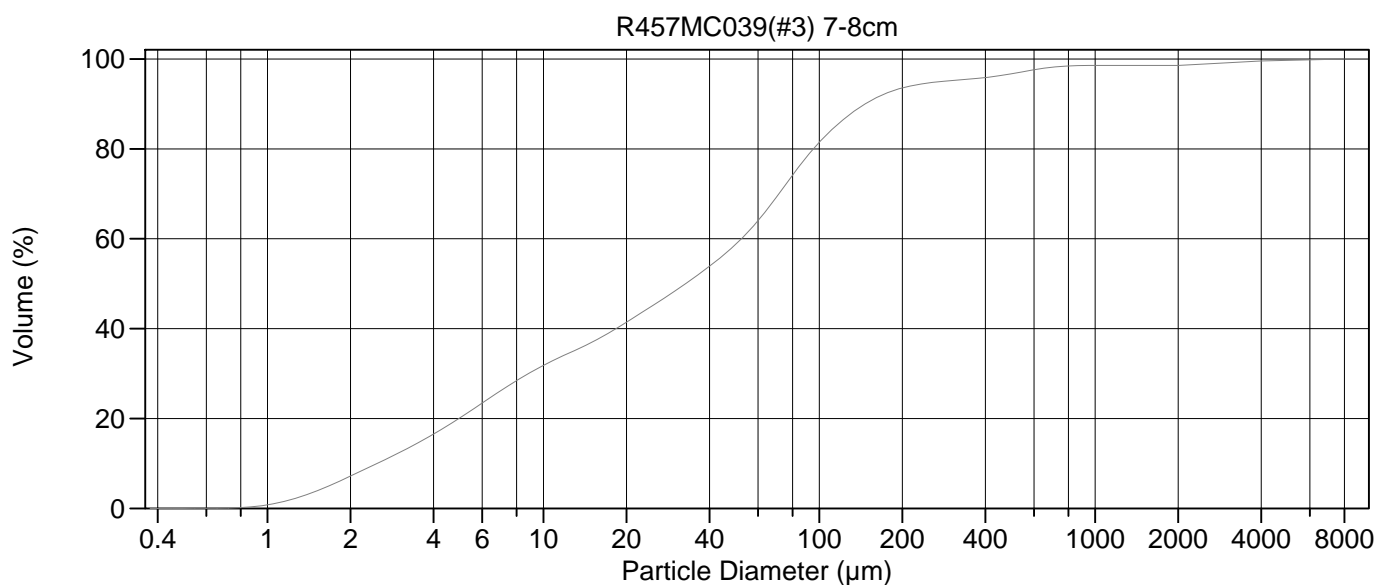
Calculations from 0.375 µm to 2000 µm

Volume	100.0%		
Mean:	18.46 µm	95% Conf. Limits:	0-76.62 µm
Median:	6.331 µm	S.D.:	29.68 µm
D(3,2):	4.309 µm	Variance:	880.7 µm ²
Mean/Median Ratio:	2.915	C.V.:	161%
Mode:	5.355 µm	Skewness:	2.914 Right skewed
d ₁₀ :	1.748 µm	Kurtosis:	9.239 Leptokurtic
d ₅₀ :	6.331 µm		
d ₉₀ :	53.27 µm		
Specific Surf. Area	13923 cm ² /ml		

% <	10	25	50	75	90
Size µm	1.748	3.088	6.331	18.92	53.27

89.\$02

Particle Diameter µm	Volume % <	Particle Diameter µm	Volume % <
2.000	13.3	1000	100
5.000	41.2	2000	100
10.00	63.9		
15.00	70.8		
20.00	76.1		
50.00	89.2		
60.00	91.6		
63.00	92.3		
70.00	93.6		
75.00	94.4		
90.00	95.8		
125.0	97.6		
200.0	100.0		
250.0	100.0		
400.0	100		
500.0	100		



Volume Statistics (Arithmetic)

9#a.\$02

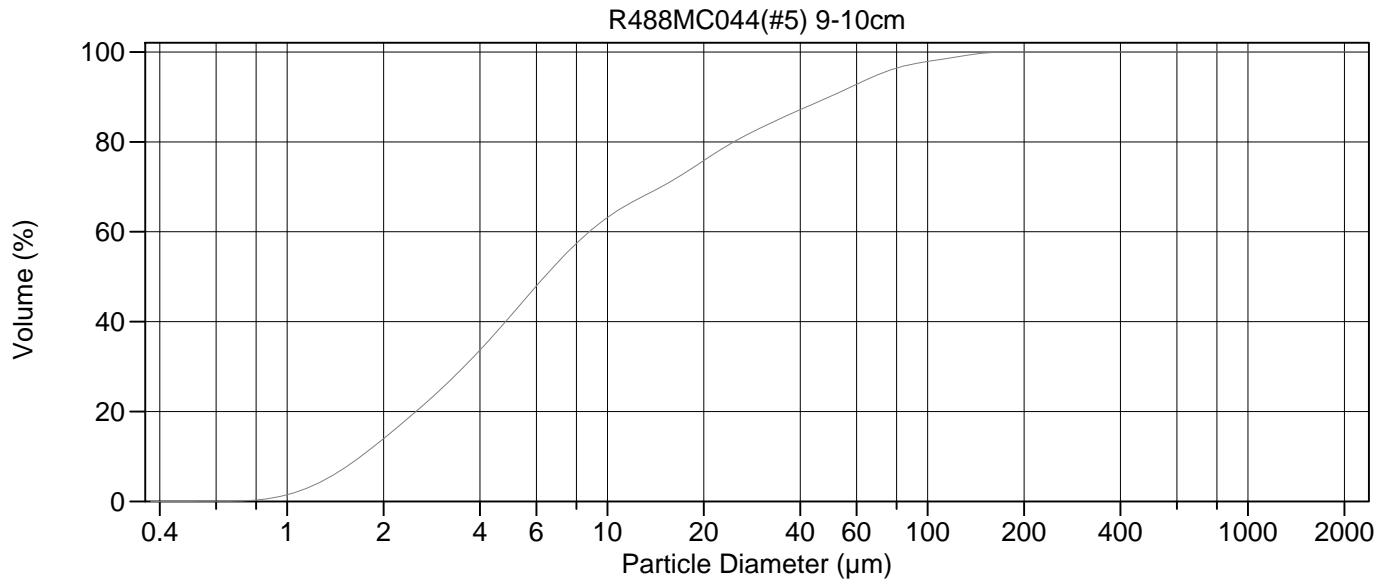
Calculations from 0.375 µm to 8000 µm

Volume	100.0%		
Mean:	116.3 µm	95% Conf. Limits:	0-1044 µm
Median:	32.77 µm	S.D.:	473.5 µm
D(3,2):	7.811 µm	Variance:	224247 µm ²
Mean/Median Ratio:	3.549	C.V.:	407%
Mode:	72.95 µm	Skewness:	9.091 Right skewed
d ₁₀ :	2.497 µm	Kurtosis:	92.02 Leptokurtic
d ₅₀ :	32.77 µm		
d ₉₀ :	146.6 µm		
Specific Surf. Area	7682 cm ² /ml		

% <	10	25	50	75	90
Size µm	2.497	6.551	32.77	81.98	146.6

9#a.\$02

Particle Diameter µm	Volume % <	Particle Diameter µm	Volume % <
2.000	7.21	1000	98.6
5.000	20.2	2000	98.6
10.00	31.8	4000	99.6
15.00	37.0	8000	100
20.00	41.4	16000	100
50.00	58.9		
60.00	64.0		
63.00	65.6		
70.00	69.3		
75.00	71.8		
90.00	78.2		
125.0	87.0		
200.0	93.6		
250.0	94.7		
400.0	95.9		
500.0	96.7		



Volume Statistics (Arithmetic)

90.\$02

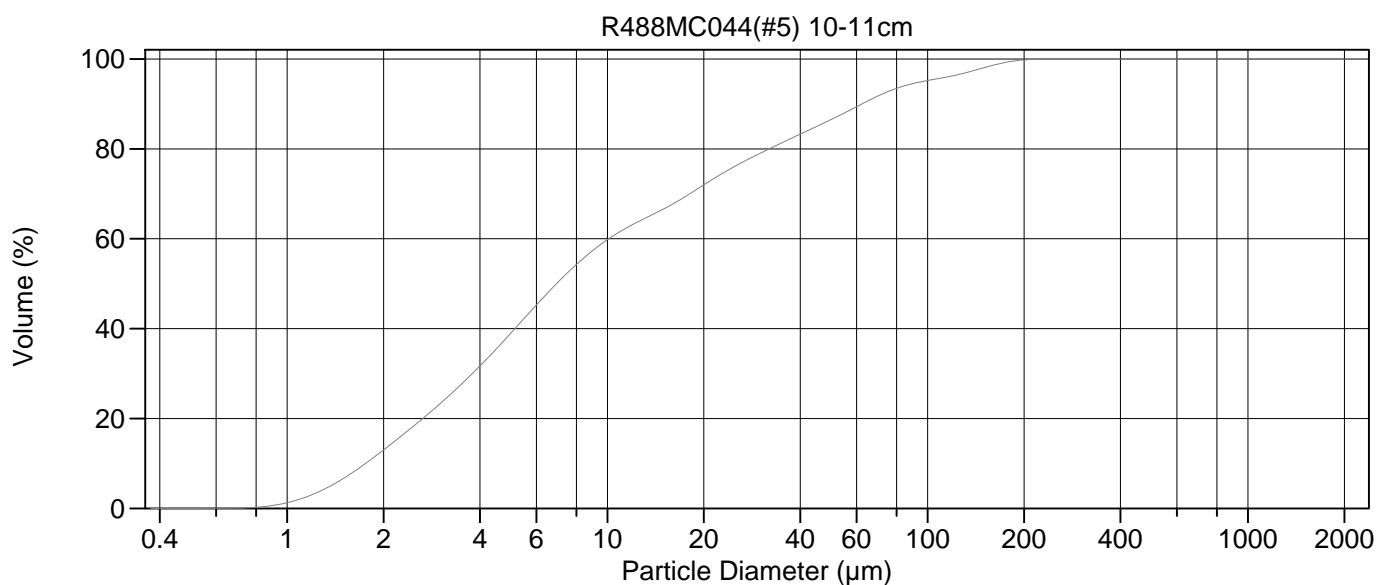
Calculations from 0.375 µm to 2000 µm

Volume	100.0%	95% Conf. Limits:	0-65.74 µm
Mean:	16.91 µm	S.D.:	24.91 µm
Median:	6.373 µm	Variance:	620.6 µm ²
D(3,2):	4.224 µm	C.V.:	147%
Mean/Median Ratio:	2.654	Skewness:	2.702 Right skewed
Mode:	5.355 µm	Kurtosis:	8.345 Leptokurtic
d ₁₀ :	1.699 µm		
d ₅₀ :	6.373 µm		
d ₉₀ :	49.33 µm		
Specific Surf. Area	14204 cm ² /ml		

% <	10	25	50	75	90
Size µm	1.699	3.024	6.373	19.19	49.33

90.\$02

Particle Diameter µm	Volume % <	Particle Diameter µm	Volume % <
2.000	14.0	1000	100
5.000	41.4	2000	100
10.00	63.2		
15.00	70.3		
20.00	75.8		
50.00	90.2		
60.00	92.8		
63.00	93.5		
70.00	95.0		
75.00	95.8		
90.00	97.3		
125.0	99.0		
200.0	100.0		
250.0	100		
400.0	100		
500.0	100		



Volume Statistics (Arithmetic) 91.\$02

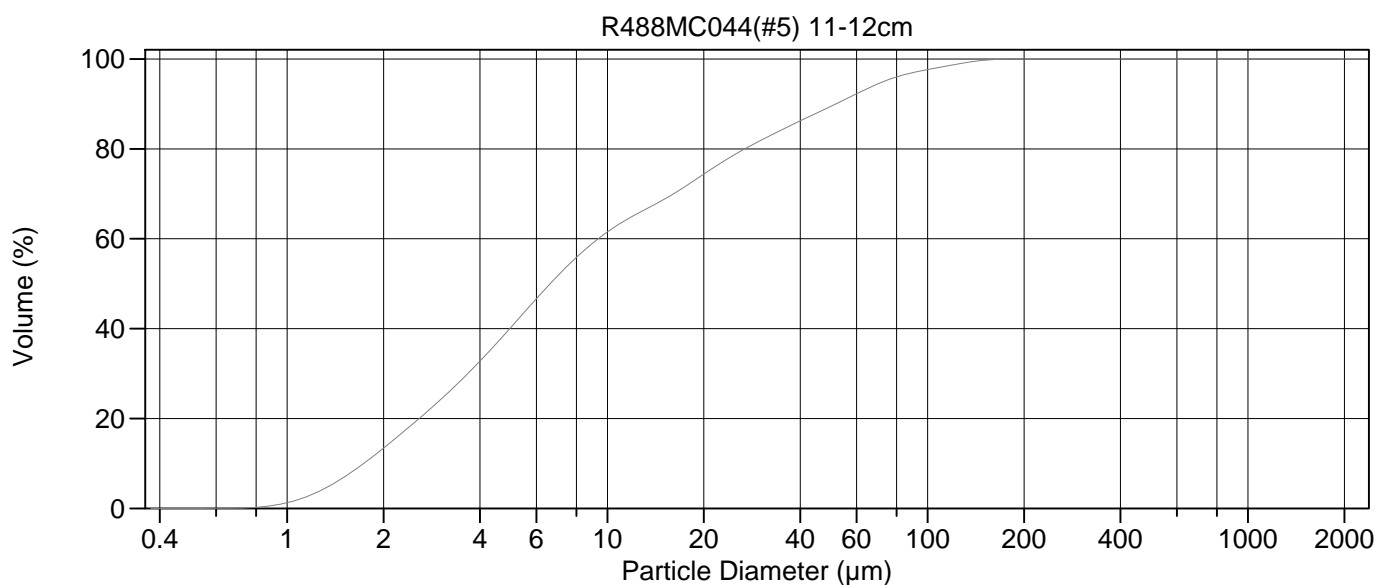
Calculations from 0.375 µm to 2000 µm

Volume	100.0%			
Mean:	21.80 µm	95% Conf. Limits:	0-89.37 µm	
Median:	6.941 µm	S.D.:	34.47 µm	
D(3,2):	4.487 µm	Variance:	1188 µm ²	
Mean/Median Ratio:	3.141	C.V.:	158%	
Mode:	5.355 µm	Skewness:	2.743 Right skewed	
d ₁₀ :	1.759 µm	Kurtosis:	8.102 Leptokurtic	
d ₅₀ :	6.941 µm			
d ₉₀ :	62.37 µm			
Specific Surf. Area	13372 cm ² /ml			

% <	10	25	50	75	90
Size µm	1.759	3.193	6.941	23.47	62.37

91.\$02

Particle Diameter µm	Volume % <	Particle Diameter µm	Volume % <
2.000	13.0	1000	100
5.000	39.0	2000	100
10.00	59.8		
15.00	66.6		
20.00	72.0		
50.00	86.5		
60.00	89.4		
63.00	90.2		
70.00	91.8		
75.00	92.7		
90.00	94.5		
125.0	96.6		
200.0	99.8		
250.0	100.0		
400.0	100		
500.0	100		



Volume Statistics (Arithmetic) 92.\$02

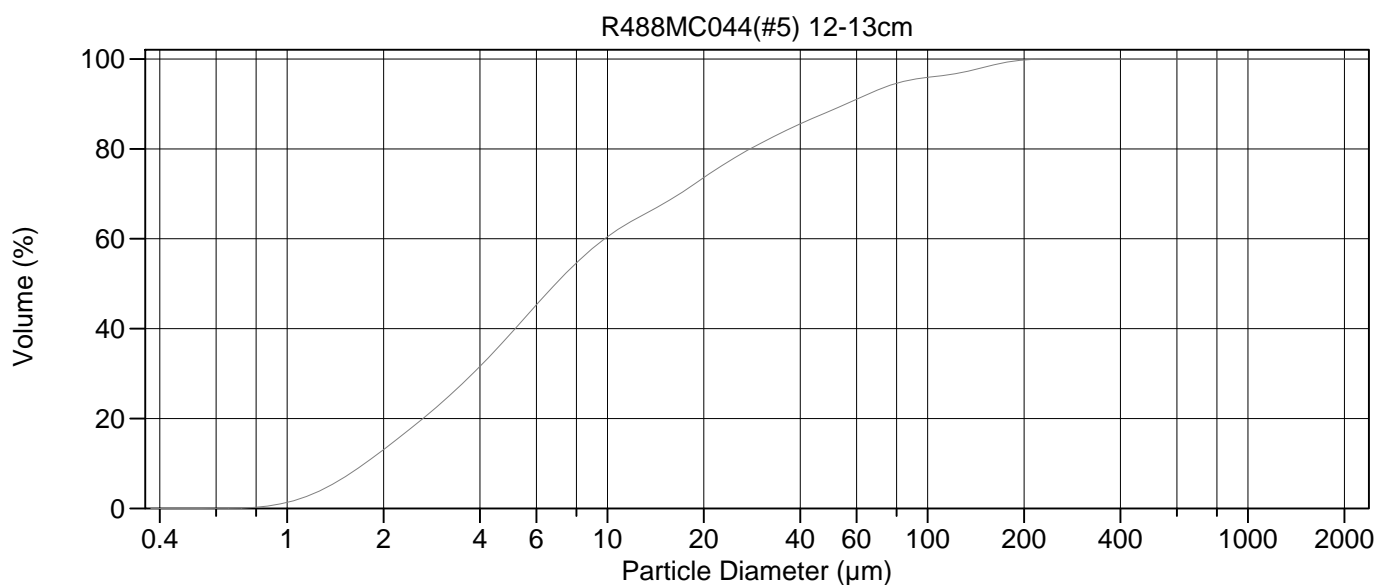
Calculations from 0.375 µm to 2000 µm

Volume	100.0%		
Mean:	17.76 µm	95% Conf. Limits:	0-68.17 µm
Median:	6.629 µm	S.D.:	25.72 µm
D(3,2):	4.354 µm	Variance:	661.5 µm ²
Mean/Median Ratio:	2.679	C.V.:	145%
Mode:	5.355 µm	Skewness:	2.588 Right skewed
d ₁₀ :	1.736 µm	Kurtosis:	7.518 Leptokurtic
d ₅₀ :	6.629 µm		
d ₉₀ :	51.70 µm		
Specific Surf. Area	13779 cm ² /ml		

% <	10	25	50	75	90
Size µm	1.736	3.100	6.629	20.58	51.70

92.\$02

Particle Diameter µm	Volume % <	Particle Diameter µm	Volume % <
2.000	13.4	1000	100
5.000	40.3	2000	100
10.00	61.5		
15.00	68.7		
20.00	74.4		
50.00	89.5		
60.00	92.2		
63.00	93.0		
70.00	94.5		
75.00	95.3		
90.00	97.0		
125.0	98.9		
200.0	100.0		
250.0	100		
400.0	100		
500.0	100		



Volume Statistics (Arithmetic) 93.\$02

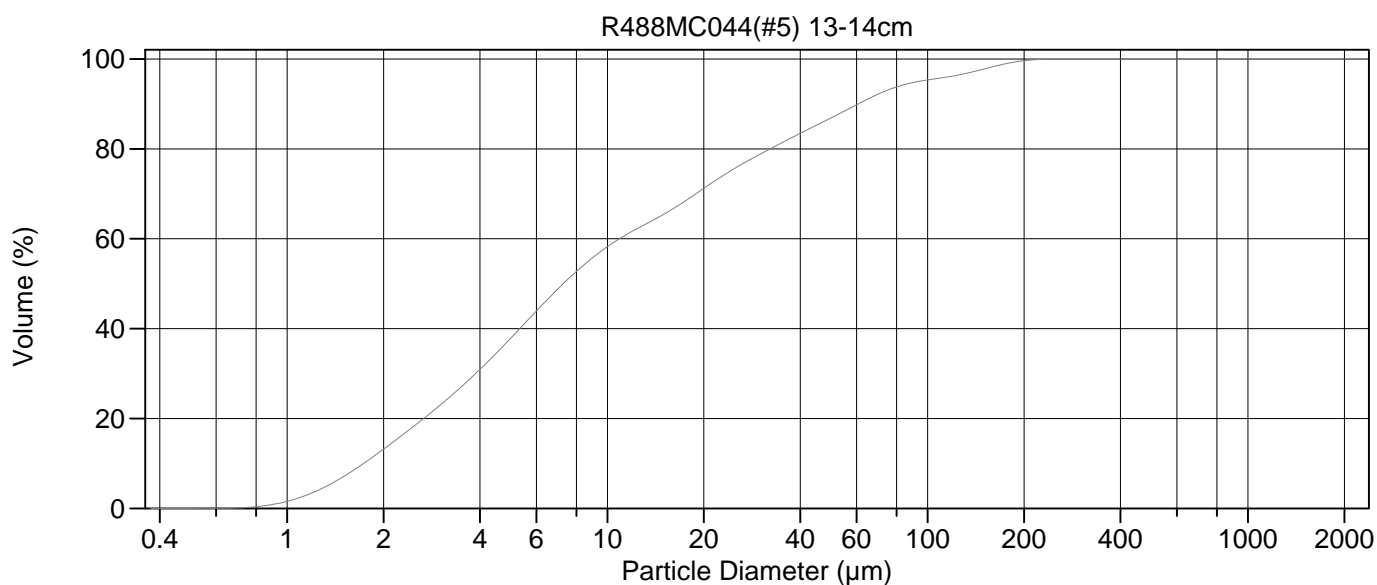
Calculations from 0.375 µm to 2000 µm

Volume	100.0%		
Mean:	20.22 µm	95% Conf. Limits:	0-84.45 µm
Median:	6.902 µm	S.D.:	32.77 µm
D(3,2):	4.444 µm	Variance:	1074 µm ²
Mean/Median Ratio:	2.930	C.V.:	162%
Mode:	5.355 µm	Skewness:	3.040 Right skewed
d ₁₀ :	1.750 µm	Kurtosis:	10.25 Leptokurtic
d ₅₀ :	6.902 µm		
d ₉₀ :	55.69 µm		
Specific Surf. Area	13501 cm ² /ml		

% <	10	25	50	75	90
Size µm	1.750	3.202	6.902	21.39	55.69

93.\$02

Particle Diameter µm	Volume % <	Particle Diameter µm	Volume % <
2.000	13.1	1000	100
5.000	38.9	2000	100
10.00	60.4		
15.00	67.8		
20.00	73.6		
50.00	88.6		
60.00	91.0		
63.00	91.7		
70.00	93.1		
75.00	94.0		
90.00	95.4		
125.0	96.9		
200.0	99.8		
250.0	100.0		
400.0	100		
500.0	100		



Volume Statistics (Arithmetic)

94.\$02

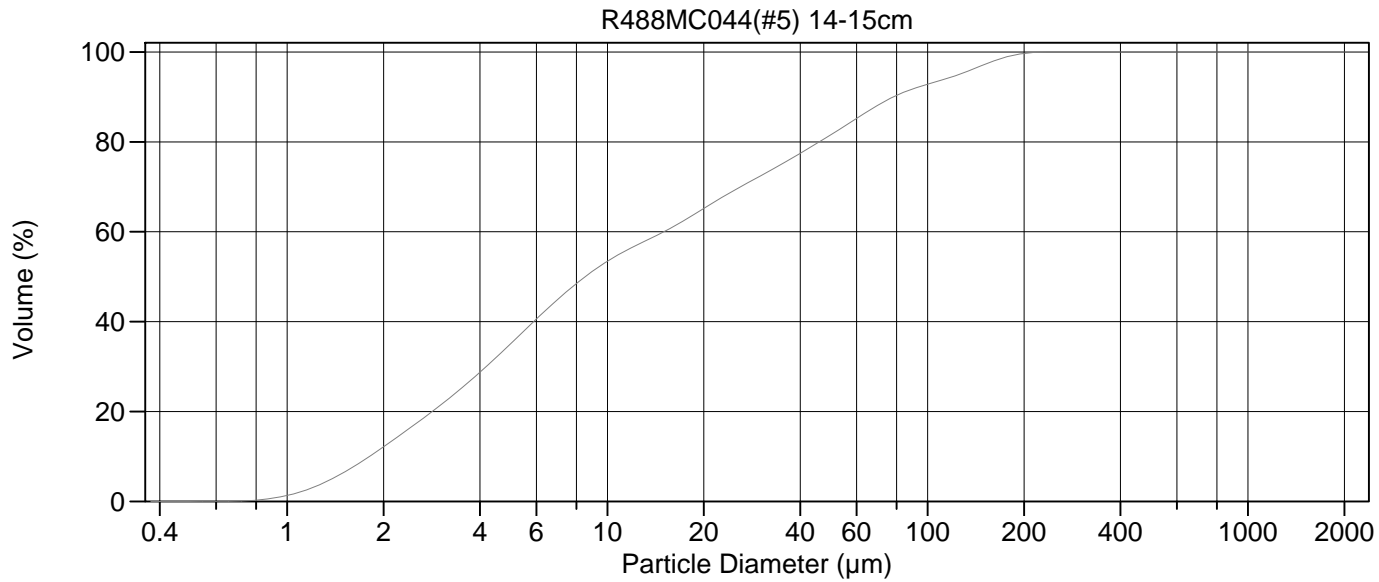
Calculations from 0.375 µm to 2000 µm

Volume	100.0%		
Mean:	22.08 µm	95% Conf. Limits:	0-90.94 µm
Median:	7.283 µm	S.D.:	35.13 µm
D(3,2):	4.496 µm	Variance:	1234 µm ²
Mean/Median Ratio:	3.032	C.V.:	159%
Mode:	5.355 µm	Skewness:	2.906 Right skewed
d ₁₀ :	1.734 µm	Kurtosis:	9.381 Leptokurtic
d ₅₀ :	7.283 µm		
d ₉₀ :	60.75 µm		
Specific Surf. Area	13345 cm ² /ml		

% <	10	25	50	75	90
Size µm	1.734	3.245	7.283	24.12	60.75

94.\$02

Particle Diameter µm	Volume % <	Particle Diameter µm	Volume % <
2.000	13.2	1000	100
5.000	37.9	2000	100
10.00	58.2		
15.00	65.5		
20.00	71.2		
50.00	86.9		
60.00	89.8		
63.00	90.6		
70.00	92.2		
75.00	93.1		
90.00	94.8		
125.0	96.5		
200.0	99.6		
250.0	100.0		
400.0	100		
500.0	100		



Volume Statistics (Arithmetic)

95#.\$02

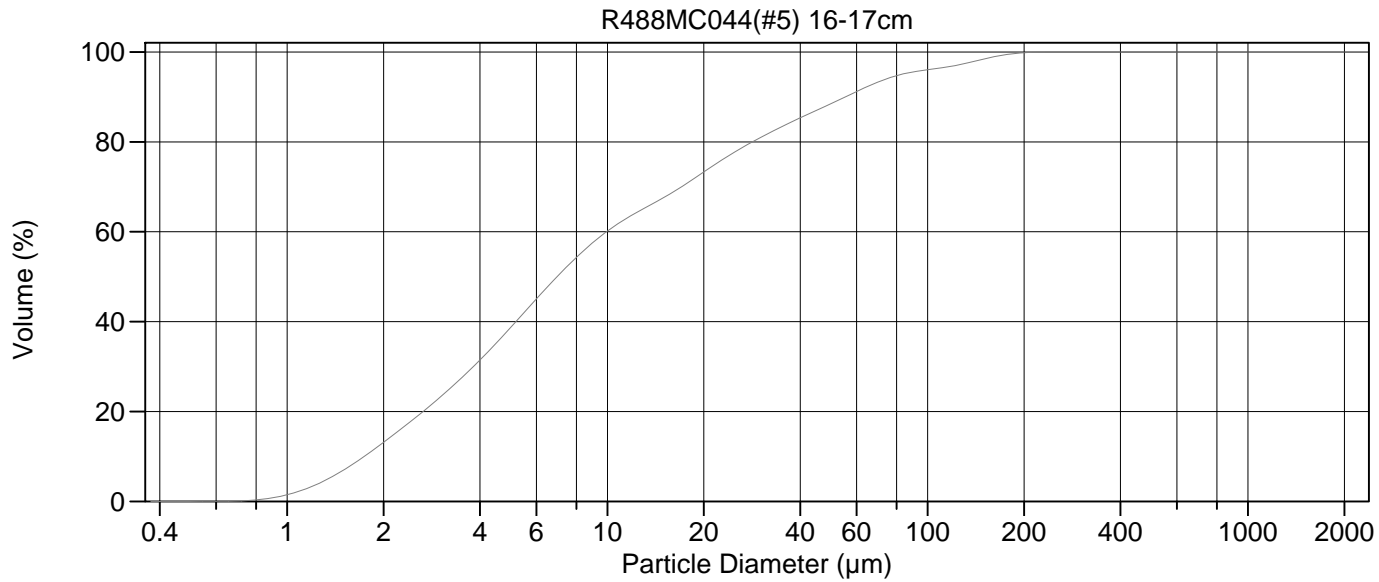
Calculations from 0.375 µm to 2000 µm

Volume	100.0%		
Mean:	27.41 µm	95% Conf. Limits:	0-105.4 µm
Median:	8.529 µm	S.D.:	39.80 µm
D(3,2):	4.870 µm	Variance:	1584 µm ²
Mean/Median Ratio:	3.213	C.V.:	145%
Mode:	5.355 µm	Skewness:	2.239 Right skewed
d ₁₀ :	1.808 µm	Kurtosis:	4.924 Leptokurtic
d ₅₀ :	8.529 µm		
d ₉₀ :	78.19 µm		
Specific Surf. Area	12321 cm ² /ml		

% <	10	25	50	75	90
Size µm	1.808	3.476	8.529	34.88	78.19

95#.\$02

Particle Diameter µm	Volume % <	Particle Diameter µm	Volume % <
2.000	12.2	1000	100
5.000	35.1	2000	100
10.00	53.4		
15.00	60.0		
20.00	65.2		
50.00	81.6		
60.00	85.2		
63.00	86.2		
70.00	88.2		
75.00	89.4		
90.00	91.8		
125.0	95.0		
200.0	99.7		
250.0	100.0		
400.0	100		
500.0	100		



Volume Statistics (Arithmetic) 96.\$02

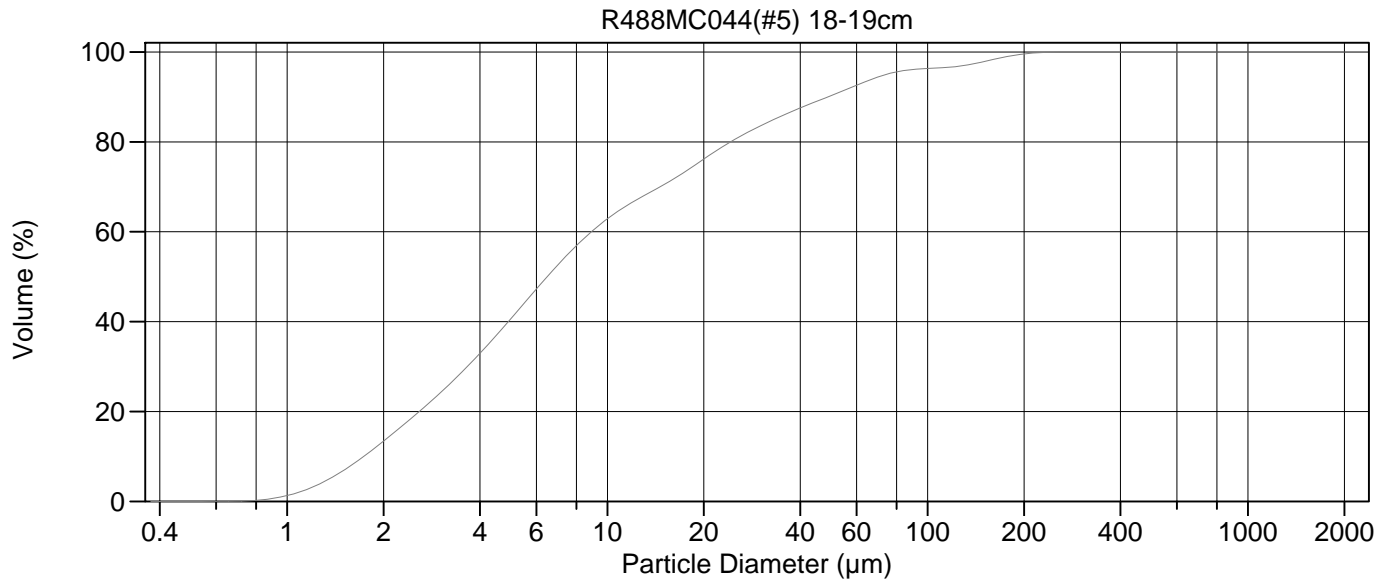
Calculations from 0.375 µm to 2000 µm

Volume	100.0%		
Mean:	20.06 µm	95% Conf. Limits:	0-82.50 µm
Median:	6.968 µm	S.D.:	31.86 µm
D(3,2):	4.434 µm	Variance:	1015 µm ²
Mean/Median Ratio:	2.878	C.V.:	159%
Mode:	5.355 µm	Skewness:	2.988 Right skewed
d ₁₀ :	1.740 µm	Kurtosis:	10.03 Leptokurtic
d ₅₀ :	6.968 µm		
d ₉₀ :	55.37 µm		
Specific Surf. Area	13532 cm ² /ml		

% <	10	25	50	75	90
Size µm	1.740	3.211	6.968	21.72	55.37

96.\$02

Particle Diameter µm	Volume % <	Particle Diameter µm	Volume % <
2.000	13.2	1000	100
5.000	38.8	2000	100
10.00	60.1		
15.00	67.6		
20.00	73.3		
50.00	88.5		
60.00	91.2		
63.00	91.9		
70.00	93.3		
75.00	94.1		
90.00	95.5		
125.0	97.1		
200.0	99.8		
250.0	100.0		
400.0	100		
500.0	100		



Volume Statistics (Arithmetic) 97.\$02

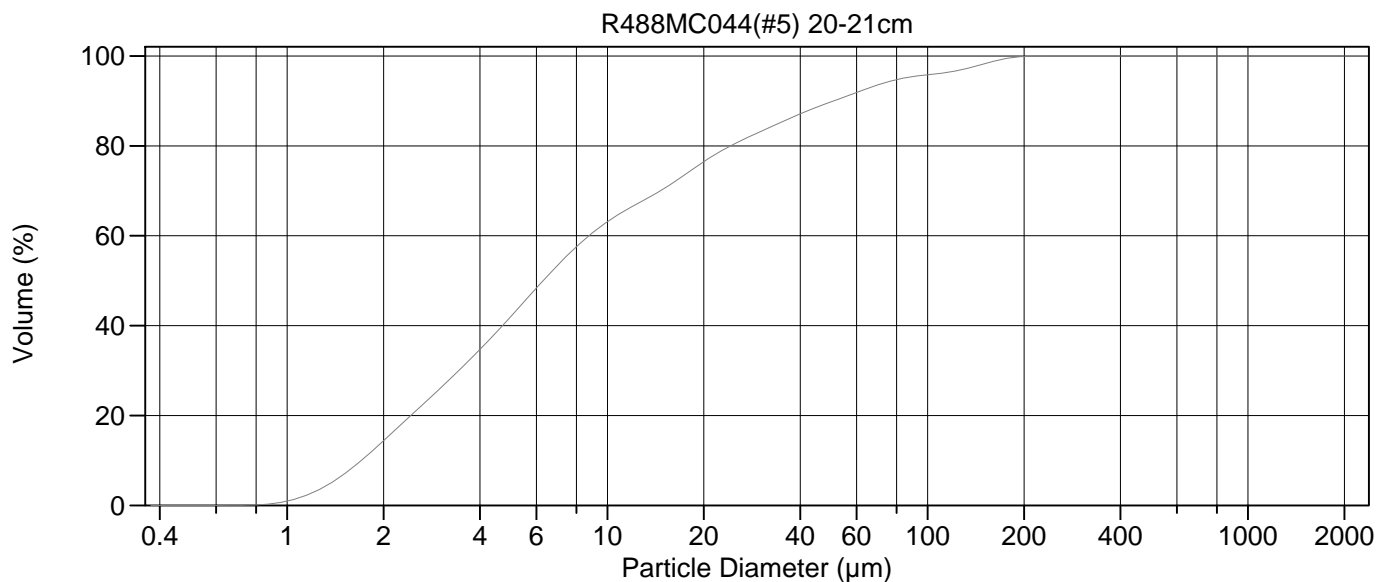
Calculations from 0.375 µm to 2000 µm

Volume	100.0%		
Mean:	18.81 µm	95% Conf. Limits:	0-83.04 µm
Median:	6.492 µm	S.D.:	32.77 µm
D(3,2):	4.310 µm	Variance:	1074 µm ²
Mean/Median Ratio:	2.897	C.V.:	174%
Mode:	5.355 µm	Skewness:	3.525 Right skewed
d ₁₀ :	1.735 µm	Kurtosis:	14.02 Leptokurtic
d ₅₀ :	6.492 µm		
d ₉₀ :	48.78 µm		
Specific Surf. Area	13921 cm ² /ml		

% <	10	25	50	75	90
Size µm	1.735	3.097	6.492	18.91	48.78

97.\$02

Particle Diameter µm	Volume % <	Particle Diameter µm	Volume % <
2.000	13.4	1000	100
5.000	40.6	2000	100
10.00	62.9		
15.00	70.5		
20.00	76.2		
50.00	90.3		
60.00	92.6		
63.00	93.2		
70.00	94.4		
75.00	95.1		
90.00	96.1		
125.0	96.8		
200.0	99.6		
250.0	100.0		
400.0	100		
500.0	100		



Volume Statistics (Arithmetic)

98.\$02

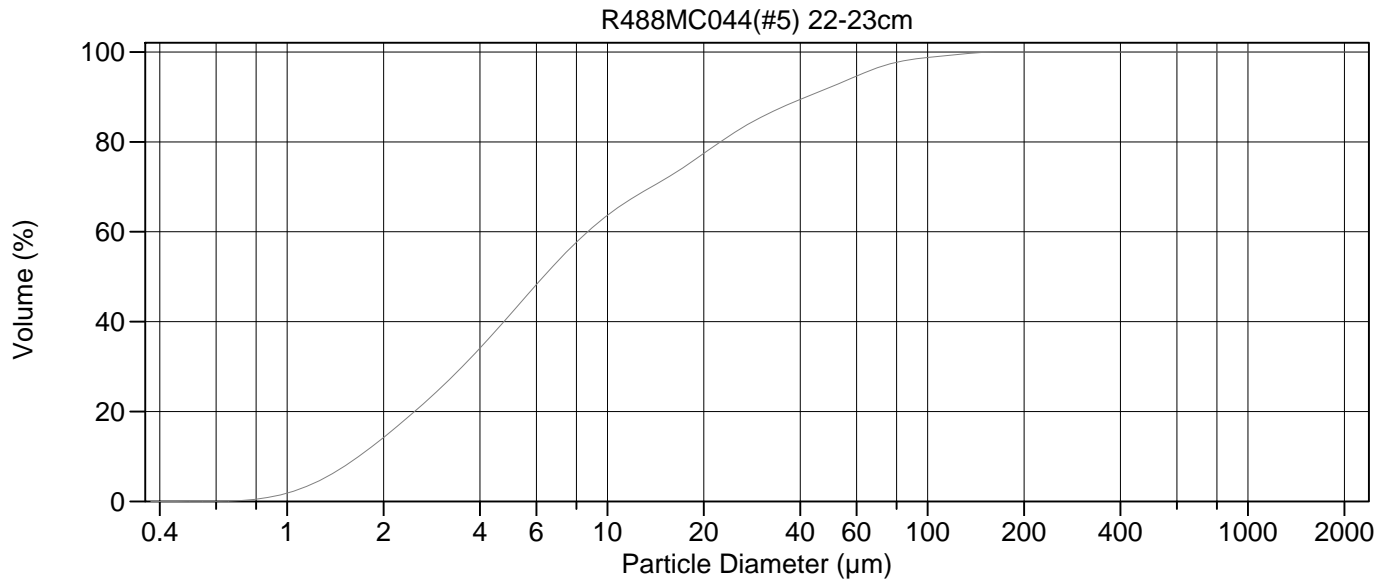
Calculations from 0.375 µm to 2000 µm

Volume	100.0%		
Mean:	18.90 µm	95% Conf. Limits:	0-81.67 µm
Median:	6.302 µm	S.D.:	32.03 µm
D(3,2):	4.225 µm	Variance:	1026 µm ²
Mean/Median Ratio:	2.999	C.V.:	169%
Mode:	5.355 µm	Skewness:	3.128 Right skewed
d ₁₀ :	1.705 µm	Kurtosis:	10.50 Leptokurtic
d ₅₀ :	6.302 µm		
d ₉₀ :	50.90 µm		
Specific Surf. Area	14201 cm ² /ml		

% <	10	25	50	75	90
Size µm	1.705	2.897	6.302	18.65	50.90

98.\$02

Particle Diameter µm	Volume % <	Particle Diameter µm	Volume % <
2.000	14.4	1000	100
5.000	42.1	2000	100
10.00	63.1		
15.00	70.5		
20.00	76.5		
50.00	89.8		
60.00	91.9		
63.00	92.4		
70.00	93.6		
75.00	94.2		
90.00	95.4		
125.0	96.8		
200.0	99.9		
250.0	100.0		
400.0	100		
500.0	100		



Volume Statistics (Arithmetic)

99#.\$02

Calculations from 0.375 µm to 2000 µm

Volume	100.0%		
Mean:	15.13 µm	95% Conf. Limits:	0-57.18 µm
Median:	6.316 µm	S.D.:	21.46 µm
D(3,2):	4.126 µm	Variance:	460.4 µm ²
Mean/Median Ratio:	2.395	C.V.:	142%
Mode:	5.355 µm	Skewness:	2.795 Right skewed
d ₁₀ :	1.674 µm	Kurtosis:	9.480 Leptokurtic
d ₅₀ :	6.316 µm		
d ₉₀ :	41.81 µm		
Specific Surf. Area	14542 cm ² /ml		

% <	10	25	50	75	90
Size µm	1.674	2.990	6.316	17.87	41.81

99#.\$02

Particle Diameter µm	Volume % <	Particle Diameter µm	Volume % <
2.000	14.2	1000	100
5.000	41.8	2000	100
10.00	63.7		
15.00	71.6		
20.00	77.4		
50.00	92.2		
60.00	94.6		
63.00	95.3		
70.00	96.5		
75.00	97.2		
90.00	98.4		
125.0	99.5		
200.0	100		
250.0	100		
400.0	100		
500.0	100		

INSTRUMENT: Leco SC-444
METODER: **BESTEMMELSER AV TOTALT KARBON (TC) / TOTALT SVOVEL (TS) / TOTALT ORGANISK KARBON (TOC)**
Forbrenningsanalyser i henhold til metodebeskrivelser i NGU-SD 2.14, NGU-SD 2.15 og NGU-SD 2.16.

I) TOTALT KARBON (TC)

Nedre bestemmelsesgrense [% C]: **0,07**

Analyseusikkerhet

Måleområde	Usikkerhet
0.07 - 0.5 %	± 0.07 %
> 0.5 %	± 15 % rel.

II) TOTALT SVOVEL (TS)

Nedre bestemmelsesgrense [% S]: **0,01**

Analyseusikkerhet

Måleområde	Usikkerhet
0.01 - 3.0 %	± 30 % rel.
> 3.0 %	± 20 % rel.

III) TOTALT ORGANISK KARBON (TOC)

Nedre bestemmelsesgrense [% TOC]: **0,1**

Analyseusikkerhet

Måleområde	Usikkerhet
0.1 - 3.0 %	± 25 % rel.
> 3.0 %	± 20 % rel.

Oppgitte usikkerheter har dekningsfaktor 2 (2 standardavvik), noe som tilsvarer et konfidensintervall på 95 %.

PRESISJON : Det analyseres rutinemessig kontrollprøver som føres i kontrolldiagram (X-diagram). Disse kan forevises om ønskelig.

ANTALL PRØVER: 106

ANMERKNINGER: For KDF prøvene er innvekt ca 0.04g for TS.

Gjengivelse av analysedata skal skje på en slik måte at meningsinnholdet i rapporten ikke endres.

Ferdig analysert	23. nov. 2010	Anne Nordtømme
	Dato	OPERATØR

Prøve ID	Svovel [%]	Karbon [%]	TOC [%]
1	0,01	0,58	0,25
2	0,10	3,82	0,84
3	0,07	4,45	0,79
4	0,10	3,89	0,69
5	0,07	4,19	0,59
6	0,05	4,15	0,58
7	0,07	4,05	0,56
8	0,05	3,85	0,52
9	0,06	3,55	0,41
10	0,04	3,48	0,42
11	0,03	3,23	0,40
12	0,04	3,54	0,46
13	0,05	3,45	0,41
14	0,03	2,66	0,33
15	0,02	2,15	0,29
16	0,04	2,33	0,22
17	0,01	1,88	0,25
18	0,02	1,68	0,21
19	0,01	1,56	0,18
20	0,01	1,50	0,19
21	0,01	1,59	0,23
22	0,01	1,37	0,24
23	0,02	1,55	0,30
24	0,02	1,00	0,43
25	27,8	0,38	0,21
26	0,08	4,09	0,82
27	0,10	4,02	0,78
28	0,09	3,90	0,56
29	0,11	3,89	0,56
30	0,06	3,93	0,63
31	0,11	4,00	0,67
32	0,07	3,92	0,62
33	0,09	3,95	0,57
34	0,05	3,97	0,61
35	0,06	3,94	0,56

Prøve ID	Svovel [%]	Karbon [%]	TOC [%]
36	0,05	3,96	0,59
37	0,05	3,77	0,51
38	0,04	3,79	0,43
39	0,04	3,79	0,41
40	0,03	3,63	0,34
41	0,03	3,68	0,36
42	0,03	3,57	0,36
43	0,04	3,50	0,37
44	0,05	3,49	0,45
45	0,04	3,44	0,47
46	0,04	3,40	0,46
47	0,03	3,09	0,28
48	0,02	0,89	0,39
49	25,3	0,38	0,23
50	0,10	4,35	0,73
51	0,12	4,91	0,66
52	0,11	4,79	0,61
53	0,09	4,62	0,56
54	0,09	4,82	0,52
55	0,07	4,87	0,49
56	0,05	4,45	0,47
57	0,06	3,92	0,38
58	0,05	3,56	0,40
59	0,06	3,58	0,45
60	0,06	3,21	0,38
61	0,04	2,61	0,31
62	0,04	2,08	0,29
63	0,02	1,37	0,20
64	0,02	0,95	0,14
65	0,01	0,74	0,14
66	< 0,01	0,62	< 0,1
67	0,01	1,21	0,15
68	0,01	0,94	0,11
69	0,01	1,24	0,10
70	< 0,01	1,48	< 0,1

Prøve ID	Svovel [%]	Karbon [%]	TOC [%]
71	0,03	3,09	0,19
72	0,03	2,03	0,18
73	0,04	1,62	0,15
74	0,02	1,18	0,14
75	0,02	0,89	0,12
76	0,02	0,98	0,16
77	0,03	1,13	0,20
78	0,06	4,12	0,63
79	0,02	0,88	0,46
80	28,8	0,34	0,29
81	0,15	4,03	1,06
82	0,11	3,91	1,03
83	0,10	3,70	0,89
84	0,10	3,29	0,71
85	0,09	3,26	0,71
86	0,07	3,08	0,69
87	0,07	3,05	0,65
88	0,05	2,88	0,56
89	0,06	2,74	0,54
90	0,07	2,45	0,49
91	0,05	2,48	0,49
92	0,05	2,35	0,44
93	0,05	2,37	0,47
94	0,04	2,29	0,44
95	0,04	2,11	0,45
96	0,04	2,44	0,39
97	0,08	2,70	0,49
98	0,08	2,33	0,43
99	0,05	2,43	0,43
100	0,07	2,12	0,34
101	0,07	2,04	0,37
102	0,07	1,94	0,39
103	0,06	1,78	0,46
104	0,05	1,52	0,42
105	0,02	0,86	0,46

Prøve ID	Svovel [%]	Karbon [%]	TOC [%]
106	30,0	0,48	0,22

Metoden anvendes på analyseløsninger fremstilt ved ekstraksjon med 7 N HNO₃ i autoklav, i samsvar med Norsk Standard - NS 4770
Analysen er således basert på partiell syreekstraksjon i 7N HNO₃ og de rapporterte analyseverdier representerer derfor ikke totalverdier i prøven

INSTRUMENT: Perkin Elmer SIMAA 6000

METODE: Metodeoppsettet er beskrevet i NGU-SD 2.12: Atomabsorpsjonsanalyse (GF-AAS) av ekstrakter (As, Cd, Pb, Se, Sn)

NEDRE BESTEMMELSESGRENSER (LLQ) OG USIKKERHETER (mg/kg = ppm):

	Cd mg/kg	Pb mg/kg	As mg/kg	Se mg/kg	Sn mg/kg
LLQ:	0,02	0,6	1	1	2
Usikkerhet LLQ - 5*LLQ	40 %	40 %	30 %	60 %	30 %
Usikkerhet > 5*LLQ	20 %	20 %	15 %	30 %	20 %
INFO: 5 *LLQ =	0,1	3	5	5	10

Oppgitte usikkerheter har dekningsfaktor 2 (2 standardavvik), noe som tilsvarer et konfidensintervall på 95 %.

PRESISJON: Det analyseres rutinemessig kontrollprøver som føres i kontrolldiagram (X-diagram). Disse kan forevises om ønskelig.

ANTALL PRØVER: 106

ANMERKNINGER: Ingen

Gjengivelse av analysedata skal skje på en slik måte at meningsinnholdet i rapporten ikke endres.

Ferdig analysert	14. des. 2010	Frank Berge
	Dato	OPERATØR

Prøve id.	As mg/kg	Cd mg/kg	Pb mg/kg	Se mg/kg	Sn mg/kg
1	5,1	0,02	6,3	< 1	< 2
2	7,4	0,15	25,4	1,0	3,1
3	7,6	0,09	28,3	< 1	2,8
4	7,4	0,12	27,2	< 1	2,0
5	7,0	0,11	19,9	< 1	4,6
6	7,5	0,10	16,0	< 1	< 2
7	7,1	0,11	14,9	< 1	3,1
8	7,6	0,08	12,4	< 1	< 2
9	6,4	0,10	10,0	< 1	2,6
10	6,8	0,12	10,1	< 1	< 2
11	5,5	0,11	8,8	< 1	3,1
12	5,5	0,03	8,4	< 1	3,1
13	5,5	0,07	8,3	< 1	2,9
14	5,3	0,08	7,9	< 1	< 2
15	4,7	0,05	8,7	< 1	3,2
16	6,0	0,09	8,7	< 1	3,0
17	5,9	0,07	8,3	< 1	< 2
18	5,1	0,07	6,3	< 1	3,7
19	4,9	0,05	5,8	< 1	2,7
20	4,4	0,03	5,7	< 1	2,1
21	3,5	0,04	5,8	< 1	< 2
22	2,9	0,05	6,0	< 1	2,2
23	2,8	0,03	5,8	< 1	< 2
24	4,8	0,08	14,0	1,8	2,8
25	1070,0	18,30	1918,0	27,2	4,1
26	5,9	0,13	22,3	< 1	3,0
27	5,8	0,12	23,7	1,2	3,2
28	5,7	0,12	20,7	1,1	2,4
29	7,1	0,11	19,8	1,0	2,3
30	7,9	0,09	17,9	< 1	2,3
31	4,5	0,07	19,8	< 1	2,3
32	5,0	0,05	19,6	< 1	2,6
33	4,3	0,13	17,2	< 1	3,1
34	2,9	0,16	16,9	< 1	2,7
35	3,1	0,13	15,7	< 1	2,9

Prøve id.	As mg/kg	Cd mg/kg	Pb mg/kg	Se mg/kg	Sn mg/kg
36	2,4	0,09	13,2	1,1	< 2
37	2,4	0,09	12,1	< 1	2,2
38	2,8	0,06	10,7	< 1	2,8
39	2,1	0,09	10,3	< 1	2,6
40	2,2	0,11	9,3	< 1	< 2
41	2,5	0,16	10,3	< 1	2,7
42	2,4	0,07	10,5	< 1	2,7
43	2,2	0,05	8,3	1,4	2,0
44	2,4	0,19	9,1	< 1	< 2
45	2,4	0,11	10,2	1,1	< 2
46	2,1	0,31	10,8	< 1	< 2
47	2,1	0,22	9,9	< 1	2,1
48	4,5	0,10	14,0	< 1	< 2
49	1090,0	17,20	1870,0	29,0	4,7
50	10,2	0,16	23,5	1,3	2,8
51	8,4	0,12	18,7	1,1	2,9
52	8,5	0,12	18,0	< 1	2,7
53	7,8	0,08	15,1	< 1	2,4
54	8,5	0,06	12,8	< 1	2,4
55	7,6	0,07	12,7	< 1	2,5
56	6,5	0,10	12,4	< 1	< 2
57	5,9	0,12	12,2	< 1	2,5
58	7,4	0,13	12,1	< 1	2,3
59	7,7	0,09	10,9	< 1	2,8
60	5,5	0,10	12,1	< 1	< 2
61	9,6	0,08	9,8	< 1	3,0
62	9,5	0,06	9,4	< 1	2,5
63	7,6	0,07	8,2	< 1	< 2
64	6,6	0,07	7,4	< 1	< 2
65	5,8	0,04	5,8	< 1	< 2
66	4,5	0,03	3,6	< 1	< 2
67	6,3	< 0,02	6,6	< 1	< 2
68	5,2	0,02	5,2	< 1	2,6
69	3,5	0,03	4,6	< 1	< 2
70	3,5	0,05	3,9	< 1	< 2

Prøve id.	As mg/kg	Cd mg/kg	Pb mg/kg	Se mg/kg	Sn mg/kg
71	14,5	0,05	7,9	< 1	< 2
72	10,2	0,07	9,5	< 1	< 2
73	8,6	0,06	8,4	< 1	2,1
74	6,4	0,03	7,4	< 1	2,1
75	16,1	0,04	11,9	< 1	< 2
76	17,7	0,04	14,0	< 1	2,1
77	14,4	0,04	12,8	< 1	< 2
78	11,1	0,11	18,6	< 1	< 2
79	5,4	0,09	13,5	< 1	< 2
80	1170,0	17,90	1990,0	28,3	4,8
81	12,6	0,15	33,3	1,2	< 2
82	12,8	0,12	33,9	< 1	2,3
83	12,1	0,08	26,7	< 1	3,6
84	9,8	0,09	19,2	< 1	2,2
85	11,8	0,08	17,2	< 1	< 2
86	11,8	0,08	16,3	< 1	< 2
87	12,5	0,07	16,0	< 1	2,3
88	11,8	0,08	15,6	< 1	2,8
89	11,8	0,13	12,6	< 1	2,6
90	12,5	0,11	11,9	< 1	2,4
91	11,1	0,11	12,4	< 1	4,1
92	11,4	0,09	12,2	< 1	2,6
93	11,8	0,08	12,7	< 1	< 2
94	11,6	0,04	11,9	< 1	< 2
95	10,7	0,12	11,2	< 1	< 2
96	11,8	0,06	12,5	< 1	3,8
97	12,2	< 0,02	12,2	< 1	3,1
98	13,6	< 0,02	12,1	< 1	2,6
99	13,2	0,11	12,1	< 1	2,9
100	13,9	0,03	11,5	< 1	< 2
101	25,3	< 0,02	11,0	< 1	3,3
102	15,6	0,03	10,3	1,1	< 2
103	12,1	0,03	10,4	< 1	< 2
104	15,2	0,04	11,5	1,6	2,0
105	5,2	0,07	13,8	< 1	2,4

Prøve id.	As mg/kg	Cd mg/kg	Pb mg/kg	Se mg/kg	Sn mg/kg
106	1110,0	17,70	2030,0	28,3	7,2

Atomabsorpsjonsanalyse (GF-AAS) av Cd, Pb, As, Se og Sn
GEOLOGISK MATERIALE
ANALYSEKONTRAKTNR. 2010.0210

Atomabsorpsjonsanalyse (GF-AAS) av Cd, Pb, As, Se og Sn
GEOLOGISK MATERIALE
ANALYSEKONTRAKTNR. 2010.0210

Atomabsorpsjonsanalyse (GF-AAS) av Cd, Pb, As, Se og Sn
GEOLOGISK MATERIALE
ANALYSEKONTRAKTNR. 2010.0210

Atomabsorpsjonsanalyse (GF-AAS) av Cd, Pb, As, Se og Sn
GEOLOGISK MATERIALE
ANALYSEKONTRAKTNR. 2010.0210

Metoden anvendes på analyseløsninger fremstilt ved ekstraksjon med 7 N HNO₃ i autoklav, i samsvar med Norsk Standard - NS 4770
Analysen er således basert på partiell syreekstraksjon i 7N HNO₃ og de rapporterte analyseverdier representerer derfor ikke totalverdier i prøven

INSTRUMENT: CETAC M-6000A Hg Analyzer

METODE: Metodeoppsettet er beskrevet i NGU-SD 2.13: Atomabsorpsjonsanalyse (CV-AAS) av Hg i ekstrakter

NEDRE BESTEMMELSESGRENSE (LLQ): 0,005 mg/kg (mg/kg = ppm)

ANALYSEUSIKKERHET: 0.005-0.025 mg/kg: ± 40 % rel.
>0.025 mg/kg: ± 20 % rel.

Oppgitt usikkerhet har dekningsfaktor 2 (2 standardavvik), noe som tilsvarer et konfidensintervall på 95 %

PRESISJON: Det analyseres rutinemessig kontrollprøver som føres i kontrolldiagram (X-diagram). Disse kan forevises om ønskelig.

ANTALL PRØVER: 106

ANMERKNINGER: Prøvene fortynnes 100X til analyse, unntatt prøvene av type KDF (25, 49, 80 og 106) som fortynnes 500X.

Gjengivelse av analysedata skal skje på en slik måte at meningsinnholdet i rapporten ikke endres.

Ferdig analysert	2. des. 2010	Ana Banica
	Dato	OPERATØR

Prøve ID	Hg [mg/kg]
1	0,010
2	0,032
3	0,033
4	0,032
5	0,026
6	0,024
7	0,021
8	0,020
9	0,019
10	0,018
11	0,014
12	0,018
13	0,016
14	0,014
15	0,013
16	0,011
17	0,015
18	0,013
19	0,011
20	0,009
21	0,008
22	0,013
23	0,012
24	0,025
25	0,700
26	0,030
27	0,030
28	0,026
29	0,024
30	0,022
31	0,026
32	0,026
33	0,022
34	0,021
35	0,020
36	0,019
37	0,018
38	0,015
39	0,015
40	0,012

Prøve ID	Hg [mg/kg]
41	0,011
42	0,014
43	0,013
44	0,013
45	0,014
46	0,013
47	0,011
48	0,024
49	0,665
50	0,039
51	0,036
52	0,034
53	0,033
54	0,031
55	0,026
56	0,024
57	0,023
58	0,020
59	0,020
60	0,020
61	0,016
62	0,016
63	0,014
64	0,014
65	0,011
66	0,007
67	0,012
68	0,011
69	0,012
70	0,016
71	0,010
72	0,010
73	0,010
74	0,015
75	0,016
76	0,021
77	0,019
78	0,032
79	0,024

Prøve ID	Hg [mg/kg]
80	0,680
81	0,042
82	0,041
83	0,038
84	0,033
85	0,031
86	0,032
87	0,033
88	0,030
89	0,024
90	0,019
91	0,021
92	0,021
93	0,022
94	0,018
95	0,017
96	0,019
97	0,019
98	0,015
99	0,021
100	0,017
101	0,020
102	0,017
103	0,018
104	0,035
105	0,026
106	0,695

Metoden anvendes på analyseløsninger fremstilt ved ekstraksjon med 7 N HNO₃ i autoklav i samsvar med Norsk Standard - NS 4770

Ettersom denne syrekstraksjonen er partiell, og ikke total, representerer de rapporterte analyseverdier ikke totalinnhold i prøven.

INSTRUMENT: ICP-AES type Perkin Elmer Optima 4300 Dual View

METODE: Metodeoppsettet er beskrevet i NGU-SD 2.11: ICP-AES -analyse av ekstrakter

NEDRE BESTEMMELSESGRENSER (LLQ) FOR ANALYSER BASERT PÅ AUTOKLAVEKSTRAKSJON (1 g prøve i 100 ml analysevolum)

(For analyser med fortynningsfaktor som avviker fra 100, blir deteksjonsgrensene automatisk omregnet).

Si*	Al	Fe	Ti	Mg	Ca	Na	K	Mn	P	Cu	Zn	Pb	Ni	Co
ppm														
250	20	3	1	100	100	200	100	5	10	1	2	2	1	0,1

V	Mo	Cd	Cr	Ba	Sr	Zr	B	Be	Li	Sc	Ce	La	Y	As
ppm														
1	1	0,1	0,2	1	1	2	10	0,1	0,5	0,1	2	0,1	0,1	2

*) NGU-lab er ikke akkreditert for Si (i ekstrakter).

(1 mg/kg = 1 ppm)

ANALYSEUSIKKERHET i) Nedre måleområde (LLQ - 5*LLQ):

± 25 % rel.: Al, Fe, Mg, Ca, Na, K, Mn, Cu, Pb, Ni, Cd, Cr, Ba, Sr, Zr, B, Be, Li, Sc, Ce, La, Y ± 37.5 % rel.: Zn

± 50 % rel.: Ti, P, Co, V, Mo, As

ii) Øvre måleområde (> 5*LLQ):

± 10 % rel.: Al, Fe, Mg, Ca, Na, K, Mn, Cu, Pb, Ni, Cd, Cr, Ba, Sr, Zr, B, Be, Li, Sc, Ce, La, Y ± 15 % rel.: Zn

± 20 % rel.: Ti, P, Co, V, Mo, As

Oppgitte usikkerheter har dekningsfaktor 2 (2 standardavvik), noe som tilsvarer et konfidensintervall på 95 %

PREISJON : Det analyseres rutinemessig kontrollprøver som føres i kontrolldiagram (X-diagram). Disse kan forevises om ønskelig.

ANTALL PRØVER: 106

ANMERKNINGER: Alle prøvene analyseres med fortynning 100X, unntatt prøvene av type KDF (#25; 49; 80; 106) som analyseres med fortynningsfaktor 400X.

Gjengivelse av analysedata skal skje på en slik måte at meningsinnholdet i rapporten ikke endres.

Ferdig analysert	01.des.10	Laurentius Tjihuis
	Dato	OPERATØR

Prøve ID	Si	Al	Fe	Ti	Mg	Ca	Na	K	Mn	P	Cu	Zn	Pb	Ni	Co
	[mg/kg]														
1	401	7460	12400	387	5360	11000	4010	2430	271	616	7,2	28,6	5,7	12,5	5,05
2	313	11300	15400	530	8480	109000	19700	4890	738	606	10,3	43,0	23,4	21,1	7,54
3	262	12300	16600	579	8530	117000	17100	5100	784	634	10,7	46,0	28,1	24,0	8,02
4	<250	13000	17500	620	8690	109000	16400	5340	839	633	10,9	47,8	27,0	25,0	8,48
5	<250	13800	18300	663	8860	108000	14300	5570	940	636	10,7	48,8	19,4	26,6	9,03
6	<250	14300	19100	687	8920	107000	13100	5710	1010	631	10,7	48,3	15,2	29,7	9,15
7	<250	14500	19600	695	8990	104000	12300	5780	1070	659	10,8	48,6	14,1	30,1	9,24
8	<250	13700	18600	657	8420	99700	11300	5410	1070	616	10,4	46,1	12,3	30,2	8,98
9	<250	13600	18400	652	8510	96700	11000	5430	1330	613	10,8	45,3	10,1	35,7	9,38
10	279	14000	18800	666	8690	93300	10900	5540	1540	604	10,4	46,6	9,6	41,4	10,3
11	<250	12900	18200	630	8260	90600	9850	5190	895	585	9,0	44,3	8,9	27,1	8,78
12	<250	12500	17000	607	7850	98900	9850	5000	528	565	9,8	41,4	8,1	22,2	7,60
13	278	13400	18300	645	8350	89900	9820	5330	338	553	9,5	44,0	8,6	18,6	6,90
14	<250	13100	17900	619	8060	80200	9100	5180	249	536	8,8	44,4	7,5	18,2	6,06
15	285	11600	16400	548	7380	67500	8210	4580	194	498	7,1	39,5	6,6	16,5	5,18
16	275	11200	16500	517	7310	61200	8180	4400	306	532	6,9	38,1	6,2	16,7	6,08
17	293	10700	15600	492	6990	55100	7540	4180	374	511	7,4	36,8	6,2	15,8	6,19
18	307	9720	14100	450	6470	49400	6820	3720	832	503	6,9	32,9	4,7	18,1	8,92
19	324	8220	12500	379	5640	43000	6010	3190	371	480	5,9	28,6	4,3	13,2	7,34
20	359	8100	13700	378	5850	43500	6220	3300	147	507	4,1	30,2	4,2	12,9	4,22
21	295	8260	14800	379	5990	40400	6660	3540	128	454	4,6	30,6	4,5	13,2	4,32
22	313	8030	14500	352	5820	38700	6610	3470	121	424	6,6	30,1	4,1	13,1	3,94
23	319	8800	15300	371	6270	37700	7340	3870	137	440	10,8	32,0	4,5	14,3	4,25
24	<250	20900	28000	1340	14800	19900	6680	7210	381	710	15,9	76,9	12,4	33,9	10,2
25	<1000	10800	312000	521	10500	4630	5340	3030	692	487	2080	7090	1840	30,9	194
26	<250	12100	15800	628	8860	110000	20500	5420	791	640	9,9	47,0	21,1	21,6	7,75
27	<250	13000	16900	676	9130	110000	18800	5690	828	636	10,5	49,6	22,2	25,7	7,96
28	271	12500	16800	664	8500	113000	15600	5420	1210	599	9,6	47,8	19,1	27,1	8,43
29	251	13500	17900	714	9110	112000	16400	5870	2040	626	10,0	50,2	18,5	33,3	12,0
30	268	13000	18000	685	8810	111000	16200	5690	1480	647	9,7	48,5	16,6	28,2	12,8
31	<250	12900	17200	679	8810	115000	16800	5800	263	612	10,2	47,4	18,9	21,1	6,75
32	<250	12900	17500	684	8770	118000	15800	5780	299	610	9,5	46,5	17,5	22,3	7,03
33	<250	12900	17000	698	8710	114000	15000	5830	273	594	9,1	46,4	15,2	21,3	7,19
34	<250	13300	17200	709	8840	116000	15300	6120	208	562	9,6	46,5	15,7	22,0	6,60
35	<250	13400	18000	722	9040	115000	15200	6340	220	589	9,8	49,5	13,8	22,1	7,03

Prøve ID	V	Mo	Cd	Cr	Ba	Sr	Zr	B	Be	Li	Sc	Ce	La	Y	As
	[mg/kg]														
1	26,3	<1	<0,1	16,3	60,9	44,9	4,8	17	0,24	11,6	2,34	47,0	28,1	6,80	5,5
2	40,4	<1	0,13	20,2	79,2	493	4,2	42	0,36	17,2	3,06	26,5	12,4	7,60	7,1
3	42,1	<1	<0,1	21,6	85,0	544	4,6	42	0,39	18,9	3,27	28,7	13,6	8,22	6,8
4	42,8	<1	<0,1	22,9	83,5	487	5,1	41	0,43	19,9	3,49	29,9	14,4	8,62	6,7
5	44,5	<1	0,10	24,4	78,7	475	5,7	41	0,47	20,9	3,71	31,8	15,1	9,07	6,9
6	45,3	<1	<0,1	24,7	81,7	465	6,0	40	0,49	21,5	3,85	33,3	15,9	9,38	5,7
7	45,9	<1	<0,1	25,3	87,7	447	6,3	40	0,48	22,0	3,87	33,2	16,1	9,43	6,3
8	43,3	<1	<0,1	24,1	84,9	422	6,1	37	0,47	20,7	3,74	32,8	15,6	9,14	6,6
9	42,8	1,1	<0,1	23,9	86,1	405	6,1	36	0,45	20,7	3,68	32,3	15,5	9,00	5,8
10	43,4	1,7	0,11	24,3	90,6	394	6,3	36	0,45	21,2	3,70	32,8	15,6	8,95	6,5
11	40,2	<1	<0,1	23,5	84,0	374	6,3	34	0,46	19,5	3,54	32,2	15,2	8,76	4,9
12	38,1	<1	<0,1	22,4	81,0	392	6,0	33	0,41	18,7	3,39	30,6	14,4	8,46	4,6
13	38,8	<1	<0,1	24,0	81,8	372	6,4	34	0,44	20,3	3,54	32,0	15,2	8,74	4,3
14	38,0	<1	<0,1	23,9	75,3	332	6,7	32	0,46	20,1	3,55	32,1	15,3	8,56	4,7
15	34,0	<1	<0,1	21,5	63,7	273	6,4	28	0,42	17,9	3,21	30,1	14,1	7,87	4,1
16	34,6	<1	<0,1	21,0	63,6	246	6,2	27	0,40	17,1	3,09	29,7	14,0	7,68	5,1
17	33,0	<1	<0,1	20,4	62,1	220	6,0	25	0,40	15,9	3,00	29,5	13,8	7,45	5,5
18	28,7	<1	<0,1	18,4	60,4	196	5,6	22	0,35	14,4	2,73	27,6	12,9	6,98	4,4
19	24,8	<1	<0,1	16,0	53,8	169	5,1	19	0,30	12,4	2,36	25,4	11,7	6,47	3,9
20	25,7	<1	<0,1	16,6	53,1	170	5,1	20	0,30	12,7	2,41	26,6	12,4	6,64	3,6
21	26,3	<1	<0,1	17,4	51,3	158	5,2	23	0,29	12,9	2,40	25,6	11,7	6,32	3,3
22	27,0	<1	<0,1	17,3	50,1	151	5,0	22	0,30	12,8	2,38	25,5	12,0	6,20	2,6
23	34,1	<1	<0,1	17,6	54,9	150	5,3	23	0,33	14,2	2,55	27,4	12,7	6,72	2,4
24	54,6	<1	<0,1	51,8	74,8	77,3	17,7	21	0,39	28,3	4,74	49,3	23,9	11,2	4,9
25	62,0	<4	20,9	78,2	132	18,6	12,3	<40	<0,4	8,79	2,68	15,0	28,5	8,09	1050
26	38,5	<1	0,11	21,6	74,8	473	4,2	41	0,38	18,2	3,25	30,2	14,2	8,25	5,4
27	40,1	<1	0,12	23,0	77,4	474	4,7	41	0,40	19,7	3,47	31,9	15,0	8,78	4,6
28	38,9	1,3	<0,1	22,3	70,8	472	4,9	38	0,40	19,2	3,37	30,1	14,8	8,59	5,5
29	42,3	2,5	<0,1	23,6	77,2	475	5,1	39	0,43	21,1	3,60	32,5	15,5	8,97	6,6
30	41,6	1,2	<0,1	23,6	74,5	473	5,1	40	0,42	19,6	3,54	31,6	15,2	8,85	7,3
31	37,7	<1	<0,1	22,9	68,9	495	5,0	39	0,42	20,1	3,46	31,1	14,9	8,73	3,4
32	39,2	<1	<0,1	22,8	70,0	494	5,1	38	0,41	19,8	3,49	30,9	15,1	8,75	4,2
33	39,1	<1	<0,1	22,9	67,4	474	5,2	38	0,39	19,9	3,48	31,6	15,0	8,87	3,7
34	38,6	<1	0,13	23,2	68,8	484	5,3	39	0,39	20,8	3,53	32,1	15,2	8,86	2,5
35	40,2	<1	0,12	24,6	69,6	480	5,5	42	0,43	21,2	3,67	32,9	15,8	9,18	2,9

Prøve ID	Si	Al	Fe	Ti	Mg	Ca	Na	K	Mn	P	Cu	Zn	Pb	Ni	Co
	[mg/kg]														
36	<250	13800	18300	746	9140	116000	14300	6390	216	568	9,5	46,9	12,0	21,9	6,87
37	<250	14400	18800	771	9270	115000	13200	6490	221	571	9,4	48,2	9,8	22,8	7,28
38	<250	14200	18400	765	9110	114000	12700	6390	219	558	7,9	48,5	8,2	20,7	6,81
39	<250	14000	17800	759	8960	112000	12300	6300	226	574	8,2	49,5	7,9	20,6	7,15
40	<250	13800	17300	747	8850	112000	12500	6240	218	545	8,7	47,8	7,5	20,4	6,64
41	<250	12900	17000	700	8350	116000	11400	5920	201	528	7,1	43,2	7,3	19,9	6,25
42	<250	12400	17200	681	8260	113000	11100	5830	201	517	7,8	42,9	7,0	20,2	6,35
43	<250	11800	16400	639	7880	105000	10800	5580	192	498	8,6	41,6	6,4	19,9	6,22
44	<250	14700	19600	780	9520	104000	12000	6840	224	559	8,6	51,1	7,3	23,3	7,73
45	<250	14700	18600	779	9420	102000	11900	6710	213	527	9,4	49,3	7,6	22,5	7,01
46	253	14100	17700	747	9150	101000	12700	6390	210	529	10,3	49,0	7,7	22,8	7,00
47	<250	12600	15800	667	8060	91400	10000	5670	189	487	8,6	43,2	6,5	18,8	6,35
48	<250	20200	27000	1300	14000	18500	6600	7000	362	645	15,4	72,1	11,8	33,2	10,0
49	<1000	10400	308000	504	10100	4720	5170	2910	707	408	2080	6990	1870	37,9	202
50	<250	16300	21000	1180	9490	129000	26400	5630	1000	599	20,1	48,1	20,9	18,3	9,31
51	<250	16100	20800	1100	8920	122000	21500	5470	995	547	18,1	43,5	16,0	21,4	9,21
52	<250	17700	22200	1170	9510	132000	21200	5950	1070	584	19,2	45,8	14,4	23,8	9,95
53	<250	17600	22400	1170	9290	131000	18800	5910	1040	564	18,9	45,1	10,6	23,3	9,73
54	<250	17900	22800	1180	9370	136000	18700	6010	1080	580	19,8	46,5	11,3	24,8	10,1
55	<250	17400	22200	1170	9160	136000	18000	5850	1020	561	19,3	45,0	9,7	24,0	9,65
56	<250	17500	22200	1150	8930	127000	14700	5800	997	563	18,8	46,5	9,5	24,3	9,79
57	<250	18500	23800	1210	9680	116000	16000	6250	1030	579	19,3	49,6	9,2	26,7	10,2
58	<250	19100	25000	1240	10200	107000	17000	6560	1060	609	19,9	53,1	9,6	26,3	10,7
59	<250	19400	25100	1240	10500	103000	17100	6680	1050	622	19,8	53,1	9,2	27,2	10,7
60	<250	19300	25000	1220	10400	92600	15800	6660	1040	623	18,9	53,0	9,0	27,4	10,5
61	<250	18100	24100	1150	10000	79300	14000	6370	973	640	17,9	51,7	8,8	25,4	10,2
62	<250	17900	24400	1120	10200	62100	12200	6530	933	674	17,3	53,7	8,3	26,2	10,1
63	<250	15800	22000	971	9170	41900	9130	6000	816	657	14,8	49,4	7,9	25,0	9,17
64	<250	13700	19600	853	8200	29400	7170	5360	779	659	12,8	45,2	7,1	22,3	8,89
65	265	10100	15600	705	6520	22800	5700	4090	658	722	10,5	35,2	5,7	15,8	5,86
66	327	6080	10400	474	4390	19200	4440	2500	314	706	5,8	21,9	3,7	9,1	3,58
67	256	12000	17300	758	7340	35500	7290	4640	641	633	11,5	39,0	6,1	20,4	7,26
68	326	8730	13600	569	5720	29400	5710	3480	524	644	8,8	30,7	5,2	15,2	5,31
69	343	7340	10900	435	4800	43000	5640	2880	385	510	7,6	24,0	4,3	13,9	4,58
70	362	6290	9610	350	4060	54700	5720	2500	354	431	8,1	21,0	3,3	15,3	4,74

Prøve ID	V	Mo	Cd	Cr	Ba	Sr	Zr	B	Be	Li	Sc	Ce	La	Y	As
	[mg/kg]														
36	37,7	<1	<0.1	24,6	71,7	481	5,7	40	0,42	21,8	3,69	33,1	15,9	9,11	<2
37	38,2	<1	<0.1	25,4	75,9	477	6,2	40	0,45	22,5	3,80	34,4	16,7	9,53	2,6
38	37,1	<1	<0.1	24,5	72,1	475	6,0	37	0,43	22,0	3,72	33,6	16,4	9,43	2,3
39	39,9	<1	<0.1	25,3	68,7	467	6,2	37	0,43	21,9	3,78	35,1	16,7	9,62	<2
40	40,7	<1	0,11	24,1	66,9	468	6,1	35	0,42	21,7	3,67	34,1	16,5	9,45	<2
41	38,8	<1	0,15	22,8	65,2	477	6,0	33	0,38	20,3	3,40	32,2	15,4	8,87	2,4
42	38,9	<1	<0.1	23,3	63,0	458	5,9	34	0,39	19,5	3,35	32,3	15,3	8,63	<2
43	40,4	<1	<0.1	22,1	60,5	428	5,9	34	0,35	18,7	3,23	30,7	14,7	8,25	2,8
44	45,6	<1	0,12	27,0	69,7	426	6,9	40	0,46	23,4	3,92	36,2	17,7	9,50	<2
45	43,7	<1	<0.1	25,8	67,2	425	6,8	37	0,45	23,4	3,82	35,4	17,2	9,23	<2
46	40,8	<1	0,32	25,3	64,1	423	6,6	37	0,43	22,5	3,72	34,2	16,6	9,05	2,6
47	37,0	<1	0,22	22,7	59,2	385	6,3	32	0,41	20,0	3,38	32,1	15,6	8,39	<2
48	52,3	<1	<0.1	49,9	71,7	76,6	17,1	19	0,39	27,4	4,57	48,4	23,5	10,8	4,3
49	63,4	<4	20,7	79,3	124	18,4	12,2	<40	<0.4	8,13	2,72	17,1	29,2	8,22	1090
50	63,8	<1	<0.1	20,0	197	683	10,4	44	0,43	19,5	4,20	27,1	12,0	8,52	8,9
51	59,2	<1	<0.1	19,7	201	642	10,2	41	0,50	19,4	4,17	27,7	13,5	8,46	8,5
52	62,8	<1	<0.1	21,4	219	685	11,2	42	0,54	21,4	4,58	29,6	14,8	9,19	8,3
53	61,5	<1	<0.1	21,2	220	664	11,4	40	0,55	21,8	4,58	30,4	15,1	9,39	8,2
54	61,7	<1	<0.1	21,8	231	687	11,7	41	0,57	22,3	4,68	31,0	15,4	9,60	8,2
55	59,8	<1	<0.1	21,1	234	682	11,6	39	0,54	21,8	4,56	30,6	15,2	9,51	7,9
56	58,7	<1	<0.1	21,8	229	639	11,9	38	0,53	22,3	4,54	31,5	15,7	9,67	7,4
57	59,7	<1	<0.1	23,3	242	599	12,9	39	0,58	24,6	4,83	34,7	17,1	10,2	7,4
58	60,7	<1	0,10	25,0	251	561	13,4	41	0,61	25,6	5,04	37,4	18,1	10,6	7,5
59	60,0	<1	<0.1	25,2	251	537	13,5	40	0,61	26,1	5,06	38,2	18,7	11,0	6,9
60	58,2	<1	<0.1	25,4	243	477	13,4	39	0,63	26,3	4,98	38,5	18,9	10,9	7,3
61	56,4	<1	<0.1	25,1	218	399	13,3	37	0,61	25,2	4,91	39,2	19,4	11,1	7,2
62	55,2	<1	<0.1	26,1	190	305	13,6	35	0,61	26,1	4,90	43,3	21,0	11,5	6,8
63	47,9	<1	<0.1	25,0	139	193	12,7	30	0,58	24,1	4,41	43,4	20,7	11,2	5,9
64	41,7	<1	<0.1	23,0	105	123	11,9	25	0,51	21,5	3,96	42,4	20,2	11,0	4,8
65	32,2	<1	<0.1	18,0	67,1	85,5	9,3	20	0,39	16,1	3,05	38,0	18,1	10,6	5,2
66	21,5	<1	<0.1	11,9	37,1	65,3	6,0	13	0,25	9,36	1,98	30,5	14,0	8,90	3,7
67	37,2	<1	<0.1	20,0	95,6	147	10,3	23	0,46	18,5	3,47	37,7	17,8	10,0	4,9
68	27,9	<1	<0.1	15,9	57,5	106	7,9	18	0,35	13,8	2,64	33,6	15,7	9,23	4,6
69	21,8	<1	<0.1	12,8	47,2	150	6,7	15	0,31	11,3	2,18	30,0	14,1	7,66	3,5
70	20,4	<1	<0.1	11,7	119	201	5,6	14	0,27	9,52	1,92	23,2	11,0	6,77	2,5

Prøve ID	Si	Al	Fe	Ti	Mg	Ca	Na	K	Mn	P	Cu	Zn	Pb	Ni	Co
	[mg/kg]														
71	<250	14800	22900	798	8060	94900	10700	4810	529	521	17,5	43,2	7,3	22,9	6,20
72	<250	17100	23200	827	9450	66800	10800	5480	544	509	19,8	48,2	9,1	24,9	10,0
73	<250	14700	20000	673	8470	49200	8870	4750	502	491	16,8	41,9	7,6	21,7	8,86
74	272	12000	16800	494	7220	33700	6530	4030	399	450	11,8	35,0	7,2	17,9	6,89
75	<250	18500	28300	553	10600	23800	7580	6060	708	597	19,9	55,8	11,2	30,3	11,6
76	<250	21400	32200	605	12500	25500	8500	7090	852	570	23,2	64,6	14,1	34,0	11,8
77	<250	19600	28900	584	11200	28400	8790	6630	580	557	19,3	58,9	12,3	27,0	10,6
78	<250	13600	18400	981	7270	118000	14400	4430	819	555	16,3	36,4	17,6	18,4	7,61
79	<250	20200	27000	1250	14200	20900	6540	6940	376	587	15,0	66,0	13,1	35,6	9,58
80	<1000	10500	307000	506	10400	4560	5110	2910	703	432	2070	7190	1860	39,4	200
81	<250	17300	24700	999	11100	96200	28100	6170	1330	693	20,3	56,8	32,5	30,5	10,0
82	<250	18600	25700	1050	11200	99300	24500	6430	1440	724	21,3	60,6	33,1	32,5	10,9
83	<250	18900	26100	1060	11100	97100	21100	6440	1490	717	21,5	59,7	26,1	34,4	11,0
84	<250	18300	25300	1000	10800	85800	18800	6260	1440	660	18,9	55,0	19,3	33,2	10,5
85	<250	19700	27400	1070	11500	85900	19100	6710	1580	674	19,8	59,1	17,2	37,0	11,1
86	<250	20400	28500	1100	11700	83700	18100	6900	1660	682	20,6	60,9	15,8	38,2	11,6
87	<250	20900	28500	1110	11900	83400	17900	7090	1690	686	20,9	61,9	16,0	39,0	11,8
88	<250	20900	28800	1120	12000	82700	17600	7070	1690	681	20,7	62,0	15,4	38,1	12,0
89	<250	20900	28600	1090	11800	75300	15800	7060	1900	635	20,8	62,0	12,4	43,8	12,0
90	<250	20900	29500	1100	11900	70700	16200	7110	2320	624	21,7	63,2	11,6	48,9	12,2
91	<250	20200	28400	1060	11800	69200	16900	6960	2000	626	20,3	60,8	12,3	41,1	11,9
92	<250	21500	30100	1100	12500	66800	16700	7400	2120	636	21,4	64,9	11,9	42,7	12,6
93	<250	21500	30200	1110	12600	67500	17400	7450	2560	645	24,2	65,8	12,2	43,6	12,7
94	<250	21500	30700	1110	12700	65500	16200	7400	2370	647	22,5	67,0	12,6	40,7	13,0
95	<250	18800	27000	981	11000	59400	14300	6380	1690	550	18,2	55,9	10,5	34,3	11,1
96	<250	20900	29400	1060	12300	70200	16400	7060	2000	608	21,3	62,2	11,6	41,5	12,7
97	<250	21500	30200	1080	12500	67000	16400	7220	2230	603	21,3	64,3	11,8	42,1	13,0
98	<250	21700	30100	1070	12500	59200	16100	7250	4030	590	27,0	65,9	12,5	50,0	15,3
99	<250	21600	30500	1080	12500	61100	16200	7210	2680	605	22,8	64,1	12,0	43,0	17,1
100	<250	20200	29500	1010	11800	56700	15000	6660	2260	657	20,8	57,5	10,6	40,6	21,6
101	<250	19800	33700	1030	11900	58100	14700	6960	598	898	18,1	58,9	11,1	30,8	10,0
102	<250	18100	31700	935	11100	55100	13100	6490	468	658	17,5	51,7	10,0	25,8	8,93
103	<250	16800	26600	869	10400	52200	11900	5930	425	709	17,2	50,5	9,2	23,0	8,14
104	<250	14300	29200	761	9660	41600	10500	5820	219	756	14,2	46,0	10,8	20,6	5,98
105	<250	19900	27700	1240	14400	22900	6490	6750	359	603	15,1	68,8	12,5	35,6	9,41

Prøve ID	V	Mo	Cd	Cr	Ba	Sr	Zr	B	Be	Li	Sc	Ce	La	Y	As
	[mg/kg]														
71	52,7	<1	<0.1	20,1	146	415	12,3	33	0,53	20,4	3,96	30,7	15,2	8,79	10,0
72	49,6	<1	<0.1	23,4	148	296	13,5	34	0,63	24,4	4,55	36,0	17,5	9,60	7,4
73	41,8	<1	<0.1	21,5	123	206	12,0	29	0,55	21,6	4,00	34,0	16,4	9,26	6,7
74	32,5	<1	<0.1	18,7	88,2	121	9,9	24	0,48	18,0	3,32	31,7	15,2	8,32	5,1
75	55,4	<1	<0.1	31,1	119	85,1	13,6	39	0,75	30,4	5,09	42,3	20,7	10,8	12,3
76	62,4	<1	<0.1	34,5	106	115	15,1	46	0,85	35,2	5,99	46,1	23,0	11,6	12,6
77	57,6	<1	<0.1	32,6	153	102	14,0	45	0,79	32,3	5,44	42,9	21,0	11,1	11,4
78	52,4	<1	<0.1	16,9	162	590	9,2	35	0,42	16,3	3,57	25,4	12,6	8,05	7,1
79	50,5	<1	<0.1	48,3	71,6	76,9	16,7	18	0,42	26,6	4,59	47,9	23,4	10,9	4,3
80	63,7	<4	21,1	79,7	127	18,0	12,6	<40	<0.4	8,42	2,70	18,3	28,1	7,94	1110
81	62,7	<1	0,15	24,1	242	498	9,8	54	0,65	23,5	4,56	30,4	15,5	9,62	9,8
82	64,5	<1	0,10	25,9	254	514	10,8	55	0,68	25,4	4,93	32,6	16,7	10,3	10,7
83	63,8	<1	<0.1	26,0	260	501	11,5	53	0,71	26,1	5,07	34,1	17,4	10,6	9,1
84	60,5	<1	<0.1	25,2	250	441	11,2	49	0,70	25,5	4,93	33,6	17,0	10,4	9,2
85	62,7	<1	<0.1	27,1	279	444	12,2	51	0,74	27,6	5,26	35,4	18,2	11,0	8,2
86	63,9	<1	<0.1	28,4	304	432	12,7	52	0,78	28,4	5,46	37,2	19,0	11,4	8,6
87	65,3	<1	<0.1	28,8	300	434	13,1	53	0,79	29,1	5,59	38,3	19,6	11,7	8,6
88	64,6	<1	<0.1	29,1	303	429	13,1	52	0,79	29,1	5,58	37,8	19,3	11,7	8,6
89	63,5	<1	<0.1	28,9	313	394	13,7	49	0,81	29,5	5,64	38,3	19,8	11,8	8,3
90	63,6	<1	<0.1	29,3	314	362	13,9	48	0,81	29,7	5,65	39,2	19,9	11,7	9,3
91	61,0	<1	<0.1	28,8	290	351	13,4	47	0,77	29,0	5,47	38,6	19,6	11,5	8,8
92	63,2	<1	<0.1	30,7	300	343	14,2	49	0,82	31,2	5,75	41,0	20,9	12,0	8,5
93	64,3	<1	<0.1	30,7	297	341	14,3	49	0,82	31,6	5,78	41,9	21,2	12,1	8,7
94	64,1	<1	<0.1	31,5	292	328	14,6	48	0,84	31,8	5,83	42,9	21,7	12,3	9,1
95	56,6	<1	<0.1	26,7	254	298	13,0	42	0,75	27,1	5,16	37,5	18,9	10,8	8,7
96	60,4	<1	<0.1	29,3	302	352	14,1	47	0,82	30,3	5,64	40,4	20,6	11,9	8,7
97	61,6	<1	<0.1	30,4	313	348	14,5	48	0,84	31,1	5,82	41,6	21,2	11,9	10,3
98	63,4	2,6	<0.1	30,4	309	308	14,6	47	0,85	33,0	5,83	40,0	20,4	11,6	10,4
99	61,0	<1	<0.1	30,5	291	314	14,7	48	0,86	31,9	5,85	40,1	20,4	11,6	10,4
100	57,4	<1	<0.1	27,8	263	286	13,5	44	0,77	29,3	5,44	37,2	19,3	11,0	10,7
101	60,2	<1	<0.1	27,8	235	286	14,2	52	0,76	28,9	5,32	37,4	19,3	10,8	19,3
102	51,6	<1	<0.1	25,6	212	261	13,4	46	0,69	27,0	4,91	34,3	17,8	9,98	11,3
103	49,2	<1	<0.1	25,1	199	238	12,0	43	0,64	25,7	4,64	33,6	16,9	9,56	9,2
104	50,7	<1	<0.1	23,3	156	189	10,4	44	0,55	22,6	4,13	30,8	16,2	8,86	11,8
105	51,5	<1	<0.1	47,9	68,9	79,5	16,8	20	0,44	27,3	4,64	46,3	23,2	10,6	3,5

Prøve ID	Si [mg/kg]	Al [mg/kg]	Fe [mg/kg]	Ti [mg/kg]	Mg [mg/kg]	Ca [mg/kg]	Na [mg/kg]	K [mg/kg]	Mn [mg/kg]	P [mg/kg]	Cu [mg/kg]	Zn [mg/kg]	Pb [mg/kg]	Ni [mg/kg]	Co [mg/kg]
106	<1000	10300	306000	501	10100	4680	5090	2920	679	454	1910	6810	1790	39,0	195

Prøve ID	V	Mo	Cd	Cr	Ba	Sr	Zr	B	Be	Li	Sc	Ce	La	Y	As
	[mg/kg]														
106	60,3	<4	20,1	76,8	126	18,2	11,9	<40	<0.4	8,29	2,59	16,9	27,0	7,95	1080

Vedlegg 2

Tributyltinn (TBT)

Eurofins Norsk Miljøanalyse AS analyserapport.

Prøver (0 – 2 cm) fra 3 prøvetakingsstasjoner

Norges Geologiske Undersøkelse NGU
 Postboks 6315 Sluppen
 7491 TRONDHEIM
Attn: Henning Jensen

AR-10-MM-020243-01



EUNOMO-00025980

Received: 20.12.2010
 Temperatur:
 Analysed between: 20.12.2010-23.12.2010
 Reference: mareano- tokt 2009111

ANALYTICAL REPORT

Sample code:	439-2010-12200051	Sampled on:	01.09.2010 - 30.09.2010		
Description:	Sediments	Sampled by:	Client		
Client Sample:	R474MC040, 0-2 cm	Analysis date:	20.12.2010		
Analysis	Result:	Unit	MU	Method	LOQ:
Dry matter	42	%	15%	NS 4764	0.02
Tributyltin (TBT)	<1.0	µg/kg dm	40%	Internal method	1

Sample code:	439-2010-12200052	Sampled on:	01.10.2010 - 31.10.2010		
Description:	Sediments	Sampled by:	Client		
Client Sample:	R479MC043, 0-2 cm	Analysis date:	20.12.2010		
Analysis	Result:	Unit	MU	Method	LOQ:
Dry matter	38	%	15%	NS 4764	0.02
Tributyltin (TBT)	<1.0	µg/kg dm	40%	Internal method	1

Sample code:	439-2010-12200053	Sampled on:	01.10.2010 - 31.10.2010		
Description:	Sediments	Sampled by:	Client		
Client Sample:	R488MC044, 0-2 cm	Analysis date:	20.12.2010		
Analysis	Result:	Unit	MU	Method	LOQ:
Dry matter	35	%	15%	NS 4764	0.02
Tributyltin (TBT)	<1.0	µg/kg dm	40%	Internal method	1

Moss 23.12.2010



 Grethe Arnestad

ASM/Chemical Engineer

Symbol description:

* (Not part of the accreditation)

< : Less than, > : Greater than, LOQ : Limit Of Quantification, MPN : Most Probable Number, cfu : Colony Forming Units

Contact the laboratory to get information about the uncertainty.

The results may not be reproduced except in full, without a written approval of the laboratory. The results relate only to sample analysed.

Vedlegg 3

²¹⁰Pb datering av sedimentkjerner fra 3 prøvetakingsstasjoner.

DHI Analyserapport nr. 11091401.

**^{210}Pb -datering af tre sedimentkerner
fra NGU, Norge**

²¹⁰Pb-datering af tre sedimentkerner fra NGU, Norge

November 2010

Agem Allé 11
DK-2970 Hørsholm, Denmark

Tlf: +45 4516 9200
Fax: +45 4516 9292
Initialer: aje/msl
E-mail: dhi@dhi.dk
Web: www.dhi.dk

Klient NGU		Klientens repræsentant Henning K. B. Jensen			
Projekt ²¹⁰ Pb-datering af tre sedimentkerner fra NGU, Norge		Projekt nr. 11091401			
Forfattere Arne Jensen		Dato 26. november 2010			
		Godkendt af Flemming Møhlenberg			
					
1	Rapport	AJE	FLM	FLM	26/11-10
Revision	Beskrivelse	Udført	Kontrolleret	Godkendt	Dato
Nøgleord ²¹⁰ Pb-datering Sediment Norge		Klassifikation <input type="checkbox"/> Åben <input type="checkbox"/> Intern <input checked="" type="checkbox"/> Tilhører klienten			
Distribution NGU DHI:			Henning K. B. Jensen AJE, Bibliotek		Antal kopier PDF-fil 2



INDHOLDSFORTEGNELSE

1	INDLEDNING	1-1
2	ANALYSEMETODE	2-1
3	DATERING OG BESTEMMELSE AF AKKUMULATIONS-RATER.....	3-1
3.1	Vægtet lineær regression	3-1
3.2	CIC-metoden.....	3-2
3.3	CRS-metoden	3-2
3.4	Korrigeret CRS-metode.....	3-2
3.5	Valg af den rette dateringsmetode	3-3
3.6	Beregning af akkumulationsrater.....	3-3
3.7	Estimation af diffusionsrater for ²¹⁰ Pb i sedimentet.....	3-4
4	RESULTATER OG KOMMENTARER	4-1
4.1	Resultater.....	4-1
4.2	Kommentarer	4-2
4.2.1	Generelle kommentarer.....	4-2
4.2.2	Specifikke kommentarer til dateringen fra NGU kerne R474MC040	4-2
4.2.3	Specifikke kommentarer til dateringen fra NGU kerne R479MC042	4-3
4.2.4	Specifikke kommentarer til dateringen fra NGU kerne R488MC044	4-4
5	KONKLUSION	5-1
6	REFERENCER	6-1

BILAG

A	Rådata for sedimentet fra NGU kerne R474MC040
B	Rådata for sedimentet fra NGU kerne R479MC042
C	Rådata for sedimentet fra NGU kerne R488MC044



1 **INDLEDNING**

DHI har for Norges Geologiske Undersøgelser (NGU), Henning K.B. Jensen, foretaget bly-210 (^{210}Pb) datering af tre sedimentkerner. Formålet med undersøgelsen var at bestemme sedimentets alder og sedimentakkumulationsraten ($\text{g m}^{-2} \text{år}^{-1}$) samt at undersøge eventuelle forstyrrelser i de øverste sedimentlag (blandingsdybden). Kernerne blev opskåret af rekvirenten i 1,0 cm tykke skiver. DHI modtog de udskårne tørrede prøver sammen med oplysninger om tørstofindholdet.

^{210}Pb isotopen i sedimenter hidrører dels fra atmosfærisk deposition (unsupported ^{210}Pb) og dels fra radioaktiv henfald af radon i sedimentet (supported ^{210}Pb). ^{210}Pb -isotopen tilføres atmosfæren ved henfald af radon (^{222}Rn), som diffunderer ud af jorden. Disse isotoper er en del af urans (^{238}U) henfaldskæde. ^{210}Pb isotopen har en halveringstid på 22,3 år. Baggrundsværdien for ^{210}Pb bestemmes ud fra mængden af supported ^{210}Pb , som er uafhængig af sedimentationen. Bestemmelsen af supported ^{210}Pb sker fra de dybere lag i sedimentet, hvor koncentrationen er konstant, idet al unsupported ^{210}Pb er henfaldet. Alderen af en sedimentkerne og sedimentakkumulationsraten bestemmes ved måling af ^{210}Pb -aktiviteten i forskellige sedimentlag.



2 ANALYSEMETODE

^{210}Pb måles i sedimentskiverne ved α -spektrometri på DHI. I ca. 10 sedimentskiver (normalt 1-2 cm tykkelse) jævnt fordelt ned igennem sedimentkernen måles ^{210}Pb -aktiviteten indirekte ved at måle aktiviteten af ^{210}Po (polonium) med α -spektrometri. Det tørrede sediment (ca. 0,5 g) destrueres med en blanding af salt- og salpetersyre, hvorefter ^{210}Po elektrolyseres over på en sølvplade. ^{210}Po -aktiviteten på sølvpladerne måles derefter ved α -spektrometri. Alle prøverne bliver tilsat ^{210}Po for at bestemme det kemiske udbytte. Kalibreringen udføres ved at behandle en ^{210}Pb -standard på samme måde som prøverne. ^{210}Pb -aktiviteten forudsættes at være i ligevægt med ^{210}Po -aktiviteten. Den anvendte metode er beskrevet i ref. /1/.



3 DATERING OG BESTEMMELSE AF AKKUMULATIONS-RATER

Ud fra aktivitetsprofilen af unsupported ^{210}Pb i sedimentkernen bestemmes alderen af de forskellige sedimentlag under den forudsætning, at ^{210}Pb ikke er mobilt i sedimentkernen. Der anvendes flere forskellige metoder til dateringen, som bygger på lidt forskellige antagelser. Der beregnes desuden et skøn for usikkerheden på dateringerne. Akkumulationsraterne beregnes ud fra dateringerne. Alle beregninger er udført på tørstofbasis korrigeret for saltindhold ud fra saliniteten på prøvetagningslokaliteten.

3.1 Vægtet lineær regression

Den første metode antager både, at sedimentationsraten er konstant, og at koncentrationen af ^{210}Pb i det aflejrede sediment er konstant. Dette medfører desuden, at fluxen af ^{210}Pb er konstant. Hvis dette er tilfældet, gælder der, at

$$A_i = A_0 \cdot \exp(-\lambda \cdot t_i) \Leftrightarrow \\ t_i = \frac{\ln(A_0) - \ln(A_i)}{\lambda} \quad ,$$

hvor

A_i = aktiviteten i det i 'te lag (dpm g^{-1})

λ = henfaldskonstanten for ^{210}Pb

t_i = henfaldstiden.

Samtidig gælder, at

$$\ln(A_i) = \alpha + \beta \cdot (M_i - \tilde{M}),$$

hvor

M_i = massedybden (g cm^{-2})

\tilde{M} = et vægtet gennemsnit af M_i , altså en konstant.

Sættes dette ind i ovenstående, fås, at

$$t_i = \frac{-\beta \cdot M_i}{\lambda} \quad ,$$

Parametrene α og β estimeres ved hjælp af en variansvægtet lineær regressionsmetode. Varianserne på de enkelte målinger sættes i første omgang lig med tælleusikkerhederne, og variansen på $\ln(A_i)$ beregnes ud fra formlen



$$V(f(X)) \approx \left(\frac{\partial f}{\partial X}\right)^2 \cdot V(X) \Rightarrow$$
$$V(\ln(A_i)) \approx \frac{V(A_i)}{A_i^2}$$

Det antages, at der ud over tælleusikkerheden også er et variansbidrag fra andre fejlkilder, V_0 , på den enkelte måling af $\ln(A_i)$, som er ens for alle målinger. Denne størrelse estimeres ud fra målingernes afvigelser fra regressionslinien. Herefter foretages den lineære regression på ny med de nye variansvægte. Proceduren gentages, indtil en stabil værdi for V_0 er fundet. Det skal bemærkes, at hvis én eller begge antagelserne for brug af metoden ikke er opfyldt, vil dette resultere i et forøget estimat af V .

3.2 **CIC-metoden**

Den anden metode antager, at koncentrationen af unsupported ^{210}Pb i det deponerende stof er konstant med tiden for lokaliteten, dvs. at sedimentationsraten kan variere med tiden. Dette kaldes CIC-metoden (**C**onstant **I**nitial **C**oncentration). Der fås, at

$$t_i = \frac{\ln(A_0) - \ln(A_i)}{\lambda}$$

3.3 **CRS-metoden**

Den tredje metode antager, at fluxen til sedimentet af unsupported ^{210}Pb er konstant med tiden for lokaliteten, dvs. at sedimentationsraten, og dermed koncentrationen af ^{210}Pb i det aflejrede sediment, kan variere. Dette kaldes CRS-metoden (**C**onstant **R**ate of **S**upply). Der fås, at

$$t_{i=} \frac{\ln\left(\int_0^\infty A \cdot dM\right) - \ln\left(\int_{M_i}^\infty A \cdot dM\right)}{\lambda},$$

I øvrigt henvises der til ref. /1/ for en nærmere beskrivelse af CIC og CRS-metoderne.

Integralerne beregnes ud fra de målte værdier ved hjælp af trapez-integration. $A(0)$ sættes lig med $A(M_I)$. I praksis antages det, at integralet til det dybest målte lag, M_N , er tilnærmelsesvis lig integralet til uendelig dybde. Dette har dog den beregningsmæssige ulempe, at alderen går mod uendelig, når M går mod M_N , og derfor estimerer CRS-metoden alderen til at være større i de dybere lag end de andre metoder.

3.4 **Korrigeret CRS-metode**

For at korrigere for det ovennævnte problem er det nødvendigt at estimere

$$\int_{M_N}^\infty A \cdot dM.$$



Dette kan gøres på grundlag af den første metode, den vægtede lineære regression. Her bliver variansvægtningen dog foretaget på grundlag af tælleusikkerhederne alene, dvs. V_0 sættes til nul. Dette gøres, fordi der ikke længere antages at være en lineær sammenhæng mellem $\ln(A_i)$ og M_i , og V_0 blev estimeret ud fra afvigelserne fra regressionslinjen. Integralet udregnes som

$$A_i = \exp(\alpha + \beta \cdot (M_i - \tilde{M})) \Rightarrow$$
$$\int_{M_N}^{\infty} A \cdot dM = \int_{M_N}^{\infty} \exp(\alpha + \beta \cdot (M_i - \tilde{M})) dM =$$
$$\frac{-\exp(\alpha + \beta \cdot (M_i - \tilde{M}))}{\beta}$$

Bemærk, at β er negativ (ensbetydende med faldende aktivitet ned gennem sedimentet).

3.5 Valg af den rette dateringsmetode

Hver enkelt dateringsmetode bygger på nogle forudsætninger, som kan være mere eller mindre i overensstemmelse med virkeligheden.

Hvis der gælder, at både sedimentationsraten og fluxen af ^{210}Pb ned i sedimentet er konstant, vil den lineære regressionsmetode være den bedste. Den har den fordel frem for de andre metoder, at alle målinger bruges til datering af hvert enkelt lag, og at de vægtes efter deres skønnede varians. Desuden gives der et skøn for variansen af målingerne ud over tælleusikkerheden. Variansskøn i forbindelse med de andre metoder bygger udelukkende på tælleusikkerhederne.

Hvis kun én af de to forudsætninger anført ovenfor er opfyldt, kan CIC eller CRS-metoden anvendes. Fordelen ved disse metoder er således, at de hver især kun kræver én af de to forudsætninger for brug af den lineære regressionsmetode. Under de fleste forhold vil antagelsen om, at fluxen af ^{210}Pb ned i sedimentet er konstant (CRS-metoden), være den mest korrekte, da ^{210}Pb tilføres fra atmosfæren i rimeligt konstante mængder. CRS-metoden er derfor også den mest almindeligt anvendte.

Den modificerede CRS-metode kan korrigere for en systematisk fejl ved den traditionelle CRS-metode, men kun under den forudsætning, at skønnet for den resterende integrerede aktivitet er rimeligt, hvilket igen forudsætter, at betingelserne for brug af den lineære regressionsmetode er tilnærmelsesvist opfyldt.

Man må bruge den tilgængelige viden om lokaliteten for prøvetagningen og kigge på data for at vurdere hvilken metode, der er den mest korrekte i de enkelte tilfælde.

3.6 Beregning af akkumulationsrater

Når datering af sedimentet er foretaget, beregnes middelakkumulationsraten (R som g tørstof $\text{cm}^{-2} \text{år}^{-1}$) mellem massedybden M_i og M_{i+1} som

$$R = \frac{M_{i+1} - M_i}{t_{i+1} - t_i}$$



Usikkerheden kan beregnes ud fra usikkerheden på dateringerne.

3.7 **Estimation af diffusionsrater for ^{210}Pb i sedimentet**

Alle de ovenfor anførte dateringsmetoder forudsætter, at ^{210}Pb ikke er mobilt i sedimentet, dvs. at der ikke forekommer hverken diffusion eller opblanding i sedimentet. Hvor godt denne forudsætning er opfyldt, kan testes med den nedenstående diffusionsmodel. Modellen giver desuden yderligere et skøn for sedimentationsraten, der, ligesom for den lineære regressionsmodel, antages at være konstant med tiden for lokaliteten.

Fordelingen af unsupported ^{210}Pb i en sedimentkerne kan matematisk beskrives ved advektions-diffusionsligningen:

$$(1) \quad \frac{\partial A}{\partial t} = D \frac{\partial^2 A}{\partial z^2} - \omega \frac{\partial A}{\partial z} - \lambda A$$

hvor

A = aktiviteten af ^{210}Pb (dpm g⁻¹)

D = blandingskoefficient (cm² år⁻¹)

z = dybde fra overfladen (cm)

ω = lineær akkumulationsrate (cm år⁻¹)

λ = henfaldskonstanten for ^{210}Pb (år⁻¹)

t = tiden (år)

Denne ligning løses, idet man forudsætter stationære sedimentationsforhold (dA/dt = 0). Blandingsintensiteten D antages at følge en halv gaussisk fordeling, ref. /2/:

$$(2) \quad D = D_0 e^{-\frac{z^2}{2\sigma^2}}$$

hvor D_0 er blandingsintensiteten i sedimentoverfladen og σ er den effektive blandingsdybde. Blandingsparametrene er fundet ved at optimere løsningen af ligning (1) i forhold til det målte ^{210}Pb profil.



4 RESULTATER OG KOMMENTARER

4.1 Resultater

I Bilag A, B og C vist alle resultater, som anvendes til dateringsberegningerne, inkl. bestemmelserne af ^{210}Pb . Disse resultater anvendes til at gennemregne alle modellerne, som er beskrevet i kapitel 3. Der foretages en detaljeret vurdering af de opnåede modelresultater set i lyset af kendskabet til prøvetagningslokaliteten. På dette grundlag vælges den model, som bedst beskriver alderen af sedimentet samt akkumulationsraten af sedimentet. Disse resultater beskrives i det følgende.

Tabel 4.1 Antal snit af kernen inkluderet i beregningerne

Stationsnavn og nr.	Bilagsnr.	Antal cm inkl. model	Antal cm ekskl. i modeloptimering
NGU kerne R474MC040	A	25	5 (0-8 cm)
NGU kerne R479MC042	B	11	1 (0-1 cm)
NGU kerne R488MC044	C	8	0

Tabel 4.2 Akkumulationsrater, blandingskoefficient, effektiv og reel blandingsdybde

Stationsnavn og nr.	Masseakkumulationsrate $\text{g m}^{-2} \text{år}^{-1} \pm \text{s.d.}$ (% CV)	Lineær akkumulationsrate mm år^{-1} (dybde 0-2 cm)	Blandingskoefficient $\text{cm}^2 \text{år}^{-1}$	Effektiv blandingsdybde-model cm	Reel blandingsdybde cm	Kvalitet af datering
NGU kerne R474MC040	729 ± 178 (24)	På grund af det lave Pb-210 indhold i de øverste 8 cm er det kun muligt at beregne en akkumulationsraten på snittene derunder.				*
NGU kerne R479MC042	1.333 ± 641 (48)	3,2	150	0,5	1,0 – 1,5	**
NGU kerne R488MC044	418 ± 114 (27)	1,0	3,5	0,3	0,6 – 0,9	**

s.d. = standard deviation *** fin datering, ** rimelig datering, *dårlig datering

I figur 4.2, 4.4 og 4.7 er vist dels de målte koncentrationer af ^{210}Pb (unsupported ^{210}Pb) og dels den optimerede løsning af ligning (1), (afsnit 3.7), for sedimentkernen som funktion af massedybden (g cm^{-2}). Løsningen af ligning (1) er baseret på det antal snit, som er vist i tabel 4.1. Meget ofte er den øverste del af sedimentsøjlen opblandet på grund af bioturbation. Opblanding kan også være forårsaget af det anvendte prøvetagningsudstyr. For at opnå den optimale modelløsning kan der derfor være udelukket nogle af de øverste snit i modelberegningerne. Dette bevirker, at akkumulationsraten bestemmes på snittene derunder. Blandingskoefficienten, D_0 , og den effektive blandingsdybde, σ , bestemmes ved en iterativ beregning over hele sedimentsøjlen. Tabel 4.2 giver en oversigt over de opnåede resultater.

4.2 Kommentarer

4.2.1 Generelle kommentarer

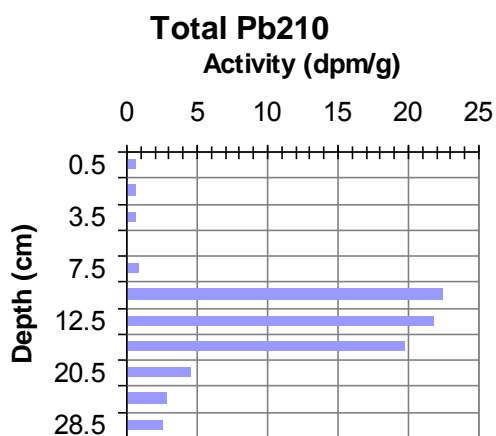
Ved konstant sedimentationsrate bør sammenhængen imellem unsupported ^{210}Pb som funktion af massedybden være lineær (figurerne 4.2, 4.4 og 4.7). Er dette tilfældet, kan resultaterne af dateringen tolkes med relativ stor sikkerhed, idet dette normalt bevirker, at der findes en god sammenhæng imellem sedimentets dybde og alder (figur 4.5 og 4.8).

Den optimale løsning til steady state modellen (figur 4.2, 4.4 og 4.7) passer normalt med de målte værdier af unsupported ^{210}Pb . Når dette er tilfældet beskriver den beregnede akkumulationsrate derfor sedimentationen i den anførte tidsperiode. Afvigelser fra den lineære sammenhæng ses ofte i den øverste del af profilet og indikerer forstyrrelser i sedimentoverfladen, f.eks. bioturbation. Normalt findes en lineær sammenhæng under den forstyrrede zone. Sedimentakkumulationsraten ($\text{g tørstof m}^{-2} \text{ år}^{-1}$) beregnes på den lineære, uforstyrrede del af kernen.

I alders/dybdeprofilerne (figur 4.5 og 4.8) ses normalt en lineær akkumulationsrate i den øverste del af sedimentkernen med en meget lille standardafvigelse på de estimerede aldre (de vandrette linier viser 95% prædiktionsinterval). Hældningen ændres normalt i den dybere del af sedimentkernen samtidigt med, at standardafvigelsen stiger.

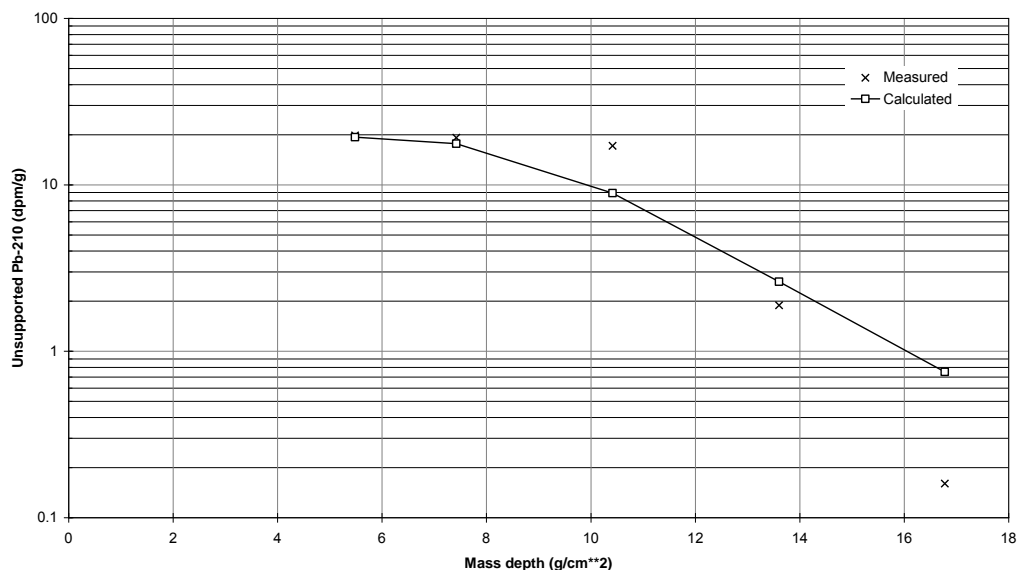
4.2.2 Specifikke kommentarer til dateringen fra NGU kerne R474MC040

Figur 4.1 viser et meget lavt indhold af ^{210}Pb indhold i de øverste 8 cm, hvorefter der er et højt indhold af ^{210}Pb . Derefter falder indholdet ned til 24-25 cm. Indholdet af ^{210}Pb i den nederste del af sedimentsøjlen er næsten konstant, hvilket svarer til supported ^{210}Pb . Dateringen er udført på 9-25 cm, idet de øverste 8 cm er udeladt i beregningerne.



Figur 4.1 Totalindholdet af ^{210}Pb ned igennem sedimentsøjlen – NGU kerne R474MC040

Af figur 4.2 ses det, at de observerede værdier spreder sig meget omkring den tilpassede steady state model af sedimentationsforholdene. Den beregnede akkumulationsrate ($729 \text{ g/m}^2/\text{år}$) beskriver sedimentationen i den anførte tidsperiode med en variationskoefficient på 24%. På grund af det lave Pb-210 indhold i de øverste 8 cm er det kun muligt at beregne akkumulationsraten på snittene derunder. Det er ikke relevant at anføre blandingsdybde og –intensitet.

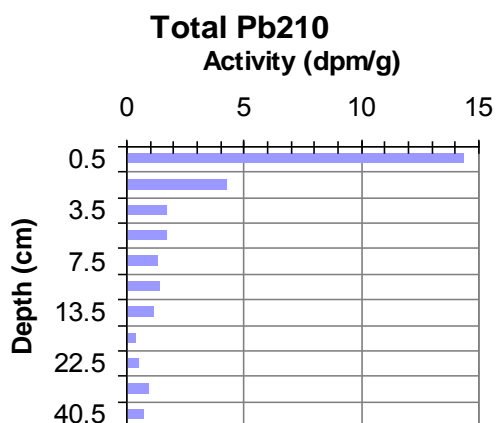


Figur 4.2 NGU kerne R474MC040 - unsupported ²¹⁰Pb som funktion af massedybden

Desuden er det heller ikke muligt at beregne alderen, idet de øverste snit mangler. Den beregnede akkumulationsrate giver en indikation af akkumulationen. Der har formentlig været en stor tilførsel af sediment med et lavt indhold af ²¹⁰Pb. Dateringen er derfor dårlig.

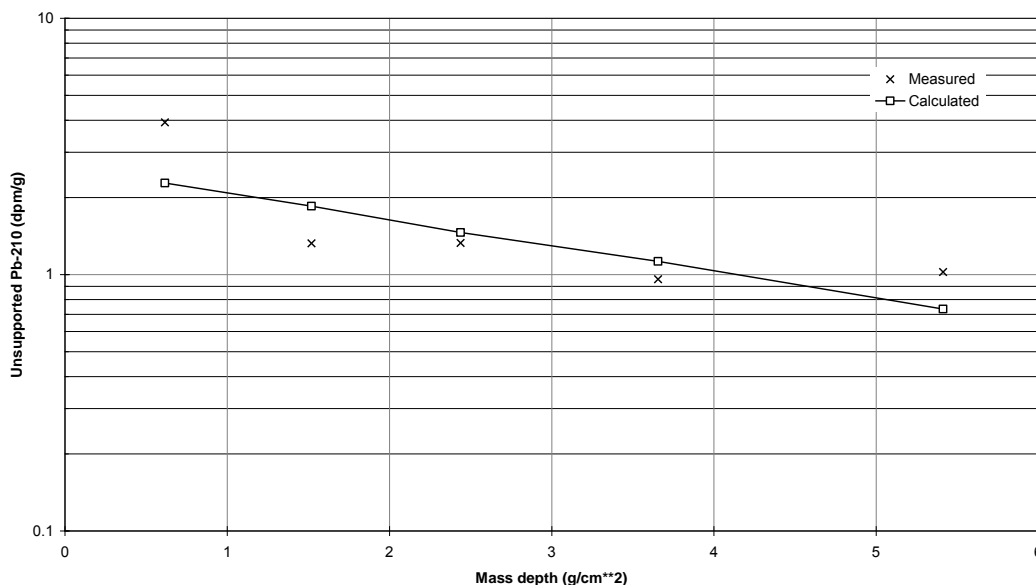
4.2.3 Specifikke kommentarer til dateringen fra NGU kerne R479MC042

Figur 4.3 viser et jævnt faldende indhold af ²¹⁰Pb indhold ned igennem sedimentkernen bortset fra den øverste 0-1 cm, hvor der er et meget højt indhold. Indholdet af ²¹⁰Pb i den nederste del af sedimentsøjlen er næsten konstant, hvilket svarer til supported ²¹⁰Pb. Dateringen er udført på de øverste 11 cm; men med udelukkelse af 0-1 cm.



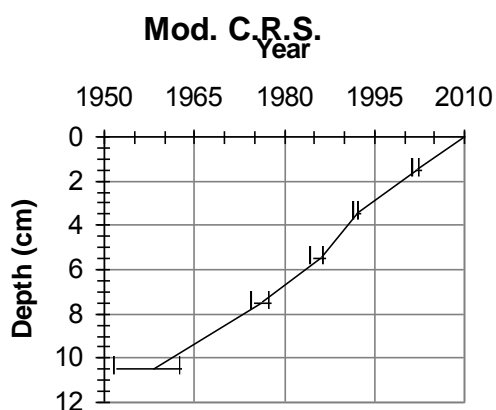
Figur 4.3 Totalindholdet af ²¹⁰Pb ned igennem sedimentsøjlen – NGU kerne R479MC042

Af figur 4.4 ses det, at de observerede værdier spreder sig noget omkring den tilpassede steady state model af sedimentationsforholdene. Den beregnede akkumulationsrate (1.333 g/m²/år) beskriver sedimentationen i den anførte tidsperiode med en variationskoefficient på 48 %. Der er lidt opblanding i den øverste del af sedimentsøjlen, idet den effektive blandingsdybde er 0,5 cm med en høj blandingskoefficient. Da blandingsdybden er beregnet som en halv gaussisk fordeling, svarer opblandingen til 1,0 – 1,5 cm dybde.



Figur 4.4 NGU kerne R479MC042 - unsupported ^{210}Pb som funktion af massedybden

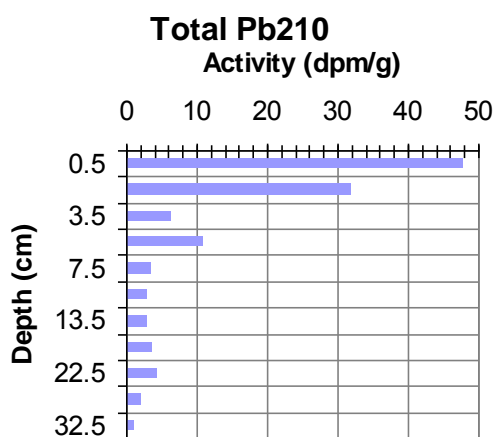
Figur 4.5 viser alderen på sedimentkernen som funktion af dybden bestemt ved den modificerede CRS-metode. På de dybeste snit er der en meget stor usikkerhed på aldersbestemmelsen. Da der er en nogenlunde lineær sammenhæng imellem dybden og alderen som vist i figur 4.5, kan alderen beregnes ned igennem kernen; men det forudsætter, at sedimentationsforholdene ikke har ændret sig i den beregnede tidsperiode. Dateringen betragtes som rimelig på grund af spredningen af målingerne.



Figur 4.5 NGU kerne R479MC042 – sediments alder som funktion af dybden (cm) med 95% prædiktionsinterval. Lineær sammenhæng imellem dybde og alder: $\text{Dybde} = -0,1969 \cdot \text{alder} + 396,22$. $R^2 = 0,9584$.

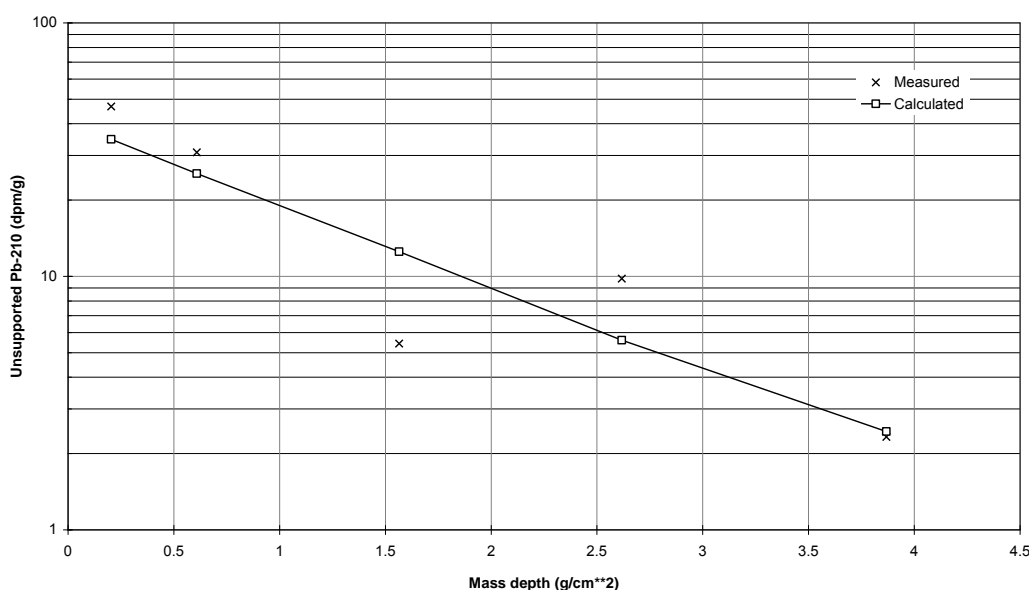
4.2.4 Specifikke kommentarer til dateringen fra NGU kerne R488MC044

Figur 4.6 viser et faldende indhold af ^{210}Pb indhold ned igennem sedimentkernen til 10-11 cm. Indholdet af ^{210}Pb i den nederste del af sedimentsøjlen er næsten konstant, hvilket svarer til supported ^{210}Pb . Dateringen er udført på de øverste 8 cm.



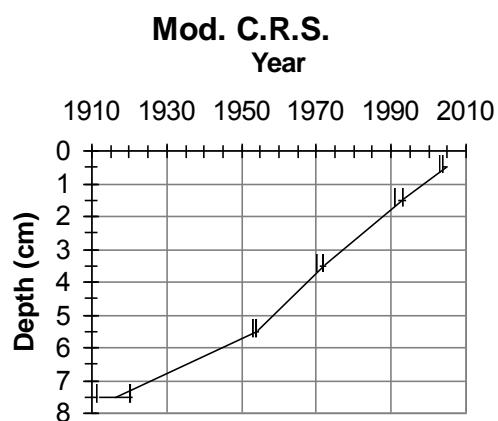
Figur 4.6 Totalindholdet af ^{210}Pb ned igennem sedimentsøjlen – NGU kerne R488MC044

Af figur 4.7 ses det, at de observerede værdier spreder sig en del omkring den tilpassede steady state model af sedimentationsforholdene. Den beregnede akkumulationsrate ($418 \text{ g/m}^2/\text{år}$) beskriver sedimentationen i den anførte tidsperiode med en variationskoefficient på 27%. Der er lav opblanding i den øverste del af sedimentsøjlen, idet den effektive blandingsdybde er 0,3 cm med en lav blandingskoefficient. Da blandingsdybden er beregnet som en halv gaussisk fordeling, svarer opblandingen til 0,6 – 0,9 cm dybde.



Figur 4.7 NGU kerne R488MC044 - unsupported ^{210}Pb som funktion af massedybden

Figur 4.8 viser alderen på sedimentkernen som funktion af dybden bestemt ved den modificerede CRS-metode. På de dybeste snit er der en meget stor usikkerhed på aldersbestemmelsen. Da der er en nogenlunde lineær sammenhæng imellem dybden og alderen som vist i figur 4.8, kan alderen beregnes ned igennem kernen; men det forudsætter, at sedimentationsforholdene ikke har ændret sig i den beregnede tidsperiode. Dateringen betragtes som rimelig på grund af spredningen på resultaterne.



Figur 4.8 NGU kerne R488MC044 – sediments alder som funktion af dybden (cm) med 95% prædiktionsinterval. Lineær sammenhæng imellem dybde og alder: $Dybde = -0,0809 \cdot alder + 162,82$. $R^2 = 0,9786$.



5 KONKLUSION

Sedimentkernerne er der blevet dateret ud fra aktiviteten af ^{210}Pb i en dybdeprofil. På to af sedimentkernerne (NGU kerne R479MC042 og NGU kerne R488MC042) er der blevet udført en rimelig datering. På den tredje sedimentkerne (NGU kerne R474MC040) kunne kun sedimentakkumulationsraten beregnes på grund af det lave Pb-210 indhold i de øverste 8 cm, så akkumulationsraten er beregnet på snittene derunder. Dette giver en indikation af sedimentakkumulationsraten. Der har formentlig været en stor tilførsel af sediment med et lavt indhold af ^{210}Pb . Dateringen er derfor dårlig.



6 **REFERENCER**

- /1/ Pfeiffer Madsen, P. and J Sørensen, 1979. Validation of the Lead-210 Dating Method. *J. Radioanal. Chem.* **54**, 39-48.
- /2/ Christensen, E. R., 1982. A Model for Radionuclides in Sediment Influenced by Mixing and Compaction. *J. of Geophysical Research* **87**, 566-572.
- /3/ Christensen, E. R. and PK Bhunia, 1986. Modeling Radiotracers in Sediments: Comparison with Observations in Lakes Huron and Michigan. *J. of Geophysical Research* **91**, 8559-8571.
- /4/ Larsen, B. and A Jensen, 1989. Evaluation of the Sensitivity of Sediment Stations in Pollution Monitoring. *Mar. Pollut. Bull.* **20**, 556-560.



B I L A G



B I L A G A

Rådata for sedimentet for NGU kerne R474MC040



Ref. no.: 11091401-gl													
Date: 23-nov-10													
Description: R474MC040													
Sample No.	Top	Bottom	Dry weight	Loss on ignition	Total ²¹⁰ Pb	Total ²¹⁰ Pb, st. dev.	Dry volume weight	Dry weight	Linear depth	Unsupported ²¹⁰ Pb	St. dev., unsupported ²¹⁰ Pb	Accumulated mass depth	
	cm.	cm.	% v/v	% dry	dpm/g	S	g/cm ³	g/cm ²	cm	dpm/g	dpm/g	g/m ²	
1	0	1	37.58	IM	0.67	0.05	0.485	0.49	0.50	-1.99	0.13	0.24258	
2	1	2	43.79	IM	0.65	0.05	0.594	0.59	1.50	-2.01	0.13	0.78211	
3	2	3	48.24	IM	IM	IM	0.679	0.68	2.50	IM	IM	1.41852	
4	3	4	43.89	IM	0.73	0.05	0.596	0.60	3.50	-1.93	0.13	2.05588	
5	4	5	43.68	IM	IM	IM	0.592	0.59	4.50	IM	IM	2.6498	
6	5	6	40.16	IM	0.11	0.01	0.529	0.53	5.50	-2.55	0.12	3.2104	
7	6	7	35.51	IM	IM	IM	0.451	0.45	6.50	IM	IM	3.70057	
8	7	8	46.38	IM	0.92	0.07	0.643	0.64	7.50	-1.74	0.14	4.24744	
9	8	9	43.89	IM	IM	IM	0.596	0.60	8.50	IM	IM	4.86664	
10	9	10	46.07	IM	22.45	0.47	0.637	0.64	9.50	19.79	0.49	5.48286	
11	10	11	42.75	IM	IM	IM	0.575	0.58	10.50	IM	IM	6.08868	
12	11	12	49.27	IM	IM	IM	0.700	0.70	11.50	IM	IM	6.72598	
13	12	13	48.96	IM	21.82	0.65	0.693	0.69	12.50	19.16	0.66	7.42244	
14	13	14	50.10	IM	IM	IM	0.716	0.72	13.50	IM	IM	8.1273	
15	14	15	53.62	IM	IM	IM	0.791	0.79	14.50	IM	IM	8.88078	
16	15	16	51.03	IM	IM	IM	0.736	0.74	15.50	IM	IM	9.64387	
17	16	17	54.55	IM	19.80	0.39	0.811	0.81	16.50	17.14	0.41	10.4172	
18	17	18	53.10	IM	IM	IM	0.779	0.78	17.50	IM	IM	11.2124	
19	18	19	53.62	IM	IM	IM	0.791	0.79	18.50	IM	IM	11.9973	
20	19	20	54.76	IM	IM	IM	0.816	0.82	19.50	IM	IM	12.8004	
21	20	21	53.62	IM	4.55	0.15	0.791	0.79	20.50	1.89	0.20	13.6035	
22	21	22	56.94	IM	IM	IM	0.865	0.86	21.50	IM	IM	14.4312	
23	22	23	54.86	IM	IM	IM	0.818	0.82	22.50	IM	IM	15.2725	
24	23	24	50.31	IM	IM	IM	0.721	0.72	23.50	IM	IM	16.0418	
25	24	25	51.86	IM	2.82	0.12	0.753	0.75	24.50	0.16	0.17	16.7786	
26	25	26	46.48	IM	IM	IM	0.645	0.64	25.50	IM	IM	17.4773	
27	26	27	47.20	IM	IM	IM	0.659	0.66	26.50	IM	IM	18.1288	
28	27	28	55.18	IM	IM	IM	0.825	0.82	27.50	IM	IM	18.8705	
29	28	29	29.81	IM	2.66	0.12	0.363	0.36	28.50	0.00	0.17	19.4645	
No. of lines used in calculation:					25		Mixing depth:					cm.	
Supported ²¹⁰ Pb:					2.66 dpm/g		Mixing intensity:					cm ² /y.	
St. dev. of supported ²¹⁰ Pb:					0.12 dpm/g		Linear accumulation rate (0-2 cm):					mm/y.	
Year of sampling:					2010		Sedimentation rate:					729 g/m ² /y.	
No. of points to exclude (from top):					0 points		St. dev. of sedimentation rate:					178 g/m ² /y.	
							Coefficient of variation					24.4 %	



B I L A G B

Rådata for sedimentet fra NGU kerne R479MC042



Ref. no.:		11091401-gl													
Date:		23-nov-10													
Description:		R479MC042													
Sample No.	Top	Bottom	Dry weight	Loss on ignition	Total ²¹⁰ Pb	Total ²¹⁰ Pb, st. dev.	Dry volume weight	Dry weight	Linear depth	Unsupported ²¹⁰ Pb	St.dev., unsupported ²¹⁰ Pb	Accumulated mass depth			
	cm.	cm.	% v/v	% dry	dpm/g	S	g/cm ³	g/cm ²	cm	dpm/g	dpm/g	g/m ²			
1	0	1	33.04	IM	14.47	0.32	0.412	0.41	0.50	14.07	0.32	0.20606			
2	1	2	32.83	IM	4.33	0.12	0.409	0.41	1.50	3.93	0.12	0.61656			
3	2	3	34.90	IM	IM	IM	0.442	0.44	2.50	IM	IM	1.04176			
4	3	4	39.25	IM	1.72	0.08	0.513	0.51	3.50	1.32	0.08	1.51923			
5	4	5	35.32	IM	IM	IM	0.448	0.45	4.50	IM	IM	2.00001			
6	5	6	34.08	IM	1.73	0.08	0.428	0.43	5.50	1.33	0.08	2.43825			
7	6	7	49.19	IM	IM	IM	0.698	0.70	6.50	IM	IM	3.00132			
8	7	8	44.74	IM	1.36	0.06	0.611	0.61	7.50	0.96	0.07	3.65596			
9	8	9	41.63	IM	IM	IM	0.555	0.55	8.50	IM	IM	4.23916			
10	9	10	41.32	IM	IM	IM	0.549	0.55	9.50	IM	IM	4.79134			
11	10	11	48.98	IM	1.42	0.06	0.694	0.69	10.50	1.02	0.06	5.41286			
12	11	12	47.74	IM	IM	IM	0.669	0.67	11.50	IM	IM	6.09417			
13	12	13	53.64	IM	IM	IM	0.791	0.79	12.50	IM	IM	6.8241			
14	13	14	52.70	IM	1.18	0.06	0.771	0.77	13.50	0.78	0.07	7.60493			
15	14	15	61.71	IM	IM	IM	0.980	0.98	14.50	IM	IM	8.48027			
16	15	16	67.09	IM	IM	IM	1.123	1.12	15.50	IM	IM	9.53167			
17	16	17	64.19	IM	IM	IM	1.044	1.04	16.50	IM	IM	10.6151			
18	17	18	63.88	IM	IM	IM	1.036	1.04	17.50	IM	IM	11.6551			
19	18	19	74.75	IM	0.40	0.03	1.355	1.36	18.50	0.00	0.04	12.8507			
20	19	20	70.30	IM	IM	IM	1.216	1.22	19.50	IM	IM	14.1362			
21	20	21	66.05	IM	IM	IM	1.094	1.09	20.50	IM	IM	15.2912			
22	21	22	65.85	IM	IM	IM	1.089	1.09	21.50	IM	IM	16.3826			
23	22	23	65.54	IM	0.53	0.03	1.080	1.08	22.50	0.13	0.04	17.467			
24	23	24	76.40	IM	IM	IM	1.411	1.41	23.50	IM	IM	18.7124			
25	24	25	74.64	IM	IM	IM	1.352	1.35	24.50	IM	IM	20.0937			
26	25	26	68.44	IM	IM	IM	1.161	1.16	25.50	IM	IM	21.3503			
27	26	27	76.92	IM	IM	IM	1.429	1.43	26.50	IM	IM	22.6451			
28	27	28	74.44	IM	IM	IM	1.345	1.35	27.50	IM	IM	24.0319			
29	28	29	63.36	IM	0.98	0.05	1.022	1.02	28.50	0.58	0.06	25.2157			
30	29	30	54.15	IM	IM	IM	0.802	0.80	29.50	IM	IM	26.1279			
31	30	31	55.50	IM	IM	IM	0.832	0.83	30.50	IM	IM	26.945			
32	31	32	53.02	IM	IM	IM	0.777	0.78	31.50	IM	IM	27.7498			
33	32	33	63.05	IM	IM	IM	1.014	1.01	32.50	IM	IM	28.6456			
34	33	34	61.19	IM	IM	IM	0.967	0.97	33.50	IM	IM	29.6362			
35	34	35	66.78	IM	IM	IM	1.114	1.11	34.50	IM	IM	30.6768			
36	35	36	67.92	IM	IM	IM	1.146	1.15	35.50	IM	IM	31.8071			
37	36	37	72.47	IM	IM	IM	1.282	1.28	36.50	IM	IM	33.0214			
38	37	38	65.23	IM	IM	IM	1.072	1.07	37.50	IM	IM	34.1983			
39	38	39	61.29	IM	IM	IM	0.969	0.97	38.50	IM	IM	35.2189			
40	39	40	67.40	IM	IM	IM	1.132	1.13	39.50	IM	IM	36.2695			
41	40	41	62.95	IM	0.77	0.05	1.012	1.01	40.50	0.37	0.06	37.3411			
No. of lines used in calculation:					11		Mixing depth:					0.5 cm.			
Supported ²¹⁰ Pb:					0.4 dpm/g		Mixing intensity:					150 cm ² /y.			
St. dev. of supported ²¹⁰ Pb:					0.03 dpm/g		Linear accumulation rate (0-2 cm):					3.2 mm/y.			
Year of sampling:					2010		Sedimentation rate:					1333 g/m ² /y.			
No. of points to exclude (from top):					1 points		St. dev. of sedimentation rate:					641 g/m ² /y.			
							Coefficient of variation					48.1 %			



B I L A G C

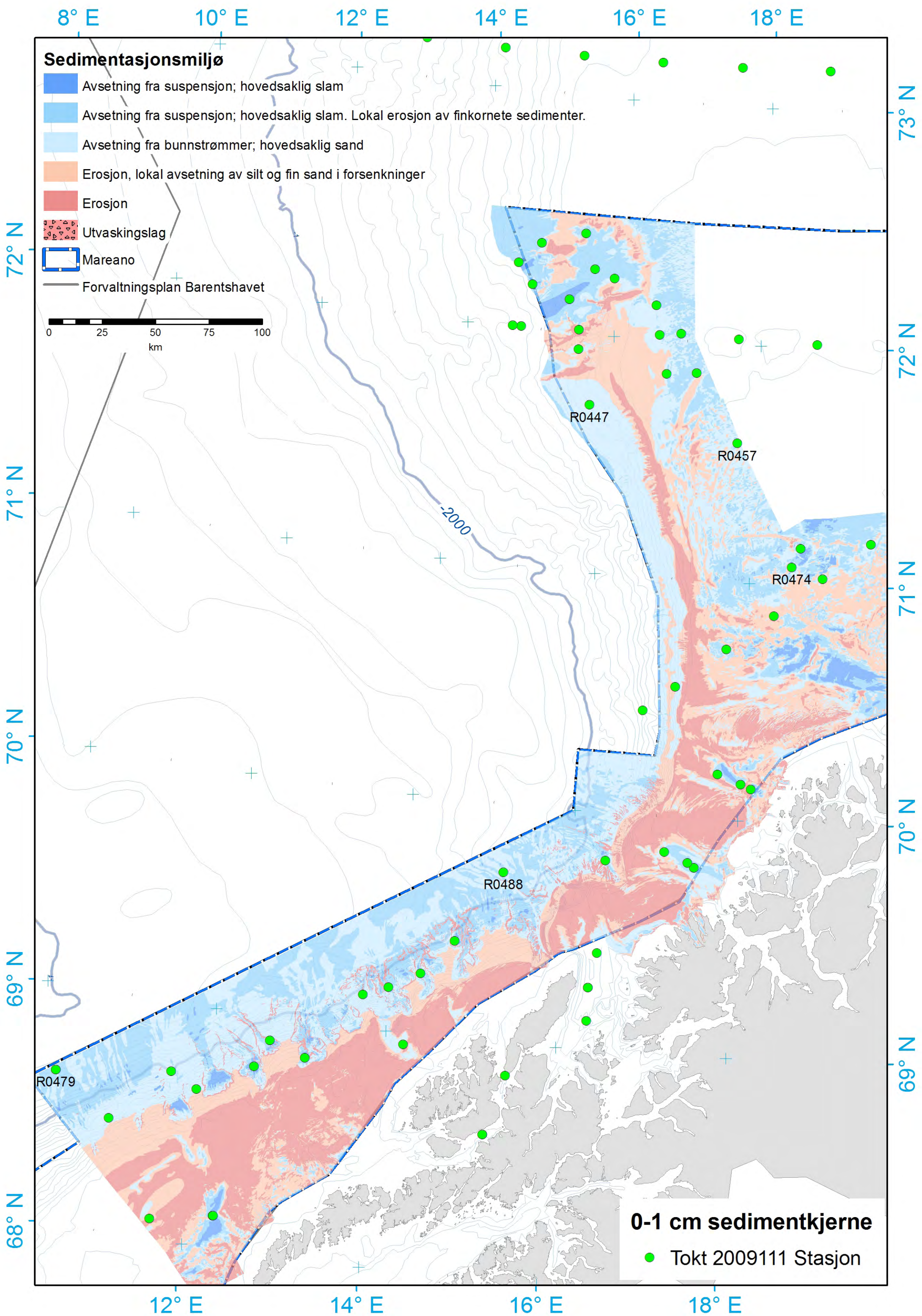
Rådata for sedimentet fra NGU kerne R488MC044

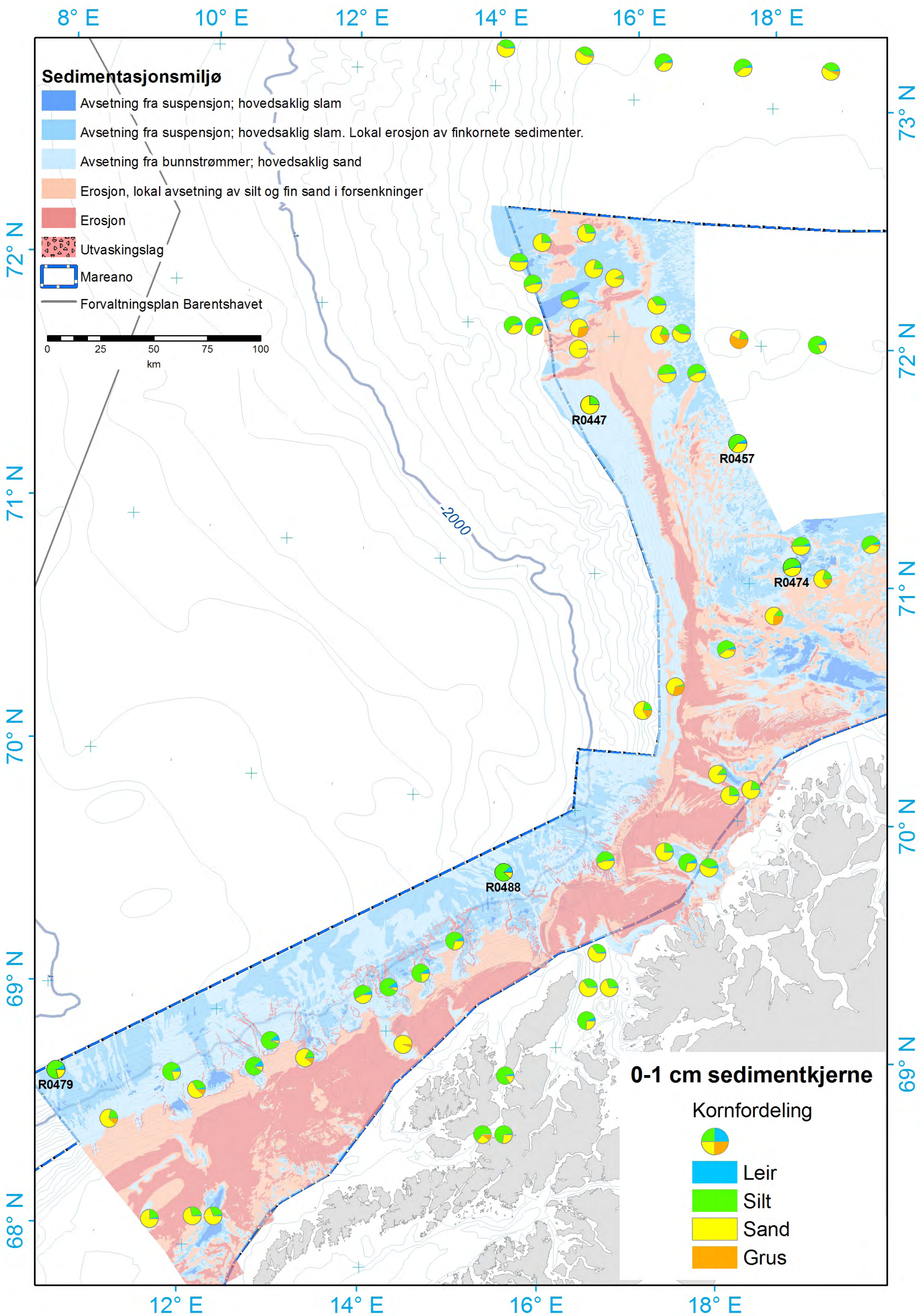


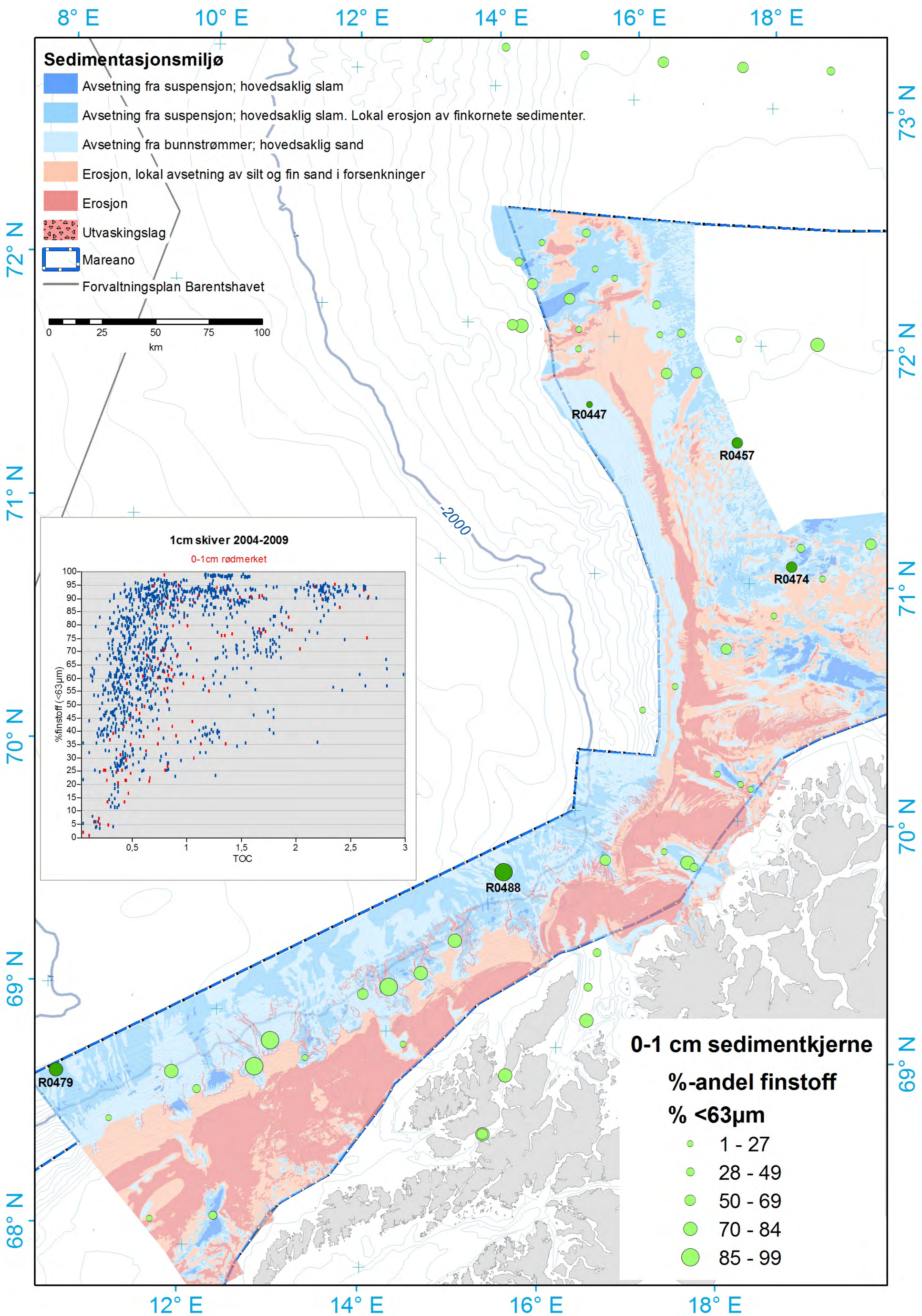
Ref. no.: 11091401-gl												
Date: 23-nov-10												
Description: R488MC044												
Sample No.	Top	Bottom	Dry weight	Loss on ignition	Total ²¹⁰ Pb	Total ²¹⁰ Pb, st. dev.	Dry volume weight	Dry weight	Linear depth	Unsupported ²¹⁰ Pb	St.dev., unsp-ported ²¹⁰ Pb	Accumulated mass depth
	cm.	cm.	% v/v	% dry	dpm/g	S	g/cm ³	g/cm ²	cm	dpm/g	dpm/g	g/m ²
1	0	1	32.83	IM	47.75	1.26	0.409	0.41	0.50	46.73	1.27	0.20445
2	1	2	32.21	IM	31.86	0.65	0.399	0.40	1.50	30.84	0.67	0.60856
3	2	3	36.87	IM	IM	IM	0.473	0.47	2.50	IM	IM	1.04493
4	3	4	42.36	IM	6.45	0.27	0.568	0.57	3.50	5.43	0.31	1.56559
5	4	5	39.66	IM	IM	IM	0.521	0.52	4.50	IM	IM	2.10979
6	5	6	38.22	IM	10.81	0.39	0.496	0.50	5.50	9.79	0.42	2.61798
7	6	7	46.91	IM	IM	IM	0.653	0.65	6.50	IM	IM	3.19232
8	7	8	49.29	IM	3.35	0.14	0.700	0.70	7.50	2.33	0.20	3.86868
9	8	9	50.95	IM	IM	IM	0.734	0.73	8.50	IM	IM	4.58548
10	9	10	44.43	IM	IM	IM	0.606	0.61	9.50	IM	IM	5.2552
11	10	11	44.94	IM	2.92	0.13	0.615	0.62	10.50	1.90	0.20	5.86573
12	11	12	36.25	IM	IM	IM	0.463	0.46	11.50	IM	IM	6.40504
13	12	13	47.12	IM	IM	IM	0.657	0.66	12.50	IM	IM	6.96509
14	13	14	48.36	IM	2.94	0.15	0.681	0.68	13.50	1.92	0.21	7.63414
15	14	15	52.29	IM	IM	IM	0.762	0.76	14.50	IM	IM	8.35574
16	15	16	43.18	IM	IM	IM	0.583	0.58	15.50	IM	IM	9.02815
17	16	17	42.15	IM	IM	IM	0.564	0.56	16.50	IM	IM	9.60166
18	17	18	42.05	IM	IM	IM	0.562	0.56	17.50	IM	IM	10.1649
19	18	19	41.94	IM	3.64	0.15	0.560	0.56	18.50	2.62	0.22	10.7263
20	19	20	46.18	IM	IM	IM	0.639	0.64	19.50	IM	IM	11.3259
21	20	21	49.19	IM	IM	IM	0.698	0.70	20.50	IM	IM	11.9943
22	21	22	52.19	IM	IM	IM	0.760	0.76	21.50	IM	IM	12.7231
23	22	23	47.32	IM	4.37	0.16	0.661	0.66	22.50	3.35	0.22	13.4334
24	23	24	48.36	IM	IM	IM	0.681	0.68	23.50	IM	IM	14.1044
25	24	25	43.29	IM	IM	IM	0.585	0.58	24.50	IM	IM	14.7374
26	25	26	48.67	IM	IM	IM	0.687	0.69	25.50	IM	IM	15.3735
27	26	27	49.29	IM	IM	IM	0.700	0.70	26.50	IM	IM	16.0672
28	27	28	52.70	IM	IM	IM	0.771	0.77	27.50	IM	IM	16.8025
29	28	29	51.36	IM	2.11	0.15	0.742	0.74	28.50	1.09	0.21	17.5591
30	29	30	52.19	IM	IM	IM	0.760	0.76	29.50	IM	IM	18.3101
31	30	31	51.46	IM	IM	IM	0.745	0.74	30.50	IM	IM	19.0623
32	31	32	56.64	IM	IM	IM	0.858	0.86	31.50	IM	IM	19.8635
33	32	33	60.57	IM	1.02	0.07	0.951	0.95	32.50	0.00	0.17	20.7682
No. of lines used in calculation:				8		Mixing depth:				0.3 cm.		
Supported ²¹⁰ Pb:				1.02 dpm/g		Mixing intensity:				3.5 cm ² /y.		
St. dev. of supported ²¹⁰ Pb:				0.15 dpm/g		Linear accumulation rate (0-2 cm):				1.0 mm/y.		
Year of sampling:				2010		Sedimentation rate:				418 g/m ² /y.		
No. of points to exclude (from top):				0 points		St. dev. of sedimentation rate:				114 g/m ² /y.		
						Coefficient of variation				27.2 %		

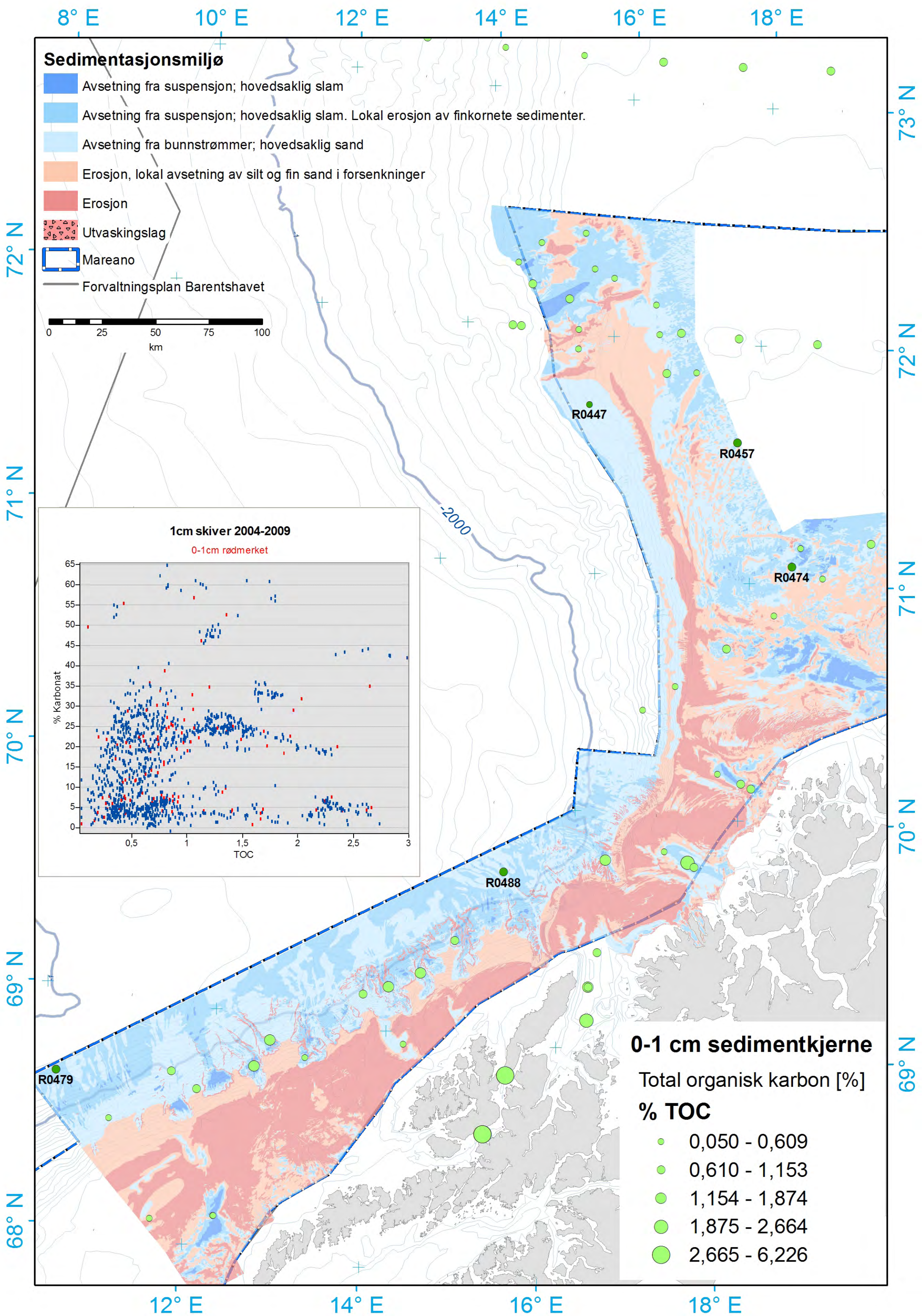
Vedlegg 4

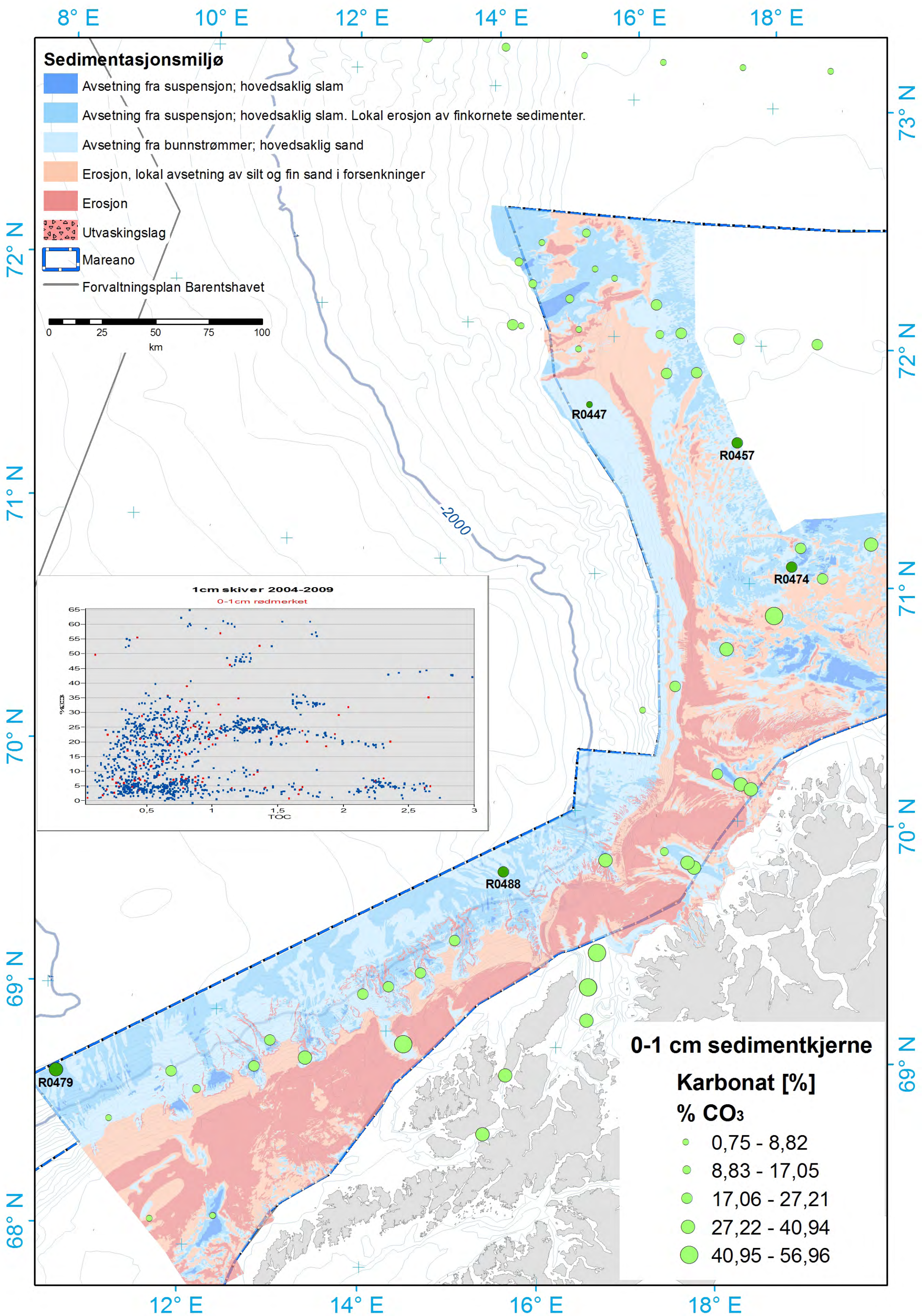
Kart over stasjonsoversikt og analysedata for kornstørrelsesfordeling, andel finstoff ($< 63 \mu\text{m}$), TOC, andel karbonat, As, Ba, Cd, Cr, Cu, Hg, Ni, Pb og Zn (0 – 1 cm). 14 kart.

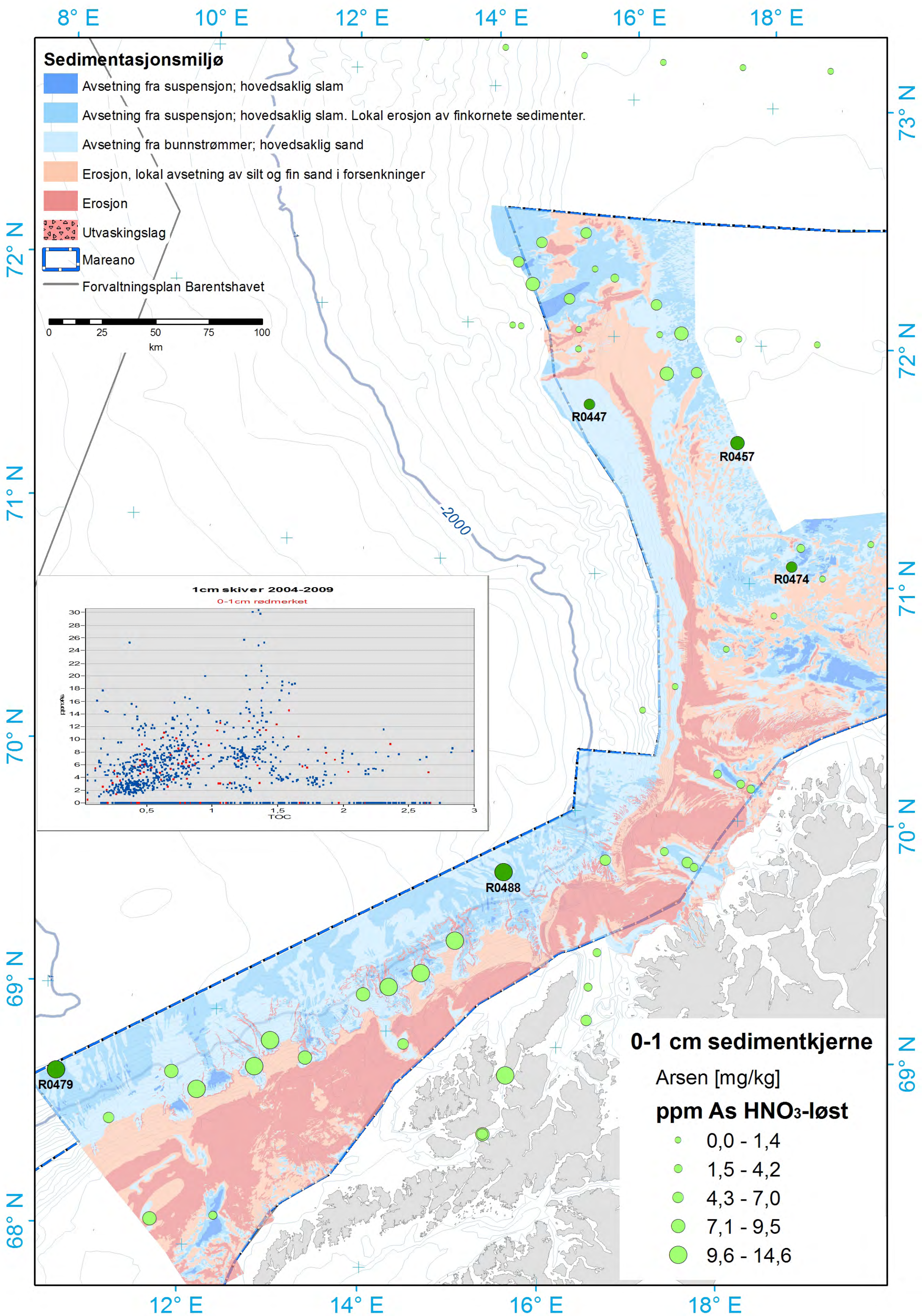


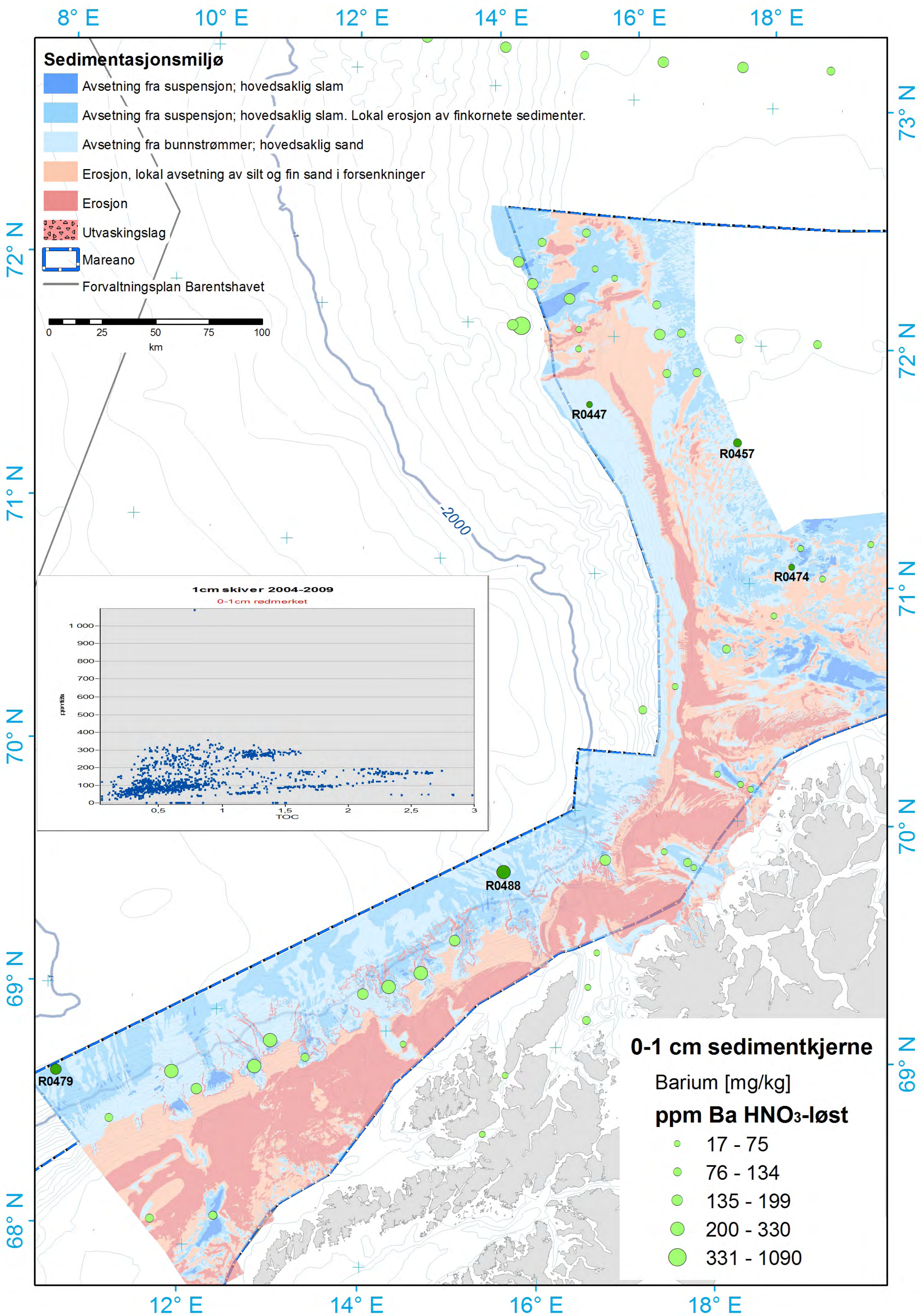


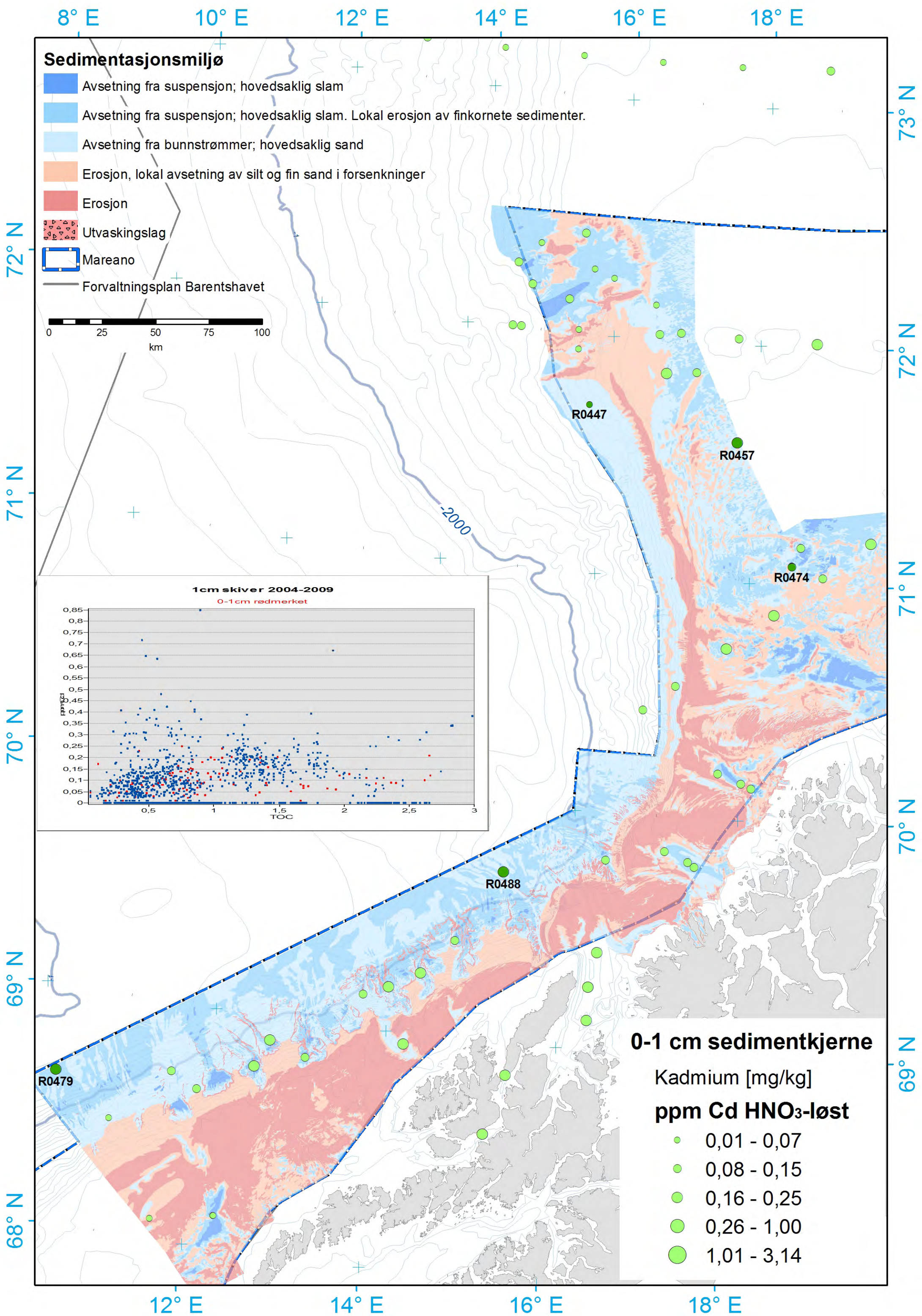


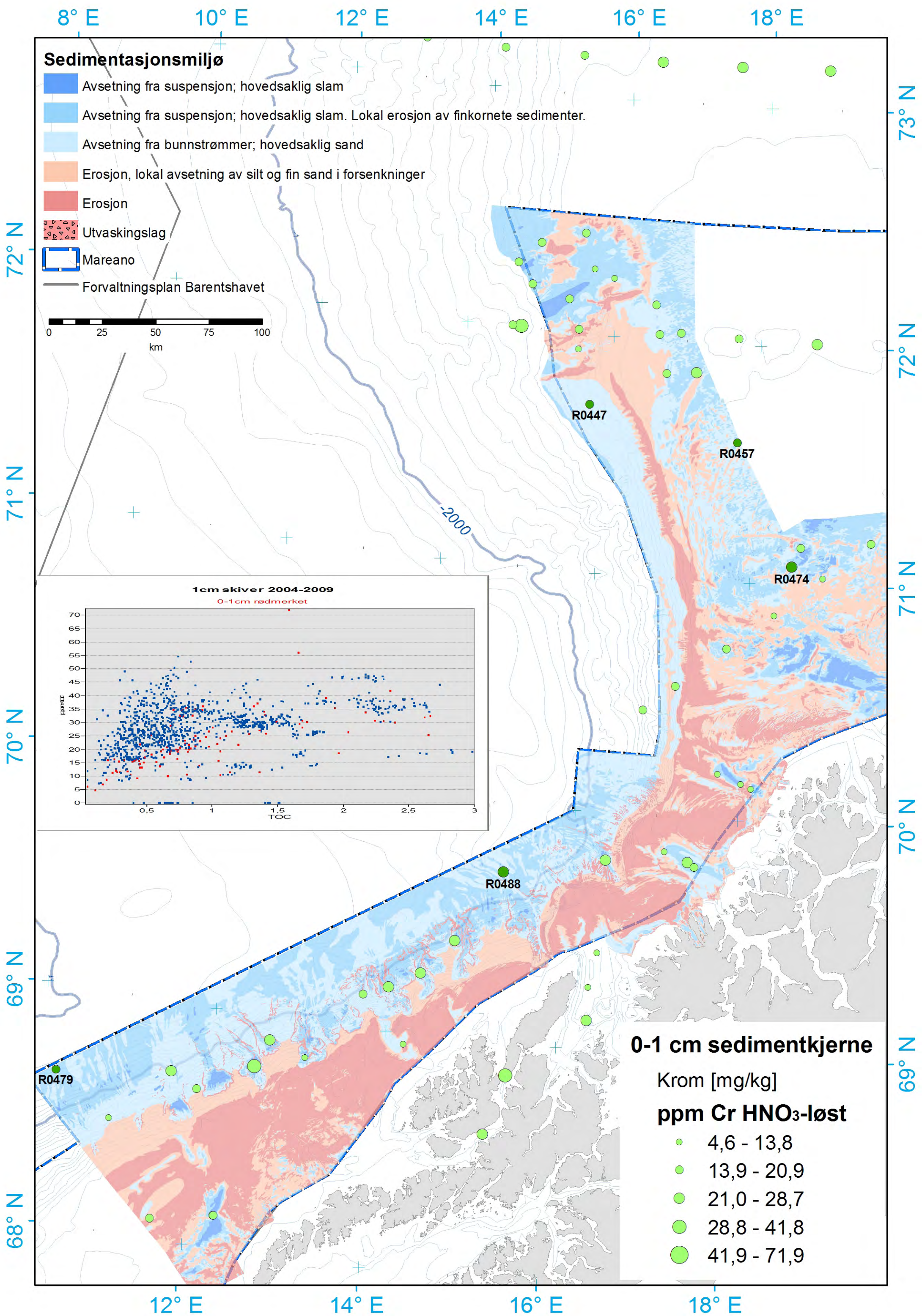


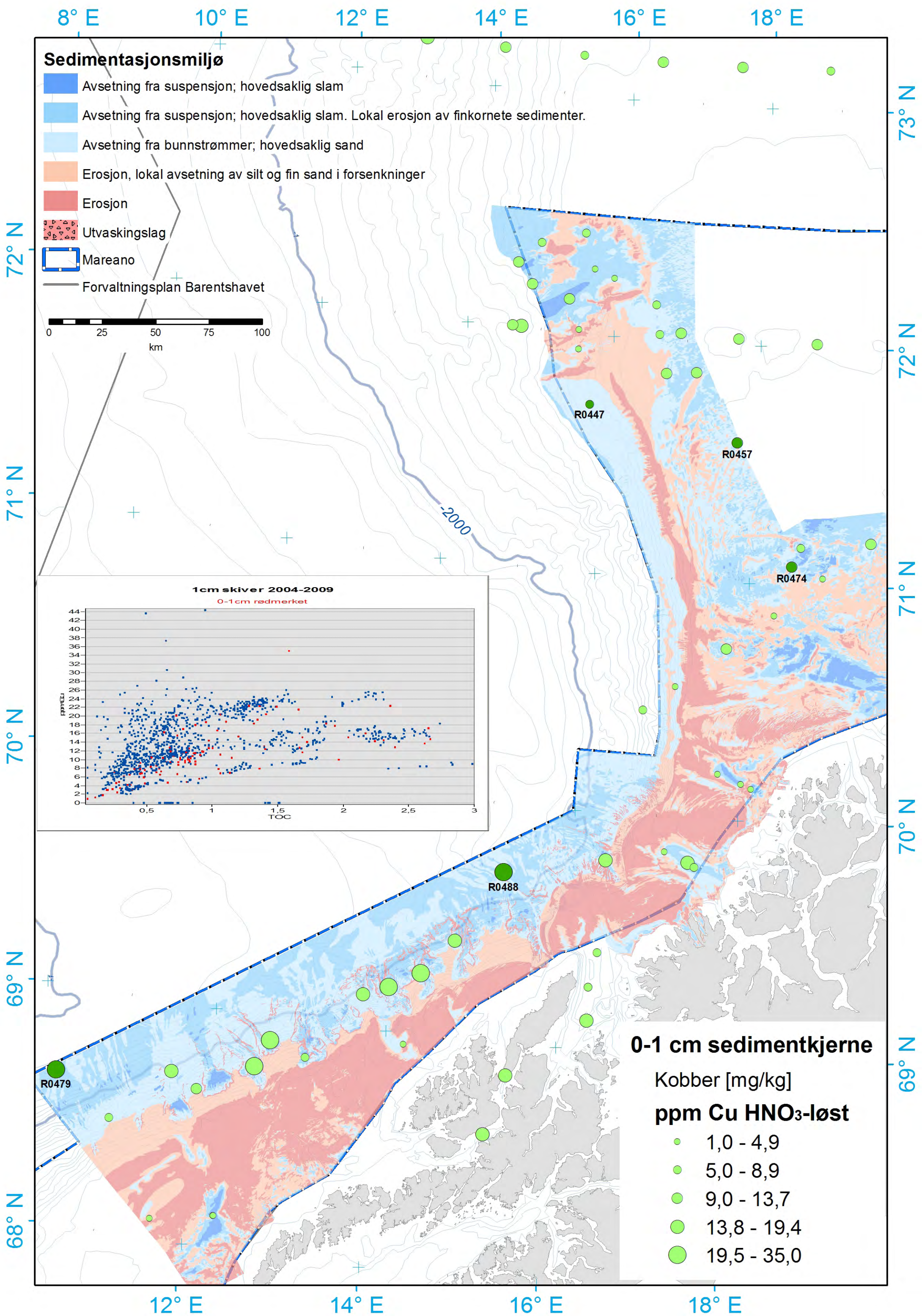


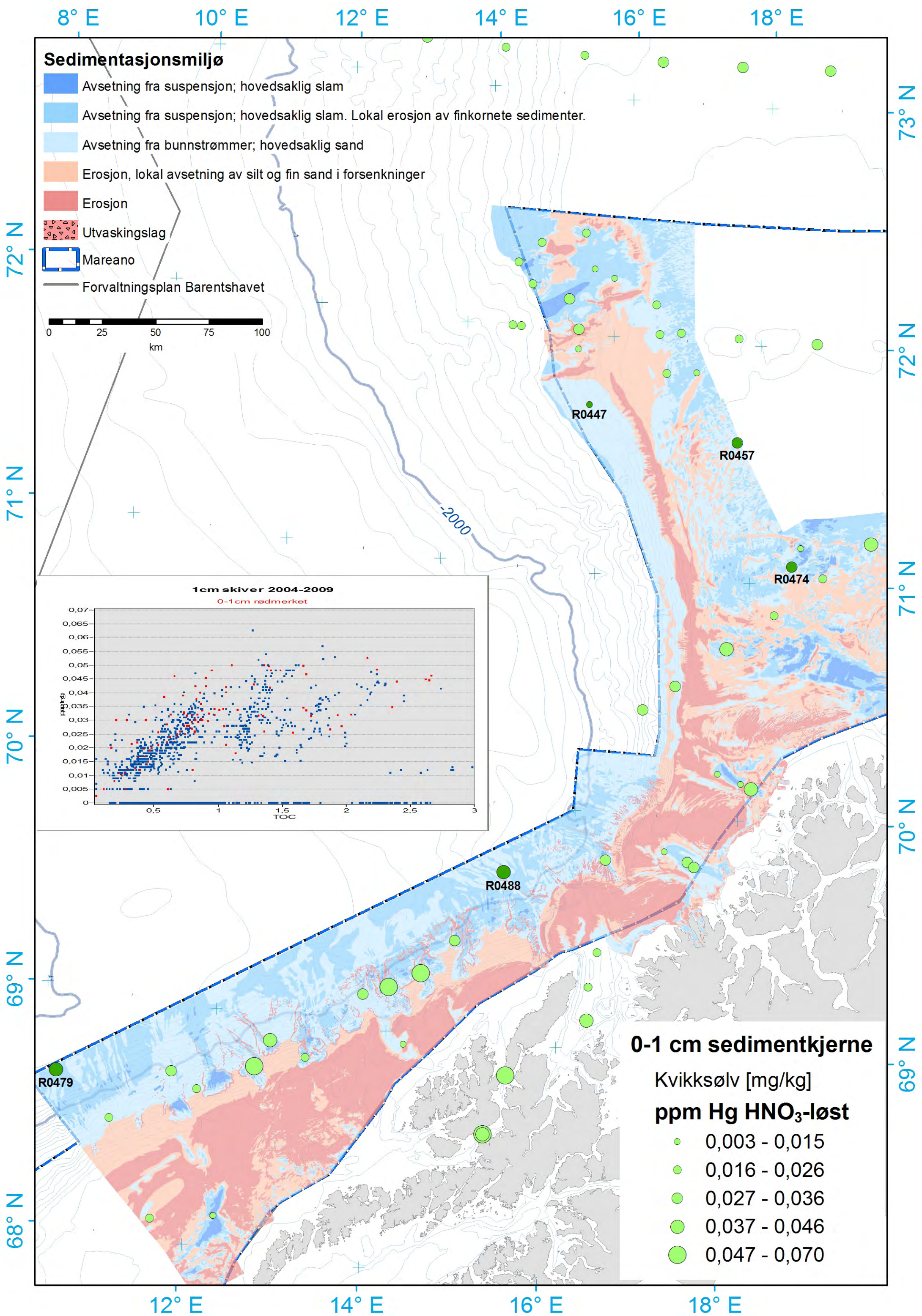


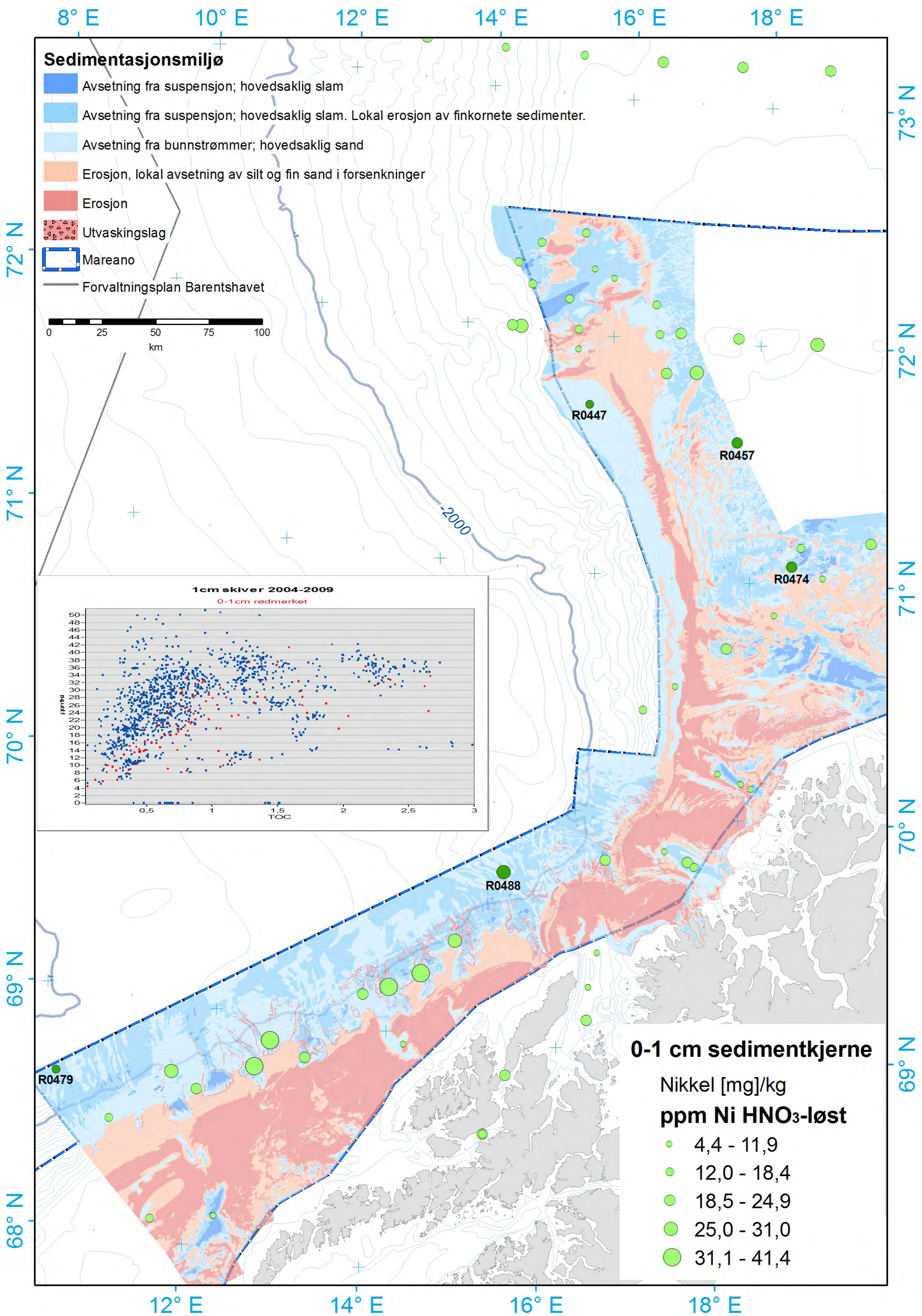


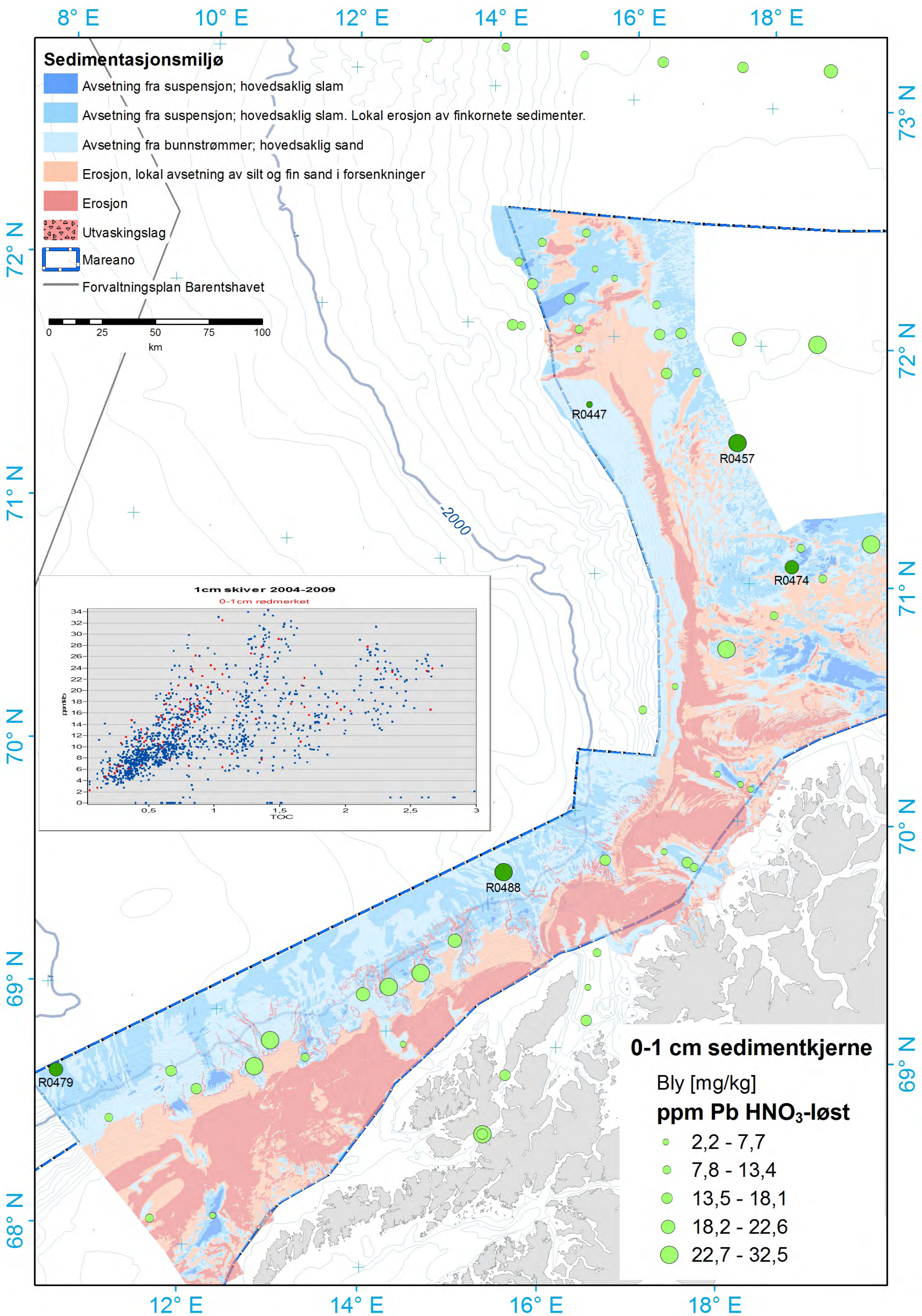


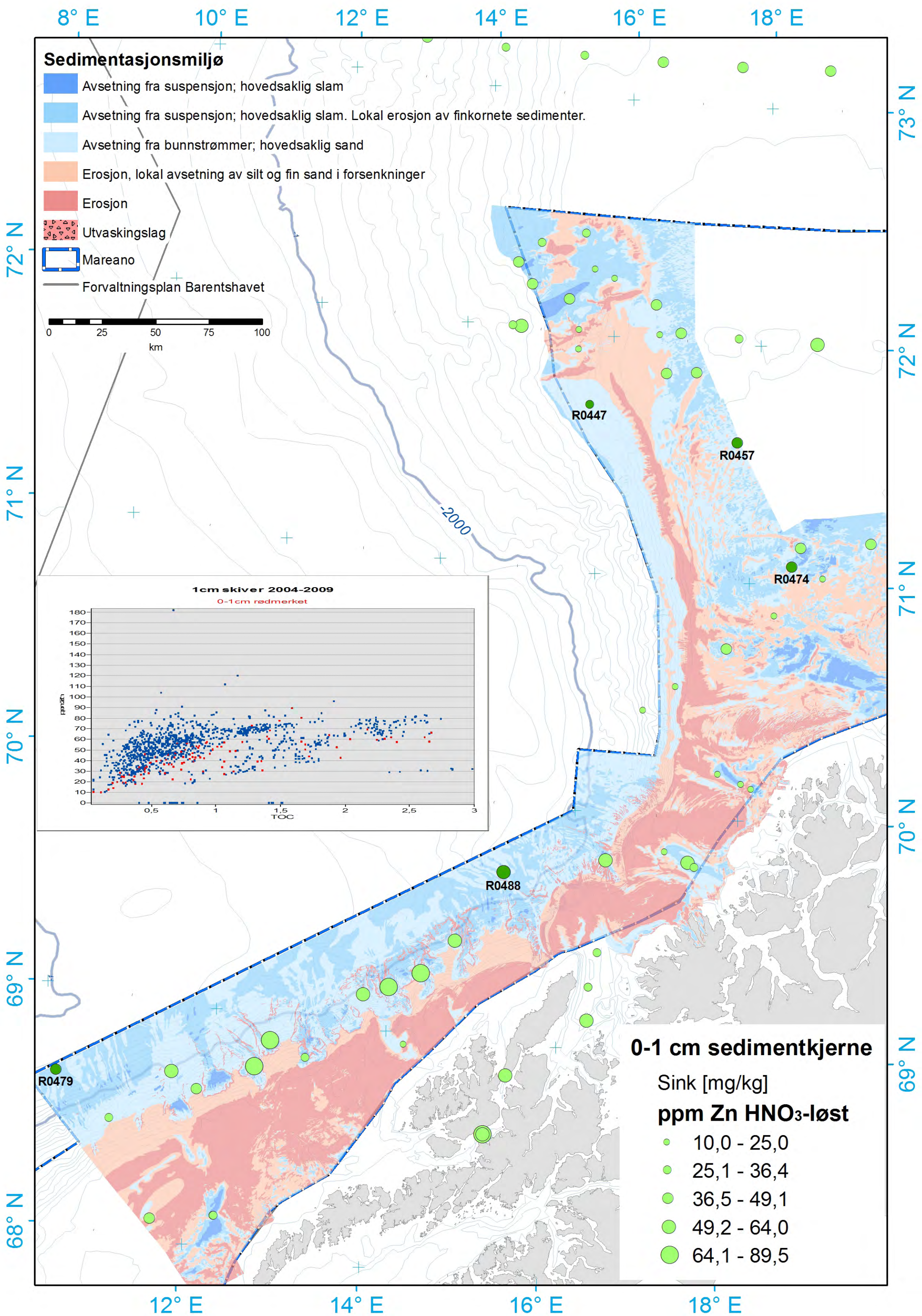












Vedlegg 5

Geokjemiske profiler for 4 analyserte sedimentkjerner. Parametrene omfatter: TOC (%), <63µm fraksjon (%), karbonatandel (%), As, Cd, Cr, Cu, Hg, Ni, Pb, Zn (alle ppm) og med årstall basert på ²¹⁰Pb-datering for en av de 4 sedimentkjernene.

